

**Josef Daneš a kolektiv**

---

**AMATEŘSKÁ  
RADIOTECHNIKA  
A ELEKTRONIKA**

---

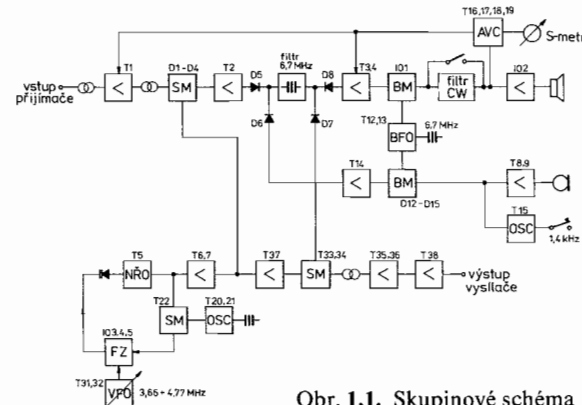
**[4. díl]** NAŠE VOJSKO

## CW-SSB TRANSCEIVER PRO 144 MHz

Účelem této kapitoly není podrobný konstrukční návod na stavbu, nýbrž rozbor funkce jednotlivých obvodů a pokyny k jejich nastavení. Zařízení bylo vyrobeno ve dvou kusech a po dlouhá léta vykazovalo velmi dobré parametry. Všechny základní obvody jsou rozmístěny na pěti deskách tvořících samostatně stíněné bloky.

### Deska přijímače a napěťově řízeného oscilátoru

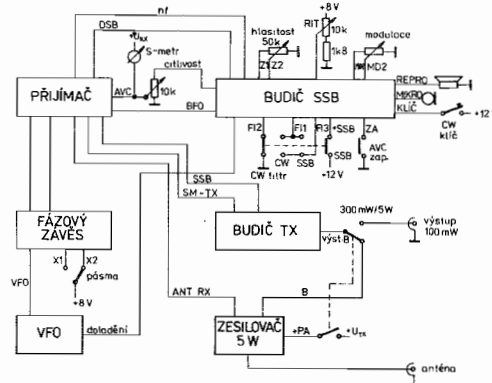
Ve vstupu přijímače je zařazen pásmový filtr s vysokým Q, umístěný ve dvou samostatných měděných krytech. Filtr zajišťuje dobrou preselekcii nutnou zvláště při používání TRXu v místech s extrémně silnými signály na VKV pásmech. Zejména se jeho vlastnosti uplatní na přechodných QTH v těsné blízkosti televizníchM vysílačů. Díky rela-



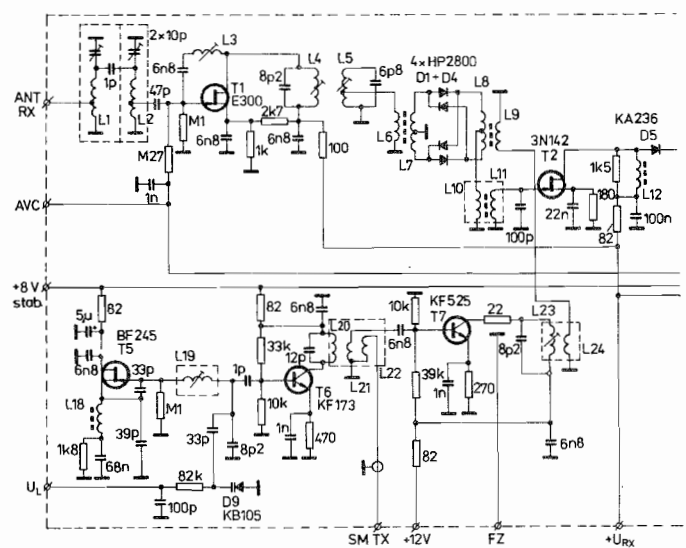
Obr. 1.1. Skupinové schéma

Lektorovali: Jiří Bláha, Ing. Vladimír Geryk, Ing. Jaroslav Křížek  
Editor © Josef Daneš, 1989

ISBN 80-206-0082-5

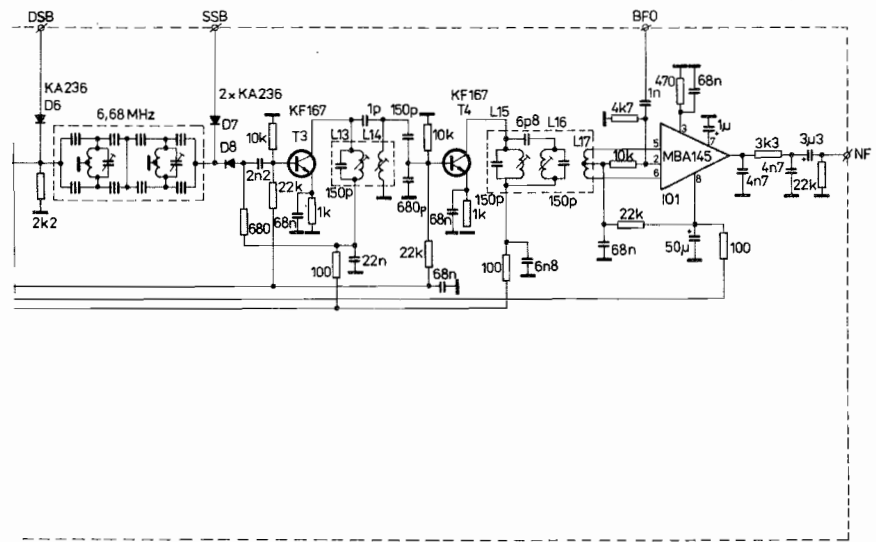


Obr. 1.2. Propojení signálových cest mezi jednotlivými bloky

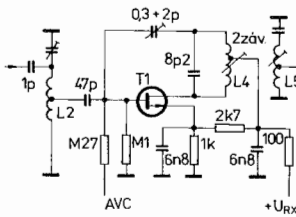


Obr. 1.3. Deska přijímače a napěťově řízeného oscilátoru

tivně vysokému  $Q$  nezatížených obvodů ( $Q_0 \doteq 300$ ) není nutná příliš těsná vazba antény a vstupního tranzistoru. I tak však byl zvolen kompromis mezi potlačením nežádoucích příjmů a zhoršením šumového čísla přijímače v důsledku zvětšení útlumu před 1. zesilovacím stupněm. Nejlepšího šumového čísla lze obvykle dosáhnout s co možná nejjednodušším přizpůsobovacím obvodem ve vstupu 1. tranzistoru. Takové řešení plně vyhoví, pokud nebudou požadavky na odolnost přijímače proti silným VKV signálům ležícím mimo radioamatérské pásmo. Vstupní zesilovač s bipolárními tranzistory a s tranzistory FET je nutné obvykle neutralizovat. Při použití tranzistorů dual-GATE MOS-FET se neutralizace většinou nepoužívá. Ve výstupu předzesilovače je zařazen další pásmový filtr, který dále zlepšuje odolnost proti nežádoucím příjmům. Ve výstupním filtru jsou použité obvody s menším  $Q$  (běžné kostříčky s feritovými jádry), jelikož případné



ztráty lze nahradit ziskem vstupního tranzistoru. Zisk předzesilovače má být asi 20 dB, aby byly kompenzovány ztráty směšovače. Při menším zisku předzesilovače by se výrazněji projevovalo větší šumové číslo pasivního směšovače. Všechny rezonanční obvody ve vstupu i výstupu předzesilovače jsou naladěny na maximum zisku ve středu propouštěného pásma. Zdlouhavější práce nastává při nastavování minimálního šumového čísla přijímače. K nastavování je nutné použít šumový generátor. Šumové číslo nejvýrazněji ovlivňuje vstupní vazba (poloha odbočky na cívce  $L_2$ ) a nastavení neutralizace. Při každé změně neutralizace, respektive vstupní vazby je nutné doladit ostatní ladící prvky. Často se stává, že zesilovač kmitá, přičemž nelze nalézt správnou hodnotu neutralizace. V tomto případě je vhodné zatlumit odporem ( $470 \Omega$ – $4,7 \text{ k}\Omega$ ) výstupní obvod, naladit vstup a při postupném zvětšování tlumičího odporu hledat správné nastavení neutralizace. Správně zesilovač nekmitá ani při odpojení antény. Snazší nastavení neutralizace je v můstkovém zapojení, kde místo změny indukčnosti  $L_3$  stlačováním a roztahováním závitů na feritovém toroidu měníme kapacitu neutralizačního kondenzátoru. Výsledné parametry zesilovače s můstkovou neutralizací podle obr. 1.5 jsou prakticky stejné jako u zesilovače s neutralizační indukčností.

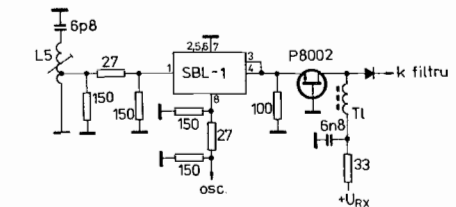


Obr. 1.5. Můstková neutralizace

Ve směšovači jsou použité 4 diskrétní Schottkyho diody vázané symetricky vinutými toroidními transformátory. Podstatně výhodnější je použití symetrického integrovaného kruhového směšovače (SRA 1, IE 500, SBL 1 apod.). Směšovač by měl být vázán do obvodu širokopásmové, aby možné odrazy vstupního oscilátorového a mf kmitočtu byly pohlceny zatěžovacími odpory a nezhoršovaly parametry směšovače. Přizpůsobovací tranzistor, který tvoří zároveň 1. mezifrekvenční

zesilovač, výrazně ovlivňuje dynamické vlastnosti přijímače. Zde je vhodné použít výkonový FET, např. P 8002 apod. Zapojení směšovače s SBL-1 je na obr. 1.4.

Obr. 1.4. Směšovač s SBL-1



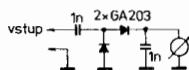
Na desce přijímače je dále umístěn krystalový filtr společný pro příjem i vysílání. Zapojení je vhodné pro vstupní a zatěžovací impedanci filtru od 200 do 1 000  $\Omega$ . Pro jiné impedance je nutné použít přizpůsobovací transformátory. Přepínání RX-TX zajišťují spínací diody KA236. Spínací diody, které jsou velmi často používány pro přepínání různých vf signálů v zařízeních, mohou způsobovat řadu potíží, pokud při daném proudu nejsou dokonale sepnuté. To se projevuje vznikem nežádoucích příjmů a intermodulačních produktů na straně přijímače a na straně vysílače podstatným zhoršením čistoty SSB signálu doprovázeným vznikem splatterů. Zkoušku kvality diod lze provést přímo v zapojení. Po zkratování diody, která je otevřená, nesmí dojít k podstatnému zvětšení amplitudy signálu za diodou. Dále při měření intermodulačních produktů (dvousignálová zkouška) přijímače i vysílače příslušné diody zkratujeme, čímž máme možnost posoudit podíl spínacích diod na vzniku zkreslení. Ze zkušenosti mohu uvést, že mezi stejně značenými diodami ze stejné série se našly takové, které i při trojnásobném proudu způsobovaly intermodulační zkreslení.

Mezifrekvenční zesilovač je velmi jednoduchý s dostatečnou schopností změny zisku pomocí AVC. Mezifrekvenční pásmové filtry, tak jak jsou navrženy, doporučuji používat ve spolupráci s amatérsky zhotovenými krystalovými filtry, u kterých není dostatečné potlačení mimo propustné pásmo. Při použití kvalitního krystalového filtru lze

mf filtry nahradit jednoduchými rezonančními obvody. Detektor s MBA 145 je trvale napájen, aby nedocházelo k nepřijemnému klapnutí ve sluchátkách při přechodu RX-TX.

Napětím laditelný oscilátor, který je též umístěn na desce RX, patří k částem, které rozhodující měrou ovlivňují kvalitu tranceiveru. Šumová čistota oscilátorového signálu výrazně ovlivňuje dosažitelné šumové číslo směšovače přijimače. Na straně vysílače je šumová čistota oscilátoru omezuječím činitelem čistoty výstupního spektra vysílače. Nedostatečně čistý oscilátorový signál způsobuje nežádoucí šum v okolí nosného kmitočtu, který se může projevit i jako spłatery, které velmi obtěžují sousední stanice. Jedná se vlastně o modulovaný šum, který je bez modulace vyvážen balančním směšovačem. V přijímací části lze takový šum též pozorovat, i když při velmi silném vstupním signálu, který je jinak čistý, zůstává na výstupu přijimače šum, jehož úroveň se zvyšujícím se vstupním signálem neklesá. Šumovou čistotu spektra ovlivňuje zejména správná volba použitých aktivních prvků včetně ladicího varicapu, správné nastavení vazebních prvků a pracovních bodů.

Rezonanční obvod oscilátoru má mít co možná největší Q. Všechny stupně musí být zcela stabilní bez náhylnosti ke vzniku parazitních oscilací. Při ladění rezonančních obvodů v kolektorech zesilovačů nesmí v žádném případě docházet ke skokovým změnám v kolektorových prudech ani ve výstupním vf napětí. K měření vf napětí na jednotlivých obvodech je vhodná malá sonda podle obr. 1.6. Ladící na-



Obr. 1.6. Sonda pro měření vf napětí

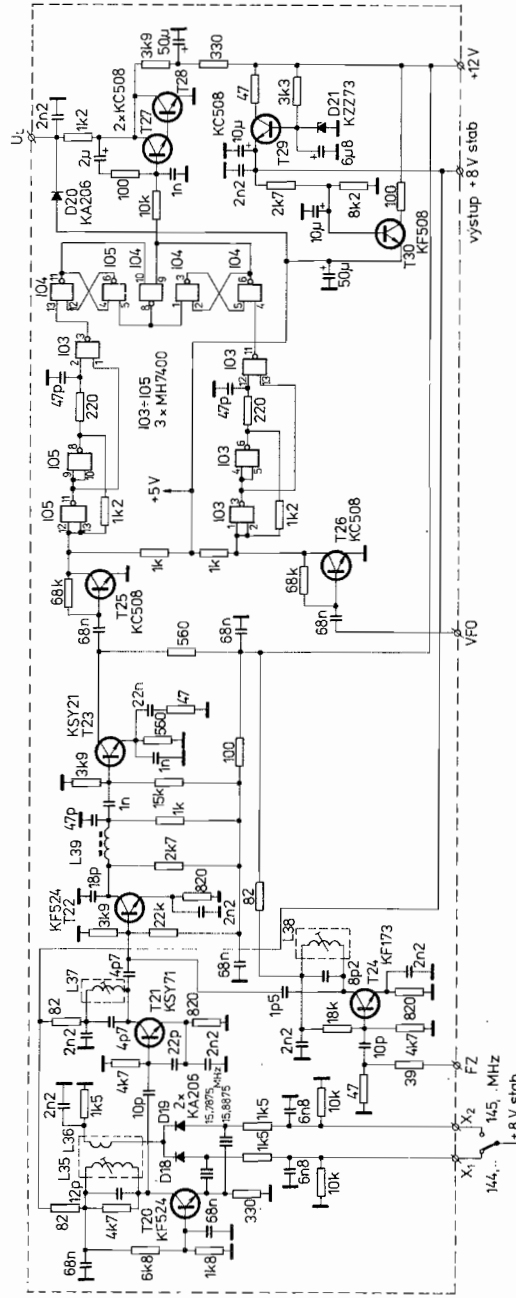
pětí na varicapu má být co největší (7–10 V), jelikož při malém napětí se zhoršuje Q oscilátorového rezonančního obvodu. Vzorek signálu pro digitální fázový závěs je odebíráno velmi volnou vazbou v místě s největší amplitudou. Zakončení koaxiálního kablíku od  $F_z$  je v blízkosti tlumicího odporu v kolektoru  $T_2$  a živá část je přibližná ke kolektoru  $T_2$ . Při těsnější vazbě hrozí nebezpečí zanášení nežádoucích signálů vznikajících v digitální části. Vazba je tedy minimální, avšak zajišťující dokonalou činnost  $F_z$  v celém rozsahu.

## Deska fázového závěsu

Na desce  $F_z$  je umístěn krystalový oscilátor, násobič, směšovač, digitální fázový závěs, filtr ladicího napětí a stabilizátor napětí. Tato deska musí být v každém případě samostatně co nejlépe stíněná. Ke stínění je vhodné použít měděný plech. Přívody napájecího a ovládacích napětí i výstup ladicího napětí jsou vedeny průchodkovými kondenzátory. Zvláštní pozornost zasluhuje přívody signálů z laděného oscilátoru a vzorku signálu z  $T_7$ . Těmito přívody by mohly snadno proniknout nežádoucí kmitočty, které způsobují četné hvizdy v přijimači. Vstup  $T_{24}$  je proto na desce samostatně stíněn včetně průchodky signálu, která je v těsné blízkosti báze  $T_{24}$ . Obdobně nejkratším možným přívodem je vedená báze  $T_{26}$ . Koaxiální kablíky spojující FZ s oscilátory musí mít dokonale provedené připojení vylučující sériové indukčnosti v připojení pláště. Ve schématu uvedené zapojení harmonického oscilátoru kmitá spolehlivě na lichých harmonických kmitočtech krystalů. V závislosti na parametrech krystalu a  $Q$  laděného obvodu je nutné upravit hodnotu tlumicího odporu paralelního k  $L_{35}$ . Oscilátor smí kmitat pouze na rezonančním kmitočtu krystalu. Při rozladění  $L_{35}$  musí oscilace vysadit. Vlastní fázový závěs je velmi spolehlivý, pokud má dostatečné vstupní úrovně a nevyžaduje žádné nastavení. Z důvodu snížení spotřeby jsou výhodnější obvody řady LS (SN74LS00).

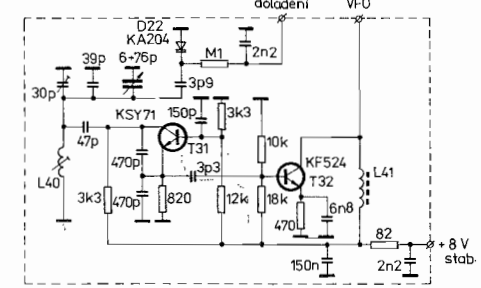
## Blok oscilátoru

Laditelný oscilátor je umístěn v samostatné krabičce. Čím je krabička robustnější, tím můžeme očekávat lepší stabilitu oscilátoru. Doporučuji měděný nebo mosazný plech o síle 1–2 mm. Krabička je v rozích spájená, přívody jsou provedeny průchodkovými kondenzátory a průchodkou nebo koaxiálním konektorem pro vf výstup. Značný význam pro stabilitu má mechanická pevnost ladicího kondenzátoru a cívky  $L_{40}$ . Jádro cívky je ferokartové. Též lze použít mosazné nebo hliníkové jádro. Ferit není vhodný, jelikož má značnou tepelnou závislost.



Obr. 1.7. Deska fázového závěsu

Hotový oscilátor je vhodné teplotně vykompenzovat. Toto lze provést ohříváním pomocí vysoušeče vlasů za současného měření kmitočtu čítačem nebo KV přijímačem. Kompenzace je dělána ve středu pásma

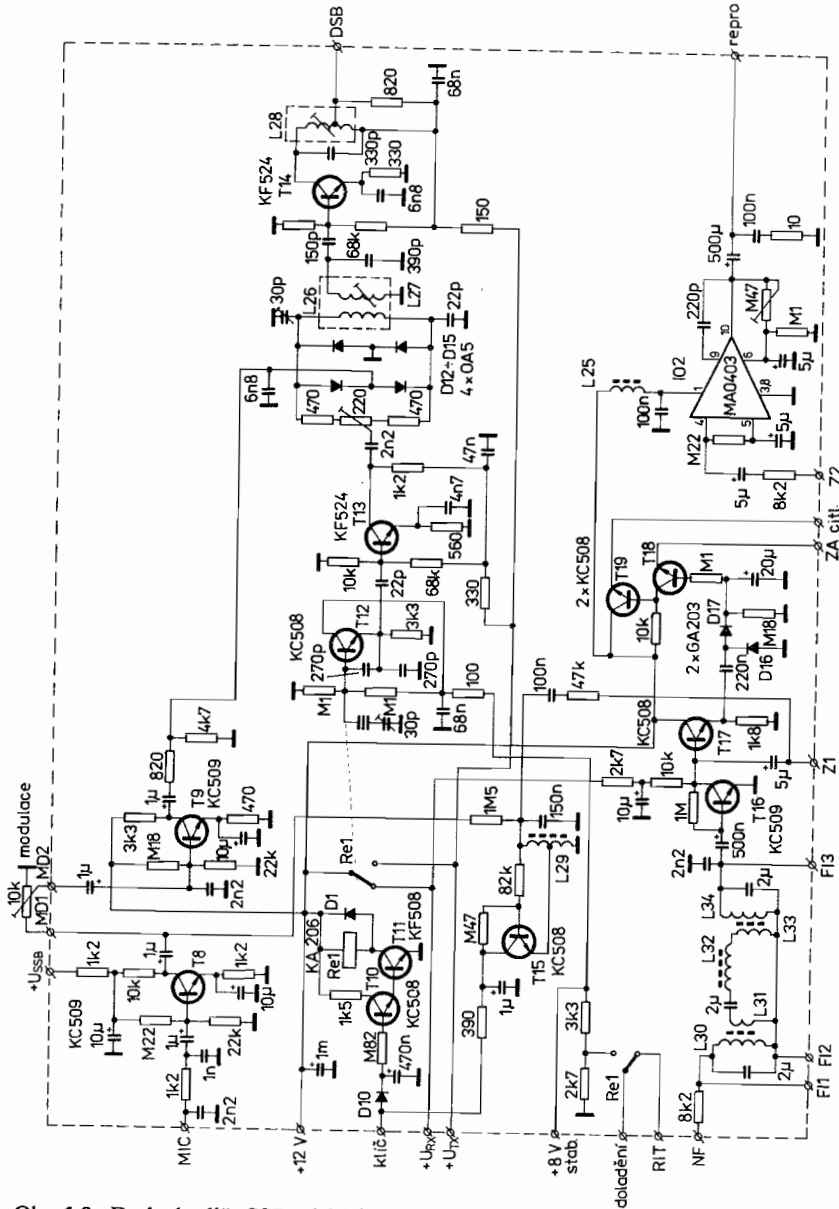


Obr. 1.8. Blok oscilátoru

změnou materiálu kondenzátorů v laděném obvodu. Výsledkem může být sestava několika kapacit s různým tepelným součinitelem. Pro úplnost je nutné dodat, že tepelná závislost krystalového oscilátoru ve fázovém závěsu je vzhledem ke kmitočtu (asi 140 MHz za násobičem) mnohem větší než tepelná závislost LC oscilátoru na 5 MHz. Toto by mělo být vzato v úvahu a LC oscilátor kompenzován tak, aby se jeho kmitočtová tepelná závislost odečítala od kmitočtové tepelné závislosti krystalového oscilátoru. K tomu je nutné nejdříve změřit tepelnou závislost krystalového oscilátoru na výstupním kmitočtu. Tepelná závislost krystalového oscilátoru je zejména určena vlastnostmi krystalů a nelze ji tedy v uvedeném zapojení příliš ovlivnit.

Deska budiče SSB, nízké frekvence  
a pomocných obvodů

Dále popisovaná deska je sice samostatně stíněná, ale nároky na stínení nejsou tak veliké jako u výše popsaných obvodů. Přívody, kterých je zde podstatně více než u jiných desek, jsou pájeny přímo na desku, bez použití průchodkových kondenzátorů. Oscilátor nosné,



Obr. 1.9. Deska budiče SSB, nízké frekvence a pomocných obvodů

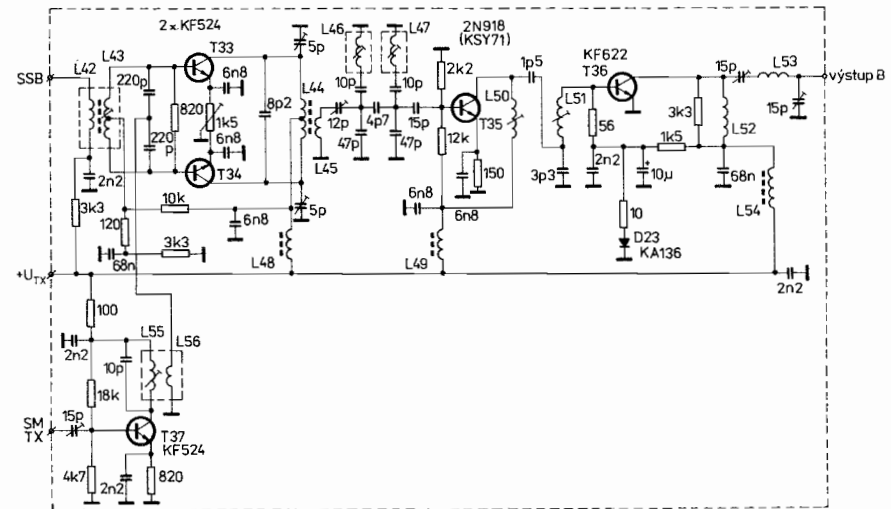
modulátor i balanční modulátor jsou v klasickém zapojení. Nutné je dobré v ří blokování bází  $T_8$  a  $T_9$ , aby případný pronikající v ří signál nezpůsoboval zkreslení, případně rozkmitání vlivem nežádoucí zpětné vazby. V této souvislosti se zároveň zmíním o blokování všech přívodů TRXu. Jelikož TRX bude pravděpodobně používán s různými koncovými stupni, případně transvertory na jiná pásmo, a to i v těsné blízkosti antén, které budou mnohdy vyzařovat značný výkon, jsou do všech vstupů i výstupů mimo koaxiálních konektorů zařazeny LC filtry. Tlumivky jsou vinuty na toroidní jádra nebo tyčky z nf feritu  $H_{11}$  až  $H_{22}$ . Kondenzátory jsou umístěny těsně vedle vstupních zdířek a konektorů a musí mít přívody zkrácené na minimum. S výhodou lze použít průchodkové kondenzátory umístěné na malé společné destičce přišroubované bezprostředně vedle vstupů. Odpor 820 ohmů na odbočce cívky  $L_{28}$  přizpůsobuje vstupní odpor krystalového filtru, pro jiný filtr bude asi nutné měnit jeho hodnotu. CW signál je vytvářen klíčovaným nf oscilátorem. Kmitočet nf oscilátoru je potřeba volit tak, aby druhá harmonická byla již mimo propustné pásmo filtru. 1,4 kHz vyhovuje pouze pro velmi úzký filtr, jehož propustná část končí na cca 2,5 kHz. Pro širší filtr je nutné zvýšit kmitočet CW generátoru. Vzhledem k tomu, že CW generátor kmitá výše než je obvyklý záZNĚJ vhodný pro příjem (600 až 800 Hz), je potřebné pro provoz CW tuto odchylku korigovat změnou nastavení ovládače RIT. Dále je potřeba, aby CW generátor měl sinusový průběh oscilaci s minimálním zkreslením a vhodnou náběhovou a sestupnou charakteristikou, která tvaruje CW značku. Úpravu náběžné a sestupné hrany telegrafní značky zajišťuje kondenzátor 1 M v kolektoru tranzistoru  $T_{15}$ . Pokud by bylo pro některý speciální provoz, například rychlotelegrafie nad 500 značek za minutu, nutné zkrátit náběh a doběh značky, lze toho dosáhnout zmenšením uvedené kapacity. Vznik kliksů znečišťujících výstupní spektrum vysílače je při klíčování nf generátoru omezen šírkou propustného pásmá krystalového filtru. Výhoda jednoduchosti nf generátoru telegrafního signálu je komplikována zvýšenými nároky na stabilitu a potlačení nosné balančního modulátoru a zvýšenými nároky na kvalitu filtru, který musí dokonale potlačit harmonické kmitočty ležící mimo pásmo jeho propustnosti. Tranzistory  $T_{15}$  a  $T_{11}$  zajišťují automatické přepnutí RX-TX při náběhu CW značky. Dobu

přítahu relé  $RE_1$  ovlivňuje kapacita a odpor v bázi  $T_{10}$ . Obvody generátoru SSB signálu a nízké frekvence jsou v klasickém zapojení. Nízkofrekvenční zesilovač přijímače je trvale napojen tak, aby vazbou s generátorem CW umožnil příposlech telegrafie ve zvolené hlasitosti potenciometrem „Hlasitost“. Poměrně náročné je správné nastavení obvodů AVC. Správná činnost AVC je mimo vlastního zesilovače a detektoru AVC také závislá na vlastnostech mf zesilovače a demodulátoru.

Často se stává, že AVC při určitém nastavení časové konstanty kmítka nebo se silným signálem zahlcuje, a tím zhoršuje srozumitelnost přijímaných signálů. Negativní vliv na funkci AVC má pronikání BFO do mezifrekvenčního zesilovače, kdy demodulátor má na signálovém vstupu někdy i podstatně silnější signál zesíleného BFO, než je zesílený signál z antény. Pokud AVC nepracuje uspokojivě a jinak je příjem vcelku dobrý, doporučují nejprve změřit nežádoucí vf signál z BFO na kolektoru  $T_4$  nebo na vstupu MBA 145. Pokud se zde objevuje signál z BFO, je nutné lepší stínění mf vstupu a filtru. Někdy pomůže i propojení zemních spojů v oblasti mf zesilovače. Navržená časová konstanta AVC je velmi krátká, vyzkoušená a vhodná zejména pro závodní provoz. Prodloužit časovou konstantu lze zvýšením blokovací kapacity za detektorem AVC v bázi  $T_{18}$ .

## Deska budiče vysílače

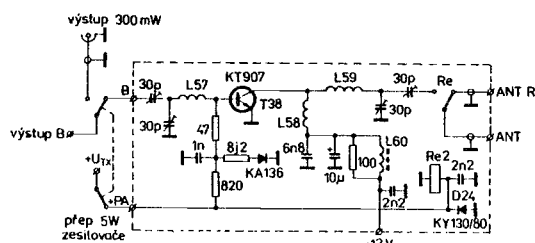
V desce budiče vysílače se zesiluje oscilátorový signál, směšuje s SSB signálem, filtruje a zesiluje na výkon přibližně 200 mW za  $T_{36}$ . Směšovač je osazen bipolárními tranzistory. S výjimkou změny v předpětí a impedančního přizpůsobení  $L_{42}$  a  $L_{56}$  je v provozu i deska osazená polem řízenými tranzistory BF 245. Směšovač s BF 245 odevzdává menší výstupní výkon a potřebuje větší buzení, přičemž je ale lineárnější. Daleko větší vliv na čistotu výstupního spektra, zejména v blízkosti nosné, má správné přizpůsobení vstupu směšovače ke krystalovému filtru. Zde hraje významnou roli tlumicí odpor mezi bázemi nebo hradly tranzistorů  $T_{33}$  a  $T_{34}$ . Zmenšováním hodnoty tlumicího



Obr. 1.10. Deska budiče vysílače

odporu silně klesá nežádoucí šum v okolí nosné. V jednom provedení směšovače byl k přizpůsobení použit širokopásmový symetrikační transformátor navinutý na feritovém toroidu z materiálu H18. Výsledky s širokopásmovým transformátorem byly velmi dobré, rozhodně podstatně lepší než s nezatlumeným LC obvodem. Z hlediska potlačení nežádoucího vyzařování mimo pásmo je nutné dokonale filtrovat signál za směšovačem. Kapacitně vázaný filtr  $L_{46}$  a  $L_{47}$  je navržen tak, aby účinně potlačoval zrcadlový kmítocet v okolí 132 MHz. Cívky  $L_{46}$  a  $L_{47}$  s kapacitou 10 pF tvoří sériové rezonanční obvody s rezonancí přibližně 132 MHz, címž tento zrcadlový kmítocet na vstupu i výstupu filtru silně potlačuje. Vlastní paralelní rezonance daná sériovou kombinací kapacit 10 pF a 47 pF je samozřejmě v pásmu 145 MHz. Prakticky to znamená, že naladěním filtru na maximum přenosu v pásmu je automaticky optimálně potlačen zrcadlový kmítocet. Pro podstatně odlišný mezifrekvenční kmítocet by bylo nutné přepočítat poměr kapacit, aby paralelní rezonance byla v pásmu 145 MHz a sériová rezonance na zrcadlovém kmítocetu. Při ladění filtru a nastavování

vání vyváženého směšovače na minimum oscilátorového signálu je vhodný selektivní indikátor, v nouzi poslouží i citlivý GDO v poloze sací měřič s vhodnou sondou. Klidové proudy  $T_{35}$  a  $T_{36}$  jsou přibližně 15 mA a 40 mA. Tranzistor  $T_{35}$  2N918 lze bez jakýchkoliv úprav nahradit KSY71 nebo KSY21, pouze zisk bude poněkud menší. Všechny ladící prvky jsou naladěné na maximum výstupního výkonu na žádaném kmitočtu. Při proladování všech LC obvodů nesmí docházet ke skokovým změnám výstupního výkonu, které bývají často způsobovány nestabilitou nebo sklonem k oscilacím. Jako prevence proti nežádoucím oscilacím je nejlepší dobré stínění a blokování přívodů.



Obr. 1.11. Koncový zesilovač 5 W

Zařízení je navrženo jako budič elektronkových výkonových stupňů, proto má vyvedený zvlášť vstup přijimače a zvlášť výstup budiče. Pro provoz s malým výkonem je TRX vybaven vestavěným koncovým stupněm s  $T_{38}$  KT907, jehož výstupní výkon je 2 až 5 W. Při provozu s vestavěným koncovým stupněm je v činnosti relé  $RE_2$ , takže na konektor ANT lze připojit přímo anténu. Koncový stupeň je vestavěn v krabičce z měděného plechu, která zároveň zastává funkci chladiče. Ve středu  $T_{38}$  je vedená stínící přepážka.

## Závěr

V předcházejícím textu byla zhruba vyložena funkce a návod k nastavení jednotlivých obvodů v tématických celcích odpovídajících umís-

tění jednotlivých obvodů na příslušných deskách. V zásadě lze jednotlivé funkční celky sestavit samostatně, nebo více či méně sloučit. Vzhledem k tomu, že jsem již zkonztruoval několik různých zařízení pro CW a SSB provoz v pásmu 144 MHz, doporučoval bych zejména začínajícím radioamatérům rozdělit obvody na samostatné funkční jednotky. Větší mechanická pracnost s výrobou více krabiček z pocičovaného plechu a spotřeba většího množství průchodkových kondenzátorů se při oživování vždy vyplatí, nehledě k možnosti snadného zdokonalování zařízení náhradou celé jednotky jednotkou kvalitnější. Je samozřejmě též možné téměř celý TRX umístit na jednu desku, ale oživení je pak mimořádně náročné a vzhledem k nemožnosti zajistit stejné součástky pro více zařízení se dostává do popředí problém produkovanosti parametrů.

K potlačení vlivu možných parazitních rezonancí ve spojovacích indukčnostech mezi průchodkovými kondenzátory je vhodné vkládat odpory malých hodnot nebo tlumivky na feritech z materiálu H11 až H22.

Tabulka 1. 1. Tabulka cívek (rozměry v mm)

Označení	Počet závitů	Průměr drátu	Provedení, jádro
L1	5	1,5	$\varnothing 18$
L2	5 odb. 1,5	1,5	$\varnothing 18$
L3	12	0,15	toroid NO1 $\varnothing 8$
L4	4	0,5	M4 NO1P
L5	5,5 odb. 2,5	0,5	M4 NO1P
L6, L7	3 × 5	0,4	toroid NO1 $\varnothing 8$
L8, L9	3 × 5	0,4	toroid NO1 $\varnothing 8$
L10	3	0,2	přes L11
L11	35	0,15	M4 N1
L12	10	0,12	toroid H11 $\varnothing 5$
L13	30	0,15	M4 N1
L14	30	0,15	M4 N1
L15	30	0,15	M4 N1
L16	30	0,15	M4 N1
L17	2 × 5	0,15	přes L16
L18	5	0,4	toroid NO2
L19	4,5	0,5	M4 NO1
L20	4	0,5	M4 NO1P

*Tabulka 1.1. (pokračování) Tabulka cívek (roz-  
měry v mm)*

Označení	Počet závitů	Průměr drátu	Provedení, jádro
L21	1,5	0,5	přes L20
L22	1,5	0,5	přes L20
L23	5	0,5	M4 NO1P
L24	1,5	0,5	přes L23
L25	10	0,2	toroid H11 Ø 5
L26	8	0,2	přes L27
L27	17	0,2	M4 N1
L28	17 odb. 8	0,2	M4 N1
L29	600	0,1	hrníček H12 AL 250
L30	335	0,15	hrníček H12 AL 250
L31	40	0,15	přes L30
L32	335	0,15	hrníček H12 AL 250
L33	40	0,15	přes L34
L34	335	0,15	hrníček H12 AL 250
L35	10	0,25	M4 NO1
L36	3	0,2	přes L35
L37	4	0,5	M4 NO1P
L38	4	0,5	M4 NO1P
L39	27	0,12	M4 N1 (12 µH)
L40	52	0,2	Ø 7 jádro ferro- cart
L41	25	0,12	toroid H11 Ø 5
L42	32	0,12	přes L43
L43	2 × 16	0,12	M4 N1
L44	2 × 2	0,4	toroid NO1
L45	1,5	0,4	přes L44
L46	5	0,5	M4 NO1P
L47	5	0,5	M4 NO1P
L48	10	0,12	toroid H11 Ø 5
L49	10	0,12	toroid H11 Ø 5
L50	4	0,5	M4 NO1P
L51	5	0,5	M4 NO1P
L52	10	0,1	na odporu TR152

*Tabulka 1.1. (pokračování) Tabulka cívek (roz-  
měry v mm)*

Označení	Počet závitů	Průměr drátu	Provedení, jádro
L53	6	0,6	Ø7
L54	10	0,12	toroid H11 Ø5
L55	4,5	0,5	M4 NO1P
L56	1,5	0,5	přes L55
L57	4	0,6	Ø7
L58	10	0,2	Ø7
L59	4	0,6	Ø7
L60	10	0,2	toroid H11 Ø5

*Poznámka:* v f cívky jsou umístěny v hliníkových krytech, M4 znamená kostřička se závitem jádra M4, cívky označené pouze průměrem vinutí jsou vzduchové.

## OBVODOVÁ TECHNIKA KMITOČTOVÉ MODULACE

### Modulátory FM, modulační zesilovače

#### Základní požadavky, linearita

Úkolem jakéhokoliv kmitočtového modulátoru je převést změny modulačního napětí na odpovídající změny kmitočtu. Tato závislost má být lineární. Maximální (vrcholové) hodnotě modulačního napětí odpovídá tedy maximální kmitočtový zdvih  $\Delta f$ .

V současné době se ke generování signálů úzkopásmové FM používá téměř výhradně **přímá kmitočtová modulace pomocí varikapů**. Závislost kapacity varikapu na přiloženém napětí  $U_R$  v závěrném směru ovšem není lineární. Lineární není ani závislost kmitočtu na kapacitě laděného obvodu (podle Thomsonova vztahu) a oba průběhy se vzájemně kompenzují pouze částečně. Pro praxi je vždy směrodatné nalezení této závislosti měřením.

#### Modulování oscilátorů LC

Nejjednodušším případem je modulace oscilátorů LC (VFO, VCO). Zde je kapacita varikapu pouze malým zlomkem celkové kapacity oscilátorového obvodu. Pro získání požadovaného kmitočtového zdvihu se používá pouze malá část převodní křivky napětí/kmitočet, kterou lze ještě považovat za lineární. Velký význam zde má nalezení optimálního stejnosměrného předpětí (pracovního bodu) varikapu.

#### Využití VCXO pro generování signálu FM

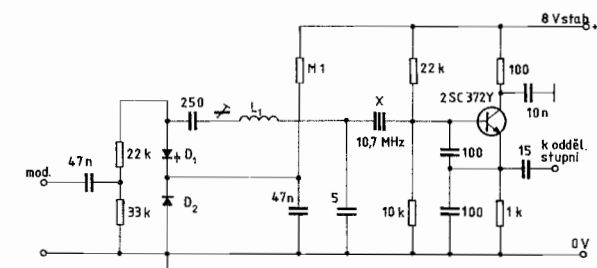
Skutečnosti, že kmitočet VCXO lze řídit přívaděným napětím, se u jednoduchých přístrojů FM využívá k přímé modulaci. Ani zde nezávislost změny kmitočtu na změně ladicího napětí varikapu zcela

lineární a v některých případech je nutno nelinearitu alespoň částečně kompenzovat.

U transceivrů řady TRP, kde je kladem důraz na jednoduchost, se přimodulovává přímo ladící varikap. Potřebné nf modulační napětí je velmi malé a mění se v ladícím rozsahu v poměru přibližně 3:1. Ke kompenzaci lze do jisté míry použít druhou dráhu ladicího potenciometru (tandemový potenciometr), nebo řízení zdvihu jiným potenciometrem.

Velmi často se u různých transceivrů s mezifrekvenčním kmitočtem 10,7 MHz moduluje přímo oscilátor 10,7 MHz, který po směšování s kmitočtovou ústřednou vytvoří vysílací kmitočet. Duplexní odstup 600 kHz v tomto případě vytváří kmitočtová ústředna.

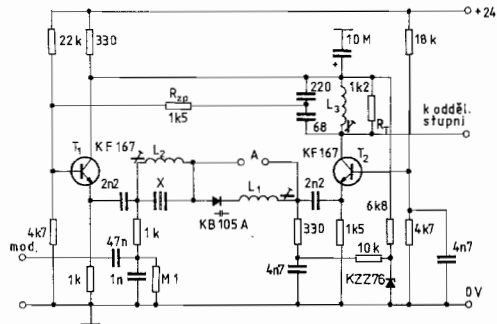
Velice známým zařízením u nás je transceiver YAESU FT221R, jež hož VCXO pro 10,7 MHz je na obr. 2. 1. Předpěti varikapu je určeno napájecím napětím, dioda  $D_2$  má za úkol kompenzovat teplotní drift



Obr. 2.1. VCXO FT221 R

varikapu. Krystal je „tažen“ cívkou  $L_1$  na rozladění asi 20 kHz. Žádná další opatření pro linearizaci převodní křivky použita nejsou a zřejmě to nevadí nikomu, kdo na FT221 vysílá, ani tomu, kdo ho poslouchá.

Modulovaný VCXO 10,7 MHz nepoužívají pouze profesionální výrobci v zahraničí, ale i v tuzemsku. Tesla Pardubice v řadě VR20 používá nekonvenční řešení s tranzistorovou verzí Buttlerova oscilátoru. Pro toto zapojení se objednávají speciální krystaly s parametry vhodnými pro „tahání“ (zvýšená statická kapacita  $C_0$ , úměrně posunutá sériová rezonance). Zapojení pro kmitočet 10,7 MHz je na obr. 2. 2.



Obr. 2.2. VCXO Tesla

Funkce je následující: Tranzistor  $T_2$  pracuje v zapojení se společnou bází, laděný obvod v jeho kolektoru je nastaven na pracovní kmitočet 10,7 MHz. Zpětná vazba je vedena z kapacitního děliče  $C_1/C_2$  kolektorového obvodu přes rezistor  $R_{zp}$  na bázi tranzistoru  $T_1$ . U původního Buttlerova oscilátoru je zpětnovazební signál mezi emitoru veden přes prostý selektivní člen (krystal), čímž se zpětnovazební okruh uzavírá. V našem případě je krystal „tažen“ cívou  $L_1$  stejně jako u již dříve popsáých VCXO a stejně jako u nich se provádí ladění (v tomto případě modulace) varikapem, jehož pracovní bod je dán Zenerovou diodou. Takto se získá převodní modulační křivka, byť s určitou nelinearitou. Ke kompenzaci této nelinearita slouží indukčnost  $L_2$ , která tvoří se statickou kapacitou krystalu  $C_0$  paralelní rezonanční obvod. Jeho vhodným naladěním se vytvoří ke křivce dané indukčnosti  $L_1$  křivka inverzní. Zkreslení modulace se tak kompenzuje na hodnotu menší než 2 %. Výpočet celého složeného obvodu je obtížný, v každém případě předpokládá znalost všech hodnot náhradního zapojení krystalu. Proto pro orientaci uvádíme konkrétní provedení obou indukčností podle informací výrobce:

Obě cívky mají 95 závitů drátem Ø 0,06 mm na cíkovém tělisku QA 261 45 Ø 5,5 mm, jádro N01.

Postup ladění je následující: Body  $A$  se zkratují a cívka  $L_3$  se naladí na minimální výstupní signál. Zkrat se odstraní a cívka  $L_1$  se nastaví rozladění krystalu. Při rozlaďování pochopitelně střední kmitočet klešá (až o 20 kHz, proto se objednávají krystaly speciálně pro toto zapo-

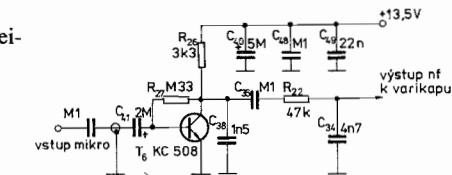
jení). Cívku  $L_2$  se nastaví linearita modulační křivky, dlužno ovšem podotknout, že její vliv částečně zmenšuje šířku synchronní oblasti krystalu, který pak má snahu se kmitočtově „utrhnout“. V tom případě je nutno zvýšit zpětnou vazbu zmenšením rezistoru  $R_{zp}$ , případně zvětšením či úplným vypuštěním tlumicího rezistoru  $R_t$ . Nevylučuje se ani možnost změny poměru děliče  $C_1/C_2$ ; určitá rezerva je i ve změně předpětí varikapu. Ještě údaj o  $L_3$ : 15  $\mu$ H.

V každém případě je vhodné využít základní myšlenky této konstrukce a pokusit se o linearizaci modulační křivky pomocí paralelní indukčnosti ke krystalu i v případě jednodušších VCXO. Popsaný složený obvod používal výrobce už v řady radiostanic typu VX. Od typu VR22 se používá VCXO ve formě hybridního integrovaného obvodu.

### Modulační zesilovače

Nejjednodušším modulačním zesilovačem je prostý mikrofonní předzesilovač, např. z transceivru „Boubín“ obr. 2. 3. Nevelké zesílení, asi 15 dB, nestačí při původně dodávaném mikrofonu pro dosažení požadovaného zdvihu. Lépe se osvědčilo používat jako mikrofon

Obr. 2.3. Modulační zesilovač transceivru Boubín

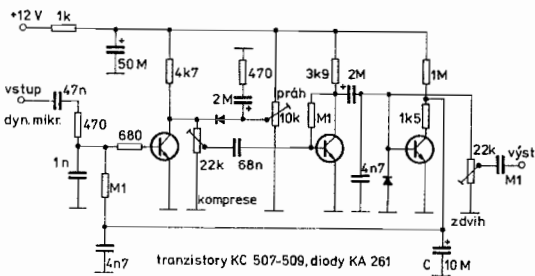


modrou dynamickou vložku „Temír“ nebo telefonní sluchátko typu 4 FE 562 10. Uvedené elektroakustické měniče mají tzv. „telefonní“ kmitočtovou charakteristiku, takže šíře nf pásmu vychází optimální. V uvedeném zapojení jsou vyšší kmitočty omezeny též kondenzátory  $C_{38}$  a  $C_{34}$ . Přenos nízkých kmitočtů je tlumen zvolenou velikostí zázebných kondenzátorů 100 nF, které zajišťují alespoň částečnou preemfázi signálu.

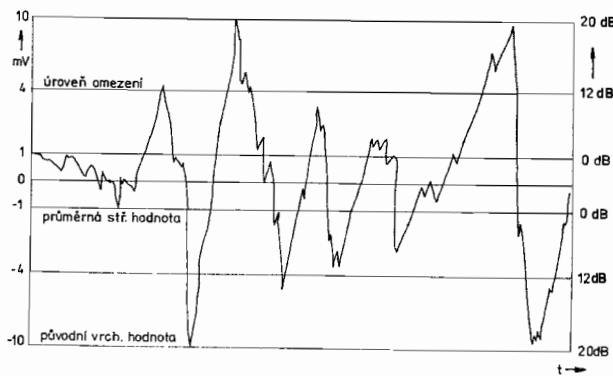
V technice kmitočtové modulace má důležitý význam nepřekročení předepsaného maximálního zdvihu. Tento požadavek lze řešit dvěma způsoby.

Prvním způsobem je použití kompresoru dynamiky modulačního signálu, druhým použití omezovače dynamiky (v amatérské praxi je nazýván „ořezávač“ modulačních špiček – clipper).

Kompresor dynamiky nastavuje automaticky stále stejnou průměrnou úroveň výstupního nf signálu pro různé velikosti napětí z mikrofonus. Nevhodou kompresoru je skutečnost, že při delších pauzách mezi slovy se „vynořuje“ hluk pozadí, dokonce i šum vstupního tranzistoru. Tyto jevy působí nevhodně nastavená odpadová konstanta, je proto účelné doplnit kompresor obvodem, který zajišťuje určitý minimální „práh“ přenášených signálů. Zapojení, upravené OK1DAP, je na obr. 2. 4. I po úpravě však přetrvává tzv. „polykání“ prvních slan-



Obr. 2.4. Kompresor dynamiky s prahovým obvodem



Obr. 2.5. Časové rozvinutí hovorového signálu

bik, dané náběhovou konstantou. Protože u uvedeného jednoduchého zapojení spolu náběhová i odpadová konstanta souvisí, je nutný určitý kompromis dáný volbou kapacity elektrolytického kondenzátoru  $C$ .

Při časovém rozvinutí hovorového signálu (obr. 2. 5.) zjistíme, že amplituda špiček přestupuje průměrnou střední hodnotu (1 mV) o cca 20 dB. Doba, po kterou je okamžitá amplituda vyšší o 20 dB než tato průměrná hodnota, je jen stotisícinou trvání celého hovoru. Součet všech časových intervalů, v nichž amplituda přestoupí průměrnou úroveň o 12 dB, tvoří jen 1 % trvání hovoru. Během 30% doby hovoru je amplituda řeči 20 dB pod průměrnou střední hodnotou. Je tedy jasné, že omezením špiček hovorový signál na srozumitelnost neztratí, i když určitá ztráta věrnosti je logicky pozorovatelná. S rostoucím omezením hovorového signálu stoupá poměr průměrné střední hodnoty k vrcholové, čili pro konstantní povolenou maximální amplitudu (tedy i maximální zdvih) roste s omezením signálu jeho výkon. Říkáme, že se hovorový signál „energeticky vyplní“.

Omezení signálu má za následek vznik nových harmonických, ale též intermodulačních kmitočtů, proto je nutno za omezovač zařadit dolní propust s  $f_k \doteq 2,4$  kHz a poklesem větším než 18 dB/okt. Omezení šíře nf pásmo zabrání rozšíření spektra signálu FM, a tím i rušení sousedních kanálů.

Protože větší část špiček hovorového signálu spadá do oblasti vyšších kmitočtů (zv. formantů), má omezení vliv na jejich poměrné rozšíření. Tím je energetický vliv vyšších kmitočtů v celkovém signálu zdůrazněn a dochází v podstatě automaticky k preemfázi, ježíž účinek se sčítá s preemfází zavedenou členy RC v modulačním zesilovači před omezením.

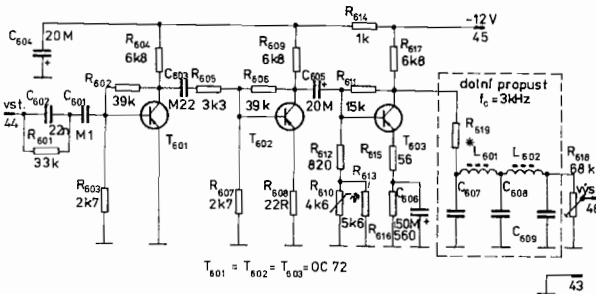
Takto „upravený“ hovorový signál prokazuje zvýšení hovorové srozumitelnosti asi o 6,5 dB. Metoda se nazývá „omezování nf špiček“ nebo „nf omezovač“.

Vzhledem k omezení dynamického rozsahu signálu se ovšem zvyšuje relativní úroveň hluků (pozadí) stejně jako u řízeného kompresoru. Je proto nutno používat tzv. gradientní mikrofony, které jsou méně citlivé na hluk pozadí a je třeba do nich hovořit velice zblízka.

Zásadně se nehodí tzv. „Hifi“ mikrofony. Příliš vhodné není ani

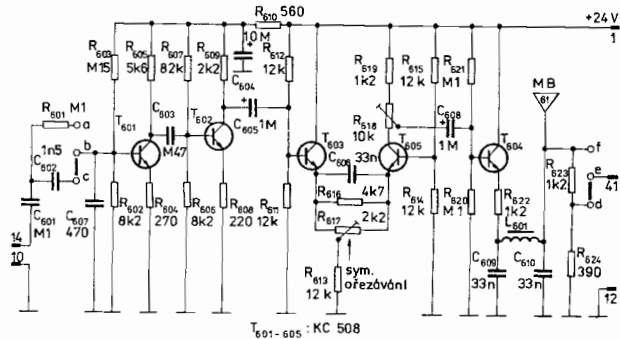
oblíbené telefonní sluchátko 4 FE 562 10. Lepších výsledků lze dosáhnout s modrou dynamickou vložkou „Temíř“ a zejména s gradienční vložkou MMD 510 Tesly Valašské Meziříčí. Vůbec nejlepší je použití sovětské dynamické vložky DEMŠ. Tyto vložky jsou používány v řadě radiostanic VR Tesly Pardubice s vynikajícími výsledky.

Úpravy hovorového signálu omezováním se u profesionálních radiostanic používá již dlouho. Příkladem je modulační zesilovač radiostanice VXW 100, osazený ještě germaniovými tranzistory (obr. 2. 6).



Obr. 2.6. Modulační zesilovač VXW 100

Modernější zesilovač pro mikrofon DEMŠ je zesilovač radiostanice VR20 (obr. 2. 7) s křemíkovými tranzistory. Vstupní signál, asi

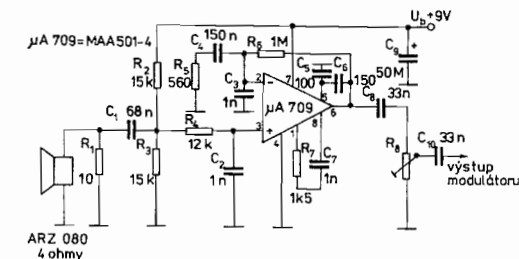


Obr. 2.7. Modulační zesilovač VR20

90 mV na vstupu 14, předpokládá použití mikrofonného předzesilovače se ziskem 20 dB, který je umístěn v ovládací skříňce. Propojkami *a*-*b*-*c* se volí preemfáze dle požadované provozní varianty (vozidlová nebo základnová radiostanice, resp. retranslace). Rozdílový zesilovač  $T_{603}/T_{605}$  plní funkci omezovače amplitudy („ořezávače“ špiček). Symetrie omezení se nastavuje trimrem  $R_{613}$ . Vhodným nastavením lze dodatečně kompenzovat nelinearitu modulační křivky (varikapu ve VCXO). Výstupní napětí a tedy i zdvih se nastavuje trimrem  $R_{618}$ . Emitorový sledovač  $T_{604}$  slouží k přizpůsobení dolní propusti  $L_{601}/C_{609}/C_{610}$ . Poměrně velké výstupní napětí (asi 0,7 V) je nutné pro modulaci VCXO 10,7, resp. 15,2 MHz.

Některé prvky zapojení obr. 2. 7 (rozdílový zesilovač) přivádějí na myšlenku využití operačního zesilovače. Toto řešení je právě z amatérského hlediska ideální. Vysoké zesílení, samočinné omezení a snadná možnost úpravy kmitočtové charakteristiky předurčují tyto obvody k využití v modulačních zesilovačích.

Základní zapojení na obr. 2. 8 je použito v transceivru TRP. Předpětí (umělý střed napájení zesilovače v asymetrickém zapojení) je určeno děličem  $R_2/R_3$ . Jako mikrofon se používá reproduktor, je tudíž



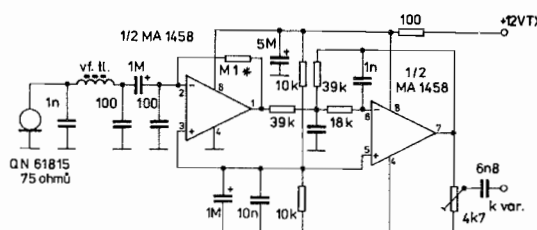
Obr. 2.8. Modulační zesilovač transceivru TRP

nutné jeho nežádoucí rezonance tlumit rezistorem  $R_1$ . Základní preemfáze je dána velikostí kondenzátorů  $C_1$  a  $C_8$ . Je ovlivněna i celkovou kmitočtovou charakteristikou. Ta je určena především členem  $R_5/C_4$  v obvodu invertujícího vstupu (záporná zpětná vazba), ale i kompenzačním členem  $R_7/C_7$  a děličem  $C_5/C_6$ . Úroveň omezení je možné měnit rezistorem  $R_4$  – protože však na výstupu není z prosto-

rových důvodů zařazena účinná dolní propust, nedoporučuje se volit příliš vysoký stupeň omezení (nejvýše do 10 dB) a rozširovat tak vysílané spektrum.

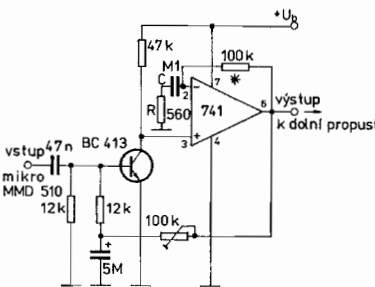
Rozkmit výstupního napětí nemůže přesáhnout hodnotu napájecího napětí. Vstupy jsou proti účinku vf blokovány kondenzátory  $C_2$ ,  $C_3$ , zdvih se nastavuje až na samotném výstupu (trimr  $R_8$ ).

Ještě výhodnější pro využití v modulátorech je operační zesilovač MAA741 nebo dvojice těchto operačních zesilovačů MA1458. První OZ plní vlastní funkci modulačního zesilovače a omezovače, druhý OZ je zapojen jako aktivní dolní propust. Modulátor na obr. 2. 9 je použit v transceivru OK 1 AFQ „Vřídlo“.



Obr. 2.9. Modulační zesilovač transceivru „Vřídlo“

Když používáme obzvláště necitlivé gradientní mikrofony s malým výstupním napětím, může se stát, že i plné zesílení operačního zesilovače nestačí pro požadovanou úroveň omezení. Potom je možné před operační zesilovač zařadit jeden zesilovací stupeň v tzv. „hladovém“ zapojení (obr. 2. 10). Tranzistor musí být nízkofrekvenční nízkošumo-



Obr. 2.10. Zapojení předzesilovacího stupně

vý. Trimrem  $100\text{ k}$  se nastaví předpětí báze tak, aby na výstupu OZ byla přesně polovina napájecího napětí. Zisk a tedy i úroveň omezení se řídí velikostí zpětnovazebního rezistoru  $100\text{ k}\Omega$  (ve schématu označen hvězdičkou). Změna zesílení OZ se projeví též jako posunutí kmitočtové charakteristiky, které lze upravit volbou kondenzátoru  $C$  u vývodu 2. Vstup musí být opatřen proti pronikání vf zařazením blokovačích kondenzátorů a vf tlumivky.

Experimentování s modulačními zesilovači je zajímavé a pro mnohé poučné. Vzhledem k tomu, že v podstatě všechny zásahy lze dělat zkusmo, lze dát na adresu věčných „mikrofonních výměnkářů“ jednu dobrou radu:

Nezkoušejte nikdy různé úpravy modulace přímo v provozu na převáděči. Když už to musí být, použijte volný přímý kanál. Nejlepší ovšem je, ještě než modulační signál pustíte na varikap a posléze do éteru, ověřit si provedený zásah nahrávkou vlastního hlasu na magnetofon. Teprve až se vám váš hlas bude líbit (co do komunikační účinnosti), můžete bez obav vysílat (viz naučný slovník, heslo His Master's Voice).

Na závěr kapitoly o modulačních zesilovačích ještě dvě technické připomínky. Na kmitočtovou charakteristiku celé modulační cesty, zejména preemfázi, mají vliv i konstanty RC v obvodu stejnosměrného předpětí varikapu, proto je volime co nejmenší. Především blokovací kondenzátor v obvodu předpětí by neměl mít v praxi vyšší kapacitu než  $1\text{ nF}$ .

Druhá připomínka se týká regulace maximálního zdvihu. Při komunikaci přes převáděč v mezních podmírkách, kdy je procházející signál již na prahu šumu, dochází vlivem umlčovače převáděče k „roztrhání“ signálu, které se v praktickém provozu projeví „koktáním“. V teoretické části bylo uvedeno, že spektrum úplného signálu FM má svá minima a maxima, dále že při daném zdvihu pro některé kmitočty nosná vlna úplně vymizí (Besselovy nuly). V převáděči pak použitý mf filtr soustředěně selektivity nikdy není úplně rovný, ale má zvlnění propustné části asi  $1\text{ dB}$ . Toto, byť malé zvlnění je při silnějších signálech zcela potlačeno funkcí omezovače, při velmi slabých signálech se však projeví jako změny fáze. Můžeme si to představit tak, že nespojitý signál FM „přejíždí“ drobné vrcholy v kmito-

čtové charakteristice filtru. Výsledkem jsou amplitudové změny, na které reaguje umlčovač převáděče zmíněný „koktáním“. V tomto případě částečně pomůže zúžení vysílaného spektra, redukce jeho maxim a minim – čili **zmenšení zdvihu**.

U jednoduchých radiostanic bez úpravy signálu kompresorem či omezovačem (TRP, Boubín) toho snadno dosáhneme oddálením mikrofonu od úst a rovnoměrnou tichou modulací bez výrazných hlasových akcentů. Tedy pravý opak návyku operátorů z DX KV pásem, kde se při slabém signálu doslova kříčí.

Tento způsob však není příliš účinný pro upravované modulace. V takovém případě je třeba mít možnost snížit zdvih potenciometrem umístěným na ovládacím panelu. Stojí za povšimnutí, že většina známých profesionálních transceivrů tuto možnost má. Je ovšem nutno provést základní nastavení úrovni z modulátoru tak, že maximálnímu povolenému zdvihu bude odpovídat horní doraz ovládacího potenciometru – to z důvodů dodržení povolovacích podmínek.

Regulace zdvihu při komunikaci v mezních podmírkách a práci přes vzdálený převáděč umožní tak dokončit řadu spojení na úrovni šumu.

## Přijímací trakty radiostanic pro FM provoz

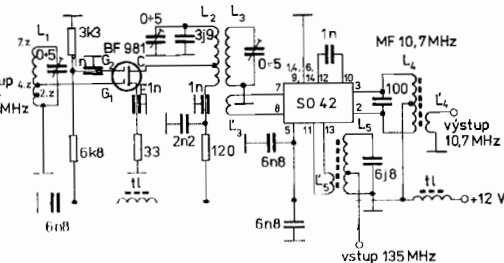
Přijímače FM se od přijímačů AM liší především konstrukcí mf zesilovače. V každém mf zesilovači je použit omezovač amplitudy, proto musí být zesílení mf zesilovače vždy větší než u přijímačů AM, aby limitace nasadila již při slabých signálech. Z toho vyplývá i požadavek co nejnižšího šumového čísla celého mf traktu. Vzhledem k vysokému zesílení rostou nároky i na zrcadlovou a mezikanálovou selektivitu. Svůj význam pro dosažení co nejvyššího poměru signál/šum má i provedení demodulátoru na konci mf traktu. Typickým obvodem přijímačů FM je umlčovač šumu. AVC se obvykle nepoužívá.

### Vstupní části přijímačů FM

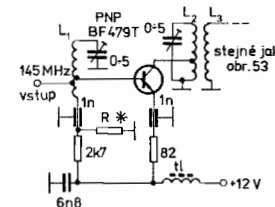
Konstrukce vstupních částí přijímačů FM se v zásadě neliší od při-

jimačů AM s tím rozdílem, že není nutno přečeňovat vliv intermodulace, jak bylo vyloženo v teoretické části. Intermodulace ve vstupní části samozřejmě vzniká, její vliv je však potlačen omezovačem v mf části. Považujeme-li intermodulační produkt za rušivý signál, bude maskován užitečným signálem o pouhých 6 dB silnějším. Ze statistického hlediska také dochází k intermodulačnímu rušení zřídka.

O to větší důraz klade na šumové číslo. Dobrých výsledků lze dosáhnout s dostupnými vysokofrekvenčními bipolárními tranzistory. Za špičkové řešení můžeme považovat zapojení podle OK 1 VJV na obr. 2. 11 a 2. 12. Další snižování šumového čísla vstupních částí se pro úzkopásmovou FM již nejeví účelné.



Obr. 2.11. Vstupní část přijímače s tranzistorem BF981

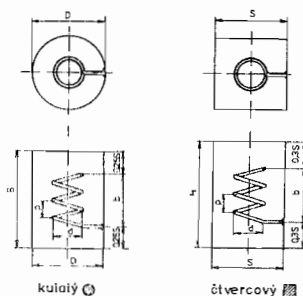


Obr. 2.12. Varianta vstupní části podle obr. 8.11 s tranzistorem BF479T

K intermodulačnímu rušení mezi amatérskými stanicemi FM dochází vzhledem k malým používaným výkonům zřídka. Můžeme se však setkat s rušením signálů kmitočtově vzdálenými, což se může stát např. v bezprostřední blízkosti výkonných televizních či rozhlasových

vysílačů. Omezení vlivu kmitočtově vzdálených signálů dosáhneme tzv. **předřazenou selektivitou**.

Základním obvodem, který by neměl chybět v žádné vstupní části VKV přijímačů, je dvouobvodová pásmová propust mezi předzesilovacím stupněm a směšovačem, která potlačí kmitočtově vzdálené signály. Profesionální radiostanice používají až čtyřobvodovou propust (VR 20). Podcenění významu vstupní selektivity vede ke zbytečným komplikacím, jak se můžeme přesvědčit na příkladu levných kabelkových přijímačů s „ošízenou“ VKV vstupní částí. Ostaně i u transceivru Boubín 78 je mezi předzesilovač a směšovač zařazen pouze jediný laděný obvod. Zvýšení vstupní selektivity lze však v tomto případě dosáhnout vnějším **filtrem typu Helical** na obr. 2. 13.



Obr. 2.13. Rezonátory „Helical“

Obě šroubovice filtru jsou vinuty samonosně na trnu  $\varnothing 6$  mm, stoupání se upraví tak, aby se šroubovice s minimálními vývody „vesla“ do rezonátoru. Obě vinutí mají po 15 závitech holého měděného drátu  $\varnothing 1,5$  mm. Dolaďovací trimry jsou levné skleněné typy 1 až 5 pF. Obě odbočky (pro impedanci 75 ohmů) jsou na 1. závitu. Kapacitní vazba je provedena přiblížením dvou krátkých kousků vodiče s PVC izolací, prostrčených otvorem v přepážce. Pro připojení filtru je nejhodnější tenký kablík s teflonovou izolací, který se prostrčí otvory v bocích krabičky a připájí stíněním přímo na stěny. Zhotovení a naladění tohoto filtru může na první pohled připadat obtížné, v případě transceivru Boubín však spolehlivě pomůže jak přijímací, tak i vysílací straně. I v popsaném nestříbřeném provedení je více než užitečný. S původními skleněnými trimry lze filtr přeladěvat v širokém

kmitočtovém rozsahu 110 až 180 MHz. Přeladěný na 135 MHz je vhodný jako výstupní filtr kmitočtových ústředen.

### Rezonátory Helical

V [5] byl uveden popis rezonátorů Helical, který dále uvádíme ve stručném překladu:

Pro dosažení potřebné selektivity vstupních dílů v pásmu VHF se klasické čtvrtvlnné dutiny příliš nehodí především pro svou relativní délku.

**Příklad:** Chceme-li dosáhnout vysoké jakosti rezonančního obvodu  $Q = 3\,000$  na kmitočtu 50 MHz, vychází čtvrtvlnná dutina s průměrem 100 mm a délce 1,5 m!

Stejněho  $Q = 3\,000$  lze dosáhnout pro 50 MHz s rezonátorem typu Helical délky 287 mm a  $\varnothing 216$  mm.

Pro kmitočet 145 MHz a  $Q = 1\,000$  vychází čtvercová dutina tohoto rezonátoru se stranami 35 mm a délkou pouhých 56 mm (proti 0,5 m u čtvrtvlnné dutiny).

Při stejném požadovaném  $Q$  vychází tedy délka tohoto typu rezonátoru značně kratší než u klasického dutinového rezonátoru, i když je nutno počítat i s mírným zvětšením průměru. Dokonce i na kmitočtu 432 MHz vychází rezonátor typu Helical rozměrově často výhodnější.

V praxi se používá rezonátor kulatý a čtvercový. Pro výpočet platí následující vztahy (obr. 2. 13):

**Cinutel jakosti  $Q_M$  nezatiženého rezonátoru:**

$$\textcircled{O}: Q_M = 1,97 D \sqrt{f_0}, \quad [\text{mm, MHz}]$$

$$\textcircled{\square}: Q_M = 2,36 S \sqrt{f_0}, \quad [\text{mm, MHz}]$$

**Počet závitů šroubovice  $N$ :**

$$\textcircled{O}: N = \frac{48\,460}{f_0 \cdot D}, \quad \textcircled{\square}: N = \frac{40\,380}{f_0 \cdot S}. \quad [\text{MHz, mm}]$$

**Stoupání závitů (osová rozteč)  $P$ :**

$$\textcircled{O}: P = \frac{f_0 \cdot D^2}{59\,000}, \quad \textcircled{\square}: P = \frac{f_0 \cdot S^2}{41\,000}. \quad [\text{MHz, mm}]$$

**Průměr šroubovice (v ose dráту)  $d$ :**

$$\textcircled{O}: d = 0,55 D, \quad \textcircled{\square}: d = 0,66 S.$$

**Délka šroubovice  $b$ :**

$$\textcircled{O}: b = 0,825 D, \quad \textcircled{\square}: b = 0,99 S.$$

**Délka dutiny:**

$$\textcircled{O}: B = 1,325 D, \quad \textcircled{\square}: H = 1,6 S.$$

**Průměr drátu šroubovice:**

volí se v rozmezí 0,4 až 0,6  $P$ .

**Charakteristická impedance  $Z_0$ :**

$$\textcircled{O}: Z_0 = \frac{2514\,600}{f_0 \cdot D}, \quad \textcircled{D}: Z_0 = \frac{2\,095\,500}{f_0 \cdot S}. \quad [\Omega; \text{MHz, mm}]$$

Uvedené vztahy platí pro běžný materiál s drobnými kazy a mikroskopickými rýhami v povrchu. Pro výrobu čtvercových dutin lze použít kuprexit. Stříbření dutin a drátu zvyšuje jakost  $Q_M$  o cca 3 % oproti výpočtu, efekt tedy není znatelný. Stříbření není nutné a má vliv na nejvýš na trvanlivost a odolnost povrchu. (Platí, že žádné stříbření je lepší než špatné stříbření). Daleko účelnější je chránit povrch materiálu (mědi) proti korozi např. pájecím lakem.

### Mezifrekvenční zesilovače

Vlastnosti přijímače FM ovlivňuje rozhodujícím způsobem mezifrekvenční zesilovač. Odhadneme-li potřebný výkonový zisk mezi vstupní anténní svorkou a výstupem omezovače na asi 130 dB, pak po odečtení zisku vstupního dílu a přičtení útlumu filtrů vychází požadované zesílení samotného mf zesilovače na 110 až 120 dB. Při tak vysokém zesílení se již projevuje nestabilita soustavy.

Důležitým parametrem při konstrukci mezifrekvenčních zesilovačů je **selektivita**. Rozhodující je selektivita zrcadlová a kanálová.

**Zrcadlová selektivita**, tj. odolnost přijímače proti příjmu na zrcadlovém kmitočtu  $f_p + 2mf$ , resp.  $f_p - 2mf$ , je ovlivněna především volbou prvního mezifrekvenčního kmitočtu. Vzhledem k dosažitelnosti vhodných filtrů volíme pro pásmo 145 MHz mezifrekvenční kmitočet 10,7 MHz, i když zde není teoreticky ideální. Zvýšení zrcadlové selektivity lze však snadno dosáhnout právě selektivními obvody ve vstupní části, jak bylo uvedeno v předchozím odstavci.

**Mezikanálová selektivita**, čili míra potlačení příjmu sousedního kanálu, vyjadřuje potlačení blízkých signálů (sousedních kanálů). U nejlepších přijímačů má být lepší než 80 dB, u jednoduchých amatérských se často spokojíme asi s 40 dB.

Dříve bylo obvyklé získávat selektivitu pásmovými propustmi LC, zařazenými mezi jednotlivými stupni mf zesilovače.

Nyní je běžné používání filtrů **soustředěné selektivity**. Tento termín znamená, že selektivita je převážně „soustředěna“ do jednoho prvku, zařazeného zpravidla na vstupu mf zesilovače.

Jako filtry soustředěné selektivity lze použít:

- vícečlánkové pásmové propusti LC,
- piezoelektrické (krystalové) filtry,
- piezokeramické filtry,
- elektromechanické (magnetostriktivní) filtry.

Na kmitočtu 10,7 MHz nelze obvody LC dosáhnout, vzhledem k nízkému  $Q$ , šířky pásma menší než asi 100 kHz. Pro dosažení potřebné šířky pásma 15 kHz u FM je nutné pomocí druhého směšování přejít na kmitočet 465 kHz, kde je již filtr LC s požadovanou šířkou realizovatelný. Tímto způsobem byla řešena např. radiostanice VXW 010 s dvanáctičlánkovým filtrem LC na kmitočtu 465 kHz.

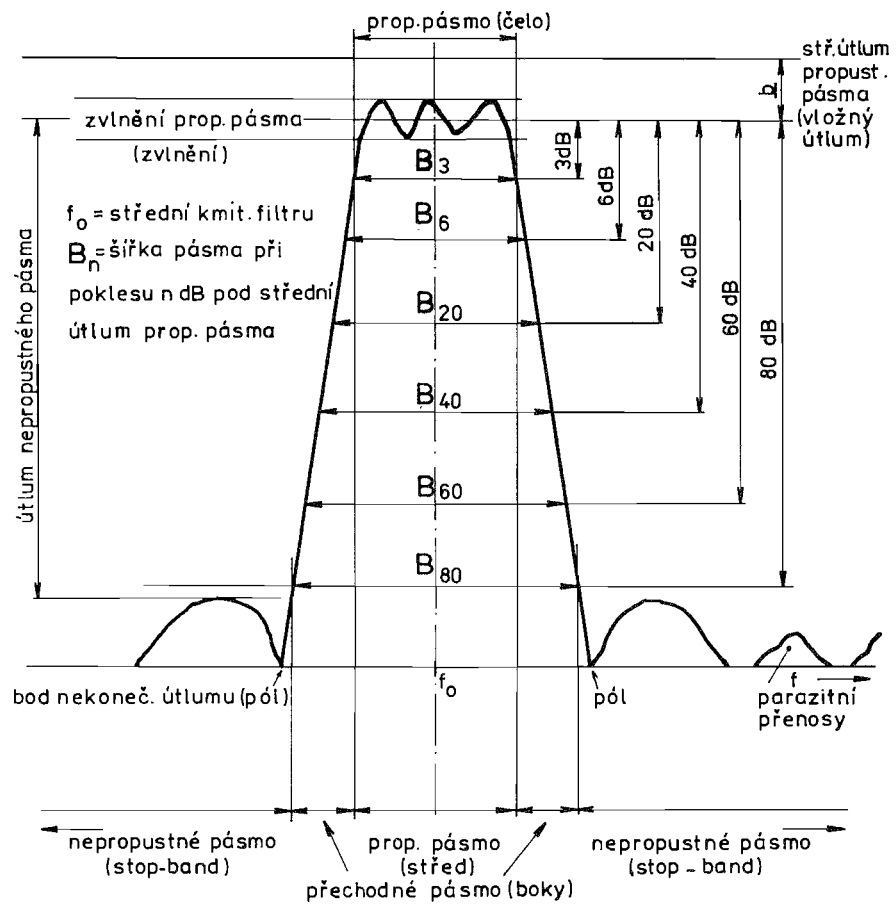
S krystalovými filtry lze realizovat mezifrekvenční zesilovač se šířkou pásma 15 kHz přímo na kmitočtu 10,7 MHz. Lze je použít u jednoduchých konstrukcí s jedním směšováním. Při vyšších nározcích na mezikanálovou selektivitu je i zde nutný přechod na kmitočet 465 kHz (radiostanice VXN 101 apod.).

Piezokeramické filtry jsou pro svou nenáročnost určeny pro levná zařízení spotřební elektroniky, pro profesionální radiostanice FM se nepoužívají. Pro kmitočet 10,7 MHz se vyrábějí s šířkou pásma asi 220 kHz, pro kmitočet 455 kHz asi 10 kHz. Jsou známy amatérské konstrukce s dvojím směšováním, které oba tyto typy filtrů používají z důvodu miniaturizace. Výsledky jsou obdobné jako u filtrů LC.

V radiostanicích Tesly Pardubice se od typu VR 21 používá elektromechanický filtr 450 kHz s šířkou pásma 19 kHz. Ve spojení s kvalitním krystalovým filtrem 10,7 MHz představuje v současné době vrchol v dosažení maximální mezikanálové selektivity (100 dB).

### Krystalové filtry soustředěné selektivity

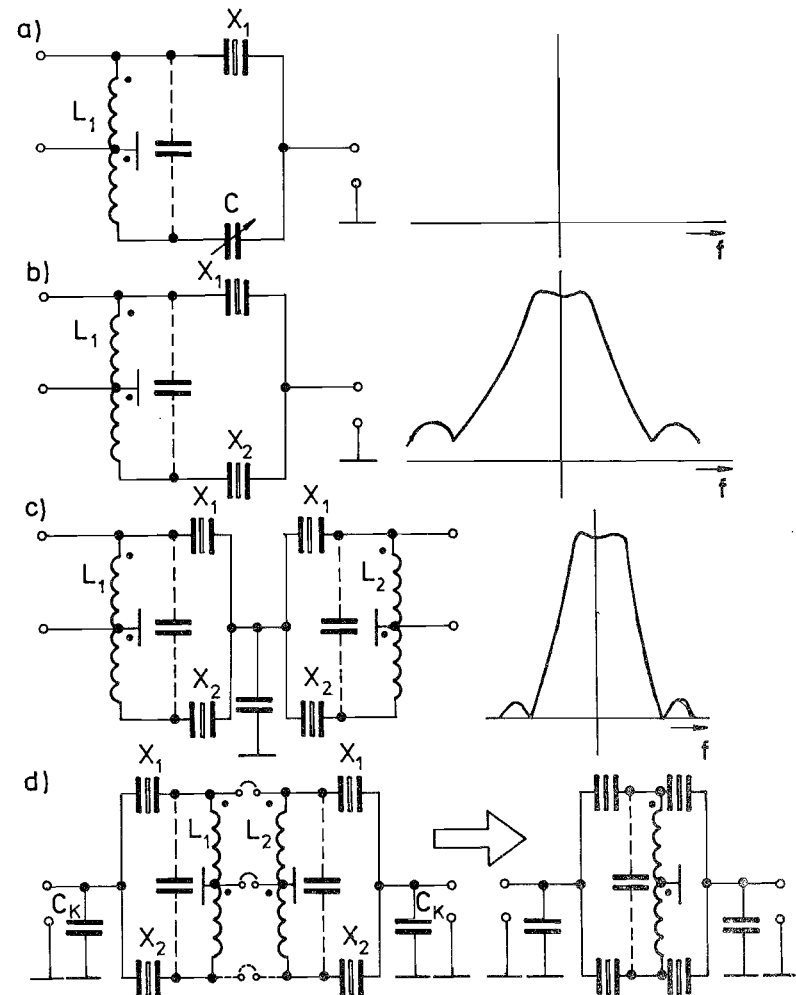
V technice filtrů je používána specifická terminologie. Základní pojmy si ukážeme na kmitočtové charakteristice filtru (obr. 2. 14.). V závorkách jsou uvedeny částečně slangové výrazy, se kterými se běžně setkáváme v amatérské praxi. Kromě těchto výrazů je zaveden též pojem „činitel tvaru“ (strmost boků křivky), udávaný jako poměr šířek pásma  $B_{40}/B_6$ ,  $B_{60}/B_6$  a  $B_{80}/B_6$  podle provedení filtru a počtu krystalů. Mnohovlnnost krystalových rezonátorů způsobuje parazitní přenosy v nepropustném pásmu (stop-band).



Obr. 2.14. Základní pojmy v technice filtrů

Základním typem krystalových filtrů je **můstkový filtr**. Skládání filtru ze základních můstků si ukážeme na obr. 2. 15.

Obr. 2. 15a znázorňuje jedno z nejstarších zapojení tzv. „fázovaného“ krystalu, použité např. v přijimačích MWeC, Lambda, ale i novější R4 apod. Otočný kondenzátor „fázoval“ krystal a jeho různým nastavením se nakláněla, rozšiřovala i posouvala výsledná křivka.



Obr. 2. 15b – kondenzátor je nahrazen druhým krystalem s určitým odstupem sériové rezonance. Jde o základní půlčlánek filtru a zavádíme pojem **krystalových páru**.

Obr. 2. 15c – základní půlčlánky je možné řadit za sebou do kaskády. Toto je princip filtru Tesla PKF 10,7/15 A.

Obr. 2. 15d – otočíme-li články cívками k sobě, lze jejich paralelní

kombinaci nahradit cívkou jedinou (oblíbený filtr McCoy).

Obr. 2. 15e – poloviční můstky složené do kaskády vytváří známý filtr XF-9 s osmi krystaly.

Můstkové filtry lze zhotovovat i amatérsky. Vysvětlete si proto některé zásadní skutečnosti.

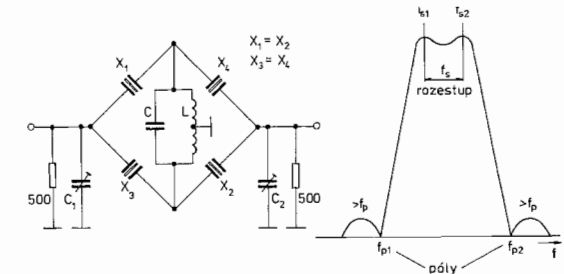
Při záběžném pohledu na zapojení filtru (zejména typu McCoy na obr. 2. 15d) bychom mohli usoudit, že paralelní obvod LC ovlivňuje rozhodujícím způsobem útlum propustného pásma, že tedy musí mít extrémně vysoký činitel jakosti  $Q$ . Tento dojem je klamný, protože zmíněný obvod má zcela jinou funkci. Celkové vlastnosti filtrů jsou závislé především na vlastnostech použitych **krystalů**.

Pro větší názornost použijeme obr. 2. 16. Je zřejmé, že krystaly v můstku propouštějí signál na své sériové rezonanci  $f_s$ , pro signál o kmitočtu  $f_p$  představuje krystal bod maximálního útlumu, čili pól. Průběh absolutní hodnoty impedance krystalu je znova uveden na obr. 2. 17. Pro jeden krystal (jeden článek filtru) zjistíme:

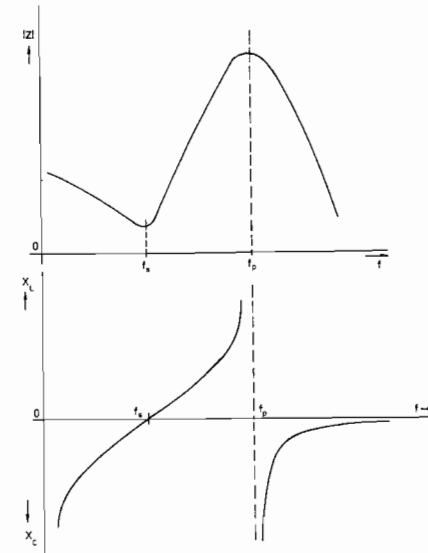
- pól je na kmitočtu  $f_p$ ;
- kmitočty vyšší než  $f_p$  se projeví jako postranní „laloky“, které lze kompenzovat kapacitami na vstupu a výstupu filtru;
- strmost křivky impedance mezi body  $f_s$  a  $f_p$  ovlivňuje strmost boků filtru a výsledně i **činitel tvaru**. Z toho je patrné, že činitel tvaru je přímo závislý na jakosti krystalu;
- nejmenší útlum je na kmitočtu  $f_s$ ;
- kmitočty nižší než  $f_s$  má filtr propouštět ve zhruba stejně úrovni jako  $f_s$  – zde je oblast tzv. sedla.

Krystal v oblasti pod  $f_s$  můžeme ovlivňovat sériovou indukčností stejně jako ve VXO. Indukčnost v diagonále můstku není tedy vlastně nic jiného než nám dobře známá fázovací cívka. Tato cívka ovšem nerezonuje s kapacitou v diagonále, ale s kapacitou elektrod krystalu  $C_0$ . Zároveň slouží jako vazební pro všechny větve můstku. Na jejích koncích musí být signál v opačné fázi, proto je velice důležitá její dokonalá symetrie. Vine se proto vždy dvojitým drátem a bývá též označována jako **diferenciální transformátor** (autotransformátor), s nímž má stejnou funkci.

Můstkovým zapojením dosáhneme zrcadlového převrácení průběhu impedance, takže rozložení výsledné křivky je symetrické kolem



Obr. 2.16. Můstkový filtr McCoy



Obr. 2.17. Průběh absolutní hodnoty impedance  $Z$  krystalu

středu. Šířku pásma, ale i zvlnění propustného pásma ovlivní především indukčnost  $L$ , a to tím více, čím je bližší podmínce.

$$L = \frac{1}{\omega^2 \cdot C_0}.$$

Kapacita  $C$  v diagonále můstku se uplatní v oblasti paralelní rezon-

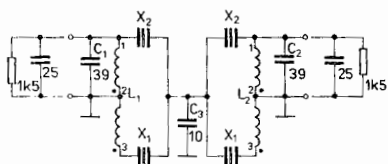
nance  $f_s$ , má tedy vliv na nepropustné pásmo a póly filtru, včetně celkové symetrie křivky propustnosti.

Pro amatérskou realizaci je nutno především zajistit shodu kmitočtů  $f_s$  u obou krystalových párů. Rozestup  $f_s$  volíme 0,7  $B_3$ . Diferenciální transformátor lze navinout na běžnou kostřičku Ø 5 mm s dolaďovacím jádrem, ale též na vhodný feritový toroid (N 05). Důležité je dodržet zásadu malých vlastních kapacit vinutí, dále se požaduje vysoký činitel  $Q$  a malý rozptyl.

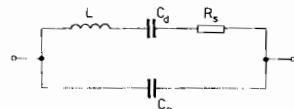
### Filtr Tesla PKF 10,7 – 15 A

Tento filtr byl používán v radiostanicích řady VX a je mezi našimi radioamatéry do jisté míry rozšířen. Je použit též v transceivru Boubin. Technická specifikace je na obr. 2. 18.

Pro uživatele je důležité dodržení požadovaných tolerancí zatěžovací impedance co do reálné i kapacitní složky. Jejich nedodržení nezmění sice průběh útlumu v přechodném a nepropustném pásmu, ale v propustném pásmu zvýší hodnotu základního vložného útlumu a zejména **zvlnění**, které v případě kmitočtové modulace způsobí amplitudové zkreslení přenášeného signálu. Stručně si tento jev můžeme vysvětlit tak, že kmitočtově modulovaný signál stále „přelaďuje“ propustné pásmo filtru. Přechodem přes „nerovnosti“ v charakteristice filtru vznikají okamžité amplitudové změny, které se projeví jako změny fáze signálu procházejícího mf zesilovačem. Vzniklé fázové zkreslení je detekováno fázovým detektorem a výsledkem je amplitu-



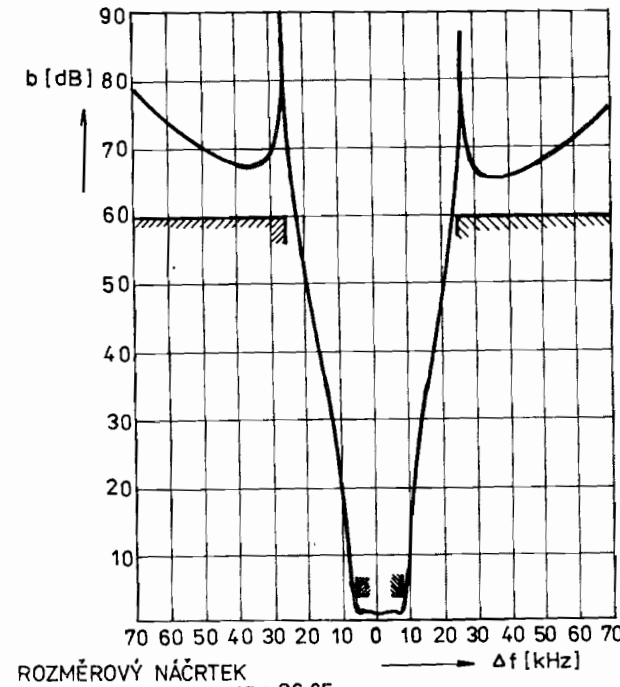
Obr. 2.18a. Vlastnosti filtru PKF 10,7 MHz-15A



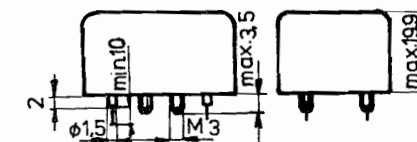
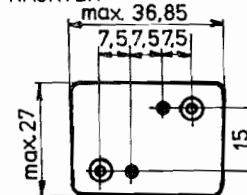
Obr. 2.18b. Vnitřní zapojení filtru PKF 10,7 MHz-15A

dové zkreslení nízkofrekvenčního signálu za detektorem. Proto se u filtrů pro přenos FM požaduje zvlnění maximálně 1 dB.

ÚTLMOVÁ CHARAKTERISTIKA KRYSТАLOVÉHO FILTRU  
TESLA PKF 10,7 MHz 15-A



ROZMĚROVÝ NÁČRTEK



## Filtry využívající harmonických kmitočtů krystalů

Požadavek vysokého mf kmitočtu je v některých případech diktován vyššími nároky na zrcadlovou selektivitu. Vysoký mf kmitočet je zpravidla používán pro pásmo UHF, ale setkáme se s ním i v KV přijimačích řešených na principu up-konvertoru.

Tyto filtry se vyrábějí z harmonických výbrusů využívaných na rezonanci 3. nebo 5. harmonické základního kmitočtu. Filtry vykazují v zásadě dva hlavní druhy přenosu, a to především na požadované harmonické, za druhé pak na základním kmitočtu.

Na tomto místě je pro ilustraci vhodná malá retrospektiva do doby vzniku prvních amatérských můstkových filtrů pro mf kmitočet 9 MHz. Všeobecně se tvrdí, že tento mf kmitočet vznikl aritmeticky z důvodu úsporného směšování s VFO o rozsahu 5 až 5,5 MHz, takže výsledné kmitočty odpovídají amatérským pásmům 3,5 a 14 MHz. To je ovšem pouze jedna strana mince. Hlavním důvodem byla praxe – úspěšný pokus prvního autora (snad to byl opravdu McCoy) o sestavení můstkového filtru z relativně dostupných krystalů 27 MHz pro občanské pásmo nebo řízení modelů. Tyto krystaly se totiž vyráběly a dodnes u řady firem vyrábějí jako harmonické se základním kmitočtem 9 MHz. Vzhledem k tomu, že občanské pásmo má též pevně přidělené kanály, není problémem vybrat krystalové páry s vhodným kmitočtovým odstupem na základním kmitočtu 9 MHz. Velkou předností je, že tyto krystaly není třeba upravovat a ohrožovat tím jejich časovou stabilitu i jakost.

Pro mf filtr 9 MHz, zhotovený tímto způsobem, představuje třetí harmonická 27 MHz nežádoucí parazitní přenos. Tohoto jevu můžeme využít při amatérské realizaci filtru s vysokým kmitočtem. Jako příklad si uvedeme krystaly z radiostanice Racek (harmonický krystal 36 MHz, základní kmitočet je 12 MHz). Filtr můžeme sestavit a posléze i změřit na základním kmitočtu, je však třeba počítat s tím, že pro konečný výsledek na kmitočtu 36 MHz je třeba všechno přepočítat s použitím koeficientu 3. Tedy především trojnásobná sériová i paralelní rezonance – z toho vyplývá i třikrát větší rozdíl mezi  $f_s$  a  $f_p$ . Výsledkem je trojnásobné zhoršení činitele tvaru.

Dále je zřejmá i třikrát větší šířka pásma oproti základnímu kmito-

čtu – tomu odpovídá i volba kmitočtového rozestupu krystalových páru. Pro krystaly se stejným kmitočtem je nutná též trojnásobná přesnost při výběru podle sériové rezonance ( $\pm 15$  Hz oproti  $\pm 50$  Hz).

Indukčnost sériové cívky (diferenciálního transformátoru) působí na **základním kmitočtu** krystalu. Zde se nabízí analogie s VXO, ve kterém je použit harmonický krystal. Kmitočet VXO nemůžeme též ovlivňovat na 3. harmonické a fázovací cívka působí **pouze na základní kmitočet**. Trojnásobná změna kmitočtu v oblasti 3. harmonické je pouze aritmetickým důsledkem.

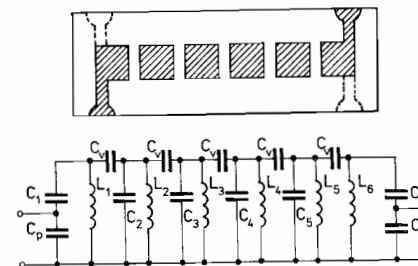
Sestavujeme tedy vlastně filtr na základním kmitočtu a výsledná křivka propustnosti na rezonanci 3. harmonické bude jen příslušně změněným obrazem křivky původní. Přesnou odpověď nám však dá pouze detailní proměření křivky přímo na požadovaném harmonickém kmitočtu.

### Příčkové filtry

Krystaly v příčkových filtroch působí obdobně jako u popsaných filtrov můstkových, tzn. že propustné pásmo odpovídá sériové rezonanci  $f_s$ , polohy max. útlumu pak paralelní rezonanci  $f_p$ . Kmitočet krystalu je posouván pomocí kapacit v oblasti těsně nad  $f_s$  (viz obr. 8.17). Zde není možné dosáhnout větších změn kmitočtu a z toho vyplývá, že příčkový filtr nelze realizovat s šírkou pásma potřebnou pro FM. Toto bylo ověřeno i praktickými pokusy.

### Bilitické filtry

Bilitický filtr je založen na paralelní rezonanci krystalového výbrusu. Využívá myšlenky, že soustavu jednotlivých rezonátorů lze reali-



Obr. 2.19. Monolitický filtr a jeho náhradní schéma

zovat na jediné destičce z monokrystalického křemene. Praktické provedení monolitického filtru je na obr. 2.19, včetně náhradního schématu. Na první pohled je zřejmé, že jde o šestinásobný filtr soustředěné selektivity z paralelních laděných obvodů, kde jednotlivé články jsou vázány kapacitně kondenzátory  $C$ . Kapacity  $C$  ovšem nelze chápat doslovně elektricky, ale jako ekvivalent mechanické vazby mezi jednotlivými rezonátory. Vazba se uskutečňuje povrchovým vlněním na monokrystalické destičce a je v podstatě závislá na vzdálenosti a rozměru jednotlivých elektrod.

Monolitické provedení filtru, jak je naznačeno na obr. 2.19, má však též určité nevýhody. V případě monolitických filtrů s větším počtem článků na jediné destičce se projevují **parazitní přenosy**, způsobené existencí nežádoucích vidů mechanických kmitů, případně vazeb mezi nesousedícími články. Zmíněný šestirezonátorový filtr vykazuje parazitní přenos ve vzdálenosti 105 kHz, s útlumem pouze 40 dB. Proto je původní filtr rozdělen na dvě destičky se třemi rezonátory, vázané elektricky kondenzátorem. Tím je mechanická vazba přes celý filtr přerušena a nežádoucí přenos tlumen.

Při tomto řešení výrobce zaručuje dodržení útlumu nepropustného pásmá 60 až 80 dB.

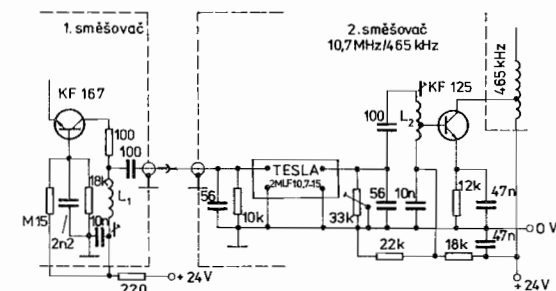
#### Vlastnosti filtru Tesla „2 MLF 10,7–15“:

Jmenovitý kmitočet	10,7 MHz
Šířka pásmá $B_3$	15 KHz
Zvlnění propustného pásmá	menší než 1 dB
Vložný útlum	menší než 2,5 dB
Útlum nepropustného pásmá	větší než 70 dB (včetně parazitních přenosů)
Činitel tvaru $B_{60}/B_3$	2,4
Vstupní a výstupní impedance	4,3 k $\Omega$ .

Filtr musí mít kompenzovány jalové složky vyladěným rezonančním obvodem. Vývody filtru jsou v provedení pro plošné spoje. Nejsou barevně označeny, ale je možno je určit takto: Při čelném pohledu na nápis „Tesla“ jsou zemní přívody dole, živé nahore. Filtr je elektricky souměrný, vstup i výstup jsou zaměnitelné.

Tento filtr je vzhledem ke svým vlastnostem srovnatelný s řadou XF-9, přitom je podstatně menší.

Při praktickém využití narazíme vždy na otázku impediančního přizpůsobení, resp. kompenzace jalových složek filtru. Protože nová řada radiostanic Tesly Pardubice tento typ filtru používá, povšimneme si řešení použitého výrobcem. Zapojení je na obr. 2.20. Směšovač osazený KF167 v zapojení se společnou bází zajišťuje vysokou impedanci v kolektoru, který je tak možno připojit na živý konec cívky  $L_1$  vstupního přizpůsobovacího obvodu. Transformace na vstupní impe-



Obr. 2.20. Zapojení filtru 2MLF 10,7-15  
v radiostaniči VR20

danci filtru 4 k $\Omega$  se provádí kapacitním děličem 100/56 pF a doplňuje rezistorem 10 k $\Omega$ . Stejně tak se transformuje výstup, k jemnému nastavení slouží miniaturní potenciometrický trimr 33 k $\Omega$ . Přizpůsobení na druhý směšovač je však nutno provést odbočkou na vinutí.

Hodnoty indukčností (podle údajů výrobce):

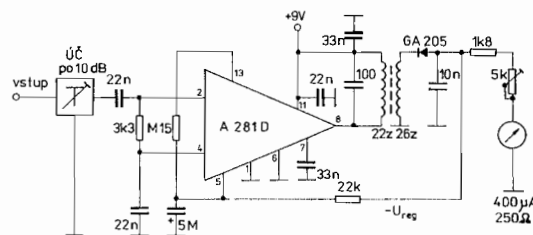
$L_1 = L_2 = 6,2 \mu\text{H}$ , tj. 32 závitů drátem  $\varnothing 0,1 \text{ mm CuLH}$  na kostřičce  $\varnothing 5 \text{ mm}$  (QA 261 46 s krytem), jádro N02 (i krátké N05). U cívky  $L_2$  odbočka na 6. závitu.

Uvedené zapojení s využitím vazebních obvodů je ověřené a dává vždy dobré výsledky (za předpokladu pečlivého stínění). Byly v něm ověřovány i výprodejní bilitické filtry s šírkou pásmá 10 kHz, prodávané svého času v partiových prodejnách, s výsledky obdobnými jako u výše popsaného filtru. V souvislosti s výprodejními filtry jsme se však mohli setkat i s pokusy o jejich přizpůsobení pouze kapacitami a odpory. Těmito jednoduchými obvody nelze filtr přizpůsobit.

## Měření obvodů soustředěné selektivity

Proměření úplné charakteristiky krystalových filtrů je obtížné a vyžaduje speciální měřicí přístroje, nazývané selektivní měříče úrovně. Je třeba si uvědomit, že v oblasti kmitočtů nad 5 MHz se již začíná výrazně projevovat přeslech mezi vstupem a výstupem měřeného objektu. Širokopásmové měření je pak ovlivněno vlastním šumem zesilovače měřicího přístroje, takže měření úrovní nižších než -60 dBm je prakticky nemožné. Nedostatečný dynamický rozsah širokopásmového měření neumožňuje ověření vlastností filtru v oblasti nepropustného pásma. Zkreslené výsledky měření bývají zpravidla horší než skutečnost.

Jednou z cest, jak rozšířit rozsah měření do oblasti malých napětí, je zařazení vf zesilovače před vlastní detektor. Dynamiku zesilovače lze rozšířit jedině pomocí účinného AVC. Průběh regulace může mít téměř ideální logaritmickou závislost na vstupním napětí, takže výstupní měřidlo lze ocejchovat v decibelech. Příklad jednoduché konstrukce využívající běžného mezifrekvenčního integrovaného obvodu A 281 D je na obr. 2.21. Vzdušné prostému vnitřnímu zapojení má obvod velmi výhodné vlastnosti, a to dynamiku AVC 70 dB a poměrně nízký šum. Vstupní útlumový článek reguluje signál po skocích 10 dB.



Obr. 2.21. Jednoduchý amatérský měřič úrovně

Laděný obvod na výstupu IO je nastaven na kmitočet 10,7 MHz a jeho křivka propustnosti je pochopitelně mnohonásobně širší než jakéhokoli krystalového filtru. Změnou rezonanční kapacity lze obvod přeladit i na jiné požadované kmitočty (např. 9 MHz). Obě cívky jsou

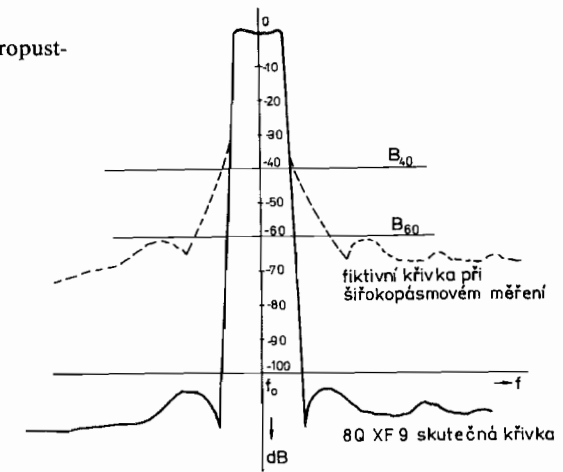
vinuty válcově drátem Ø 0,1 mm CuU na tělisku Ø 5 mm, jádro N05. Pro dosažení maximálního možného regulačního rozsahu je nutné dodržet činitel vazby obou cívek co nejbližší k 1, cívky je proto třeba vinout těsně na sebe. Z tohoto hlediska by zřejmě bylo vhodnější toroidní nebo dvouotvorové jádro a doladění změnou kapacity. Transformační poměr cca 1:1 nutno zachovat. Regulační napětí je proti zemi záporné. Lze dosáhnout celkového měřicího rozsahu asi 70 dB. Vstupní úroveň, od které nasazuje regulace, je 10 µV, pro nižší úrovně je údaj měřidla zkreslen vlivem šumu. Pokud se chceme vyhnout problémům s filtrací napájecího napětí, je vzhledem k malému odběru nevhodnější napájení ze dvou plochých baterií. Celou konstrukci včetně baterií stíníme oboustranným kuprextitem, zvláštní pozornost věnujeme stínění vstupního útlumového článku.

Popsaný měřič úrovně lze využít při změně prvků laděného obvodu pro nejrůznější vysokofrekvenční měření v radioamatérské praxi. V podstatě stejně zapojení se hodí pro S-metr jakéhokoli přijímače.

### Degradace útlumu nepropustného pásma v mf zesilovači

Požadovaný zisk mf zesilovače (přes 100 dB) je srovnatelný s dosažitelným útlumem filtru v oblasti nepropustného pásma (taktéž v průměru 100 dB). V odstavci o měření bylo ukázáno, že přeslechy mezi

Obr. 2.22. Degradace útlumu nepropustného pásma



vstupní a výstupní svorkou filtru způsobí zhoršení útlumových vlastností mimo pásmo propustnosti (obr. 2.22). Omezit vliv přeslechů lze jedině dokonalým stíněním, pro amatérskou výrobu je vhodná komůrková konstrukce využívající oboustranného kuprextitu.

Příkladem dokumentujícím zhoršení útlumových vlastností filtru je radiostanice VR 20. Její stavebnicové pojetí vyžaduje použití výmenných modulů vstupních jednotek. Kritickým místem je přechod mezi vstupní jednotkou a vstupem mf zesilovače, kde dochází k degradaci útlumu nepropustného pásma na hodnotu -40 dB, i když samotný bilitický filtr při ideálním stínění může dosáhnout až -80 dB. Požadavek variability modulové koncepce však jinou možnost nedává.

U mezifrekvenčního zesilovače, který používá pouze jediný mf kmitočet 10,7 MHz, se dále projevuje vliv šumu. Širokopásmový zesilovač zařazený za filtrem soustředěné selektivity produkuje **širokopásmový šum**, který je též vyhodnocen detektorem. Lze jej omezit zařazením dalšího filtru na výstup mf zesilovače, před detektor. Zpracovávané kmitočtové pásmo se tak zúží na původní hodnotu a tím se zlepší výstupní poměr signál/šum. V případě kmitočtové modulace musí mít i tento filtr minimální zvlnění (z důvodu vzniku fázového zkreslení).

V případě úzkopásmové kmitočtové modulace není ani detekce na kmitočtu 10,7 MHz dostatečně účinná, pokud je použit detektor s obvody LC. Tato skutečnost bývá uváděna jako hlavní důvod pro použití dvojitého směšování. Jak je z výše uvedeného zřejmé, existují i důvody závažnější.

### Dvojí směšování a jeho výhody

a) u dvojitého směšování je požadovaný zisk rozdělen do dvou vzdálených pásem mezifrekvenčních kmitočtů. Důsledkem je zvýšení stability celého mf zesilovače;

b) obdobně je rozdělena selektivita. Superpozicí křivek propustnosti filtru 10,7 MHz a 465 kHz vznikne téměř ideální obdélníková křivka mezikanálové selektivity. Degradace nepropustného pásma se projeví v daleko menší míře;

c) superpozicí křivek jsou navíc potlačeny parazitní přenosy v ne-

propustném pásmu, protože oba filtry vykazují parazitní přenosy v jívné vzdálenosti od středního kmitočtu;

d) tím, že je druhý filtr 465 kHz umístěn vlastně blíže ke konci zasilovacího řetězu, sníží se šum o přírůstky předcházejících stupňů 10,7 MHz, jejichž podíl na celkovém šumu je nejvyšší.

Jedinou nevhodou dvojitého směšování je poněkud složitější zapojení a potřeba dalšího transpozičního kmitočtu pro konverzi 10,7 MHz/465 kHz. Případný vliv transpozičního kmitočtu lze omezit volbou kmitočtového plánu. Pro pásmo 145 MHz volíme raději spodní kmitočet, tj. 10,235 MHz.

Všechny výše uvedené důvody vedou k závěru, že při amatérské konstrukci je nanejvýš výhodné použít hotový mezifrekvenční díl z inkurantní radiostanice, i když se jeho koncepce z dnešního pohledu jeví třeba zastaralá. Proto si dále přiblížíme zapojení mezifrekvenčních dílů použitých u radiostanic řady VX.

### Mezifrekvenční zesilovače radiostanic Tesla

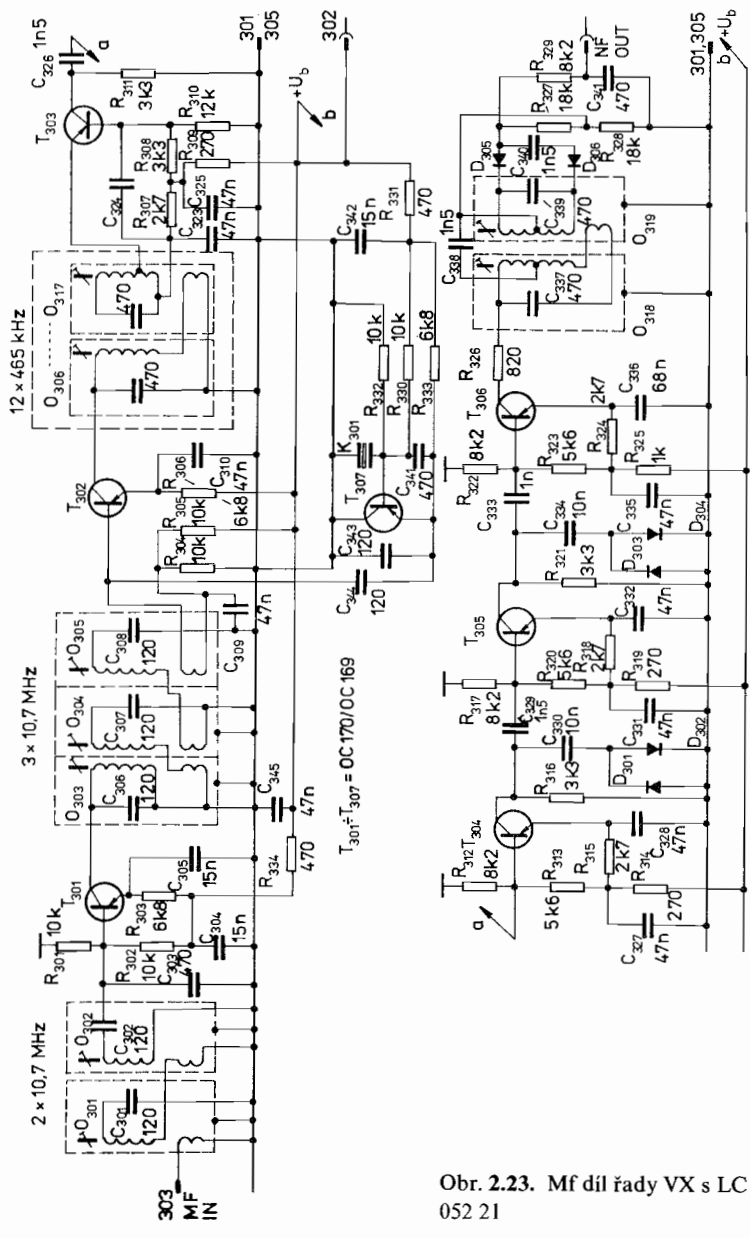
Schéma zapojení úplného mf dílu radiostanic VXW 010, VXW 100 a VXXN 101, použitého u prvních výrobních sérií, je na obr. 2.23. Na vstupu ještě není použit krystalový filtr soustředěné selektivity, ale obvody LC pro zajištění základní zrcadlové selektivity. Mezikanalová selektivita, asi 60 dB, je realizována dvanáctičlánkovým filtrem LC 465 kHz. Díl je osazen germaniovými tranzistory OC170/169, omezovače antiparalelními diodami OA9, fázový diskriminátor 2 × GA 206.

Dalším vývojem vznikl mf díl QN 054 49 se čtyřčlánkovým filtrem LC 10,7 MHz na vstupu, osazený jednotně tranzistory GF515.

Tento díl byl později vybaven krystalovým filtrem PKF 10,7–15 A a vyráběn pod označením QN 054 53.

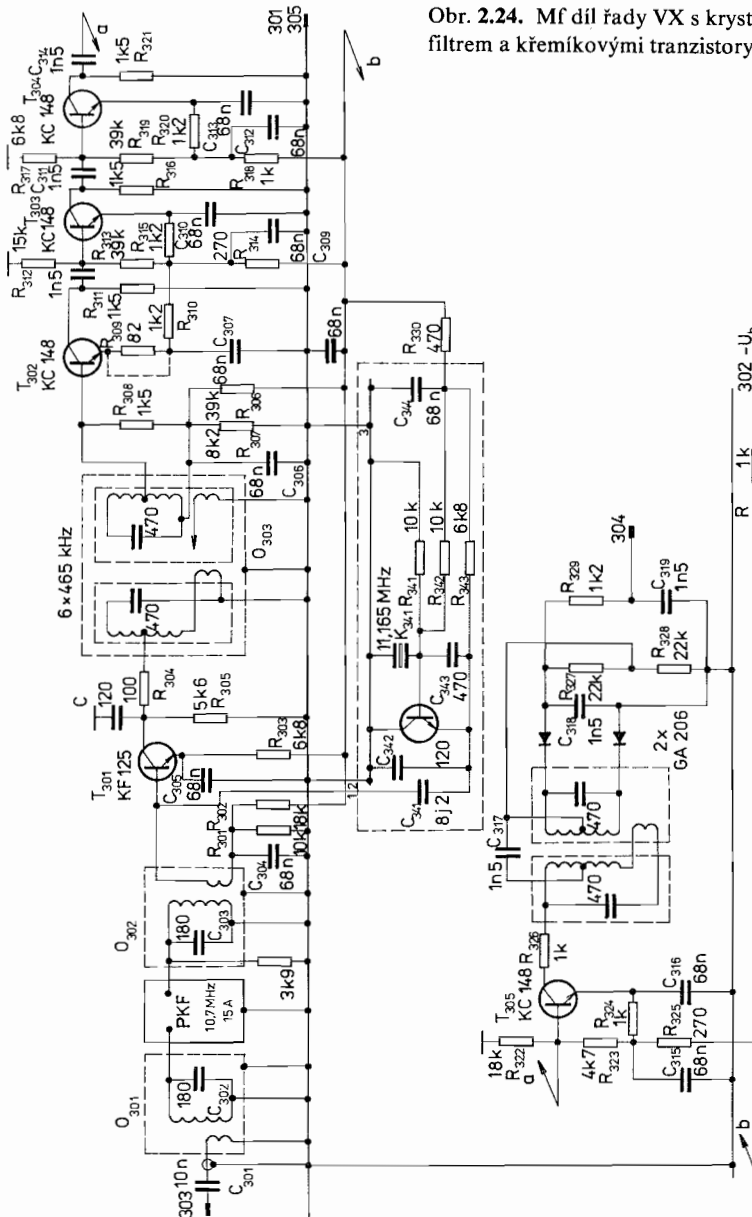
Na stejně spojové desce a se stejným zapojením byl vyráběn inovovaný díl s křemíkovými tranzistory. Rozdíl byl pouze v obrácené polaritě napájecího napětí a jiném nastavení pracovních bodů. Schéma tohoto velmi rozšířeného dílu je na obr. 2.24.

V radiostanicích VR 20 použitý mf díl QN 211 13 je charakteristický již dříve popsaným bilitickým filtrem 2 MLF 10,7–15. Zapojení dílu včetně umlčovače šumu je na obr. 2.25. Šum je vzorkován na obvodu LC 8,5 kHz.



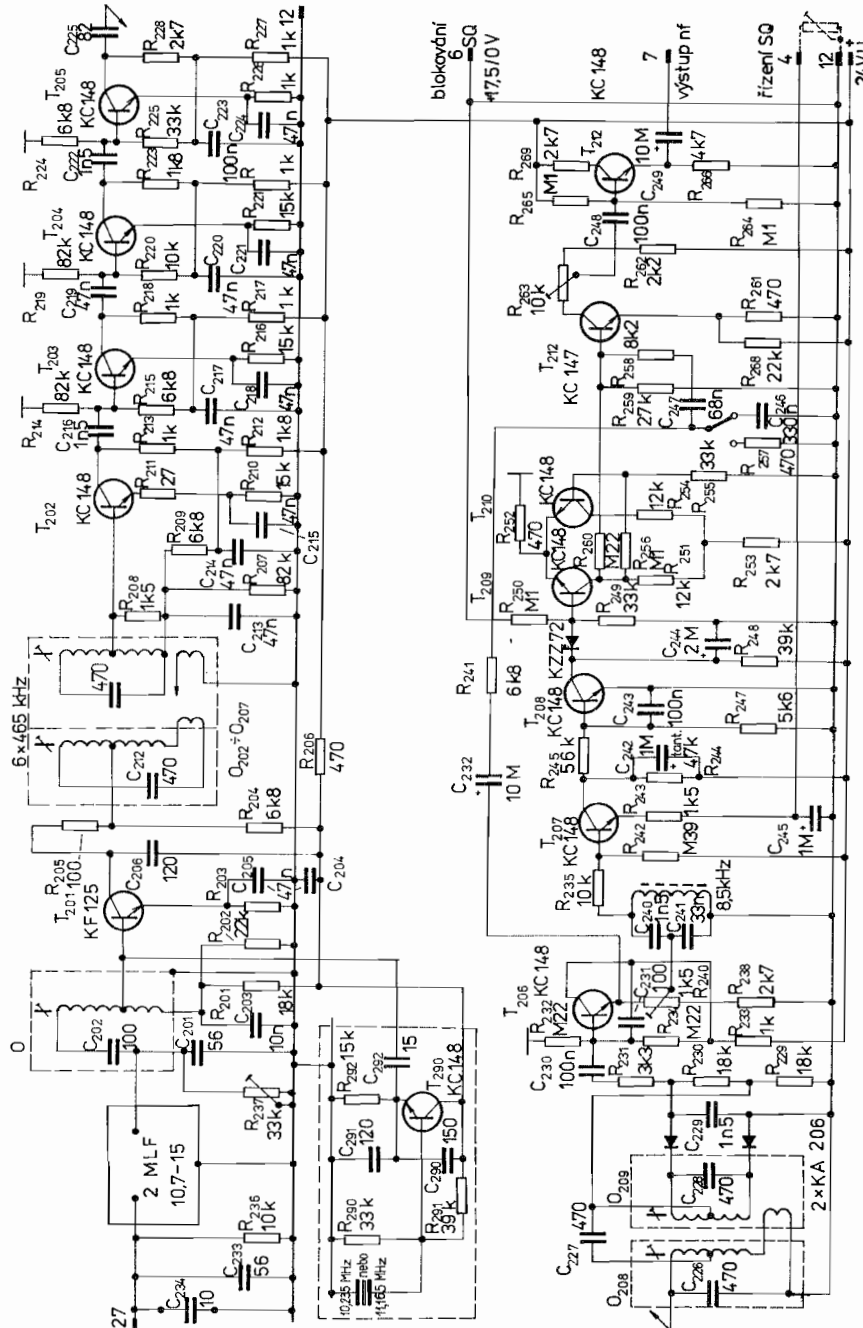
Obr. 2.23. Mf díl řady VX s LC filtry QN  
052 21

[ 52 ]



Obr. 2.24. Mf díl řady VX s krystalovým filtrem a křemíkovými tranzistory

[ 53 ]



## Amatérské mezifrekvenční zesilovače

V současné době běžně dostupná součástková základna umožnuje snadnou konstrukci mf zesilovačů FM i v amatérských podmírkách.

Základním kamenem je mezifrekvenční integrovaný obvod pro FM, obsahující omezovací zesilovač se ziskem 60 až 80 dB a koincidenční detektor. Funkce detektoru bude popsána v příslušné kapitole, nyní si pověsimy především vlastnosti zesilovače. Omezovací zesilovač je vždy řešen jako kaskádní zapojení několika diferenčních zesilovacích stupňů. Diferenciální zapojení zlepšuje šumové vlastnosti a přispívá k vyšší stabilitě. Zesilovač je napájen malým napětím, takže je možné snáze dosáhnout dokonalého omezení, které je nezbytné pro funkci koincidenčního detektoru. U nás jsou dostupné tyto základní obvody:

MAA661 (TAA661)

Zisk třístupňového omezovacího zesilovače 60 dB, vstupní napětí pro omezení 70 mV, vrcholové napětí po omezení na výstupu zesilovače 0,5 V, výstupní detekované nf napětí 1 V, potlačení AM lepší než 40 dB. Jde o jeden z nejstarších obvodů pro zvukové části televizorů s relativně vysokým šumem. Určitou nevýhodou je nesymetrické řešení obvodu na čipu, takže se více projevují změny teploty a napájecího napětí. Důsledkem je zvýšená nestabilita středu demodulační charakteristiky zejména při úzkopásmových aplikacích.

A220D (TBA 120s)

Osmistupňový omezovací zesilovač se ziskem 70 dB, vstupní napětí pro omezení 35  $\mu$ V ( $\leq 120 \mu$ V), vrcholové napětí po omezení na výstupu zesilovače 250 až 300 mV (vývody 6 a 10). Zesilovač je schopen zpracovat kmitočty do 12 MHz, vyšší jsou záměrně potlačeny. Výstupní detekované nf napětí je 400 mV, nf regulátor lze připojit na vývod 5. V Evropě nejrozšířenější televizní zvukový obvod. Provedení čipu je zcela symetrické. Zenerovu diodu ve vývodu 12 ( $U_z = 12$  V) se nedoporučuje používat (ohřívá čip). Někdy se používá vnitřní „zbylý“ tranzistor (báze vývod 4, kolektor 3, emitor 1) jako nf zesilovač nebo spínač umlčovače šumu.

## A223D (TBA 120 U)

Značně vylepšený A220D, zvláště vhodný pro amatérské přijímače úzkopásmové FM. Vlastnosti omezovacího zesilovače odpovídají předchozímu typu A220D. Všechny ostatní části (detektor a nf zesilovač) jsou zdokonaleny. Uspořádání vývodů odpovídá též A220D, s výjimkou vývodů 3, 4 a 12. Nf napětí na výstupu 8 je 1 V, regulované ve vývodu 5. Výstup 12 je neregulovaný (tzv. „diiodový výstup“) a lze jej použít např. pro umlčovač šumu (nf napětí na vývodu 12 je 1 V). Největší předností je vnitřní stabilizovaný zdroj, který zajišťuje nezměněnou funkci obvodu v širokém rozsahu napájecích napětí 10 až 18 V. Obvod je necitlivý nejen na spojitě, ale též impulsní změny napájecího napětí, je proto vhodný nejen pro přenosné, ale zejména mobilní radiostanice. Také (na rozdíl od A220D) se při nf regulaci stejnosměrné napětí na vývodech 8 a 12 nemění (výhodné pro indikátor naladění). Vnitřní stabilizátor je vyveden na vývod 4 (4,2 až 5,3 V, max. odebíraný proud 5 mA). Toto napětí lze využít jako referenční i pro další účely (řízení dalších stabilizátorů, ale i ladící napětí pro variaky u jednoduchých konstrukcí). Spínáním bodu 5 k zemi lze nf výstup 8 uzavřít (vhodné pro umlčovač šumu).

## A225D (TDA 1047)

Kvalitní mf obvod, sdružující řadu funkcí a určený především pro rozhlasové přijímače FM. Pro úzkopásmovou FM se příliš nehodí. To se týká především zdánlivě výhodného obvodu „šumové brány“, který je obdobně jako vnitřní S-metr závislý na síle přijímaného signálu. Pro úzkopásmovou FM je vhodnější řízení umlčovače vzorkováním šumu.

## A244D (TCA 440)

Integrovaný AM přijímač, v technice úzkopásmové FM používaný jako převodník mf kmitočtů 10,7 MHz/465 kHz. Vstup i mf zesilovač obvodu lze řídit napětím AVC. Pokud je k detekci použit fázový diskriminátor, je vhodné využít plného zisku mf zesilovače. Pokud však navazuje úplný FM obvod (např. A220D), je lépe zisk mf zesilovače redukovat, neboť vzrůstá nestabilita a šum.

## A283D (TDA 1083)

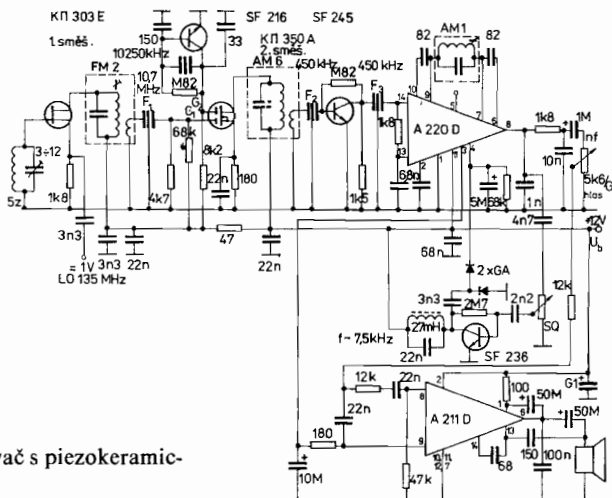
Tzv. „jednočipový“ přijímač AM/FM pro spotřební elektroniku. S výjimkou vstupního VKV dílu obsahuje vše včetně malého nf zesilovače pro reproduktor. Pracuje již od napájecího napětí 3 V. U jednoduchých amatérských konstrukcí se výhodně používá pro konverzi 10,7 MHz/465 kHz, detekci FM až po nf výstup.

V přehledu uvedené obvody nakupuje Tesla-Eltos od výrobce (RFT).

Příklady aplikací uvedených integrovaných obvodů si ukážeme na několika vybraných amatérských konstrukcích.

## Mezifrekvenční díl s dvojím směšováním a piezokeramickými filtry

V zapojení zesilovače jsou na obr. 2.26 použity piezokeramické filtry pro spotřební elektroniku. Filtr  $F_1$  s šírkou pásma 150 kHz zajišťuje základní zrcadlovou selektivitu, filtry  $F_2$  a  $F_3$  mezikálovou selektivitu asi 60 dB. U filtrů 465 kHz je vhodné se zaměřit na výběr filtrů



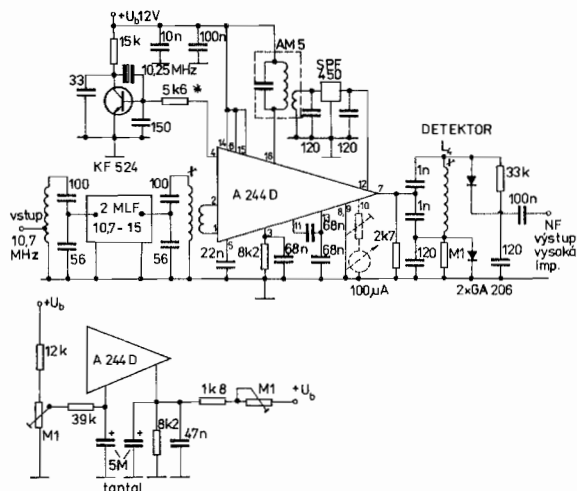
Obr. 2.26. Mf zesilovač s piezokeramickými filtry Y22QN

s malým zvlněním v propustném pásmu. Transpoziční krystal pro druhé směšování nemusí být zcela přesný, do šířky 150 kHz prvního

filtru se vejde pohodlně. Za pozornost stojí způsob napájení transformačního oscilátoru 10,25 MHz, spřažený s předpětím druhého směšovače.

### Mf díl s dvojím směšováním a IO A244D

Integrovaný obvod A244D byl již charakterizován. V naznačené aplikaci na obr. 2.27 je vypuštěna regulace AVC a vstupní část i mf zesilovač pracují s plným zesílením, takže signál na výstupu 7 je plně omezen. Použitý detektor je přes svou jednoduchost velmi účinný



Obr. 2.27. Příklad mf zesilovače 10,7 MHz/450 kHz s IO A244D

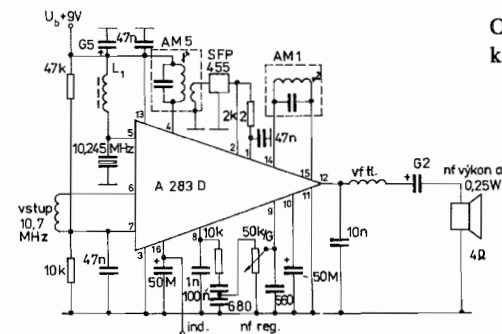
a bude podrobněji popsán v kapitole o demodulátorech FM. Při důsledném stínění a blokování není problémem potlačit vedlejší kanál o 60 dB.

Pokud je k detekci použit obvod typu A220D či obdobný, je vhodné snížit zesílení A244D regulačním obvodem, který je též naznačen na obr. 2.27.

### Mf díl s dvojím směšováním a IO A283D

Příklad mf zesilovače s tímto obvodem je na obr. 2.28. Mf signál 10,7 MHz je přiveden na AM vstupní předzesilovač v diferenciálním zapojení. Krystalový oscilátor je v Pierceově zapojení (na vývodu 5 je kolektor oscilátoru) a vyžaduje aktivní krystal. V případě méně jahodních krystalů je lépe použít samostatný oscilátor s tranzistorem (např. KF524). Na výstupu směšovače (vývod 4) dostáváme mezifrekvenční signál 455 kHz. Ten vede přes přizpůsobený (zvlnění !) keramický filtr na vstup mf zesilovače (vývody 1 a 2). Zesílený a omezený mf signál je detekován koincidenčním detektorem, jehož fázovací obvod je připojen na vývody 14 a 15. Nf signál z demodulátoru (vývod 8) je přes obvod deemfáze a regulátor hlasitosti přiveden do nf zesilovače (vstup vývod 9) a zesílen na výkonovou úroveň asi 0,25 W. Nf zesilovač je od vnitřní struktury IO oddělen a má i vlastní zemní vývod 11, ke kterému se připojují všechny nf blokovací elektrolytické kondenzátory i zemní vývod reproduktoru. Mezi vývody 8 a 9 lze zařadit vnější umlčovač šumu.

Popsaný zesilovač má některé nedostatky vyplývající z vlastností použitého integrovaného obvodu. Nevyhovuje především citlivosti pro plné omezení FM signálu. Na celkovém zesílení chybí zhruba 20 dB, které je nutno doplnit předzesilovačem. Tento předzesilovač ani vstupní filtr nejsou sice na obr. 2.28 uvedeny, lze však použít některé z už uvedených zapojení.



Obr. 2.28. Mf zesilovač 10,7 MHz–455 kHz s IO A283D

## Amatérské mf zesilovače s jediným mf kmitočtem

Koncepce jednoho směšování má stále své místo pro svou relativní jednoduchost. V zásadě se ustálila dvě pojetí:

- mf zesilovače na „vysokém“ kmitočtu 10,7 MHz,
- mf zesilovače na „nízkém“ (duplexním) kmitočtu 600 kHz.

Hlavními nevýhodami mf zesilovačů na kmitočtu 10,7 MHz jsou:

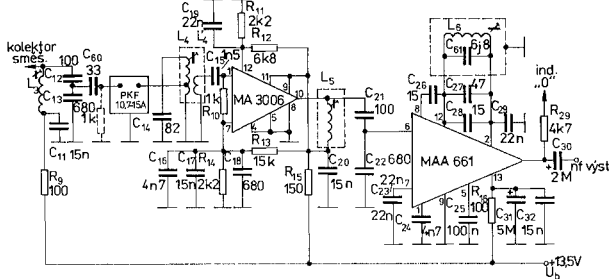
- a) nutnost soustředění velkého zisku přináší nestabilitu a zvýšený integrální šum;
- b) obtížněji dosažitelná požadovaná hodnota selektivity a malé potlačení sousedních kanálů;
- c) obvykle málo účinná detekce úzkopásmové FM;
- d) kmitočtová nestabilita středu demodulační křivky.

U mf zesilovačů s „nízkým“ kmitočtem 600 kHz se obdobně projevují výše uvedené body a) i b).

Negativní vlastnosti uvedené pod body c) a d) se sice neprojeví, zato však zesilovač, a tím i celý přijimač nemá žádnou zrcadlovou selektivitu.

## Mf zesilovač 10,7 MHz transceivru Boubín

Tento zesilovač lze označit za typický příklad koncepce používající jediný mf kmitočet 10,7 MHz (obr. 2.29).



Obr. 2.29. Mf zesilovač 10,7 MHz transceivru Boubín

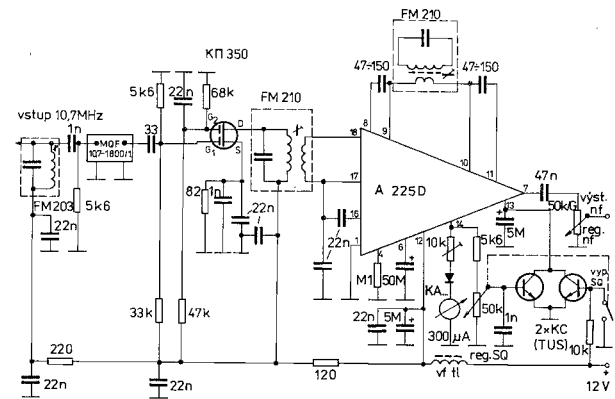
Zesilovač má na vstupu poměrně komplikovaně vázaný filtr PKF 10,7–15A (srovnej doporučení výrobce), za ním následuje inte-

grovaný obvod MA 3006 v kaskádném zapojení se ziskem asi 30 dB. Omezující zesilovač MAA661 má zisk kolem 60 dB, celkový zisk mf zesilovače před detekcí je tedy zhruba 90 dB. Větší zisk u koncepce 10,7 MHz nelze realizovat.

Detekce při použití fázovacího obvodu LC je málo účinná.

## Mf zesilovač 10,7 MHz s IO A225D

Tento zesilovač je uveden jako příklad aplikace zmíněného integrovaného obvodu, zapojení bylo převzato z [6]. Ani v tomto případě nelze soustředit větší zisk než 90 dB. Taktéž detekce, přes uvedenou transformaci ve fázovacím obvodu, zůstává málo účinná. Na vstupu použitý filtr je obdobný našemu 2 MLF 10,7–15. K umlčování šumu se používá vnitřního obvodu „šumové brány“ s doplňujícím obvodem pro jemnou regulaci (obr. 2.30).



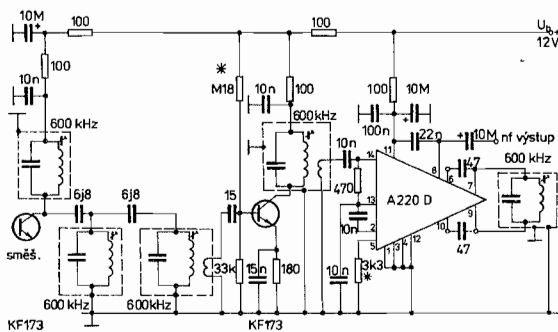
Obr. 2.30. Mf zesilovač 10,7 MHz s IO A225D

## Mf zesilovač transceivru „Šmudla“ (OK1AAK).

Konstrukce využívající rozdílový mf kmitočet 600 kHz znamenaly nesporný přínos pro ozivení a rozvoj provozu přes převáděče. Svůj význam si zachovávají i nadále, pokud požadavky na selektivitu ne-

jsou dominantní a do popředí vystupuje především potřeba malého odběru z baterií, nízké hmotnosti a malých rozměrů.

Příkladem je mf zesilovač transceivru „Šmudla“ na obr. 2.31. Jak již bylo uvedeno, přijímač s mf kmitočtem 600 kHz nemá vlastně žádnou zrcadlovou selektivitu. Mezikánalová selektivita je u mf zesilova-



Obr. 2.31. Mf zesilovač transceivru „Šmudla“ OK1AAK

če „Šmudla“ zajišťována tříobvodovou pásmovou propustí na vstupu zesilovače. Celé zapojení je standardní, bez přehnaných nároků a tudíž bez problémů při realizaci. Rezistorem na vývodu 5 IO se nastavuje základní úroveň nf signálu pro navazující umičovač šumu a nf zesilovač.

Mf kmitočet 600 kHz používala i řada dalších konstrukcí.

## **Demodulátory kmitočtově modulovaných signálů**

Demodulátor FM signálu má za úkol převést změny kmitočtu na odpovídající změny napětí. Existuje řada různých zapojení, všechny však mají za úkol vytvořit detekční křivku požadovaných vlastností, tzv. demodulační charakteristiku. Ta je pro svůj tvar též někdy nazývána křivkou „S“ (obr. 2.32).

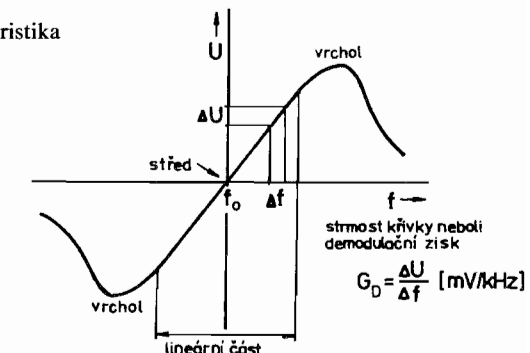
**U demodulační charakteristiky hodnotíme:**

a) linearitu, tj. schopnost převést změny kmitočtu na odpovídající změny výstupního napětí s co nejvyšší přesností;

- b) šířku lineární části – musí odpovídat šířce zpracovávaného kanálu;

- c) kmitočtovou stabilitu středu demodulační charakteristiky;
  - d) strmost demodulační charakteristiky, tj. závislost změny výstupního napětí na změně vstupního kmitočtu. Udává se v mV/kHz a bývá často označována jako **demodulační zisk**  $G_d$ . Na demodulačním zisku závisí účinnost detektoru.

Obr. 2.32. Demodulační charakteristika (křivka „S“)



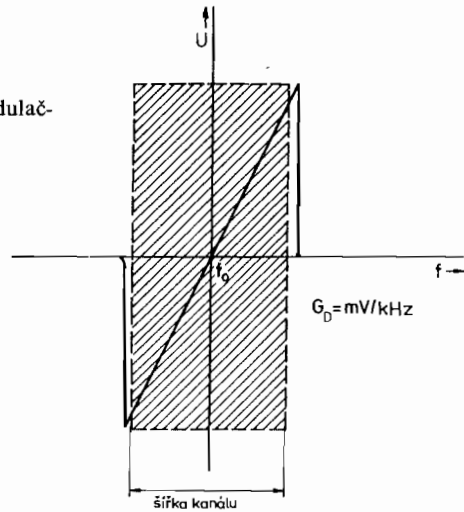
Požadavky na demodulační charakteristiku se liší podle požadovaného účelu. V případě přijímačů pro VKV rozhlas (zvláště pak pro stereo signál) je nutné, aby její linearita i šířka byla co největší (šířka lineární části větší než 500 kHz). Při této šířce je i při vysokém mf kmitočtu 10,7 MHz požadavek stability snadno splnitelný. Strmost je zvolena jako kompromis mezi účinnou detekcí a linearitou.

V případě **úzkopásmové FM** je kladen hlavní důraz na maximální sdělovací účinnost. Požadavek vysoké věrnosti přenosu modulace ustupuje do pozadí, připouští se určitá nelinearity demodulační charakteristiky (zkreslení až 10 %). Největší důraz je kladen na účinnou detekci. Důležitá je i kmitočtová stabilita.

Tyto požadavky jsou snadno splnitelné u nízkého mf kmitočtu (455, resp. 600 kHz). Na vysokém mf kmitočtu 10,7 MHz není možné obvody LC dosáhnout velké strmosti, proto se detektory pro 10,7 MHz doplňují krystaly. Optimalizace diskriminátorů s krystaly je sice poměrně obtížnou záležitostí, jejich pozitivním rysem je však dobrá kmitočtová stabilita.

Idealizovaná demodulační charakteristika odpovídá šířce přenášeného kanálu (obr. 2.33). V tomto kmitočtovém rozmezí má vysokou strmost a linearitu. Na okrajích přenášeného pásma vykazuje ostrý pokles, je pro daný kanál selektivní a přispívá k celkové selektivitě. Všechny tyto vlastnosti jsou důležité pro dosažení účinné detekce s vysokým poměrem  $s/\check{s}$ .

Obr. 2.33. Idealizovaný tvar demodulační charakteristiky



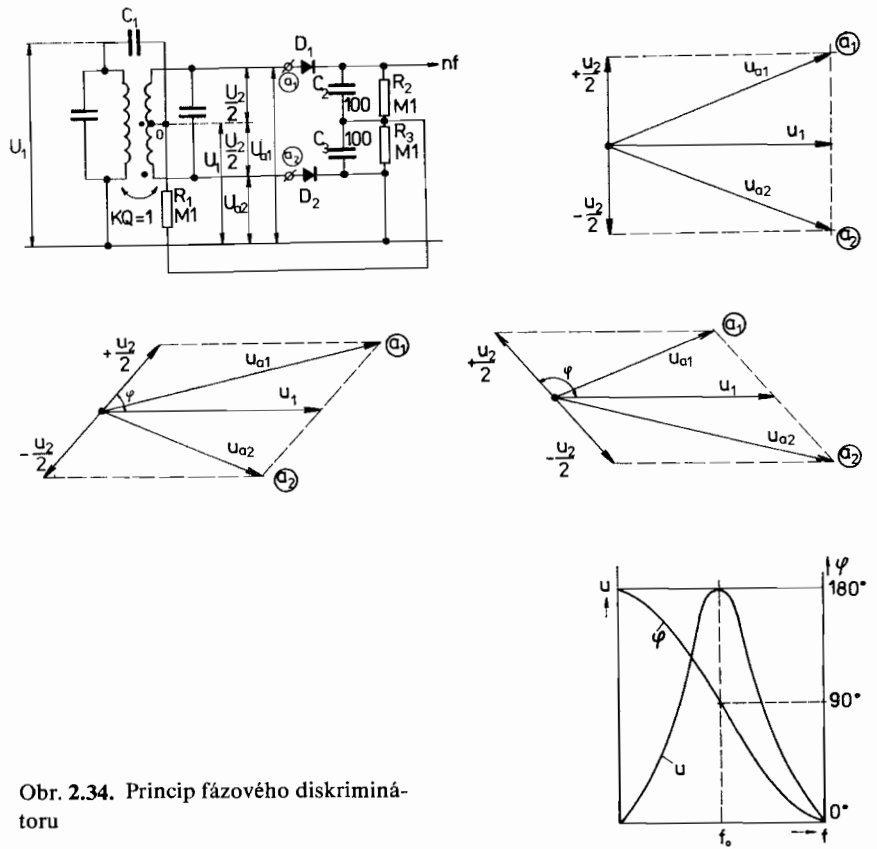
V dalším se nejdříve zaměříme na běžné způsoby detekce, a to **fázový diskriminátor** a nověji **koincidenční detektor**. Dále pak věnujeme pozornost demodulaci FM pomocí **fázového závěsu**, u něhož lze nastavením pásma zachycení dosáhnout téměř ideálního tvaru demodulační charakteristiky.

### Fázový diskriminátor

Fázový diskriminátor Foster-Seeley je principiálně naznačen na obr. 2.34a. Jeho základem jsou dva laděné obvody s kritickou induktivní vazbou ( $k.Q=1$ ), jde tedy o mezifrekvenční transformátor, jehož sekundární vinutí je symetrické vůči středu  $O$  (diferenciální vinutí). Do bodu  $O$  se přes kondenzátor  $C_1$  též přivádí přímo napětí z primáru mf transformátoru.

Činnost zapojení si nejlépe osvětlíme pomocí vektorových diagramů. Pro stav, kdy přijímaný kmitočet je roven střednímu kmitočtu

mezifrekvence, platí poměry na obr. 2.34b. K napětí  $u_1$  ve středu  $O$  se vektorově přičítají poloviční napětí  $u_2/2$  indukovaná na obou koncích sekundárního vinutí, která jsou posunutá proti napětí  $u_1$  o fázový úhel  $\pm 90^\circ$ . Výsledné vektory  $u_{a1}$  a  $u_{a2}$  na svorkách  $a_1$  a  $a_2$  mají stejnou amplitudu s opačnou polaritou. Jejich usměrněním vznikne tedy nulové součtové napětí.



Obr. 2.34. Princip fázového diskriminátoru

Zvýšením (resp. snížením) kmitočtu dojde na koncích sekundárního vinutí ke změně fáze obou vektorů  $u_2/2$  vůči vektoru  $u_1$ . Důsled-

kem je tedy i změna výsledných vektorů  $u_{a1}$ ,  $u_{a2}$  na svorkách  $a_1$  a  $a_2$ . Součet jejich amplitud na diodách ( $|u_{a1}| \pm |u_{a2}|$ ) má za následek kladné (záporné) součtové napětí, jehož velikost je úměrná rozdílu fáze, viz obr. 2.34c,d. Závislost fázového úhlu  $\varphi$  na kmitočtu u laděného obvodu ukazuje **fázová charakteristika** na obr. 2.34e, u níž je zřejmé, že za lineární můžeme považovat pouze její střední část okolo kmitočtu  $f_0$ . Tomu odpovídá i výsledná demodulační charakteristika fázového diskriminátoru.

Aby mohlo dojít ke sčítání amplitud vektorů  $u_{a1}$  a  $u_{a2}$ , jsou okruhy diod stejnospěrně uzavřeny přes odpor  $R_1$ .

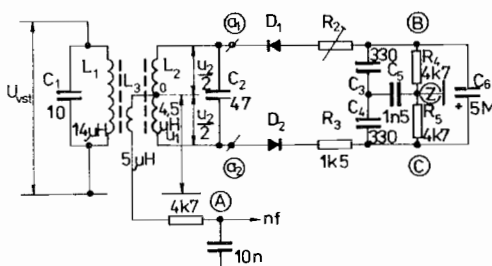
Při přímu kmitočtovém modulovaném signálu sleduje tedy výstupní napětí fázové odchylky a takto vzniklé nf napětí bude odpovídat modulaci. U fázového diskriminátoru (při symetrickém provedení sekundárního vinutí) střednímu kmitočtu demodulační charakteristiky  $f_0$  odpovídá vždy nulové výstupní napětí. Kolem tohoto kmitočtu je křivka symetrická.

Významnou vlastností fázového diskriminátoru je dobrá účinnost. Je výhodný právě při detekci v oblasti 450 kHz, kde lze při aplikaci hrnčkových jader dosáhnout vysokých hodnot demodulačního zisku  $G_D$ . Další pozitivní vlastností fázového diskriminátoru je jeho dlouhodobá kmitočtová stabilita.

Pro správnou funkci fázového diskriminátoru je nezbytné dokonalé amplitudové omezení mf signálu před detekcí (změna amplitudy je doprovázena změnou fáze viz obr. 2.34e). Důsledkem průniku AM a jakýchkoli amplitudových změn je zkreslení detekovaného signálu.

### Poměrový detektor

Poměrový detektor (obr. 2.35) byl odvozen ze zapojení fázového

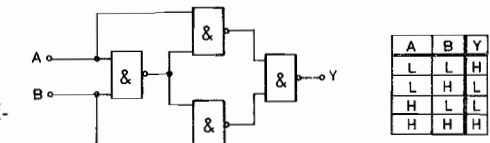


Obr. 2.35. Poměrový detektor

diskriminátoru. Je méně citlivý na amplitudové změny, ale má oproti fázovému diskriminátoru menší demodulační zisk. V technice úzkopásmové FM nebyl nikdy příliš rozšířen, hlavní oblastí využití byla zařízení spotřební elektroniky.

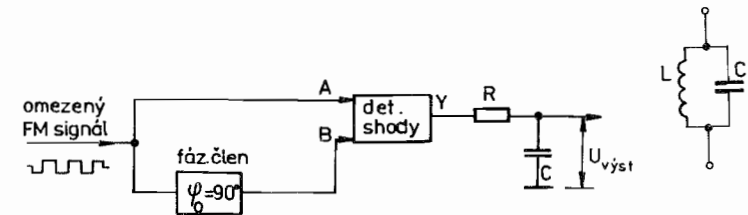
### Koincidenční detektor

Koincidence znamená **shodu**. Logické funkci „shoda“ odpovídá obvod EXCLUSIVE-OR na obr. 2.36. Na výstupu  $Y$  je úroveň  $H$  tehdy, je-li na obou vstupech  $A, B$  shodná logická úroveň, tedy buď  $H$ , nebo  $L$ . V ostatních případech je na výstupu  $Y$  úroveň  $L$ .



Obr. 2.36. Logická funkce EXCLUSI-VE-OR (SHODA)

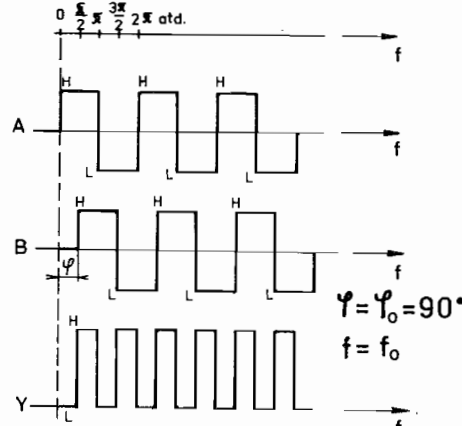
Detektoru shody lze využít k demodulaci kmitočtově fázově modulovaných signálů podle principiálního zapojení na obr. 2.37. Do vstupu  $A$  je přiváděn omezený (obdélníkový) signál přímo, do vstupu  $B$  přes fázovací člen. Fázovací člen zajišťuje, že na vstup  $B$  je přiváděn



Obr. 2.37. Princip koincidenčního detek-toru

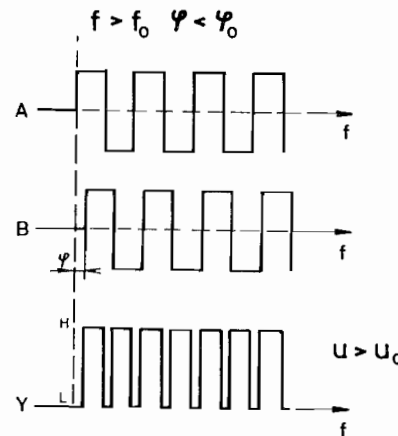
zpracovávaný signál zpozděný o čtvrt periody  $\pi/2$ , tedy s fázovým posunem  $90^\circ$ . Fázovací člen je nastaven tak, aby v okamžiku, kdy přijímaný signál je roven střednímu kmitočtu ( $f = f_0$ ), vykazoval fázo-

vý posun přesně zmíněných  $90^\circ$ . Tento stav je zachycen na obr. 2.38a. Na výstupu  $Y$  se objeví impulsy s dvojnásobným kmitočtem a impulsním poměrem 1:1. Následnou integrací tohoto průběhu členem RC získáme na výstupním kondenzátoru napětí  $u_0$ , které odpovídá střednímu kmitočtu  $f_0$ . Toto napětí je polovinou amplitudy vstupních impulsů.



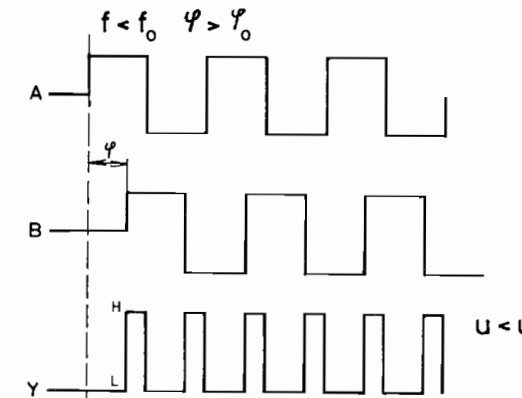
Obr. 2.38a. Časový diagram KD pro  $f = f_0$

Zvýšením kmitočtu ( $f > f_0$ ) se fázový posun mezi signály na vstupech  $A$  a  $B$  zmenší  $\varphi < \varphi_0$ , viz obr. 2.38b. Zvětší se impulsní poměr H:L a kladné impulsy  $H$ , širší než impulzy  $L$ , nabíjejí integrační kondenzátor na napětí  $u > u_0$ .



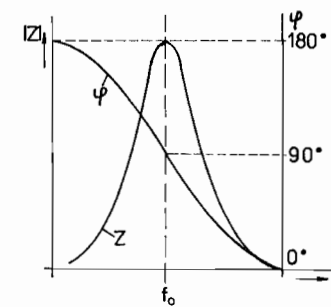
Obr. 2.38b. Časový diagram KD pro  $f > f_0$

Snížením kmitočtu ( $f < f_0$ ) se fázový posun obou signálů zvětšuje, výstupní impulsy  $H$  jsou užší než  $L$  (sníží se impulsní poměr) a nabíjejí tedy integrační kondenzátor na nižší napětí  $u < u_0$  (obr. 2.38c).



Obr. 2.38c. Časový diagram KD pro  $f < f_0$

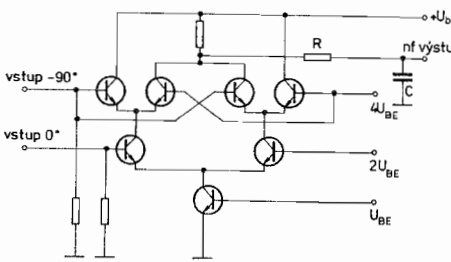
Fázový posun  $90^\circ$  získáváme na **fázovacím členu**. Může to být např. paralelní laděný obvod, jehož fázová charakteristika je uvedena na obr. 2.39. Celé zapojení tedy nejprve pomocí fázovacího členu převádí kmitočtovou modulaci na modulaci fázovou, která je následně v detektoru shody převedena na modulaci šířkou impulsů.



Obr. 2.39. Průběh fázového posunu na laděném obvodu LC

I když je popsán způsob detekce pomocí logických obvodů teoreticky možný, v mezifrekvenčních obvodech pro FM se nepoužívá a je

nahrazen obvodem tzv. „analogové násobičky“, jejíž základní zapojení je na obr. 2.40. Při detekci fázově posunutého signálu je její funkce shodná s již popsaným zapojením na obr. 2.37. Na výstupu se objeví



Obr. 2.40. Analogová násobička

impuls jen tehdy, je-li na vstupech  $0^\circ$  a  $90^\circ$  napětí shodné polarity. Integrační člen RC na výstupu je zároveň obvodem deemfáze.

Zapojení analogové násobičky je výhodné též z toho důvodu, že je snadno využitelné jako synchronní demodulátor (dvojitě vyvážený směšovač) i při příjmu lineárně zpracovávaných signálů AM.

Při detekci kmitočtově modulovaných signálů má pro funkci koincidenčního detektoru dominantní význam **fázovací člen**, jehož fázová charakteristika již byla uvedena na obr. 2.39. Výstupní napětí detektoru závisí na impedanci mezi vstupy  $0^\circ$  a  $90^\circ$ , v podstatě tedy na jakosti  $Q$  obvodu. Vysokému  $Q$  bude odpovídat velká změna fáze v závislosti na kmitočtu i větší detekované napěti. S jakostí  $Q$  úzce souvisí zkreslení výsledného signálu, protože fázová charakteristika je na obou koncích nelineární. S rostoucím  $Q$  fázovacího obvodu roste tedy nejen výstupní detekované napěti, ale i nelinearity. Proto je při příjmu FM signálů s velkým zdvihem (VKV rozhlas) obvyklé šíři pásma a šíři fázové charakteristiky fázovacího obvodu uměle snižovat za-tlumením paralelním odporem.

Další typickou vlastností je, že potlačení AM je maximální pouze ve středu fázové charakteristiky při kmitočtu  $f_0$ . Na obě strany od středního kmitočtu se potlačení AM zmenšuje. I v tom je koincidenční detektor obdobný fázovému diskriminátoru. Stejně jako u fázového diskriminátoru je i pro funkci koincidenčního detektoru nutné do-

konále omezení signálu. Proto je vždy v mf integrovaných obvodech před detektor předřazen několikastupňový omezovací zesilovač.

Při úzkopásmové FM je žádoucí dosažení co nejvyššího  $Q$  fázovacího členu i za cenu určité nelinearity. Hlavní důraz je kladen na vysoký demodulační zisk  $G_D$ . Na některá možná řešení poukážeme při popisu praktických zapojení detektorů.

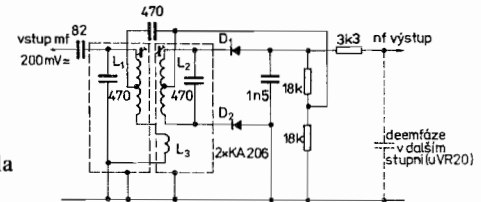
V dalším se zaměříme na základní zapojení detektorů snadno realizovatelná v amatérské praxi. U všech příkladů budou též uvedeny naměřené průběhy demodulačních charakteristik skutečných vzorků.

### Detektory mf kmitočtu 465 kHz

V předchozích kapitolách byly uvedeny důvody, pro které při konstrukci přijímačů pro úzkopásmovou FM dáváme přednost dvojímu směšování, konverzi kmitočtu 10,7 MHz na mf kmitočet 465 kHz. Proto budou nejdříve uvedeny příklady detektorů tohoto kmitočtu.

### Fázový diskriminátor Tesla

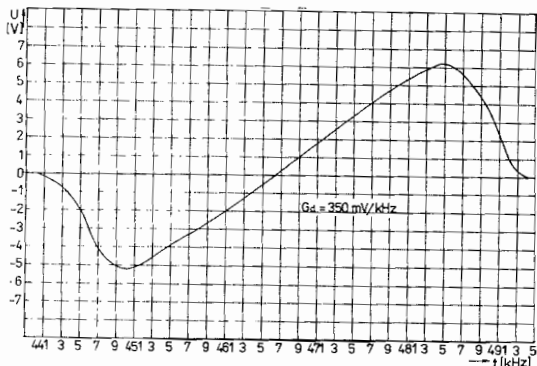
Fázový diskriminátor Tesla je typickým představitelem klasického demodulátoru úzkopásmové FM. S minimálními změnami byl používán ve všech radiostanicích řady VX a převzat i do radiostanice VR20. Zapojení tohoto osvědčeného demodulátoru je na obr. 2.41a.



Obr. 2.41a. Fázový diskriminátor Tesla  
VR20

Obě indukčnosti  $L_1$  a  $L_2$  jsou provedeny v hrníčkových jádrech se stínicím krytem, která jsou jednotná pro všechny obvody 465 kHz v radiostanicích. Z toho důvodu je nutné vzájemnou vazbu primárního a sekundárního obvodu realizovat pomocným vazebním vinutím  $L_3$ . Funkce zcela odpovídá dříve uvedenému diskriminátoru na obr. 2.34. Dlouhodobá stabilita nastavení je dobrá. Demodulační charakteristika na obr. 2.41b byla sejmuta z obvodu, který byl 3 roky v nepřetrži-

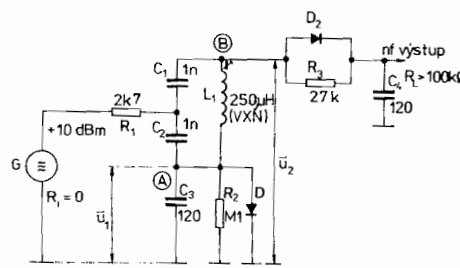
tém provozu. Měření starých diskriminátorů z řady VX dává výsledky prakticky shodné.



Obr. 2.41b. Demodulační charakteristika diskriminátoru VR20

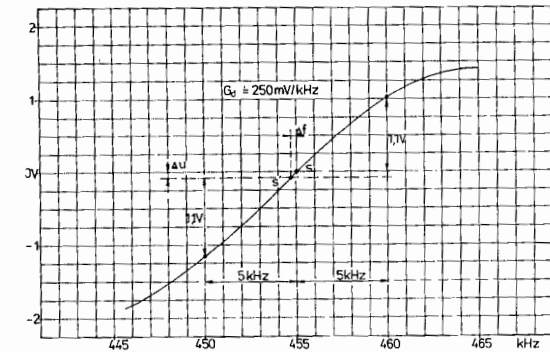
### Nesymetrický fázový detektor

Zapojení tzv. „nesymetrického“ fázového detektora uvedl v naší radioamatérské literatuře poprvé OK1VCW v [7]. Obecně tento detektor vyžaduje dodržení vysoké vstupní a zejména zatěžovací impedance. Optimalizované zapojení pro mf kmitočet 455 kHz na obr. 2.42a je přizpůsobeno výstupní impedance IO A244D (asi 2,5 k $\Omega$ ), takže detekované napětí je poněkud nižší. V každém případě navazující nízko-frekvenční zesilovač (včetně regulátoru hlasitosti) musí mít vysoký vstupní odpor. Jako u všech fázových detektorů se využívá součtu



Obr. 2.42a. „Nesymetrický“ fázový detektor

vektorů napětí  $\vec{u}_1$  a  $\vec{u}_2$ . Fázový posun v bodech A a B má však rozdílný průběh, takže výsledná demodulační charakteristika na obr. 2.42b je do jisté míry nesymetrická.



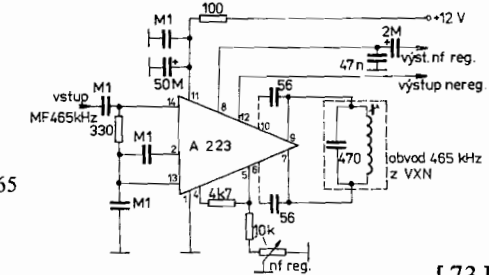
Obr. 2.42b. Kompenzovaná křivka detektora ( $R_2 = 100 \text{ k}\Omega$ ,  $R_3 = 27 \text{ k}\Omega$ )

Pro detektor jsou nevhodnější mf transformátory 465 kHz na hrnčkových jádrech (z VZN), jejichž činitel jakosti  $Q_M$  je asi 120. Stejně vyhoví i mf transformátory z rozhlasových přijímačů. Kondenzátor  $C_4$  je určujícím prvkem deemfáze.

Pro kmitočet 10,7 MHz se tento detektor nehodí, protože relativní  $Q$  obvodu s kmitočtem klesá a tím klesá i účinnost detektoru.

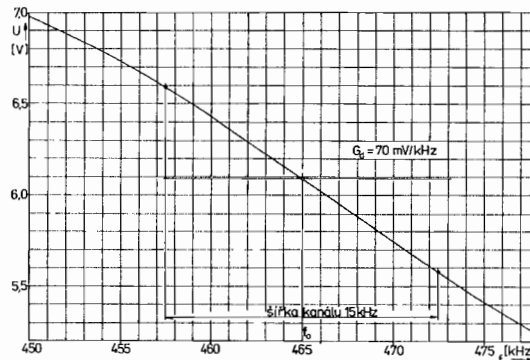
### Koincidenční detektor 465 kHz s A223D

Běžně dostupný integrovaný obvod A223D umožňuje realizaci jednoduchého a kvalitního detektoru, jehož zapojení je uvedeno na obr. 2.43a. Hlavními výhodami A223D jsou vysoká stabilita, daná do-



Obr. 2.43a. Koincidenční detektor 465 kHz s A223D

konalým vnitřním referenčním zdrojem a relativně velké výstupní napětí demodulovaného nf signálu. V technice úzkopásmové FM je vhodnější než složitější A225D. Jako fázovací člen je použit mf obvod 465 kHz z VXN bez úprav. Demodulační charakteristika detektoru, snímaná na neregulovaném výstupu 12, je na obr. 2.43b. V kmitočto-



Obr. 2.43b. Křivka detektoru s A223D

vém rozsahu kanálu je křivka dokonale lineární. Pro zvýšení její strmosti jsou často v literatuře doporučovány přídavné kondenzátory (56 pF). Měřením bylo ověřeno, že neznamenají podstatný přínos.

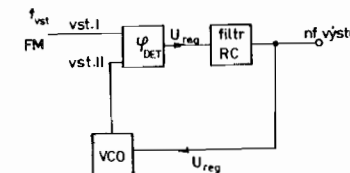
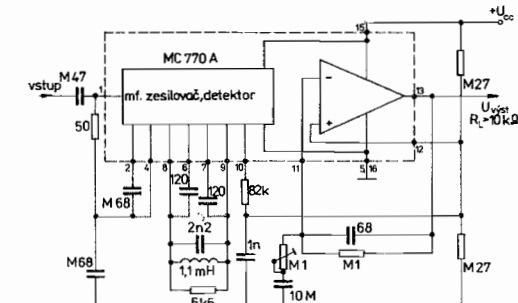
#### Koincidenční detektor s IO MCA770A

Tesla vyrábí speciální obvod MCA770A, určený pro úzkopásmovou FM a mezifrekvenční kmitočty v rozsahu 100 až 500 kHz. Doporučené zapojení demodulátoru s tímto obvodem je na obr. 2.44. Uvedené hodnoty součástek platí pro kmitočet 100 kHz. Výhodou obvodu je **zanedbatelná spotřeba** – asi 0,5 mA. Pro zkoušky nebyl obvod ještě k dispozici, takže nejsou uvedeny výsledky měření. Lze předpokládat, že nebude příliš odlišné od jiných koincidenčních detektorů.

#### Demodulace signálu FM fázovým závěsem

K demodulaci signálu FM lze využít principu fázového závěsu.

Obr. 2.44. Detektor s MCA770A



Obr. 2.45. Detekce signálu FM fázovým závěsem



Skupinové schéma je na obr. 2.45. Změny napětí  $U_{reg}$  na výstupu fázového detektoru jsou přímo úměrné změnám fáze vstupního signálu. Tato závislost je v širokém rozsahu lineární, fázový závěs je tedy dokonale převodníkem kmitočet – napětí. Při demodulaci signálu FM odpovídá střídavá složka na výstupu fázového detektoru přesně modulaci přiváděného signálu.

Casová konstanta filtru RC v obvodu regulační smyčky určuje šířku tzv. pánsma synchronizace. U fázového závěsu s fázovým (nikoli fázově-frekvenčním) detektorem rozlišujeme ještě tzv. **pásma zachycení synchronizace**, které je vždy užší než **pásma držení synchronizace**. V případě demodulace FM má být šířka pánsma zachycení větší než šířka zpracovávaného kanálu.

Napětím řízený oscilátor VCO může být v klasickém LC provedení, řízený varikapem. Častěji se však setkáváme s VCO ve formě napětím

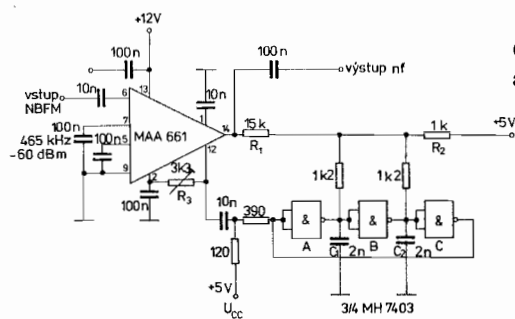
řízeného oscilátoru RC (napětím řízeného multivibrátoru). Jeho významnou vlastností je lineární závislost kmitočtu na řídícím napětí v širokém rozsahu přeladění.

Fázový detektor je v technice fázových závěsů též označován jako **fázový komparátor**.

Stejně jako ostatní již uvedené fázové demodulátory vyžaduje i demodulátor s fázovým závěsem dokonale amplitude omezení zpracovávaného signálu.

### Demodulátor FM s IO MAA661 a MH7403

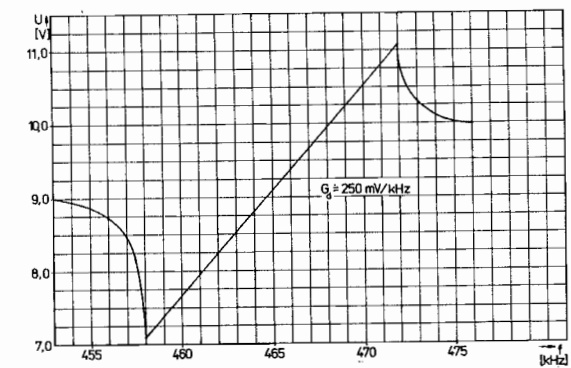
Pracuje na principu fázového závěsu. Původní zapojení, uveřejněné v [8], bylo určeno pro mf kmitočet 10,7 MHz a pro detekci úzkopásmové FM není vhodné. Má však velmi dobré vlastnosti při mf kmitočtu 465 kHz, kde lze optimálně nastavit tvar a zejména šířku demodulační charakteristiky. Upravené zapojení je na obr. 2.46a. Napětím řízený multivibrátor je tvořen třemi hradly MH7403, závislost kmitoč-



Obr. 2.46a. Detektor s IO MAA661 a MH7403

tu na řídícím napětí je lineární. Impulsní poměr je v tomto případě blízký 1:1, střední kmitočet multivibrátoru je určen kondenzátory  $C_1$  a  $C_2$ , které je v praxi vhodné složit z více paralelních kusů, případně doplnit trimry. Šířka pásma držení je závislá na poměru odporů  $R_1 : R_2$ . S rostoucím poměrem  $R_1 : R_2$  se pásmo držení synchronizace zužuje, se zmenšujícím rozšiřuje. Jako fázový komparátor je použit vnitřní koincidenční detektor MAA661. Filtr regulační smyčky je vytvořen z vnitřních odporů integrovaného obvodu a vnějšího konden-

zátoru  $C_3$ , kterým se též upravuje deemfáze. Výsledná demodulační charakteristika je na obr. 2.46b. Za pozornost stojí vysoké demodulované napětí a dobrá linearita křivky v pracovní oblasti.



Obr. 2.46b. Křivka detektora s MAA661 a MH7403

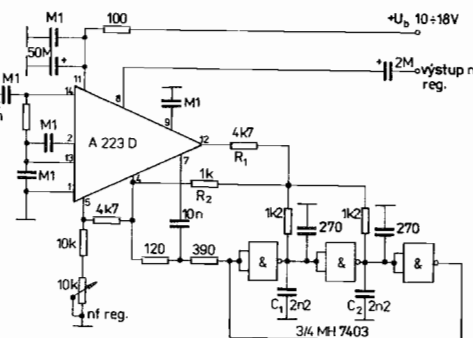
Nastavení demodulátoru je poměrně obtížné. Nejlépe je kmitočet napětím řízeného multivibrátoru sledovat na výstupu hradla C čítačem. Se změnou šířky synchronní oblasti se mění i střední kmitočet multivibrátoru a je nutné nové doladění kondenzátory  $C_1$  a  $C_2$ . Pro dosažení co nejlepšího odstupu s/š je vhodné nesymetrii MAA661 vyvážit potenciometrickým trimrem  $R_3$  (omezení fázových šumů). I toto nastavení má vliv na střední kmitočet multivibrátoru. Vzhledem k relativně úzké oblasti synchronizace je nutné i při nízkém kmitočtu 465 kHz uvážit vlivy na stabilitu a použít kvalitní kondenzátory i rezistory.

Pro funkci demodulátoru je velmi důležitá velmi dobrá stabilizace obou napájecích napětí 5 i 12 V.

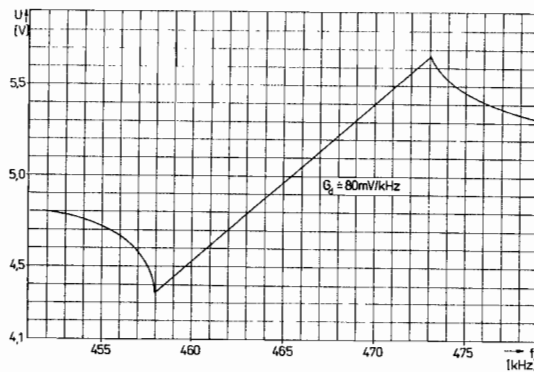
### Detektor s A223D a MH7403

Tento detektor je modifikací předchozího zapojení, od něhož se funkčně neliší. Využívá však výhodných vlastností obvodu A223D, zejména jeho vynikající stability a symetrie. Schéma zapojení je na

obr. 2.47a, demodulační charakteristika na obr. 2.47b má oproti MAA661 poněkud menší strmost, což je dáno vlastnostmi A223D. Proto se mění i hodnoty některých součástek. Za předpokladu kvalitních součástek je i stabilita velmi dobrá.



Obr. 2.47a. Detektor s A223D a MH7403

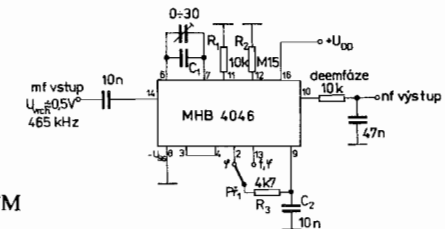


Obr. 2.47b. Křivka detektora s A223D a MH7403

### Demodulátor s integrovaným obvodem MHB4046

Tento obvod, zhotovený technologií CMOS, je mnohostranně využitelný a mimo jiné umožňuje snad nejjednodušší možnou konstruk-

ci detektoru FM v oblasti nižších kmitočtů. Schéma zapojení je na obr. 2.48a.



Obr. 2.48a. Detektor úzkopásmové FM s MHB4046

Nastavení detektoru je jednoduché. Jde v podstatě o naladění vnitřního, napětím řízeného multivibrátoru na střední kmitočet FM signálu – v našem případě tedy na 465 kHz. Nastavovaný kmitočet kontrolujeme čítačem na vývodu 4. Vývod 9 odpojíme od rezistoru  $R_3$  a kondenzátoru  $C_2$  a přivedeme na něj poloviční napájecí napětí, např. z odporového děliče ze dvou rezistorů stejných hodnot. Polovičnímu napětí  $U_{DD}/2$  odpovídá i střední kmitočet multivibrátoru. Hodnota kondenzátoru  $C_1$  je závislá na napájecím napětí. Jemné doladění kmitočtu se provede kapacitním trimrem 30 pF. Po nastavení kmitočtu připojíme vývod 9 zpět na  $R_3$  a  $C_2$ .

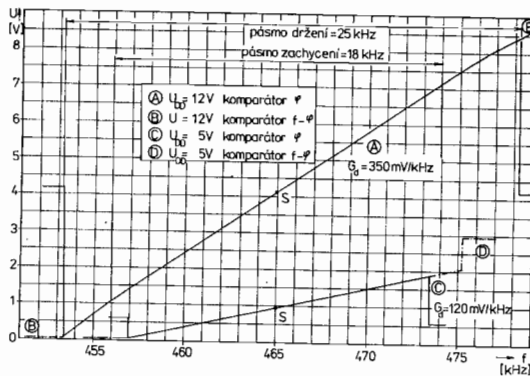
Podle potřeby můžeme volit buď provoz s fázově-kmitočtovým detektorem (přepnutím filtru na vývod 13), nebo fázovým komparátorem (filtr přepnut na vývod 2).

Fázově-kmitočtový detektor se fázově zavěšuje v celé šířce přijímaného kanálu.

Fázový detektor použijeme při příjmu signálů s vyšším obsahem šumu, je však více citlivý na kmitočtovou přesnost. Při nepřesném nastavení kmitočtu dochází vlivem rozpadávání a opětného zachycování regulační smyčky ke zkreslení detekovaného signálu.

Naměřené demodulační charakteristiky detektoru jsou na obr. 2.48b. Pásma držení bylo pro kanál úzkopásmové FM stanoveno s rezervou na 25 kHz, pásma zachycení je dáno filtrem regulační smyčky  $R_3$ ,  $C_2$ . Zvětšováním časové konstanty filtru se pásma zachycení zvětší. Pásma držení (odpovídá přeladění řízeného multivibrátoru, neboli offsetu) se nastavuje poměrem odporů  $R_2:R_1$ , který bylo nutno doladit experimentálně.

Z obr. 2.48b je zřejmý vliv napájecího napětí na strmost demodulační charakteristiky.



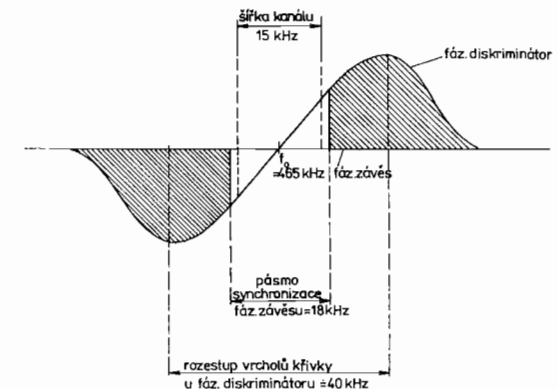
Obr. 2.48b. Křivka detektoru s MHB4046

Vždy je nutné použít stabilní napájecí napětí, kvalitní, teplotně nezávislé rezistory a kondenzátory, jinak výsledek nebude odpovídat vyaložené námaze. Toto platí o všech fázových závěsech, u nichž je kmitočet určen prvky  $R$ ,  $C$ .

O obvodu pro fázový závěs MHB4046 lze najít dostatek informací v [9].

#### Porovnání demodulátorů s fázovým závěsem s fázovými detektory

Demodulátory FM na principu fázových detektorů (mezi které můžeme počítat i koincidenční detektor) se vyznačují relativně širokou demodulační charakteristikou vzhledem k šířce zpracovávaného kanálu. Vrcholy demodulační charakteristiky jsou zaobleny a její okrajové části se vracejí k nulové hodnotě napětí jen povolně (obr. 2.49). Části charakteristiky přesahující šířku kanálu se na zpracování užitečného signálu nijak nepodílejí, detekují však šum vzniklý činností širokopásmového zesilovače, umístěného mezi filtrem soustředěné selektivity a demodulátorem.



Obr. 2.49. Porovnání demodulačních charakteristik fázového diskriminátoru a demodulátoru s fázovým závěsem

U detektoru s fázovým závěsem můžeme upravit šířku pásmu synchronizace tak, že jen nepatrň přesahuje šířku zpracovávaného kanálu. Přitom je celá demodulační charakteristika vysoko lineární a její tvar se blíží idealizované křivce na obr. 2.33. Okrajové části demodulační charakteristiky jsou „odříznuty“ a postranní šumová pásma nejsou tudíž detekována. Fázový závěs je pro daný kanál selektivní a přispívá k celkové selektivitě, zvyšuje se ovšem nároky na kmitočtovou přesnost.

Proto se demodulátory s fázovým závěsem (oproti běžným fázovým detektorům) vyznačují zlepšeným poměrem demodulovaného nf signálu k šumu. Toto zlepšení činí zhruba 3 dB.

#### Demodulátory úzkopásmové FM na kmitočtu 10,7 MHz

Se stoupajícím kmitočtem klesá relativní  $Q$  obvodů LC, takže na mf kmitočtu 10,7 MHz je demodulační charakteristika široká a demodulační strmost je pouze několik mV/kHz. Zvýšení jakosti  $Q$  je možno dosáhnout zařazením krystalu do obvodu detektoru.

Krystal s připojenými reaktančními prvky  $L$  a  $C$  představuje ob-

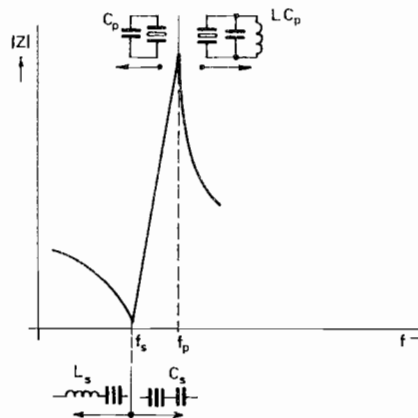
dobně jako v případě VCXO impedančně značně složitý útvar. Průběh fázové charakteristiky vykazuje několik ostrých zlomů, daných existencí dvojí rezonance  $f_s$  a  $f_p$ . Výpočet složeného obvodu je obtížný a vyžaduje přesnou znalost všech prvků náhradního schématu krystala.

Vzájemný vliv krystalu a obvodů LC se projevuje v zásadě dvěma způsoby:

a) obvod LC působí na fázovou charakteristiku krystalu. Krystal je zde určujícím prvkem a demodulační charakteristika se vytvoří na jmenovitém kmitočtu krystalu (nebo v jeho bezprostředním okolí);

b) dominujícím prvkem je obvod LC, jehož fázová charakteristika je ovlivněna krystalem. Demodulační charakteristika požadovaných vlastností se vytvoří v relativně značném kmitočtovém odstupu od jmenovitého kmitočtu krystalu.

Na obr. 2.50 si zopakujeme vliv reaktančních prvků na průběh absolutní impedance krystalu. Mezi body  $f_s$  a  $f_p$  lze krystal ovlivňovat minimálně. V oblasti nad  $f_p$  působí paralelní laděný obvod (obdoba oscilátoru TPTG), pod  $f_s$  sériová indukčnost.



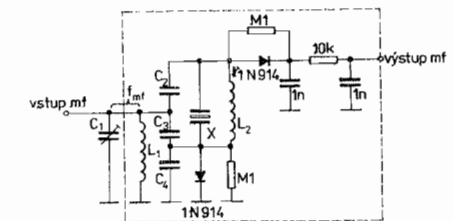
Obr. 2.50. Průběh impedance krystalu

Skutečná zapojení diskriminátorů s krystaly nejsou nijak komplikovaná. Na následujících příkladech si ukážeme vliv vzájemného působení krystalu a prvků LC s poukazem na možné experimentální řešení.

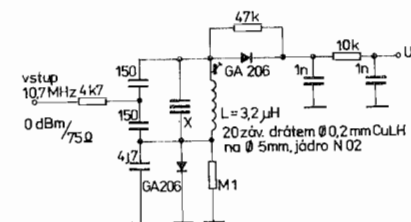
### Paralelní krystalový diskriminátor

Zapojení na obr. 2.51 bylo převzato z [10]. V původním pramenu nebyly uvedeny hodnoty součástek. Jde o modifikaci nesymetrického

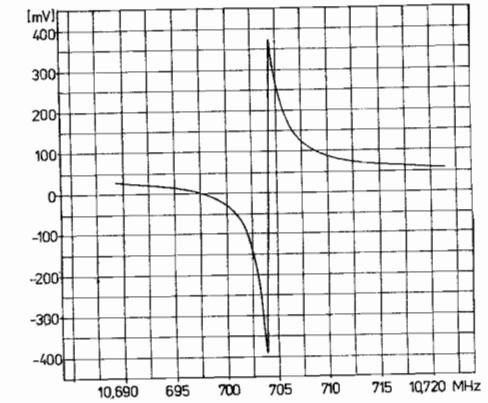
Obr. 2.51. Krystalový diskriminátor



fázového detektoru podle obr. 2.42a. Obvod  $L_1 C_1$  je výstupním obvodem omezovacího zesilovače a ladí se na maximální amplitudu mf signálu. V měřicím zapojení na obr. 2.52 byl tento obvod vypuštěn a nahrazen rezistorem o hodnotě  $4,7 \text{ k}\Omega$ . Pro ověřování byl zvolen krystal z filtru PKF 10,7 MHz – 15A, a to z kmitočtově vyššího páru. Prvky náhradního zapojení tohoto krystalu jsou též uvedeny na obr. 2.52a.



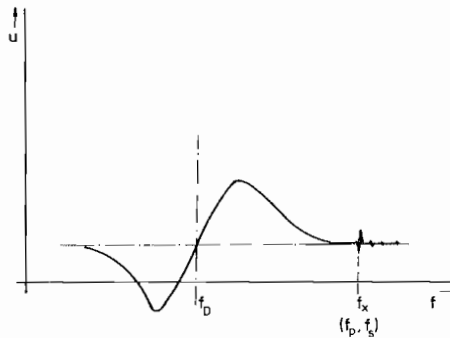
Obr. 2.52a. Měřicí zapojení paralelního krystalového diskriminátoru



Obr. 2.52b. Krystal X v paralelním měřicím zapojení

Naladíme-li paralelní obvod LC pomocí šroubového jádra přesně na kmitočet krystalu, vznikne demodulační charakteristika znázorněná na obr. 2.52b. Rozdíl mezi vrcholy křivky je pouze 0,5 kHz. To odpovídá výše uvedenému bodu a), kdy je fázová charakteristika krystalu ovlivňována obvodem LC, a to pouze v malých mezích.

Zajímavější je však druhý případ. Ladíme-li obvod šroubovým jádrem směrem k **vyšším** kmitočtům ( jádro vyšroubováváno), začne se pod **jmenovitým kmitočtem** krystalu  $f_s$  objevovat typická demodulační křivka tvaru „S“ o vhodné šířce. Přitom je původní křivka na kmitočtu krystalu včetně nežádoucích rezonancí téměř zcela potlačena. Ten to průběh je znázorněn na obr. 2.53 a odpovídá výše uvedenému bodu b), kdy je fázová charakteristika obvodu LC ovlivněna kmitočtově blízkým krystalem.

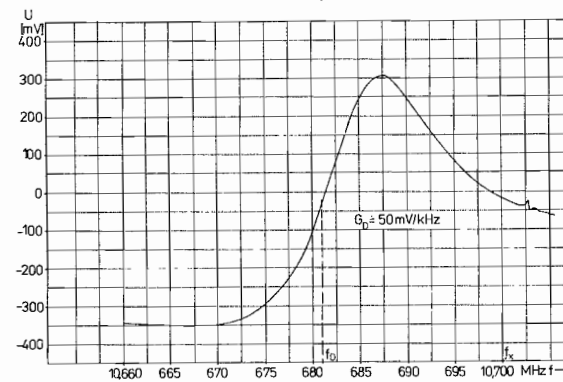


Obr. 2.53. Křivka „S“ pod jmenovitým kmitočtem krystalu

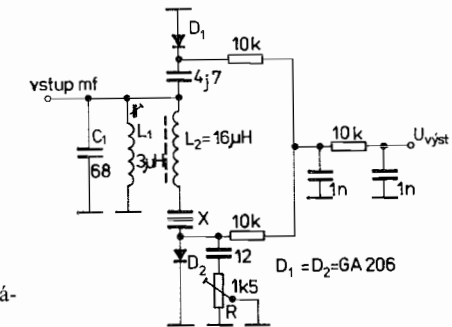
Výsledky podrobného proměření takto získané křivky jsou na obr. 2.54. Střed demodulační charakteristiky  $f_0$  je 20 kHz pod kmitočtem sériové rezonance  $f_s$  krystalu. Při použití krystalů s větší statickou kapacitou  $C_0$  (např. z RM31) se tento kmitočtový odstup ještě zvětšuje (až na 40 kHz). Pro praktické použití je nutno střed diskriminátoru  $f_0$  posunout do absolutní polohy 10,7 MHz zvýšením vlastního kmitočtu krystalu některou ze známých metod.

### Sériový krystalový diskriminátor

Zapojení, převzaté z [11], je na obr. 2.55. Využívá ovlivňování krystalu sériovou indukčností v oblasti pod  $f_s$  (viz obr. 2.50). Vstupní ladě-

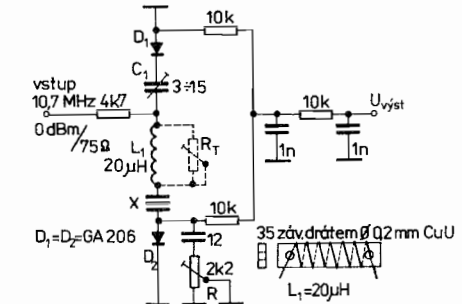


Obr. 2.54. Křivka diskriminátoru pod kmitočtem krystalu



Obr. 2.55. Sériový krystalový diskriminátor

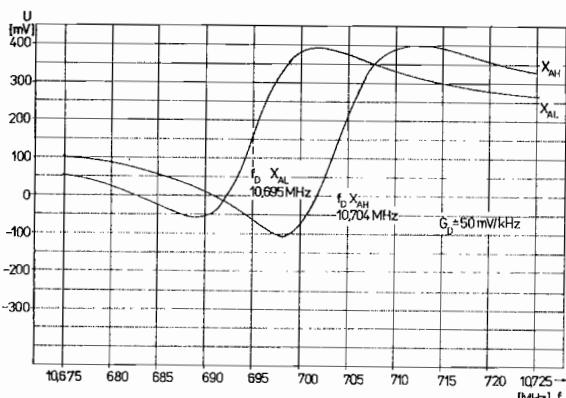
Obr. 2.56a. Měřicí zapojení sériového diskriminátoru



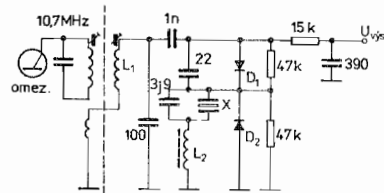
ný obvod  $L_1 C_1$  je laděn na maximum signálu 10,7 MHz. Pro ověřování bylo zvoleno měřicí zapojení na obr. 2.56a.

Diskriminátor pracuje s nízkými impedancemi (náhradní odpor krystalu  $R$ , je při sériové rezonanci pouze  $20 \Omega$ ). Proto je obtížná volba činitele jakosti  $Q$  sériové indukčnosti  $L_1$ , spočívající zejména ve volbě materiálu jádra. Činitel  $Q$  nemá být příliš vysoký a je možné ho snížit paralelním tlumicím rezistorem  $R_t$  (na obr. vyčárkováno).

Jako vhodné řešení se ukázalo použití odrušovací tlumivky z „PKO“ vláčků, jak je naznačeno ve schématu. Změny způsobené nastavením kapacitního trimru  $C_1$  jsou nevýrazné a v praxi lze trimr nahradit pevným kondenzátorem  $6,8 \text{ pF}$ . Potenciometrickým trimrem  $R$  lze střed křivky posouvat v rozmezí  $\pm 1,5 \text{ kHz}$ .



Obr. 2.56b. Křivky „S“ sériového diskriminátoru



Obr. 2.57. Sériový diskriminátor Stornophone 500

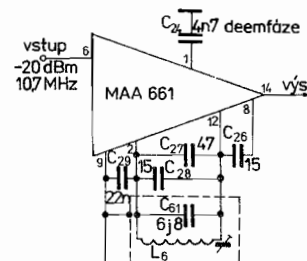
Výsledky měření jsou na obr. 2.56b. Byl ověřován „horní“ i „dolní“ krystal z filtru PKF 10,7 MHz – 15A. Šířky demodulačních křivek přibližně odpovídají šířce kanálu. Dotažení středu křivek do absolutní polohy 10,7 MHz vyžaduje jen malý posun kmitočtu krystalů.

Na obr. 2.57 je jako příklad uvedeno sympatické uspořádání sériového diskriminátoru z radiostanice Stornophone 500.

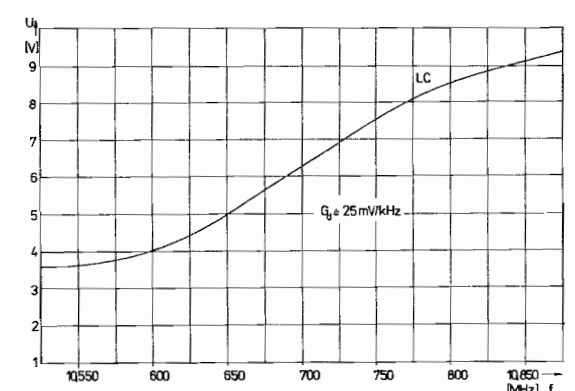
Práce se velice urychlí při použití alespoň jednoduchého rozmítáče kmitočtu. Rozmítání je nutno volit co nejpomalejší, což je v případě krystalů běžná zásada.

### Krystal ve fázovacím obvodu koincidenčního detektoru

Ani u koincidenčního detektoru nelze dosáhnout vyhovující strnosti demodulační charakteristiky na kmitočtu 10,7 MHz, je-li fázovací obvod složen pouze z prvků  $L, C$ . Jako příklad poslouží detektor transceivru „Boubín“, jehož skutečné provedení je na obr. 2.58a a změřená demodulační charakteristika na obr. 2.58b.



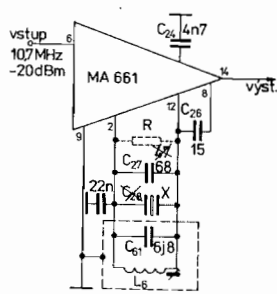
Obr. 2.58a. Koincidenční detektor v transceivru „Boubín“



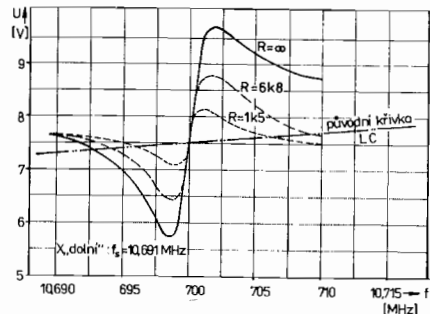
Obr. 2.58b. Původní demodulační charakteristika transceivru „Boubín“

O zlepšení vlastností detektoru je možné se pokusit použitím krystalu. Úprava fázovacího člena podle OK1ACO je na obr. 2.59a. Kondenzátor  $C_{27}$  (47 pF) se nahradí hodnotou 68 pF,  $C_{28}$  se vypustí a na jeho místo se zapojí krystal z filtru PKF 10,7 MHz – 15A, a to dolní s  $f_s = 10,691 \text{ MHz}$ . Jádrem  $L_6$  se nastaví střed demodulační charakteristiky na kmitočet 10,7 MHz. Výsledky měření jsou uvedeny na

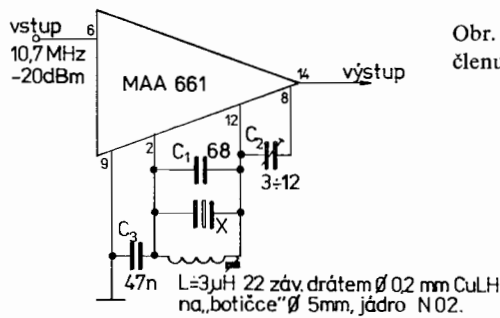
obr. 2.59b. Lineární je pouze střední část křivky, široká asi 3 kHz. Paralelní rezistor  $R$  má vliv pouze na velikost výstupního napětí, nikoliv na rozestup vrcholů demodulační charakteristiky. Je logické, že zkreslení se projeví především při příjmu signálu FM s plným zdvihem, při praktickém poslechu však nepůsobí příliš rušivě. Demodulovaný nf signál má charakter signálu z kompresoru dynamiky. Popsaná úprava se projeví jako zřetelné zvýšení citlivosti celé přijímací části transceivru. Velice důležité je, že není nutno upravovat kmitočet krystalu.



Obr. 2.59a. Úprava detektoru Boubín podle OKIACO



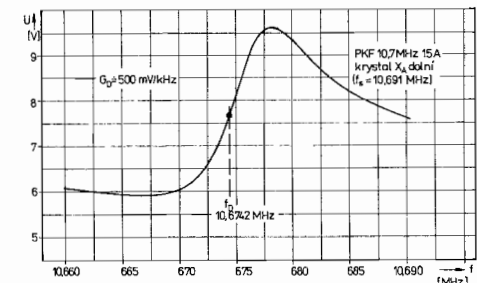
Obr. 2.59b. Křivka detektoru podle obr. 8.59a



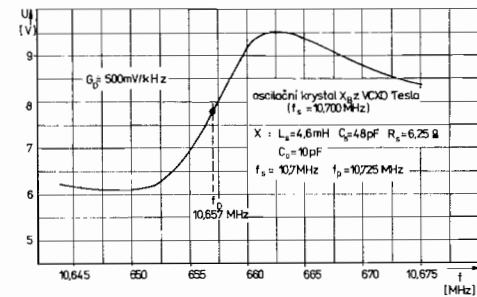
Obr. 2.60a. Měřící zapojení fázovacího členu

Výsledky výše uvedené úpravy daly podnět k podrobnému ověření fázovacího obvodu s krystalem v měřicím zapojení na obr. 2.60a. Za-

Obr. 2.60b. Křivka pod jmenovitým kmitočtem krystalu



Obr. 2.60c. Křivka pod jmenovitým kmitočtem krystalu



pojení se v podstatě shoduje s obr. 2.59a, pouze indukčnost byla provozována z důvodů operativnosti bez krytu. Základní myšlenka vyčází z úvahy, že funkce fázového diskriminátoru a koincidenčního detektoru je ve své podstatě shodná (viz fázové charakteristiky).

Krystal v paralelně zapojeném fázovacím členu se tedy ve svém důsledku musí projevit stejně jako u paralelního diodového diskriminátoru, jehož demodulační charakteristika byla znázorněna na obr. 2.53 a 2.54.

Tento předpoklad byl potvrzen měřením. Křivka na obr. 2.60b odpovídá „dolnímu“ krystalu z filtru PKF 10,7 MHz – 15A. Hodnoty náhradního zapojení tohoto krystalu již byly uvedeny na obr. 2.52a. Křivka se opět projeví při vyšroubovávání jádra z kostříčky, tedy při přelaďování obvodu směrem k vyšším kmitočtům. Střed demodulační charakteristiky  $f_D$  je 25 kHz pod požadovaným kmitočtem 10,7 MHz. Celou křivku je nutno posunout úpravou kmitočtu krystalu.

Ještě širší demodulační charakteristiku lze získat v uvedeném zapo-

jení s krystalem s větší statickou kapacitou elektrod  $C_0$ . Křivka na obr. 2.60c byla naměřena pro krystal z VCXO Tesla. Hodnoty náhradního zapojení tohoto krystalu jsou také uvedeny na obr. 2.60c. V tomto případě klesá střed demodulační charakteristiky o 43 kHz pod požadovaný kmitočet 10,7 MHz.

Využití sériové rezonance v obvodech koincidenčních demodulátorů není možné, protože fázovací obvod mezi vstupy  $0^\circ$  a  $90^\circ$  detektoru musí vždy představovat vysokou impedanci.

### Zhodnocení demodulátorů FM s krystaly

Z uvedených výsledků měření můžeme učinit následující závěry:  
 a) demodulační charakteristika požadovaného tvaru se vždy projeví v určitém kmitočtovém odstupu pod jmenovitým kmitočtem krystalu. Křivky vyladěné na jmenovitému kmitočtu jsou pouze obrazem impedanční závislosti krystalu na kmitočtu a pro demodulaci úzkopásmové FM se zpravidla nehodí;

b) vliv ladění indukčností na posun a tvar demodulačních křivek je značný. Z toho můžeme usuzovat na snížení celkové stability detektorů. Problematickým se zde ukazuje použití feritových materiálů, lepší jsou, stejně jako u oscilátorů, prášková jádra (karbonylová Fonoxy, hmota C5). V každém případě je nutné pečlivě zajištění nastavených šroubových jader a lze doporučit i teplotní kompenzaci obvodů obdobně jako u oscilátorů LC;

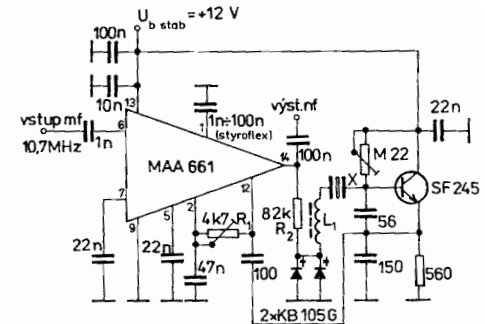
c) pro předběžné nastavení demodulačních charakteristik je vždy vhodný rozmitač kmitočtu. Výběr krystalů je v amatérských podmínkách omezený a je nutno počítat s jejich kmitočtovou úpravou.

### Demodulátor FM s VCXO ve smyčce fázového závěsu

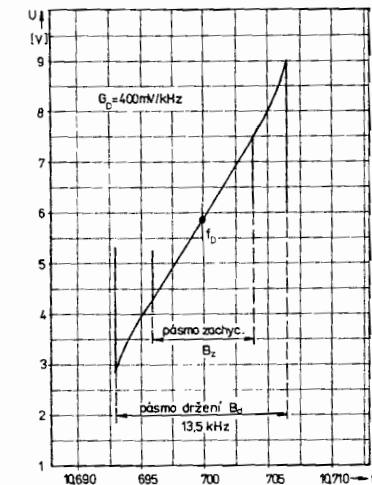
Zapojení tohoto demodulátoru je na obr. 2.61a. Pro nastavení lze doporučit následující postup:

a) rezistor  $R_2$  odpojíme od vývodu 14 IO a připojíme na pomocné předpětí, regulované v rozsahu 2 až 12 V. Změnou sériové indukčnosti  $L_1$  nastavíme pro daný rozsah předpětí co možno největší rozladění krystalu. Krystaly z filtrů nejsou vhodné, lepší jsou oscilační krystaly s větší kapacitou elektrod  $C_0$ . Zapojení bylo ověřováno s krystalem, jehož hodnoty náhradního schématu jsou uvedeny na obr. 2.60c.

Obr. 2.61a. Detekce fázovým závěsem  
s VCXO



Obr. 2.61b. Křivka demodulátoru s fázovým závěsem a VCXO



Dobrých výsledků lze dosáhnout s typy RM31 (např. A4005), vyžadují však zpravidla velký posun jmenovitého kmitočtu. I to bylo ověřeno (viz kapitola „Krystaly v amatérské praxi“) a v některých případech, především při aplikaci výprodejních bilitických filtrů s šírkou pásma 10 kHz, pracuje i mf zesilovač s jiným mf kmitočtem než 10,7 MHz;

b) po nastavení VCXO připojíme rezistor  $R_2$  zpět na vývod 14 IO. Na vstup 6 IO se přivede signál z rozmitáče, výslednou demodulační charakteristiku snímáme na vývodu 14. V této fázi nastavení se provede ještě poslední korekce šířky modulační charakteristiky sériovou in-

dukčností  $L_1$ . Důležitým úkonem je vyvážení MAA661 potenciometrickým trimrem  $R_1$ . Na závěr měření se přesně bod po bodu vynese celá demodulační charakteristika. Výsledky měření jsou na obr. 2.61b.

Volbou hodnoty  $C_1$  ovlivňujeme šířku pásma zachycení synchronizace fázového závěsu. Pro signály s větším obsahem šumu volíme užší pásmo zachycení (větší  $C_1$ ), pro silné signály s velkým zdvihem pásmo zachycení rozšíříme (menší  $C_1$ ). Ideální je možnost přepínání kondenzátorů podle potřeb provozu.

Na závěr části o přímé detekci úzkopásmové FM na mf kmitočtu 10,7 MHz je nezbytné ještě jednou zdůraznit, že přechod na kmitočet 465 kHz pomocí druhého směšování přináší často méně technických komplikací. Detekci na kmitočtu 10,7 MHz použijeme v tom případě, jedná-li se o vylepšení stávajícího zařízení, ve kterém už nezbývá příliš prostoru na rozsáhlější úpravy.

Detekce na vysokém mf kmitočtu je též vhodná u transceivrů pro všechny druhy provozu (CW, SSB, FM).

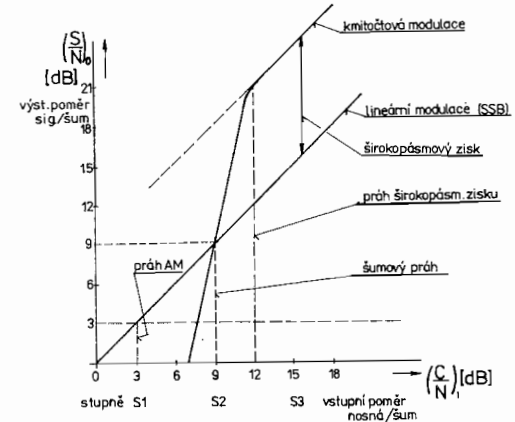
## Umlčovače šumu

Umlčovače šumu jsou standardní výbavou každého přijímače pro kmitočtovou modulaci. Tento důležitý prvek postrádají pouze jednoduchá zařízení nejnižší jakostní třídy. Umlčovače šumu jsou často označovány zkratkou SQ (z angl. squelch). Úkolem umlčovače je uzavření nf zesilovače, pokud přijímač nepřijímá signál vysílače a na výstupu detektora je přítomen pouze šum. Pro vysvětlení funkce umlčovače je nutné nejdříve objasnit činnost přijímače v oblasti šumového prahu.

### Šumový práh

V teoretické části bylo uvedeno, že závislost poměru signál/šum na úrovni nosné není u přijímačů FM lineární jako v případě zpracování signálu AM. Chování přijímače posuzujeme podle odstupu signálu od šumu na výstupu přijímače (jde o poměr výkonů), který uvažuje-

me jako funkci odstupu nosné od šumu. Odstup nosné od šumu měříme od vstupu omezovače. Pro chování přijímače jsou charakteristické dva prahy. První se nazývá **šumový práh**. Při tomto prahu dosahuje nosná  $U_c$  takové úrovně, při které utichá šum na výstupu přijímače. Zvětšíme-li nosnou o několik decibelů nad úroveň šumového prahu, dosáhneme druhého prahu, který nazýváme **prahem plného širokopásmového zisku**. Od tohoto prahu se odstup signálu od šumu na výstupu přijímače zvětšuje lineárně se zvětšováním odstupu nosné od šumu na vstupu. Použitím kmitočtové (obecně fázové) modulace tedy získáme lepší odstup signálu od šumu proti lineární modulaci. Chování přijímače i všechny pojmy objasňuje obr. 2.62, ze kterého je patrné, že k odstupňování jednotlivých prahů dochází asi po 3 dB. V úvodní



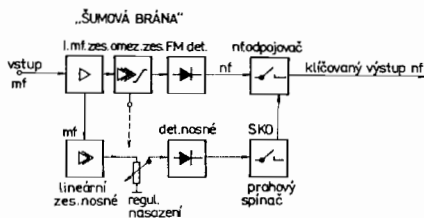
Obr. 2.62. Šumové vlastnosti přijímače FM

teoretické části jsme proto hovořili o tzv. **pravidle tří decibelů**. Dále též vyobrazená závislost dokumentuje nesmyslnost udávání reportů při převáděčovém provozu způsobem vžitým na KV (59 + apod.). Stupeň S3 a S9 je sluchem již nesnadno rozlišitelný, neboť výstupní poměr signál/šum je v obou případech lepší než 20 dB.

Uvedených skutečností můžeme využít pro řízení umlčovače šumu. V zásadě se nabízejí dva způsoby, a to řízení umlčovače detekcí **nosné vlny** a řízení **energií šumu** na výstupu demodulátoru přijímače.

## Řízení umlčovače detekcí nosné vlny

Skupinové schéma zapojení při řízení umlčovače šumu detekcí nosné vlny je na obr. 2.63. Pro řízení umlčovače se používá pomocné ze-



Obr. 2.63. Umlčovač šumu řízený úrovni nosné vlny

silovací cesty odbočené před omezovacím zesilovačem. Nosná vlna je detekována a získaným stejnosměrným napětím je ovládán prahový spínač (zpravidla Schmittův klopný obvod) a posléze odpojovač nf signálu. V podstatě shodný princip je použit u známého IO A225D, kde se pro řízení umlčovače využívá druhotně napětí pro indikátor síly signálu (S-metr). Zapojení bývá někdy označováno jako „šumová brána“ a je vhodné především pro stacionární příjem kmitočtově modulovaného rozhlasu, u něhož lze počítat s minimálním nebo alespoň povolným únikem. Proto je např. zmíněný obvod A225D určen především pro „stolní“ provedení rozhlasových přijímačů, pro něž má své opodstatnění a řadu nesporných výhod.

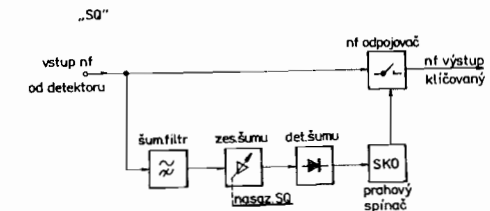
## Řízení umlčovače energií šumu

V případech, kdy je nutno počítat s rychlým či střídavým únikem signálu, se nabízí druhý způsob řízení umlčovače energií šumu. Tato metoda je vhodná především pro provoz mobilních nebo přenosných zařízení a v případě úzkopásmové FM se používá výlučně jak u profesionálních, tak i amatérských radiostanic.

Řízení umlčovače energií šumu má daleko vyšší účinnost oproti řízení nosnou, protože regulační křivka, podle které je odvozeno, má podstatně vyšší strmost. Z obr. 2.62 je zřejmé, že změna poměru sig-

nál/šum na vstupu přijímače o 6 dB vyvolá změnu výstupního poměru s/š asi o 20 db.

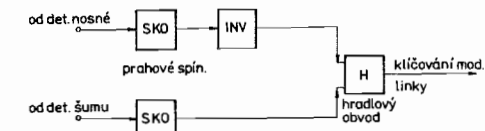
Skupinové schéma umlčovače řízeného energií šumu je na obr. 2.64. Využívá se zde jevu, že šumový signál obsahuje především vyšší kmitočty akustického pásma, které v přenášeném nf signálu nejsou (nebo nemají být) vůbec zastoupeny.



Obr. 2.64. Umlčovač šumu řízený energií šumu

Nf signál se proto za detektorem rozdvojuje na cestu přímou, klíčovanou nf odpojovačem, a na cestu šumovou. Šumová cesta je odbočena šumovým filtrem, který propustí pouze kmitočty vyšší než asi 5 kHz. Šumový signál je dále zesilován zesilovačem šumu, který šum zesílí natolik, aby stejnosměrné napětí vzniklé po usměrnění bylo dostatečné pro jednoznačnou funkci prahového spínače, ovládajícího nf odpojovač. Nasazení umlčovače se řídí zesílením zesilovače šumu.

Třetí způsob umlčování šumu v sobě sdružuje oba předchozí. Výstupní informace z detektoru nosné a detektoru šumu jsou vedeny přes hradlovací obvod, který klíčuje modulační cestu. Někdy se používá v převáděčích (obr. 2.65).

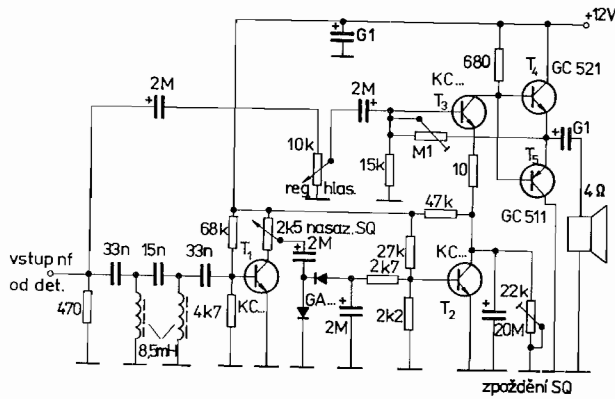


Obr. 2.65. Sdružený umlčovač

Řízení umlčovačů energií šumu je závislé na citlivosti (a šumovém čísle) daného přijímače. Proto se v technických podmínkách vždy udává citlivost přijímače bez umlčovače a se zapnutým umlčovačem. Je-li rozdíl mezi oběma hodnotami minimální a nepřekročí 3 dB vstupní úrovně, lze hovořit o bezchybné funkci umlčovače.

Dále uvedeme několik praktických příkladů umlčovačů řízených energií šumu.

Obecným a dnes již klasickým zapojením je umlčovač šumu z radiostanic řady VX na obr. 2.66. Šumový filtr je řešen jako horní propust s hraničním kmitočtem asi 10 kHz, následuje zesilovač šumu s tranzistorem  $T_1$ . Detekované šumové napětí řídí spínač  $T_2$ , který spí-

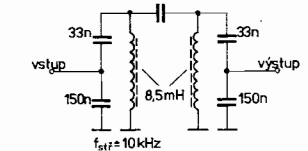


Obr. 2.66. Umlčovač šumu s horní propustí

ná budič koncového nf stupně. Potenciometrem „zpoždění SQ“ se nastavuje určitá časová hystereze, výhodná zejména při mobilním provozu. Podmínkou funkce je dostatečné výstupní napětí z diskriminátoru (jak užitečného signálu, tak šumu), svůj vliv má i deemfáze signálu. Při malém napětí bude i detekované napětí za diodami nedostatečné pro ovládání spínače  $T_2$  a umlčovač nebude pracovat. V takovém případě je třeba zvýšit zesílení zesilovače šumu přidáním dalšího stupně.

Jednou z příčin negativně působících na funkci umlčovače tohoto typu je pronikání zbytku mf kmitočtu 465 kHz (případně 600 kHz) do šumového zesilovače. To je obvykle způsobeno nedokonalým vyvážením demodulátoru a zpravidla se s tímto úkazem setkáme při aplikaci IO MAA661, který stabilitou symetrie nijak nevyniká. Vstupní filtr ve formě horní propusti totiž nerozlišuje mezi šumem a mf kmitočtem, tudíž všechny kmitočty nad 10 kHz propouští se zhruba stejnou úrovní. Do vstupu umlčovače však mohou proniknout i jiné kmitočty přítomné v přijímači. Umlčovač pak „neví“, pro který se rozhodnout.

Odstranění tohoto jevu je možné přestavbou horní propusti na pásmovou podle obr. 2.67. Ve většině případů nejsou nutné změny na plošném spoji. Šířka propouštěného pásma  $B$  je přibližně 1 kHz.

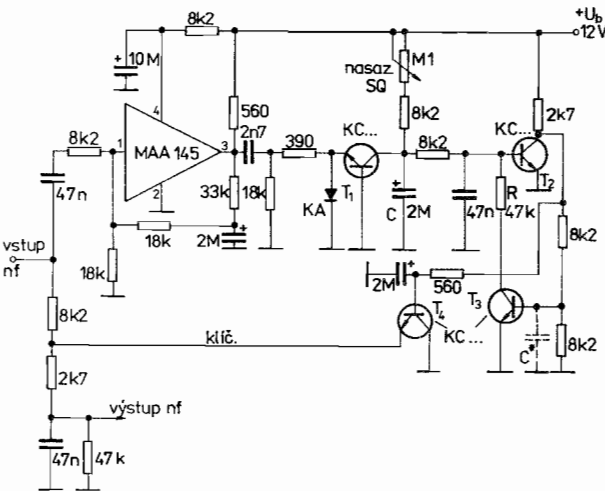


Obr. 2.67. Vstupní pásmová propust

Umlčovač řízený energií šumu může být při jinak bezchybné funkci ovlivněn i harmonickým zkreslením nf signálu, ať už vzniklým na demodulátoru, nebo u protistanice. Harmonické při dostatečné úrovni mohou totiž procházet šumovým filtrem a zesilovačem. Důsledkem toho je, že otevřený umlčovač je zavírán při modulačních špičkách a sykavkách. S tímto jevem se často můžeme setkat při příjmu identifikační značky převáděče.

Je tedy zřejmé, že i jednoduché umlčovače šumu mohou být nepříznivě ovlivněny různými faktory a vskutku jen málo amatérů je s funkcí tohoto svého umlčovače spokojeno. V každém případě je vhodné při nastavování alespoň kontrolovat stejnosměrné napětí na výstupu detektora šumu a jeho změny při příchodu signálu. Nelze se spolehnout na to, že jakýkoliv umlčovač bude pracovat na první zapojení.

Dalším zajímavým řešením umlčovače řízeného energií šumu je zapojení na obr. 2.68, popsané OK1DAP v [12]. Šumový signál se po ze-



Obr. 2.68. Umlčovač šumu s integrátorem impulsů

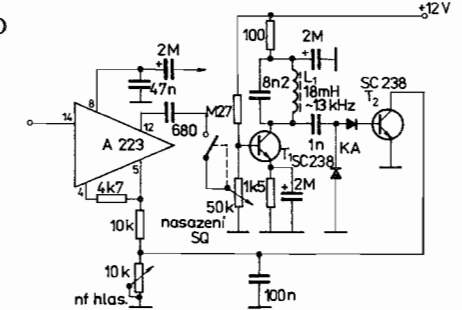
sílení a limitaci v IO MAA145 vede na tzv. „počítací detektor“ s tranzistorem  $T_1$ . Zapojení je známé z měřičů ukazujících přímo kmitočty, jde tedy o integrátor impulsů. Na integračním kondenzátoru  $C$  vzniká stejnosměrné napětí úměrné kmitočtu přiváděných impulsů, které řídí Schmittův klopný obvod (SKO) s tranzistory  $T_2$  a  $T_3$ . Hystereze SKO je nastavitelná rezistorem  $R$ , zpoždění lze zvětšit blokováním báze  $T_3$  kondenzátorem (vyčárkováno). Z výstupu SKO je řízen nf odpojovač (zde spíše „zkratovač“), osazený tranzistorem  $T_4$  v invertovaném zapojení. Umlčovač šumu v tomto provedení reaguje podle autora lépe na skutečný poměr  $s/\check{s}$  po detekci. Vzhledem ke svému principu však ani tento způsob není imunní proti vlivu nežádoucích signálů a v některých případech je i zde zařazení šumového filtru nutné.

To nás přivádí na myšlenku, že není nutné využívat šumové spektrum v celé jeho šíři, ale použít jako vzorku pouze té části spektra, která není ovlivněna nežádoucími signály. Řešení se vstupní pásmovou propustí již bylo naznačeno, často však postačí i jednoduchý obvod LC.

Jednoduše lze řešit umlčovač využívající indikace **vzorku šumového**

spektra ve spojení s některými integrovanými obvody. Prosté a funkčně postačující zapojení podle Y26QO je na obr. 2.69. Integrovaný ob-

Obr. 2.69. Umlčovač šumu podle Y26QO



vod A223 pracuje v doporučeném zapojení. Z neregulovaného výstupu 12 IO je šum veden na zesilovač  $T_1$ . Šumový filtr je realizován jednoduchým obvodem LC v kolektoru tranzistoru  $T_1$  a je laděn na kmitočet asi 13 kHz. Detekovaným šumovým napětím je řízen spínač  $T_2$ , který přes rezistor  $R$  spíná vývod 5 k zemi. Velikost jeho odporu se nastavuje základní nf hlasitost. Regulovaný nf výstup je na vývodu 8 IO.

Při praktické konstrukci přijímače FM je nutné ovládací prvek nasazení umlčovače (potenciometr) vždy umístit na přední panel zařízení, aby byl snadno dostupný.

Umlčovače šumu jsou neoddělitelnou částí přijímačů FM, proto jim byla v této kapitole věnována odpovídající pozornost.

## ■ Literatura

- [1] CQ-DL č. 3/1979: IC 202 S, IC 402 – Testbericht DL 1 BU.
- [2] Radioamatérský zpravodaj č. 5, 6, 7–8/80: Převáděčové mini-transceivry.
- [3] AR č. 7/1974: Jednotka VKV třídy Hifi s velkou přeladitelností.
- [4] Funkamatér č. 5, 6/1981: Ein 135 MHz – VFO.
- [5] ARRL Handbook 1982.
- [6] Sborník ze setkání VKV amatérů NDR – Freiberg 1980.
- [7] Radioamatérský zpravodaj č. 3/1973: Detektor pro NBFM.
- [8] Amatérské radio č. 3, 4/1977: Mezifrekvenční zesilovač 10,7 MHz s IO.
- [9] Sdělovací technika č. 10/1983: Obvod pro fázový závěs. MHB 4046.
- [10] ARRL Handbook 1983.
- [11] Radioamatérský zpravodaj č. 1/1975: Mezifrekvenční zesilovač 10,7 MHz s detektory AM, CW, SSB a FM.
- [12] Radioamatérský zpravodaj č. 3/1977: Nový umlčovač pro FM.

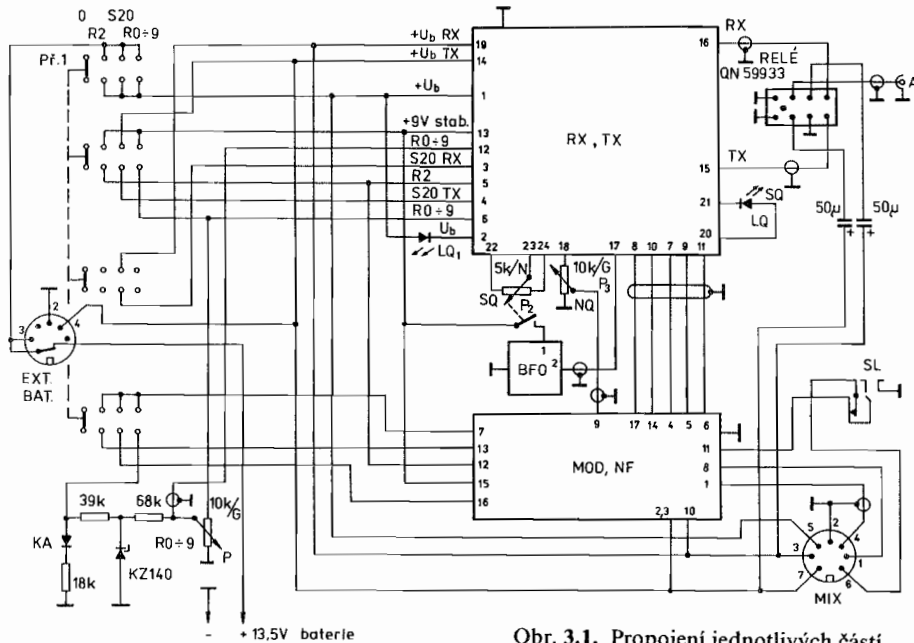
Vratislav Hrdý, OK2VNW

## TRANSCEIVER „MAZÁK“ PRO 145 MHz FM

Transceiver Mazák s kmitočtovou modulací pro pásmo 145 MHz pracuje v převáděčových kanálech  $R_0$  až  $R_9$  a v kanálu  $S_{20}$ .

Je napájen napětím v rozmezí 10,5 až 13,5 V ze 3 plochých vzájemně propojených baterií a se záporným pólem spojeným s kostrou transceivru. Minimální napájecí napětí je signalizováno světelnou diodou na ovládací skříňce. Výstupní výkon vysílače je 1 W, citlivost přijimače je  $1\mu\text{V}$ , ladění VXO pro kanály  $R_0$  až  $R_9$  se děje pomocí potenciometru s cejchovanou stupnicí a přesné doladění do převáděčového kanálu pomocí vestavěného BFO. Přijímač transceivru je superhet s jedním směšováním na mezifrekvenční kmitočet 600 kHz. Přijímač má řiditelný umlčovač (squench-SQ), v pravé poloze potenciometru pro jeho řízení se mikrospínačem zapíná BFO. Pro příjem lze připojit sluchátka se současným odpojením reproduktoru a v místě s možností síťového napájení je možné transceiver napájet síťovým zdrojem s výstupním napětím 13,5 V při současném odpojení vestavěných baterií. Odběr proudu při příjmu je 65 mA a při vysílání 225 mA. Na konektoru pro externí napájení je rovněž vyveden kladný pól napájení při vysílání pro případné ovládání výkonového koncového stupně.

Rozměry samotného transceivru jsou 50 x 100 x 230 mm včetně prostoru k uložení baterií. Na obr. 3.1 je zapojení všech propojovacích vedení mezi jednotlivými částmi transceivru, které také určitým způsobem nahrazuje skupinové zapojení transceivru a dává přehled o funkci celého zařízení. V zapojení na obr. 3.1 jsou k ovládání použity následující prvky:  $P_1$  – přepínač WK 53317 pro volbu kanálu,  $P_1$  – potenciometr  $10 \text{ k}\Omega/\text{G}$  TP 280 pro přelaďování v kanálech  $R_0$  až  $R_9$ ,  $P_2$  – potenciometr  $5 \text{ k}\Omega/\text{N}$  TP 160 pro nastavení umlčovače a ovládání BFO,  $P_3$  – potenciometr  $10 \text{ k}\Omega/\text{G}$  TP 160 pro řízení nízkofrekvenčního výstupu přijímače.

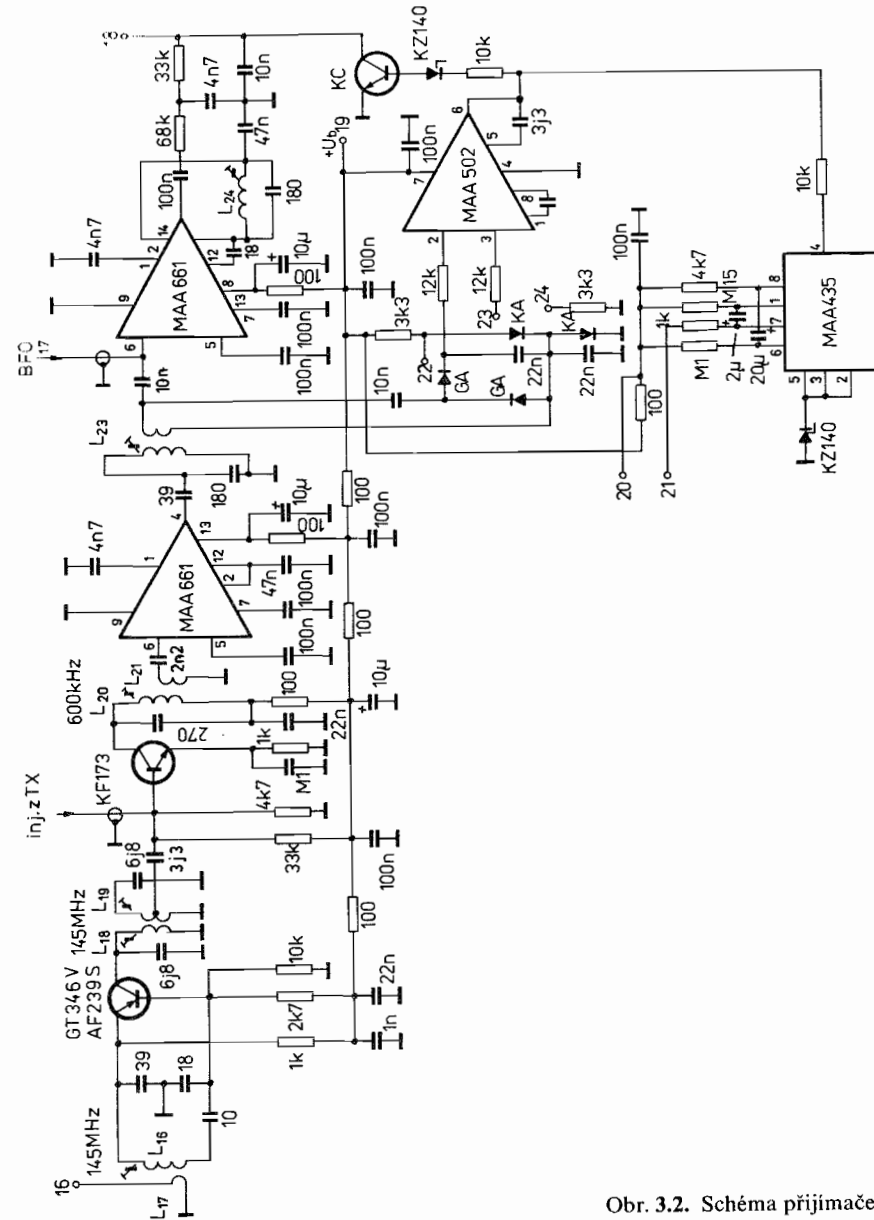


Obr. 3.1. Propojení jednotlivých částí transceivru

## Přijímač transceivru

Celkové schéma přijímače transceivru Mazák je uvedeno na obr. 3.2. Vysokofrekvenční signál z anténního relé (viz obr. 3.1) přichází na vývod 16 plošného spoje přijímače a vysílače. Přes vazební cívku  $L_{17}$  a laděný obvod s cívkou  $L_{16}$  se dostává na vstup vysokofrekvenčního zesilovače s tranzistorem GT346V (AF239S) v tzv. mezielektrodovém zapojení. Z kolektoru tranzistoru potom přes pásmovou propust s cívkami  $L_{18}$  a  $L_{19}$  do báze směšovacího tranzistoru KF173, kam je též přiváděn signál z místního oscilátoru, který v popisovaném zapojení představují první tři stupně vysílače (viz obr. 3.3), z cívky  $L_3$ . Samotné propojení je uskutečněno tenkým koaxiálním kabelem.

Kolektor tranzistoru směšovače je připojen k cívce  $L_{20}$ , která tvoří první obvod laděný na kmitočet mezifrekvence, tj. 600 kHz. Z vazební cívky  $L_{21}$  postupuje signál do mezifrekvenčního zesilovače s integro-



Obr. 3.2. Schéma přijímače

vaným obvodem MAA661, z jehož výstupu se zesílený signál vede na další laděný mezifrekvenční obvod s cívkou  $L_{22}$  a přes vazební cívku  $L_{23}$  do druhého integrovaného obvodu MAA661, který slouží jako další zesilovač, omezovač amplitudy a koincidenční demodulátor. Demodulátor má ve svém obvodu cívku  $L_{24}$ . Současně se z cívky  $L_{23}$  odvádí signál do diodového zdvojovovače v nastavitelném komparátoru s integrovaným obvodem MAA502, který má ve výstupu tranzistor KC507 v úloze umlčovače šumu a současně řídí integrovaný obvod MAA435. Ten tvoří astabilní klopný obvod pro signalizační světelnou diodu CQ, která bliká při příjmu. Nízkofrekvenční signál se odvádí k dalšímu zesílení z vývodu 18 společného plošného spoje přijímače a vysílače.

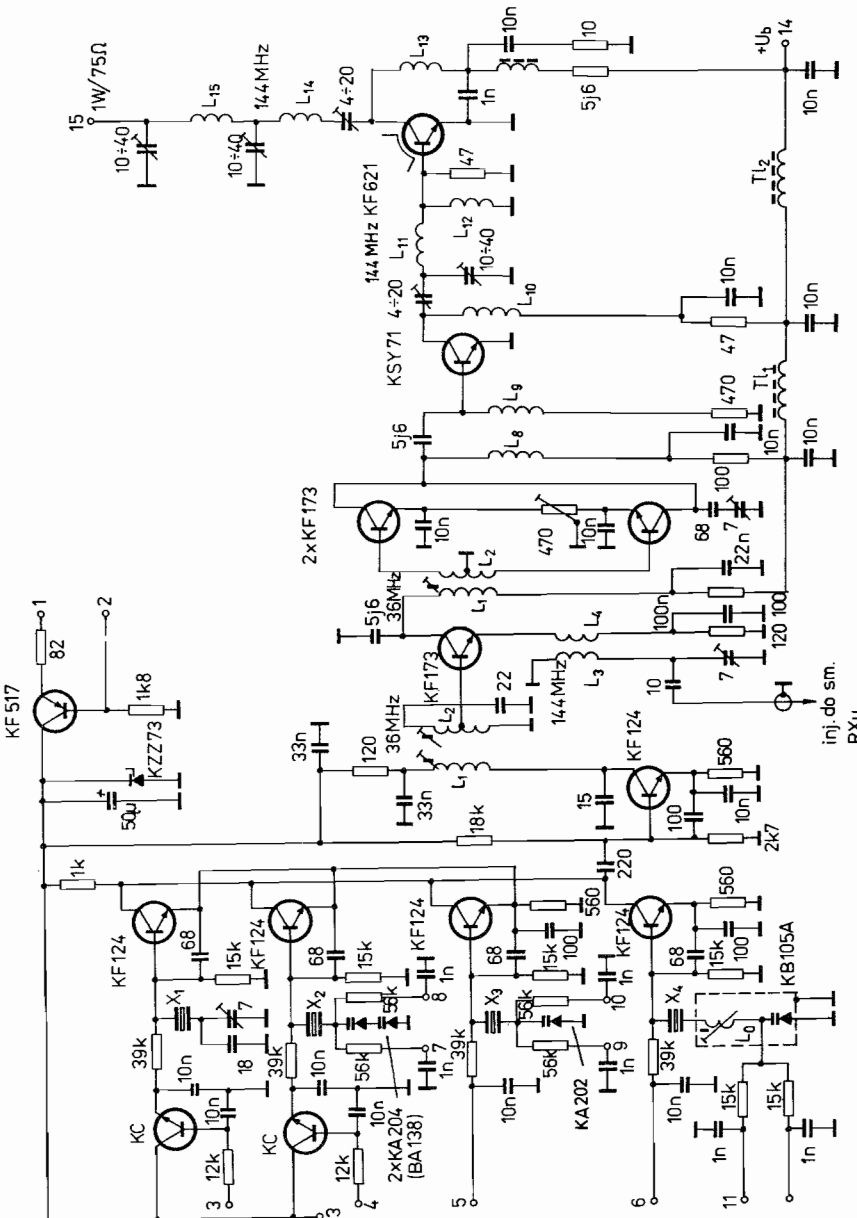
V zapojení použité mezifrekvenční transformátory jsou typu 1PK 59363 bez původních kondenzátorů. Kondenzátory u mezifrekvenčních transformátorů jsou umístěny buď pod, nebo vedle transformátorů na straně součástek. Otvory pro ně nejsou na plošném spoji vyznačeny. Kryty mezifrekvenčních transformátorů je nutné uzemnit. Dodařovací jádra s červenou značkou pro cívky  $L_{16}$ ,  $L_{18}$  a  $L_{19}$  jsou zkrácena na polovinu.

Údaje o cívkách a tlumivkách:  $L_{16}$  – 6 závitů drátem  $\varnothing 1$  mm CuAg na tělisku  $\varnothing 6$  mm s mezerou mezi závity;  $L_{17}$  – 1 závit drátem  $\varnothing 0,5$  mm CuL přes cívku  $L_{16}$ ;  $L_{18}$  – 6 závitů drátem  $\varnothing 1$  mm CuAg na tělisku  $\varnothing 6$  mm s mezerou mezi závity asi  $0,8$  mm;  $L_{19}$  – 6 závitů drátem  $\varnothing 1$  mm CuAg na tělisku  $\varnothing 6$  mm s mezerou mezi závity asi  $0,8$  mm a odbočkou na 3. závitu;  $L_{20}$ ,  $L_{22}$ ,  $L_{24}$  – asi 100 závitů drátem  $\varnothing 0,05$  mm CuL v miniaturním feritovém mezifrekvenčním transformátoru (originální transformátor MF s označením 1PK 59363);  $L_{21}$ ,  $L_{23}$  – asi 10 závitů drátem  $\varnothing 0,05$  mm;  $TL_1$  až  $TL_3$  – asi 20 závitů drátem  $\varnothing 0,2$  mm CuL na feritové trubičce z hmoty H 20.

### Vysílač transceivru

Jeho zapojení je na obr. 3.3.

Oscilátorový díl tvoří čtveřice krystalem řízených oscilátorů s přímým ovládacím napětím nebo ovládacím napětím přes pomocné spínače z tranzistorů KC507. Jednotlivé oscilátory jsou osazeny tranzistory KF124 a jsou dodařovány i v rytmu modulace, kmitočtově roz-



Obr. 3.3. Schéma vysílače

mítány kromě oscilátoru s krystalem  $X_1$ , který je dolaďován kapacitním trimrem.

Základní kmitočet krystalů je 12, . . . MHz, krystal  $X_1$  je určen k příjmu v kanálu  $S_{20}$  pro mobilní stanice, krystal  $X_2$  je pro vysílání ve stejném kanálu, krystal  $X_3$  je určen pro příjem i vysílání v některém z převáděčových kanálů  $R_0$  až  $R_9$  a krystal  $X_4$  je ve VXO, kde je v sérii s nastavitelnou cívkou a varikapem, jenž je umístěn v krytu cívky  $X_0$ . Cívka  $L_0$  je vinuta na tělisku s feritovým jádrem z radiostanice VXW a má vinutí závit vedle závitu asi 1,5 vrstvy, mezi vrstvami je proložení izolačním páskem. Navinutá cívka vyžaduje mechanické zabezpečení vhodným voskem a nesmí být vinuta tzv. divoce.

Z kolektoru oscilátoru se signál vede do báze prvního násobiče, který jej ztrojuje na 36 MHz a je opět osazen tranzistorem KF124. Jeho kolektor je připojen k cívce  $L_1$ , která spolu s cívkou  $L_2$  vytváří pásmovou propust. Z odbočky na cívce  $L_2$  signál pokračuje do báze dalšího násobiče, který s tranzistorem KF173 zdvojuje kmitočet na 72 MHz. V emitoru uvedeného zdvojovače je obvod, jímž se díky přechodu BE tranzistoru KF173 přivádí oscilační signál do směšovacího stupně přijímače (obr. 3.2). Cívками  $L_5$ ,  $L_6$  a  $L_7$  se vede signál v pásmu 72 MHz do posledního násobiče s tranzistory 2x KF173 a se symetrickým vstupem, který se vyvažuje potenciometrickým trimrem v emitorech tranzistorů. Paralelně spojené kolektory obou tranzistorů jsou připojeny k pásmové propusti z cívek  $L_8$  a  $L_9$  s kapacitní vazbou kondenzátorem 5,6 pF. Z ní se signál přivádí do prvního zesilovače s tranzistorem KSY71 a přes laděný přizpůsobovací obvod do koncového stupně, který je osazen tranzistorem KF621, opatřeným chladcem. Výstup z koncového stupně je přes cívky  $L_{14}$ ,  $L_{15}$  a vývod 15 společné desky pro přijímač i vysílač do anténního relé (obr. 3.1).

Tranzistor KF517 tvoří stabilizátor proudu pro napěťový stabilizátor se Zenerovou diodou KZZ73 k napájení oscilátorů i světelné diody signalizující zapnutí transceivru, dále pro předpětí varikapů a napájení BFO.

Kryty jednotlivých krystalů se základním kmitočtem v pásmu 12, . . . MHz je nutné uzemnit. Krystal  $X_1$  je libovolný z radiostanice Racek, jemuž se jódováním upraví základní kmitočet tak, aby ho dostali výsledný kmitočet 144,9 MHz. Lepší je ovšem výsledný kmitočet

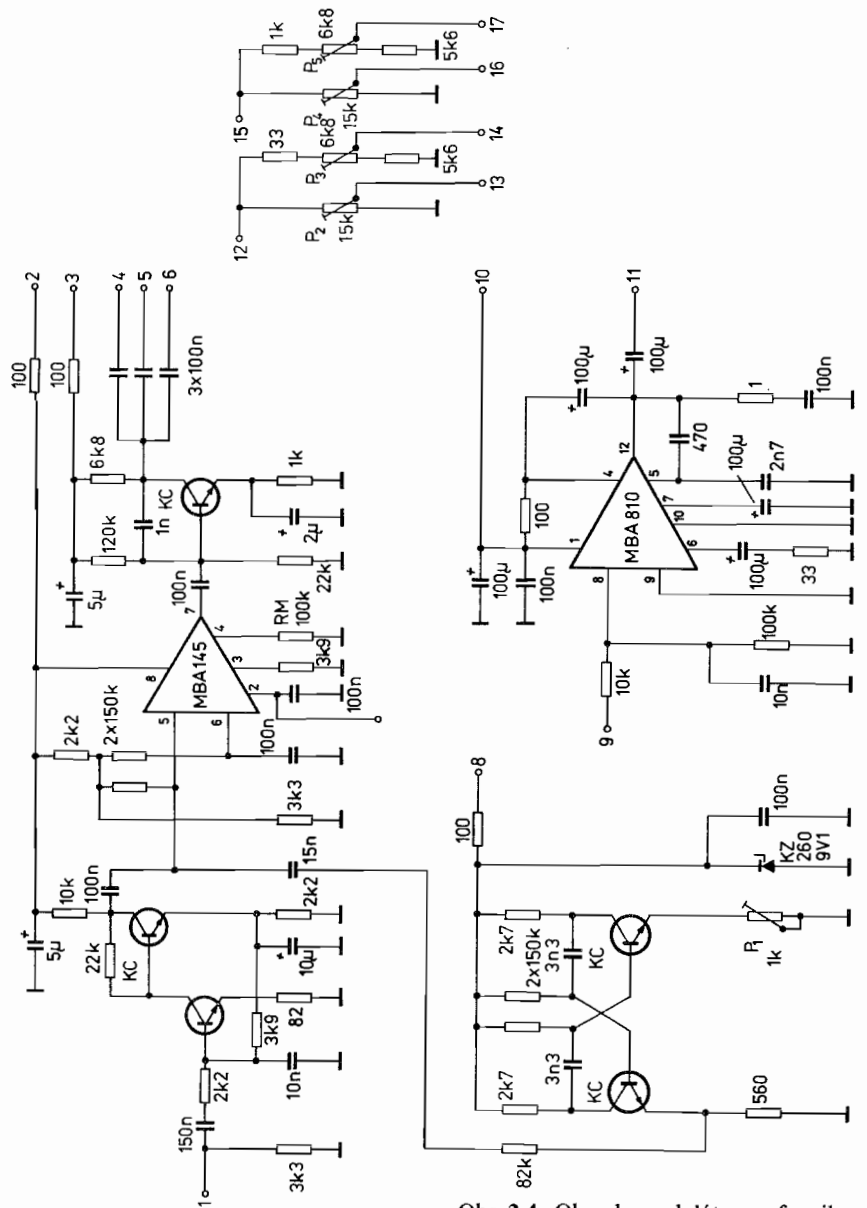
krystalu  $X_1$  upravit na 146,1 MHz, aby nepronikly signály SSB ze 144,3 MHz. Krystal  $X_2$  je s originálním kmitočtem 36,381 25 MHz pro kmitočet 145,5 MHz; krystal  $X_3$  je libovolný z radiostanice Racek, u něhož úpravou základního kmitočtu jódováním získáme kmitočet 145,05 MHz (krystalem  $X_3$  lze osadit libovolný kanál od  $R_0$  do  $R_9$ ); krystal  $X_4$  je s originálním kmitočtem 36,331 25 MHz pro kanály  $R_0$  až  $R_6$ .

Údaje o cívkách vysílače:  $L_0$ –60 závitů drátem Ø 0,16 mm CuL – viz poznámka v předcházejícím textu a s původním jádrem v cívce je potřeba dosáhnout změnu indukčnosti od 12,5 do 15,5  $\mu$ H;  $L_1$  – 12 závitů drátem Ø 0,6 mm CuL na tělisku Ø 6 mm, vinuto těsně;  $L_2$  – 12 závitů drátem Ø 0,6 mm CuL na tělisku Ø 6 mm, vinuto s odbočkou na 5. závitu;  $L_3$  – 8 závitů drátem Ø 0,6 mm CuL samonosně na Ø 3,5 mm s délkou vinutí 10 mm;  $L_4$  – 2 závity drátem Ø 0,6 mm CuL samonosně na Ø 5 mm těsně u cívky  $L_3$ ;  $L_5$ ,  $L_6$ ,  $L_7$  – 3 × 6 závitů drátem Ø 0,3 mm CuL na tělisku Ø 6 mm, vinuto těsně a trifilárně, v tělisku mosazné jádro;  $L_8$  – 5 závitů drátem Ø 1 mm CuAg samonosně na Ø 5 mm s délkou vinutí 10 mm;  $L_9$  – 25 závitů drátem Ø 0,2 mm CuL na odporu TR 151 asi 1,5 vrstvy;  $L_{10}$  – 6 závitů drátem Ø 10 mm CuAg samonosně na Ø 5 mm s délkou vinutí 10 mm;  $L_{11}$  – 3 závity drátem Ø 1 mm CuAg samonosně na Ø 5 mm s délkou vinutí 10 mm;  $L_{12}$  – 15 závitů drátem Ø 0,4 mm CuL samonosně na Ø 3 mm, vinuto těsně;  $L_{13}$  – 4 závity drátem Ø 1 mm CuAg samonosně na Ø 6 mm s délkou vinutí 12 mm;  $L_{14}$  – 3 závity drátem Ø 1 mm CuAg samonosně na Ø 5 mm s délkou vinutí 8 mm;  $L_{15}$  – 5 závitů drátem Ø 1 mm CuAg samonosně na Ø 5 mm s délkou vinutí 10 mm. Místo drátu CuAg je možné použít i měděný drát se stejným průměrem, popřípadě i pocínovaný. Samonosné cívky jsou pájeny těsně nad plošným spojem, délka vinutí je dána roztečí pájecích bodů a doladění se děje stlačením nebo roztažením závitu.

#### Modulátor, nízkofrekvenční zesilovač a pomocné obvody

Obvody modulátoru, generátoru 1 750 Hz, nízkofrekvenčního zesilovače a nastavovacích prvků jsou uvedeny na obr. 3.4 a jsou umístěny na samostatné desce s plošným spojem.

Nízkofrekvenční signál z mikrofonu se přivádí k vývodu 1 desky.

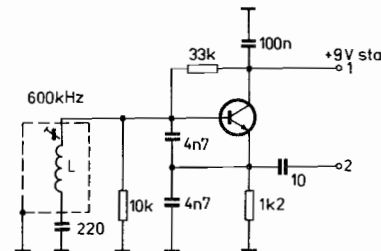


Obr. 3.4. Obvody modulátoru, nf zesilovače a generátora kmitočtu 1 750 Hz

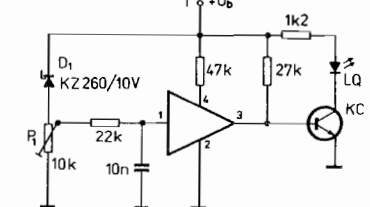
Je zesilován dvoustupňovým zesilovačem s tranzistory KC507. Následuje zesilovač s integrovaným obvodem MBA145, který je řízen úrovní stejnosměrného napětí z vývodu 7 desky plošného spoje. Z výstupu MBA145 se vede zesílený signál do dalšího zesilovače s tranzistorem KC507 a z jeho kolektoru se nízkofrekvenční signál větví do všech varikapů v oscilačních obvodech (obr. 3.3). Nízkofrekvenční oscilátor volacího kmitočtu 1 750 Hz tvoří dva tranzistory KC507. Kmitočet se nastavuje potenciometrickým trimrem  $P_1$ , kondenzátory 3,3 nF jsou ve styroflexovém provedení. Nízkofrekvenční zesilovač je osazen obvodem MBA810AS a signál pro něj se přivádí na vývod 9 desky, napak výstupní signál ze zesilovače na vývod 11 desky. Ostatní ovládání prvky na nízkofrekvenční desce slouží k nastavení zdvihu kmitočtové modulace a kmitočtu nosné.

Ovládací prvky:  $P_1$  – proměnný odpor pro nastavení kmitočtu 1 750 Hz;  $P_2$  – potenciometr 1 k $\Omega$  pro nastavení zdvihu modulace v kanálu převáděče;  $P_3$  – potenciometr 6,8 k $\Omega$  pro nastavení kmitočtu pro kanál převáděče;  $P_4$  – potenciometr 6,8 k $\Omega$  pro nastavení kmitočtu pro kanál převáděče;  $P_5$  – potenciometr 15 k $\Omega$  pro nastavení zdvihu v kanálu  $S_{20}$ ;  $RM$  – odpor u vývodu 4 obvodu MBA145 pro nastavení zdvihu v kanálu  $R_0$  (VXO).

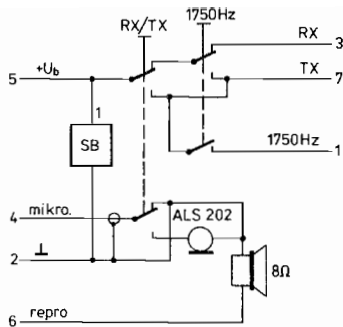
Ostatní desky pro BFO (obr. 3.5), signalizace minimálního napětí baterie (SB) (obr. 3.6) a ovládací skříňky (obr. 3.7) nepotřebují zvlášt-



Obr. 3.5. Záznějový oscilátor



Obr. 3.6. Signalizace minimálního napětí baterie



Obr. 3.7. Ovládací skřínka

ní komentář kromě desky signalizace. V klidovém stavu, kdy světelná dioda v obvodu tranzistoru typu KC nesvítí a nesignalizuje podpětí baterie, má zapojení minimální odběr. Trimr  $P_1$  na desce pro SB se nastaví tak, aby se světelná dioda rozsvítla při napájecím napětí 10,5 V, při němž je ještě zaručena správná činnost zařízení, i když výkon vysílače je už menší.

V zapojení BFO na obr. 3.5 je cívka  $L$  originální z mezifrekvenčního transformátoru typu 1PK 59363 a je stejná jako u mezifrekvenčních transformátorů. Pokud se v zapojení signalizace poklesu napětí baterie na obr. 3.6 nepodaří nastavit rozsvícení světelné diody potenciometrem  $P_1$  při napájecím napětí 10,5 V, je potřeba vyměnit diodu  $D_1$  za jinou. V zapojení ovládací skřínky na obr. 3.7 jsou dvě tlačítka Isostat. Sluchátko ALS 202 je vyjmuto z pouzdra a upevněno v objímce z ocelového pocínovaného plechu a připevněno k plošnému spoji. Reproduktor je ARZ Ø 50 mm s impedancí 8 Ω. Kabel k ovládací skřínce je ukončen sedmipólovým konektorem magnetofonového typu.

#### Poznámka k použitým součástkám

Všechny odpory jsou v provedení TR112a nebo TR151 či TR191 apod. Blokovací kondenzátory jsou keramické polštářkové typu TK7... s vývody na jedné jejich straně a elektrolytické kondenzátory jsou s jednostrannými vývody typu TEOO. Výjimku tvoří kondenzátory pro oscilátor 1 750 Hz, o nichž je zmínka v příslušné části textu. Germaniové i křemíkové diody jsou libovolného typu, pokud se nejedná o Zenerovy diody, a světelné diody s označením ve schématech

jsou červené, libovolného typu. Ještě několik slov k elektrolytickým kondenzátorům. V nízkofrekvenčním zesilovači jsou použity v provedení TEOO 100 M/10. Ty snesou napájecí napětí, jak bylo ověřeno v praxi (ale není to právě ve shodě s jejich technickými podmínkami a ani s nezbytně nutnou provozní bezpečností). Kondenzátory ve vysokofrekvenčních obvodech jsou výhradně z kvalitní keramiky a potenciometrické trimry jsou v provedení TPO95.

Na osičce potenciometru pro řízení umlčovače je vačka, která spíná mikrospínač pro zapnutí BFO a je upevněna tak, aby spína při zcela odpojeném umlčovači, tj. při maximálním šumu přijimače bez signálu. Mikrospínač je upevněn a aretovaný (mechanicky) na podpanelu spolu s ostatními potenciometry, přepínačem a světelnými diodami. Pro přepínání antény bylo použito relé s označením QN 59933, což je paměťové impulsní relé s jediným samostatným přepínacím kontaktem. Elektrolytické kondenzátory v ovládacím obvodu relé jsou typu TE984 50 M/15 V. Kapacitní trimry v obr. 3.3 s kapacitou označenou 7 pF jsou typu WK 70122 a trimry s větší kapacitou 25 pF jsou v provedení WN 70424 a s kapacitou 50 pF jsou typu WN 70425. Lze také používat hrníčkových trimrů s kapacitou 30 pF i jiných. Hlavní deska transceivru, tj. deska pro přijímač a vysílač, se po osazení součástkami doplňuje stínicími přepážkami.

#### Nastavování

Po vizuální kontrole správnosti zapojení jednotlivých desek a celého zapojení transceivru lze přistoupit k oživování jednotlivých desek. Nejprve oživíme desky BFO, signálního dílu, modulátoru a zkontrolujeme, zda na desce s přijímačem a vysílačem jsou správná napájecí napětí. K dalšímu textu musíme dodat, že je velmi obtížné sestavit nastavovací předpis pro minimální měřicí vybavení.

BFO – jeho kmitočet se nastavuje jádrem cívky na 600 kHz ± 1 kHz, nejlépe čítačem.

Přijímač – signál z BFO připojit k bázi směšovače. K cívce  $L_{23}$  připojit improvizovaný vysokofrekvenční detektor a naladit mezifrekvenční transformátory na maximální výchylku měřidla. Postupně zezslabovat signál z BFO sériovým trimrem 30 pF a dolaďovat transformátory MF na maximální výchylku indikátoru. Předcházející nastavování

vování dělat při vypnutých krystalových oscilátorech. Cívku  $L_{24}$  je možno naladit až poslechem některého převáděče a stejně tak i vstupní díl přijímače. Podmínkou je ovšem správná funkce příslušného krystalového oscilátoru i odpovídajících násobičů ve vysílači.

Vysílač – základním úkonem je nastavení správného kmitočtu krystalových oscilátorů čítačem. Měří se přes kondenzátor asi 100 pF na kolektoru oscilátoru. Další obvody je možno naladit improvizovanou vysokofrekvenční sondou připojenou k živým bodům zapojení přes minimálně možnou sériovou kapacitu, aby nedocházelo k rozladění obvodů po odpojení sondy. K výstupu vysílače připojit umělou zátěž vytvořenou např. dvěma paralelně spojenými odpory 150  $\Omega$  TR152 a na nich měřit vysokofrekvenční sondou přes minimální sériovou kapacitu nebo přes kapacitní dělič. Obvody vysílače ladit na maximální výchylku indikátoru. Zcela nakonec naladit pásmovou propust  $L_1-L_2$  tak, aby výkon vysílače byl stejný ve všech kanálech  $R_0$  až  $R_9$  při přelaďování VXO. Kontrolovat i v kanálu  $S_{20}$ .

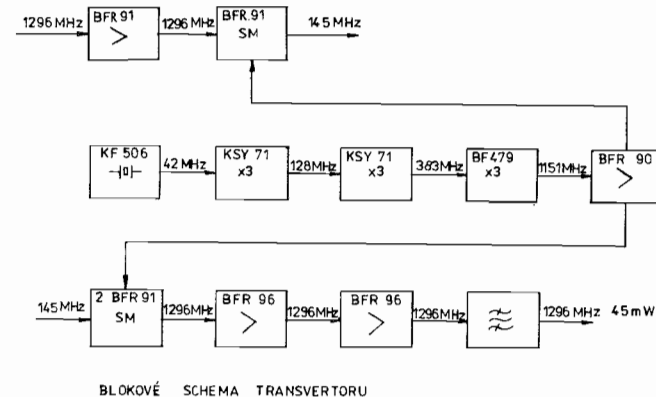
VXO – rozsah ladění nastavit jádrem cívky  $L_0$  při měření čítačem. Cejchovat až po úplném oživení včetně obvodu průběhu regulačního napětí pro modulátor. Přesah ladění by měl činit  $\pm 20$  kHz.

Nízkofrekvenční díl – kmitočet 1 750 Hz nastavit trimrem, který lze případně nahradit pevným odporem. Zesílení modulačního zesilovače nastavit v kanálu  $R_0$  (VXO) odporem  $RM$  u obvodu MBA145 na požadovaný zdvih.

Miroslav Pavelka, OK1DGI

## TRANSVERTOR 145/1 296 MHz

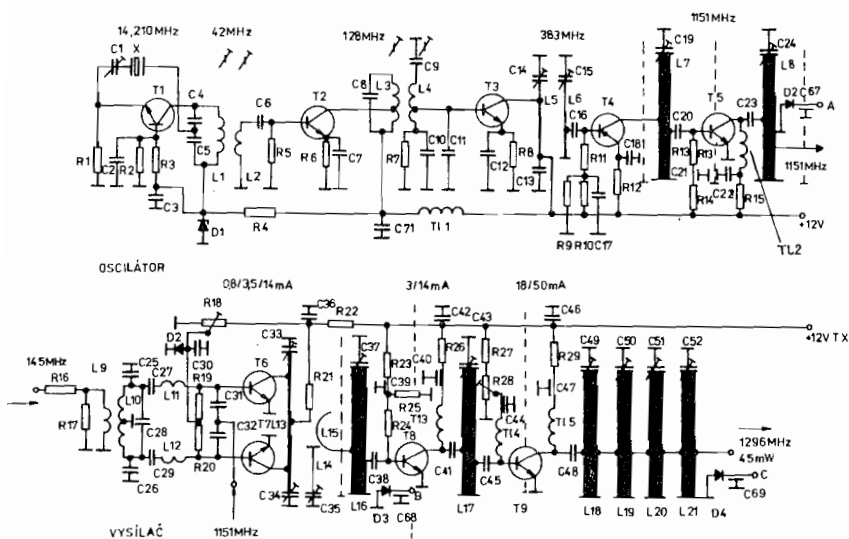
Jde o transvertor ze 145 MHz na 1 296 MHz pro všechny druhy provozu s výstupním výkonem 50 mW. Transvertor se skládá z části oscilátorové, která je společná pro příjem i pro vysílání, z části přijímací a části vysílací. Všechny jsou umístěny na společném plošném spoji, jehož součástí jsou i souosé rezonátory, a vytvářejí pevný mechanický celek.



Obr. 4.1. Skupinové schéma

Budič: Krystal oscilátoru 14,21 MHz kmitá na třetí harmonické. Pokud je krystal dobré kvality, je toto zapojení oscilátoru stabilní. Stupeň s tranzistorem  $T_2$  pracuje jako ztrojovač – obvody s cívками  $L_3$  a  $L_4$  jsou naladěny asi na 128 MHz. Další tranzistor  $T_3$  pracuje také jako ztrojovač; na jeho výstupu je už 383 MHz. Poslední ztrojovač  $T_4$  je osazem tranzistorem BF 479. Tranzistor  $T_5$  pracuje jako zesilovač 1 151 MHz. Kdybychom ho chtěli vynechat za cenu zvýšení výkonu

jednotlivých stupňů, bylo by to na úkor čistoty výstupního signálu. Ta je pro oscilátorovou část nejdůležitější. Vazby mezi stupni jsou volné, aby nedošlo k přetížení některého násobiče.



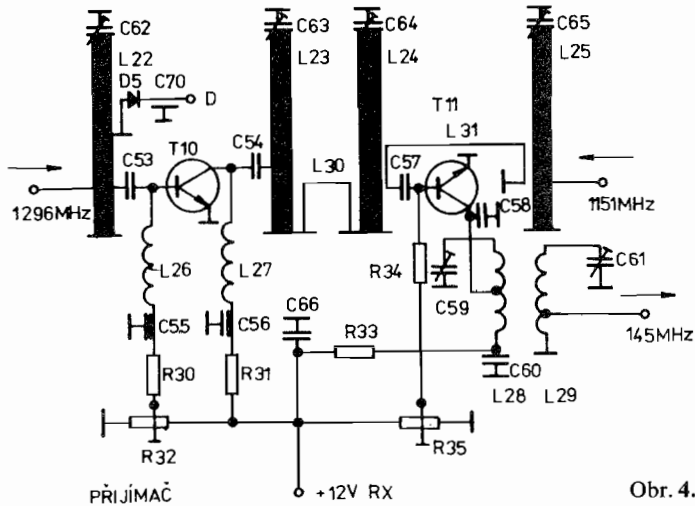
Obr. 4.2. Oscilátor a vysílací část

Vysílač je lineární a skládá se z vyváženého směšovače a dvou zesilovacích stupňů. Pro směšovač je nutno vybrat shodné tranzistory. Pracovní bod směšovacích tranzistorů  $T_6$  a  $T_7$  se nastavuje trimrem  $R_{18}$ . (Původně jsem použil trimry dva, pro každý tranzistor zvlášť, ale kromě pracnějšího seřizování byl výsledek stejný.) Proud tekoucí tranzistory se u jednotlivých typů liší a pouhé nastavení proudu nestačí. Nejlépe se osvědčilo nastavení pomocí dvoutónového generátoru a osciloskopu. Tím si také změříme úroveň 145 MHz na vstupu a oscilátorového signálu. Pro připojení osciloskopu slouží měřicí bod  $B$ . Pomocí trimrů  $C_{33}$  a  $C_{34}$  je nutné nastavit a co nejlépe vyvážit směšovače, aby na výstup nepronikal signál 1 151 MHz. Stačí kontrolovat napětí v bodě  $B$  bez signálu 145 MHz. Důležité je, aby kolektorový

proud byl stálý. Vstup 145 MHz je bez signálu a střídavě zapínáme a vypínáme oscilátor. Kolektorový proud se nesmí měnit. S BFR91 se mi nepodařilo (na rozdíl od BFR96) dosáhnout dokonalého vyvážení. Proto jsem k výstupnímu obvodu přidal odladěovač  $L_{14} C_{35}$ . Trimrem  $C_{35}$  se tedy nastavuje minimální úroveň signálu oscilátoru na výstupu. Při nastavování je potřeba doložovat  $C_{33}$ ,  $C_{34}$ ,  $C_{35}$  a  $C_{37}$ , protože se navzájem poněkud ovlivňují. Pokud použijeme jako zkušební signál pro nastavování dvoutónový generátor a kontrolujeme tvar výstupního signálu, lze dosáhnout výborných výsledků. Totéž platí pro následující zesilovací stupně. Pracovní bod  $T_8$  je nastaven výběrovým odporem  $R_{23}$ . Za současné kontroly kolektorového proudu a linearity nastavíme největší výstupní výkon. Při nastavování posledního stupně je nutná zvýšená opatrnost, protože výstupní výkon není omezen ani dovoleným proudem, ani linearitou, ale oteplením tranzistoru. Kdybychom postupovali jako u předchozího stupně, tranzistor by se brzy „upekl“. Neocenitelným pomocníkem je teploměr s perličkovým termistorem, kterým kontrolujeme teplotu. Ta je totiž prvním omezením v dalším zvětšování výkonu. Použití přidavného chlazení je dosti problematické. Jako kompromis je možno navrstvit silikonovou vazelinu mezi tranzistor a zemní plochu.

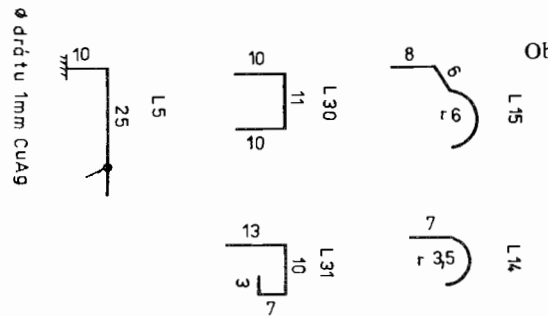
Výstupní obvod se skládá ze čtyř rezonátorů. Na výstupu je čistý signál 1 296 MHz. Zrcadlový signál 1 006 MHz se vůbec nedá zjistit. Při konečném nastavení je vhodné si poznamenat napětí v měřicích bodech  $A$ ,  $B$ ,  $C$ ; usnadní se tím kontrola zařízení a hledání případné závady.

Část přijímací nemá žádné úskalí. Při nastavování je vhodné použít šumový generátor (možno i podle signálu na pásmu). Měřicí bod  $D$  použijeme ke kontrole pronikání signálu vysílače přes anténní relé do vstupního obvodu. Je dobré jej kontrolovat nejen voltmetrem, ale i osciloskopem při přepnutí RX-TX. (Může se tím vysvětlit zdánlivě bezdůvodné zničení vstupního tranzistoru.) Použité součástky, až na tranzistory a krystal, jsou běžně dostupné. Dokonce ani bezindukční bezvývodové kondenzátory nejsou nutností. Vyzkoušel jsem naše keramické polštárkové kondenzátory, u kterých jsem zkrátil vývody na 1 mm a nejistil žádný rozdíl proti zahraničním bezvývodovým. Navíc montáž je jednodušší a nevyžaduje speciální pájku.

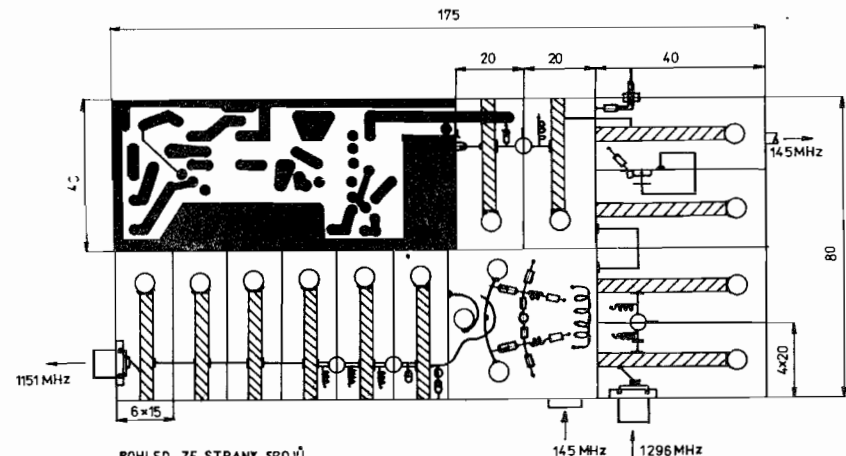


Obr. 4.3. Přijímací část

Celý transvertor je na jedné desce s plošnými spoji. Oscilátorový díl až do kmitočtu 383 MHz používá klasické obvody se soustředěnými parametry; obvody pro 1 151 a 1 296 MHz jsou vyrobeny jako koaxiální rezonátory z oboustranně plátovaného kuprexitu. Je to konstrukce poněkud pracnější, ale dostupná. Jde vlastně o zkrácené obvody  $\lambda/4$ . Koncovou ladící kapacitu tvoří skleněný trimr 5,5 pF, střední vodič je z měděné trubky Ø 4 mm. Původně jsem používal drát Ø 4 mm, ale měl příliš velkou tepelnou vodivost, která způsobovala potíže při pájení – při vyhledávání polohy odboček pro připojení tranzistorů se mi obvykle střední vodič odletoval a upadl. Při použití



Obr. 4.4. Indukčnosti transvertoru



Obr. 4.5. Celkové uspořádání

trubičky se to nestávalo. Vnější plášť rezonátoru je tvořen měděnou fólií oboustranně plátovaného kuprexitu. Plášť má pouze 3 stěny, čtvrtá (horní) chybí a rezonátor zůstává otevřený. Plášť i střední vodič jsou vyleštěny a natřeny trolitulovým lakem (trolitulové korálky z koaxiálního kabelu rozpuštěné v toluenu nebo benzenu). Tím je zajištěna dlouhodobá stálost jakosti obvodů. Nalakování provedeme až po dokončení veškerého pájení. Musíme dát pozor, aby lak nezatekl dovnitř skleněných trimrů – nedalo by se jimi otáčet. Takto provedené rezonátory, přestože nejsou postříbřeny, mají vysokou jakost a jsou dlouhodobě stálé i při používání v polních podmínkách. I v provozu zůstávají rezonátory otevřeny. Bez horního krytu je transvertor na postojo stabilní bez sebemenších sklonů ke kmitání.

Vazební kondenzátory mezi bázemi a kolektory tranzistorů jsou keramické miniaturní kondenzátory s vývody zkrácenými na nejmenší možnou míru.

Tranzistory jsou připájeny do otvoru Ø 5 mm vyrtaném v přepážce mezi rezonátory. Emitorový vývod je uzemněn na straně kolektorevého rezonátoru – získá se tak větší výkon. Propojení zemních ploch přepážky pomocí tenké měděné fólie procházející otvorem pro tranzistor nepřineslo žádné zlepšení.

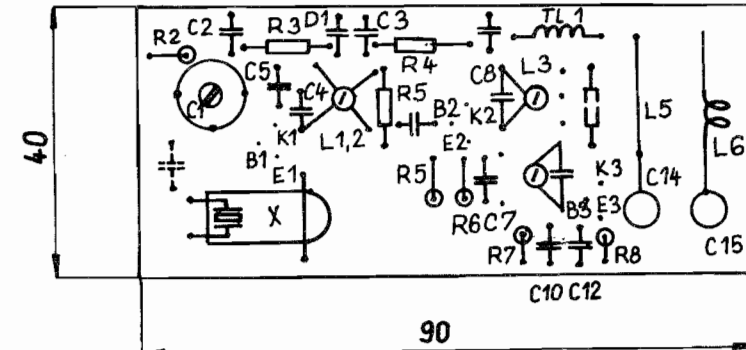
Ještě k rozměrům rezonátorů: Skleněné trimry 5, 5 pF mají velkou přeladitelnost a z toho vyplývá velká povolená tolerance rozměrů. Změna délky středního vodiče  $\pm 2$  mm je zanedbatelná. Stejně i změna průměru nijak pronikavě neovlivní jakost rezonátorů. Nejdůležitější je co nejlepší vyleštění povrchu a jeho ochrana před oxidací.

Jinak zde platí zásady práce na VKV pásmech: Všechny vývody součástek co nejkratší, důkladné a čisté pájení, mechanická pevnost.

### Oživení a nastavení

Nezbytným přístrojem pro nastavení je vlnoměr. Dále potřebujeme univerzální měřidlo, např. PU 120. Vhodný je i VF voltmetr, šumový generátor, reflektometr a osciloskop nebo druhý přijímač pro 1 296 MHz. Do kmitočtu 128 MHz použijeme GDO BM342, od 383 MHz výše BM355 („ČERNÁ ROURA“). Tento vlnoměr je určen pro měření frekvencí do 900 MHz. Přesto jím lze indikovat i kmitočty vyšší. 1 151 MHz je na pomocné stupnici na dílku 89, 1 296 MHz je na dílku 91. Je tu však jiné úskalí. Vlnoměr má pro kmitočty nad 900 MHz nevhodné rozměry, a proto se při ladění vyskytují i parazitní rezonance. Např. při měření kmitočtu 1 151 MHz ukazuje výchylka na dílku 89, ale také na 700 MHz a dalších frekvencích. Obdobně při měření 1 296 MHz je výchylka na dílku 91, 96, dále 820, 410, 370 atd. Jsou to pouze vlastní rezonance vlnoměru, ukazuje je i tehdy, měříme-li signál z kvalitního továrního generátoru. Toto je velmi důležité vědět a může nám to ušetřit mnoho bezesných nocí, kde se nám tyto záhadné kmitočty v oscilátoru berou, když je nelze zdůvodnit početně. Přesto lze s tímto vlnoměrem transvertor úspěšně nastavit.

Oživování začneme od oscilátorové části. Jednotlivé stupně ladíme pomocí vlnoměru na maximální výchylku na pracovním kmitočtu. Vlnoměr stačí přiblížit na 1–3 cm k laděným obvodům – výchylka je velmi zřetelná. Při ladění jednotlivých násobičů je vhodné do kolektorového obvodu zapojit miliampérmetr a kontrolovat, zda nedochází při prolaďování ke skokové změně kolektorového proudu, která by znamenala divoké oscilace. Při nastavování oscilátorové části se mi toto nestalo v žádném stupni. Objevila se ale jiná závada, projevující se zvýšeným šumem. Způsoboval ji vadný kondenzátor  $C_3$  spolu s diodou  $D_1$ . Protože odstup tohoto šumu od užitečného signálu byl



um. Dále nastavíme pracovní body tranzistorů  $T_{10}$  a  $T_{11}$  na nejlepší šumové číslo. Tím je přijimací část nastavena. Měřicí bod  $D$  je určen k pozdější kontrole pronikání signálu vysílače přes anténní relé na vstup přijimače. Na připojeném osciloskopu kontrolujeme napěťové změny při přepnutí vysílání – příjem a naopak. Takto se někdy vyšvětlí jinak záhadné a třeba i pravidelné zničení vstupního tranzistoru.

Nakonec nastavujeme část vysílací. Její správné nastavení je velmi důležité, protože kvalita vysílaného signálu je vizitkou každého radioamatéra.

Začneme nastavením směšovače bez dvoutónového generátoru. Na vstup směšovače přivedeme signál 145 MHz CW. Pokud vysílač, který je k dispozici, má výkon okolo 100 mW, připojíme ho přímo na vstup směšovače, tj.  $L_{19}$ . Úroveň vstupního signálu v tomto případě nastavujeme změnou vzdálenosti cívek  $L_9$  a  $L_{10}$ . Jestliže má vysílač výkon vyšší než 100 mW, musíme jeho signál vhodně zeslabit. Při výkonech do 1 W je vhodný odporový trimr – potom jím výhodně můžeme řídit úroveň vstupního signálu. Při výkonu ještě větším je třeba použít vhodně dimenzovaný odporový dělič, na jehož výstupu bude požadovaná úroveň asi 100 mW.

Trimrem  $R_{18}$  nastavíme proud oběma tranzistory na 3,5 mA (součet obou proudů). Potom přivedeme na vstup směšovače signál 145 MHz CW. Jeho úroveň nastavíme (způsobem uvedeným výše) tak, až proud protékající tranzistory směšovače vzroste na 14 mA. Přitom je potřeba naladit na maximum obvod na vstupu  $L_{10}$   $C_{28}$ , laděný na 145,5 MHz. Ladíme na maximum kolektorového proudu  $T_6$  a  $T_7$ . Potom připojíme k měřicímu bodu  $B$  měřidlo  $50 \pm 100 \mu\text{A}$  a naladíme pomocí  $C_{33}$ ,  $C_{34}$  a  $C_{37}$  maximální výchylku. Je přitom nezbytné kontrolovat kmitočet, naladěný na výstupu směšovače vlnoměrem. Vzhledem k velkému přeladění výstupního obvodu je totiž možné na výstupu naladit i zrcadlový kmitočet 1 006 MHz. Jestliže je na výstupu směšovače správný signál 1 296 MHz, odpojíme signál 145 MHz a zkонтrolujeme úroveň signálu oscilátoru na výstupu 1 151 MHz, která má být co nejnižší. Při správném vyvážení směšovače je signál oscilátoru v rezonátoru s  $L_{16}$  neměřitelný. Nepodaří-li se potlačit pronikání oscilátoru trimry  $C_{33}$ ,  $C_{34}$ , jistě to dokážeme odladěvačem

s  $C_{35}$ . Obvody s  $C_{33}$ ,  $C_{34}$ ,  $C_{35}$ ,  $C_{37}$  se navzájem ovlivňují, a proto je nastavování potřeba několikrát opakovat.

Zbývá naladit na maximální výkon oba zesilovací stupně. Je potřeba dávat pozor, aby nebyl překročen maximální katalogový kolektrový proud tranzistoru. Klidové proudy bez signálu nastavíme u  $T_8$  na 5 mA u  $T_9$  na 20 mA. U posledního stupně ( $T_9$ ) musíme navíc dávat pozor, aby nedošlo k přehřátí tranzistoru. Není vhodné překračovat teplotu 60 °C.

### Nastavení pomocí dvoutónového generátoru

Mělo by být samozřejmostí, a to tím spíš, že je velice snadné postavit dva RC NF oscilátory (třeba s jedním tranzistorem), jejich signály sloučit na odporu a primitivní dvoutónový generátor je hotový. Dále potřebujeme nejjednodušší NF osciloskop. S tímto vybavením lze správně nastavit úroveň signálu 145 MHz i pracovní body jednotlivých stupňů. Nastavení probíhá stejně jako v předchozím případě, avšak místo CW signálu z vysílače použijeme signál SSB a místo mikrofonu připojíme dvoutónový generátor. Při seřizování směšovače nastavíme takovou úroveň signálu 145 MHz a takové pracovní body směšovacích tranzistorů, aby signál ze směšovače byl co nejsilnější a přitom nedocházelo k omezování vrcholů signálu. Osciloskop je připojen k bodu  $B$ . Dále připojíme osciloskop k výstupnímu kontrolnímu bodu  $C$  a stejným způsobem nastavíme pracovní body tranzistorů zesilovacích stupňů. Výkon co největší bez omezování vrcholů. Navíc je přitom třeba dávat pozor, aby nedošlo k překročení maximálních hodnot (teplota, proud) posledního tranzistoru. Při seřizování tímto způsobem je navíc vidět případné zákmity a jiná zkreslení signálu. Tím je nastavování skončeno a transvertor je připraven k používání.

### Seznam součástek

#### Kondenzátory

$C_1$	keramický trimr 30 pF	$C_{37}$	5,5 pF trimr
$C_2$	10n	$C_{38}$	5j6
$C_3$	M1	$C_{39}$	2n2 průchodkový
$C_4$	8j2	$C_{40}$	2n2 průchodkový
$C_5$	12	$C_{41}$	6j8

$C_6$	22	$C_{42}$	M1
$C_7$	10n	$C_{43}$	5,5 pF trimr
$C_8$	10	$C_{44}$	2n2 průchodkový
$C_9$	10	$C_{45}$	5j6
$C_{10}$	10n	$C_{46}$	M1
$C_{11}$	8j2	$C_{47}$	2n2 průchodkový
$C_{12}$	1n	$C_{48}$	6j8
$C_{13}$	10n	$C_{49}$	5,5 pF trimr
$C_{14}$	5,5 pF trimr	$C_{50}$	5,5 pF trimr
$C_{15}$	5,5 pF trimr	$C_{51}$	5,5 pF trimr
$C_{16}$	5j6	$C_{52}$	5,5 pF trimr
$C_{17}$	10n	$C_{53}$	5j6
$C_{18}$	1n	$C_{54}$	5j6
$C_{19}$	5,5 pF trimr	$C_{55}$	2n2 průchodkový
$C_{20}$	5j6	$C_{56}$	2n2 průchodkový
$C_{21}$	2n2 průchodkový	$C_{57}$	6j8
$C_{22}$	2n2 průchodkový	$C_{58}$	4j7
$C_{23}$	5j6	$C_{59}$	15 pF trimr
$C_{24}$	5,5 pF trimr	$C_{60}$	10n
$C_{25}$	2j2	$C_{61}$	15 pF trimr
$C_{26}$	2j2	$C_{62}$	5,5 pF trimr
$C_{27}$	18	$C_{63}$	5,5 pF trimr
$C_{28}$	5j6	$C_{64}$	5,5 pF trimr
$C_{29}$	18	$C_{65}$	5,5 pF trimr
$C_{30}$	M1	$C_{66}$	M1
$C_{31}$	10	$C_{67}$	2n2 průchodkový
$C_{32}$	10	$C_{68}$	2n2 průchodkový
$C_{33}$	5,5 pF trimr	$C_{69}$	2n2 průchodkový
$C_{34}$	5,5 pF trimr	$C_{70}$	2n2 průchodkový
$C_{35}$	5,5 pF trimr	$C_{71}$	M1
$C_{36}$	M1		

#### Odpory

$R_1$	680 TR 151	$R_{19}$	220
$R_2$	3k3	$R_{20}$	220
$R_3$	3k9	$R_{21}$	100
$R_4$	150	$R_{22}$	100
$R_5$	470	$R_{23}$	2k7 – nastavit
$R_6$	180	$R_{24}$	470
$R_7$	1k	$R_{25}$	470
$R_8$	82	$R_{26}$	180
$R_9$	33k	$R_{27}$	1k

$R_{10}$	3k3	$R_{28}$	2k2
$R_{11}$	470	$R_{29}$	68
$R_{12}$	100	$R_{30}$	1k
$R_{13}$	470	$R_{31}$	100
$R_{14}$	39k	$R_{32}$	3k3
$R_{15}$	100	$R_{33}$	100
$R_{16}$	68	$R_{34}$	470
$R_{17}$	47	$R_{35}$	3k3
$R_{18}$	3k3		

#### Tranzistory

$T_1$	KF506	$T_5$	BFR90	$T_9$	BFR96
$T_2$	KSY71	$T_6$	BFR91	$T_{10}$	BFR91
$T_3$	KSY71	$T_7$	BFR91	$T_{11}$	BFR91
$T_4$	BF479	$T_8$	BFR96		

#### Diody

$D_1$	KZ 723	$D_3$	KA 206	$D_5$	KA 206
$D_2$	KA 206	$D_4$	KA 206		

#### Tlumivky

$Tl_1$	20 záv. $\emptyset$ 0,2 na ferit. tyčince $\emptyset$ 3 mm
$Tl_2$	5 záv. $\emptyset$ 0,1 na $\emptyset$ 2 mm vzduch
$Tl_3$	5 záv. $\emptyset$ 0,1 na $\emptyset$ 2 mm vzduch
$Tl_4$	5 záv. $\emptyset$ 0,1 na $\emptyset$ 2 mm vzduch
$Tl_5$	5 záv. $\emptyset$ 0,1 na $\emptyset$ 2 mm vzduch

#### Cívky

$L_1$	8 záv. $\emptyset$ 0,3 mm kostra 5 mm jádro N 02
$L_2$	2 záv. $\emptyset$ 0,3 mm navinuto na L1
$L_3$	5 záv. $\emptyset$ 0,5 mm kostra 5 mm jádro N0 1, odb. 2 záv. od země
$L_4$	5 záv. $\emptyset$ 5 mm kostra 5 mm jádro N0 1, odb. 1,5 záv. od země
$L_5$	Viz nákres
$L_6$	2 záv. $\emptyset$ 1 mm CuAg 1 = 10 mm, délka s vývody 25 mm, odb. 1 záv. od země
$L_7$	$\emptyset$ 4 mm 1 = 28 mm odb. 9 mm od země
$L_8$	$\emptyset$ 4 mm 1 = 28 mm odb. 12 mm od země kolektory 6 mm vazba
$L_9$	2 záv. $\emptyset$ 0,5 na $\emptyset$ 5 mm vzduch
$L_{10}$	8 záv. $\emptyset$ 0,3 na $\emptyset$ 5 mm vzduch odb. uprostřed
$L_{11}$	2 záv. $\emptyset$ 0,3 mm na $\emptyset$ 3 mm vzduch
$L_{12}$	2 záv. $\emptyset$ 0,3 mm na $\emptyset$ 3 mm vzduch
$L_{13}$	1 = 23 mm $\emptyset$ 2 mm odb. na kolektor 4 mm od konci

L<sub>14</sub>

Viz nákres

L<sub>15</sub>

Viz nákres

L<sub>16</sub>

$\varnothing 4 \text{ mm}$  l = 28 mm vazba 6 mm, báze 7 mm

L<sub>17</sub>

$\varnothing 4 \text{ mm}$  l = 28 mm kolektor 10 mm, báze 8 mm

L<sub>18</sub>

$\varnothing 4 \text{ mm}$  l = 28 mm vazba 6 mm

L<sub>19</sub>

$\varnothing 4 \text{ mm}$  l = 28 mm vazba 8 mm

L<sub>20</sub>

$\varnothing 4 \text{ mm}$  l = 28 mm vazba 8 mm

L<sub>21</sub>

$\varnothing 4 \text{ mm}$  l = 28 mm vazba 10 mm

L<sub>22</sub>

$\varnothing 4 \text{ mm}$  l = 28 mm anténa 4 mm, báze 8 mm

L<sub>23</sub>

$\varnothing 4 \text{ mm}$  l = 28 mm kolektor 4 mm

L<sub>24</sub>

$\varnothing 4 \text{ mm}$  l = 28 mm

L<sub>25</sub>

$\varnothing 4 \text{ mm}$  l = 28 mm vazba 7 mm

L<sub>26</sub>

5 záv.  $\varnothing 0,3 \text{ mm}$  na  $\varnothing 3 \text{ mm}$  vzduch

L<sub>27</sub>

5 záv.  $\varnothing 0,3 \text{ mm}$  na  $\varnothing 3 \text{ mm}$  vzduch

L<sub>28</sub>

5 záv.  $\varnothing 1 \text{ mm}$  CuAg na  $\varnothing 5 \text{ mm}$  vzduch odb. 3 záv. od země

L<sub>29</sub>

5 záv.  $\varnothing 1 \text{ mm}$  CuAg na  $\varnothing 5 \text{ mm}$  vzduch odb. 2 záv. od země



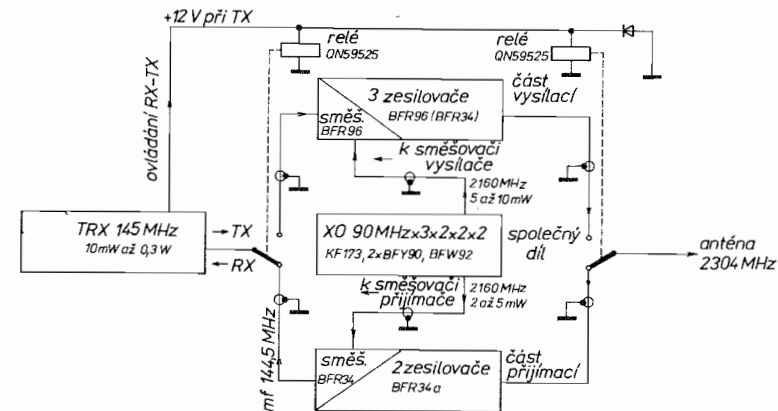
Ladislav Lapiš, OK2BSL

Pavel Šír, OK1AIY

## TRANZISTOROVÝ TRANSVERTOR NA 2 320 MHz

Transvertor je konstruován jako doplněk transceivru pro 145 MHz, se kterým je spojen jedním souosým kabelem, přivádějícím signál do vstupu přijímače 145 MHz při příjmu a naopak při vysílání signál z vysílače 145 MHz pro směšovač v transvertoru. Dalším kabelem je přivedeno napájecí napětí 12 V pro napájení přijímací části a 12 V pro vysílací část.

Je sestaven ze tří dílů, které jsou k sobě přišroubovány a tvoří jeden celek. Jedna část je vysílací, druhá přijímací (konvertor 2 320/145 MHz) a třetí část generuje pro vysílací i přijímací část společný oscilátorový signál. Blokové schéma transvertoru je na obr. 5.1.

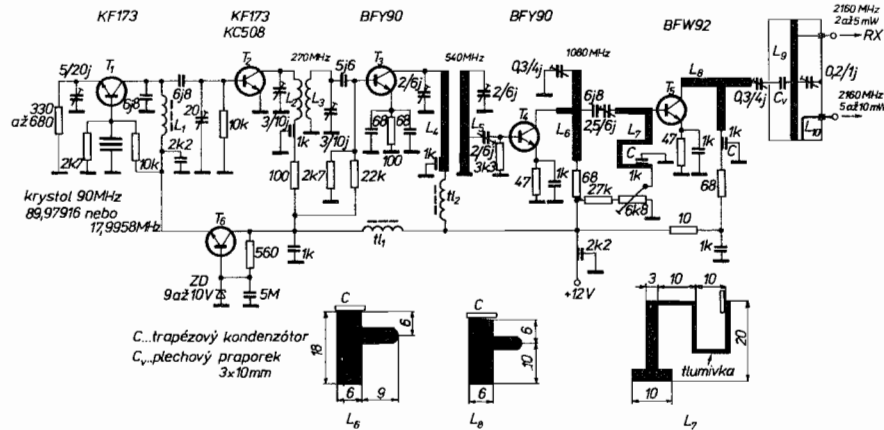


Obr. 5.1. Skupinové schéma

### Společný díl — 2 176 MHz — signál pro směšovače (obr. 5.2)

Jeho základem je krystalový oscilátor, kde krystal 18 MHz kmitá

na 5. harmonické, tj. 90 MHz. Jestliže takový krystal není k dispozici, lze např. krystal 15 nebo 10 MHz rozkmitat na 3. harmonické a dalším tranzistorem vynásobit na 90 MHz. Při konstrukci oscilátoru je třeba dodržet všechny zásady podmiňující dobrou stabilitu kmitočtu.

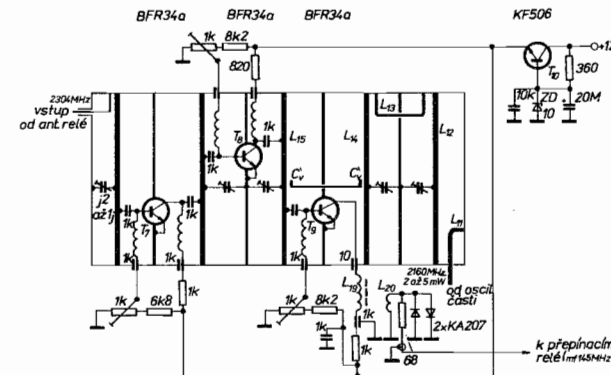


Obr. 5.2. Společný díl, signál pro směšovací

Kmitočet se mnohokrát násobi a výsledný signál musí být dostatečně stabilní i pro provoz SSB. Pokusy však ukázaly, že je-li dobrý krystal (nejlépe ve skle) a pečlivě sestavený oscilátor, není nutné používat termostat, alespoň ne v tomto malém přenosném zařízení. Vyhoví umístění krystalu do pěnového polystyrénu a ochrana oscilátoru před výraznějšími změnami teploty. Násobiče z 90 na 270 MHz a na 540 MHz jsou v obvyklém zapojení. Laděné obvody a tlumivky dalšího zdvojovače na 1 080 MHz už jsou „tištěné“. Tranzistor BFY90 odevzdá dostatečný výkon pro buzení dalšího násobiče na 2 160 MHz, který má tranzistor BFW92; je to velmi dobrý tranzistor a ve spojení s půlvlnným rezonančním obvodem, naladěným na 2 160 MHz, dodává dostatečný signál pro oba směšovače. Dva výstupní konektory s různými způsoby vazby umožňují experimentování, případně zapojení dalšího stupně v nějakém odděleném přístroji.

Mechanické rozmístění součástek je patrné z obr. 5.2, kde je tento společný díl již smontovaný s přijímací částí – konvertorem.

### Část přijímací — konvertor z 2 320 MHz na 145 MHz (obr. 5.4)



Obr. 5.4. Část přijímací, konvertor

V tomto dílu je použito BFR34a v zapojení se společným emitorem. K dosažení největšího zesílení jsou emitory připojeny na kostru přímo, bez emitorového odporu. Odpadnou tím sice komplikace s dokonalým zablokováním emitorů bezindukčními kondenzátory, ale zhorší se teplotní stabilita.

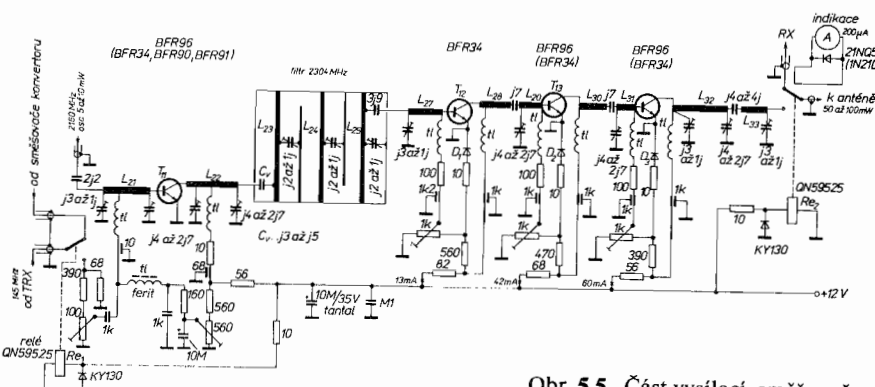
Tabulka 5.1. Provedení indukčnosti přijímací části transverzoru

Tlumivky	3 z drátu o $\varnothing$ 0,4 mm CuL samonosně na $\varnothing$ 2,5 mm
$L_{11}$	měděný drát o $\varnothing$ 1,5 mm (smyčka)
$L_{12}, L_{14}, L_{15}$	mosazná trubka o $\varnothing$ 6 mm délky 49 mm, odbočka 11 mm od „studeného“ konce
$L_{16}, L_{17}$	smyčka z měděného drátu o $\varnothing$ 1,5 mm, $12 \times 15$ mm
$L_{13}$	měděný pásek $5 \times 0,2$ mm délky 15 mm
$L_{18}$	8 z drátu o $\varnothing$ 0,4 mm na $\varnothing$ 4 mm
$L_{19}$	2 vazební závity v izolační trubičce PVC
$L_{20}$	plechový praporek $5 \times 10$ mm (vazba mezi $L_{14}$ a $L_{15}$ )
$C_V$	

Aby byl pracovní bod stabilní, je napájecí napětí pro všechny tři stupně konvertoru stabilizováno na 10 až 11 V a v přívodech ke kolektorovým obvodům jednotlivých tranzistorů jsou odpory 1 k $\Omega$ .

Pracovní bod prvního stupně je nastaven na nejmenší šum, pracovní bod druhého stupně na největší zesílení. Výrobce udává v katalogu, že na 2 GHz je nejmenší šumové číslo při  $U_{CE} = 10$  V a  $I_C = 3$  mA a největší výkonové zesílení při  $U_{CE} = 6$  V a  $I_C = 15$  mA. V kolektoru směšovače je obvod laděný na 145 MHz. Důležitý je bezindukční kondenzátor 12 pF, připájený co nejbliže ke kolektorovému vývodu z tranzistoru. Jeden vazební závit pokračuje tenkým souosým kablíkem k přepínacímu relé typu QN59925. Ochranné diody s odporem 68  $\Omega$  zajišťují, aby se nezvětšilo vf napětí na laděném obvodu (v případě, že by nebylo sepnuté relé a z ovládacího transceivru přišel signál o větším výkonu, který by mohl zničit směšovací tranzistor). Resonanční obvody jsou půlvlnné, laděné uprostřed, v kmitně napětí. První tři jsou nastavené na přijímaný signál, zbývající dva na kmitočet oscilátorového signálu.

#### **Část vysílací – směšovač 145/2 320 MHz (obr. 5.5)**



Obr. 5.5. Část vysílací, směšovač

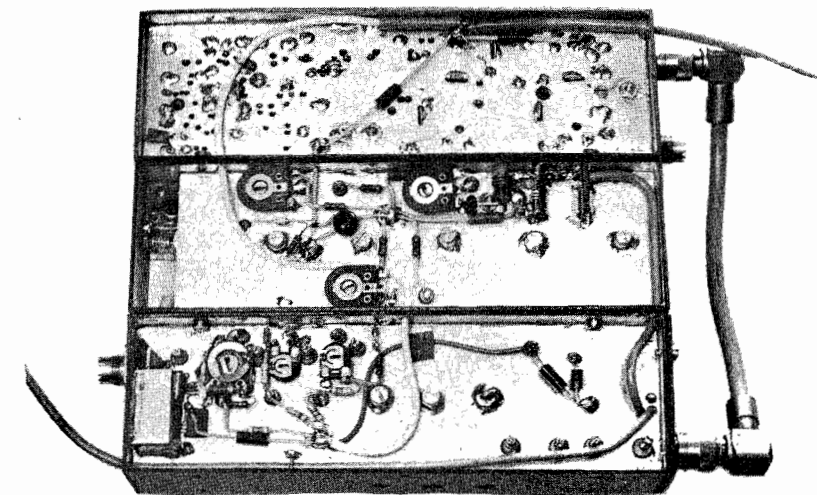
Směšovací tranzistor  $T_{11}$  je v zapojení se společným emitorem; v obvodu báze je článek  $\pi$ , na který je přiváděn signál z oscilátoru. Přes napájecí tlumivku je společně s jemně nastavitelným předpětím přiváděn signál z budiče 145 MHz.

Úroveň tohoto signálu lze nastavit odporovým trimrem  $100\ \Omega$ . Vém případě se z transceivru přivádí signál o výkonu asi  $0,3\text{ W}$ , který se celý spotřebuje v odporovém děliči. Je-li ze zařízení možné „odbočit“ někde na nižší výkonové úrovni ( $5$  až  $20\text{ mW}$ ), je to výhodnější a odpadne zkreslení následujících výkonových stupňů. Toto buzení se přivede ke směšovači zvláštním kabelem a lze pak vynechat i přepínací relé.

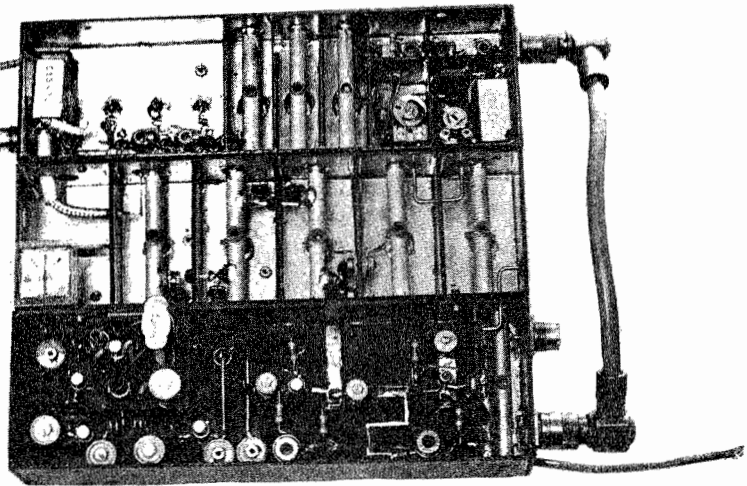
Velmi choulostivé je navázání výstupního článku  $\pi$  do následujícího třístupňového filtru, který je naladěn na 2 320 MHz. Za ním následuje třístupňový zesilovač. Nejlepší výsledky na všech stupních včetně směšovače dával tranzistor BFR96.

**Tabulka 5.2.** Provedení indukčnosti vysílací části transvertoru

$L_{21}, L_{22}$	měděný pásek $5 \times 9$ mm
$L_{23}, L_{24}, L_{25}$	mosazná trubka o $\varnothing 6$ mm délky 49 mm
$L_{27}, L_{29}, L_{31}$	měděný pásek $3 \times 4$ mm, viz text
$L_{28}, L_{30}$	pásek vývodu kolektoru délky 3 mm
$L_{32}$	měděný pásek $5 \times 12$ mm
$L_{33}$	indukčnost trimru (viz text)



Obr. 5.6. Pohled shora



Obr. 5.7. Pohled zespodu

K přepínání antény jsem použil relé QN59925. Při montáži je třeba miliwattmetrem sledovat, jaký výkon při vysílání jde „nesprávným“ směrem. Pak zkusmo uzemňujeme jednotlivé vývody z druhého páru nevyužitých přepínačích kontaktů relé a současně sledujeme výstupní výkon. Zvláště při uzemnění prostředního kontaktu do vhodného místa se výkon směrem do antény zvětší a téměř úplně zmizí signál „směrem k přijimači“. Po tomto úkonu lze zkusmo relé vyřadit a výstupní článek  $\pi$  připojit přímo do anténního konektoru. Výkon bude nepatrнě větší, ale 10% ztrátu lze ozelet. Uváží-li se malé rozdíly a hermetické provedení relé, jsou s ním daleko lepší zkušenosti než se souosým relé 5QN59909, u kterého se obvykle časem ulomí přepínací ocelová struna a oprava je velmi obtížná.

Mezi článek  $\pi$  a vstupním vývodem relé je další obvod, složený z trimru 0,5 až 4 pF (který má i indukčnost) a kapacity asi 0,5 pF na zem.

#### Uvádění do provozu — nastavování

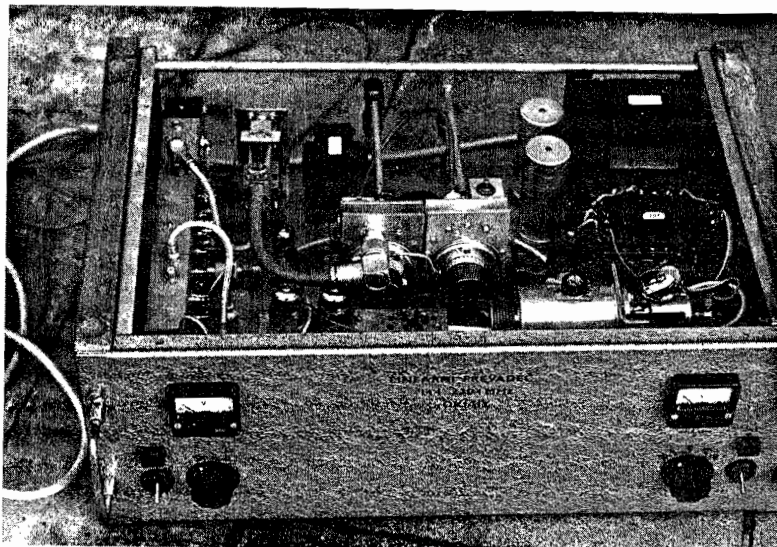
Jednotlivé díly je nutno oživovat postupně. Kmitočet krystalového

oscilátoru je třeba změřit, abychom věděli, jaký bude přesný kmitočet po vynásobení. Nemáme-li u transceivru možnost ladit 100 až 200 kHz pod 144,0 MHz, upravíme raději krystal tak, aby začátek pásmu 2 320,0 MHz přišel na 144,5 nebo 145,0 MHz.

Vlnoměrem je třeba změřit výstupní kmitočet všech násobičů postupně až k výstupnímu obvodu. Všechny prvky se nastavují na největší výstupní napětí, což platí i pro směšovač vysílací části. Ten je nejlépe nastavit jako zesilovač na 2 176 MHz. Jednak se snadno nastaví vstupní článek  $\pi$  a jednak se prakticky zkusí, jak stupeň zesiluje. Pak se přivede buzení z transceivru 145 MHz, trimrem 100  $\Omega$  nastavíme maximum signálu a vlnoměr naladěný na 2 320 MHz se naváže na výstup z článku  $\pi$  v kolektoru směšovacího tranzistoru. Přelaďováním obou trimrů se snažíme nastavit alespoň malý výkon na požadovaném kmitočtu. Tento okamžik je pro další práci dost důležitý, poněvadž není-li vlnoměr dost citlivý, lze nepatrnu výchylku ručky snadno přehlédnout. Je-li k dispozici druhý přijímač na 2 320 MHz, je možné článek  $\pi$  naladit podle jeho S-metru. Zároveň je třeba poopravit nastavení pracovního bodu  $T_{11}$ . Je nutné si uvědomit, že pracujeme na centimetrových vlnách a signály jsou tu slabé a těžko měřitelné. Každý detail musí být proveden co nejpečlivěji, vše správně nastaveno. To platí o všech dalších obvodech. Vazební kapacitu na tříobvodový pásmový filtr tvoří malý plechový praporek, na kterém je nasunuta izolační silikonová trubička; praporek je přiheknut k  $L_{23}$ . Nastavení všech tří obvodů je velmi ostré. Všechny trimry, které by k tomu mohly být použity, byly nevhodné pro nespolehlivý kontakt i velkou počáteční kapacitu. Šroub M3x20 však přeladí půlvlnný obvod o několik set MHz, a proto byly obvody dokonale laděny následujícím způsobem: Aby byl ladící šroub veden uprostřed otvoru  $\varnothing$  4 mm, který je vyvrácen kolmo do trubky o  $\varnothing$  6 mm, musí být umístěn v základní desce dostatečně přesně. Proto jsou všechny otvory vyvráceny montážně – vrtákem o  $\varnothing$  4 mm se ze strany rezonátoru naznačí na základní desce správné místo, které se pak provrtá vrtákem o  $\varnothing$  2,4 mm. Závit M3 se do laminátu vyřízne jen závitníkem č. 1 až 2, aby šel šroub v laminátu dostatečně těžko šroubovat. Z každé strany se pak k základní desce připájejí matice M3, které vedou šroub poměrně přesně a zajistí dobrý kontakt. Tento postup velmi ulehčil další

práci. V případě, že by kapacita úplně zašroubovaného šroubu byla ještě malá, je možno do otvoru o  $\varnothing$  4 mm zasunout teflonové nebo trolitulové pouzdro (kostříčka pro jádro M3 kanálového voliče TVP provrtaná vrtákem o  $\varnothing$  3,1 mm). Tím se zvětší dielektrická konstanta a tedy i kapacita. Šroub M3 bude pak zašroubován jen částečně do obvodu a rozsah ladění se tím zvětší.

Za selektivním filtrem následuje třístupňový tranzistorový zesilovač. Je vhodné jej celý zevrubně oživit natolik, aby na výstupu byl třeba jen malý výkon, který by se dal registrovat miliwattmetrem zapojeným přímo do antennního konektoru. Pak nastane zdlouhavá práce s každým milimetrem obvodů, které se zkracují nebo prodlužují malými kousky plechu za současného sledování výstupního výkonu. Všechny obvody musí jít poměrně ostře ladit. I když se v prvních chvílích zdá, že je to práce marná, dostaví se jistě po několika hodinách úspěch. Takové experimentování nevydrží keramické trimry, které se po několika protočených zničí a je nutné je vyměnit. Proto doporučuji připájet ty první jen velmi lehce, aby je pak bylo možné snadno vyjmout a nové už nastavit do předem vyzkoušené polohy.



Obr. 5.8. Sestavený transvertor

Slabé původní pásky tranzistorů tvoří obvodové indukčnosti a vyjdou jen velmi krátké, 1 až 2 mm; zbytek se musí nastavit širším páskem. Pozor také na tlumivky, hlavně v přívodu k bázím jednotlivých tranzistorů. Má-li stupeň sklon ke kmitání, doporučuji dát do série se čtvrtvlnnou tlumivkou odpor 100 až 200  $\Omega$ . Velmi mi to pomohlo u posledních dvou stupňů v zesilovači výkonu u směšovače v konvertoru. Jestliže začne některý ze stupňů kmitat, projeví se to zvětšením kolektorového proudu a odpory v kolektoru (u konvertoru 1  $k\Omega$ , u zesilovače 68  $\Omega$ ) jsou vlastně jediným omezujícím členem. Pro počáteční oživování je vhodné zvětšit tyto odpory na 100 až 200  $\Omega$  a proud měřit třeba Avometem. Pracovní body jednotlivých stupňů jsou dosažitelně jemně nastavitelné děličem, složeným z trimrů 1  $k\Omega$  a z pevného odporu. Pro zlepšení stabilizace s ohledem na změny teploty je k trimru ještě připojena kombinace odporu 10  $\Omega$  s diodou, která je jedním koncem připájena poblíž chladiče. Správně by měla být tepelně spojena s hmotou tranzistoru, poněvadž se po nastavení optimálních pracovních bodů tranzistory slabě zahřívají a zahřátá ochranná dioda by měla ubrat předpětí a přetížený prvek „přivřít“. Z tohoto důvodu bylo navrženo i chlazení. Tranzistory jsou „usazeny“ do přesného otvoru, který je vyvrácen v oboustranně plátovaném laminátu. Tím bude jejich emitor (bez dlouhého přívodu) přímo „na zemi“. Pro bázi i kolektor se jehlovým pilníkem „srazí“ hrana, aby nedošlo ke zkratu vývodních pásků na měď. Z druhé strany se pak nanese silikonová vazeliná a připájí čtvereček tenké měděné fólie. Je možné připájet měděnou fólii i ze strany obvodů, pozor však na zkrat báze-konektor. U přijímací části je tomu podobně. Vlnoměrem, přiblíženým k  $L_{12}$  a  $L_{14}$ , se indikuje jejich naladění. Po zapojení do vstupu přijímače na 145 MHz je už slyšet změny v šumu při „regulaci“ pracovního bodu  $T_9$ .

Pomocný kalibrátor, který dává signál na začátku všech pásem VKV, je další neocenitelnou pomůckou. Navážeme jej na  $L_{15}$  a pokusíme se zaslechnout jeho signál na vypočteném kmitočtu v pásmu 2 m. Jestliže se to povede, opravíme nastavení pracovního bodu trimrem (je velmi kritické) a postoupíme s kalibrátorem na další stupeň. Pak už jde vše snadno; S-metr je dobrým pomocníkem, a když už je ručka hodně vpravo (funguje AVC), ubere se na citlivosti nebo se me-

zi kalibrátor a vstup zařadí nějaký útlumový člen (např. několik metrů souosého kabelu). Tímto způsobem lze celý konvertor nastavit; nakonec se zkusmo opraví optimální oscilátorová injekce. Mění se vazební smyčka  $L_1$  a nakonec se odhýbá plechový praporek  $C$  za současného slaďování  $L_{14}$ . Poslední jemné doladění se udělá s připojenou anténou přímo na protistanici v pásmu.

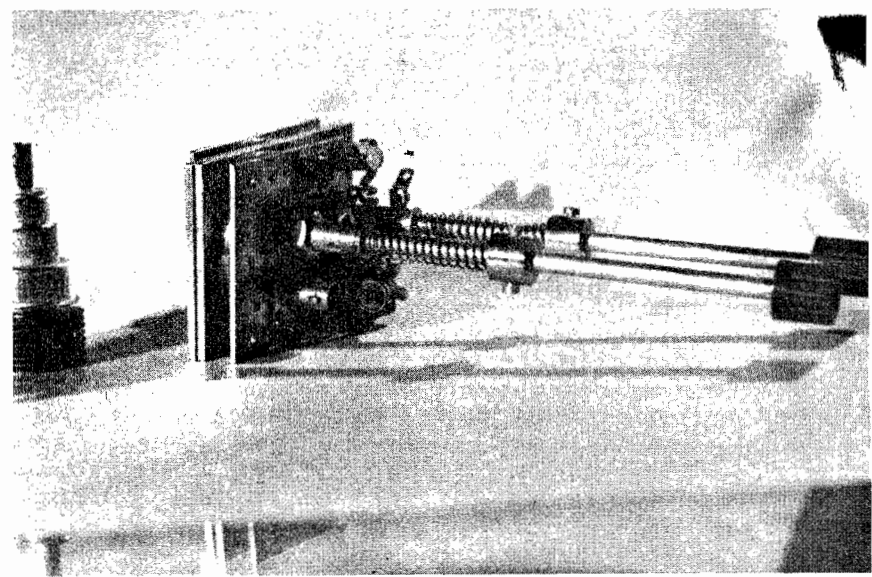
Mechanicky je celek spájen z oboustranně plátovaného kuprextitu (základní desky a přepážky), boční strany jsou z jednostranně plátovaného materiálu. Pracuje se s ním daleko snadněji než s plechem a konstrukce je lehčí a stabilnější. Půvlnné obvody z mosazné trubky o  $\varnothing$  6 mm jsou zasunuty z boku do otvorů o  $\varnothing$  6 mm a připájeny. Stříbření není podmírkou. Celá konstrukce by měla mít i víko, přišroubované velkým množstvím šroubů.

Výstupní výkon 50 až 100 mW, který byl naměřen, není velký. Není ale zase tak malý, aby se s ním nemohlo úspěšně dále experimentovat.

### Zesilovač výkonu pro 2 320 MHz s elektronkou 2C39 (obr. 5.3)

Zesilovač se skládá z katodové a anodové části, které jsou k sobě přišroubovány zhruba v úrovni mřížkového prstence. Oba dutinové rezonátory jsou jen 9,5 mm dlouhé, elektronka je umístěna excentricky těsně při jejich okrajích. V prostoru dutin jsou umístěny ladící terčíky a vazební smyčky, které jsou připájeny přímo do vstupního a výstupního konektoru. Obvod katody a žhavení je v podobném konektoru jako u směšovače. „Studený“ konec je zablokován bezindukčním kondenzátorem. Podobný bezindukční kondenzátor je také mezi anodovou pérovou objímkou a základní deskou. Jen izolační mezikruží ze slídy musí být poněkud tlustší (asi 0,25 až 0,35 mm), aby nedošlo k průrazu vysokým napětím, které může být až 1 000 V. Dva nejpracnejší díly – anodová a mřížková pérová objímka – byly použity z rezonátoru firmy Rafena. Rovněž ladící terčíky je vhodné použít hotové. Jsou to šrouby o průměru 10 mm s jemným závitem, vedené v kuželové rozříznuté matici. Ta se po naladění sevře převlečnou maticí a další pohyb šroubu v závitech je vyloučen. Odpadnou starosti se špatným kontaktem v závitech jakéhokoli volně se otáčejícího šroubu (vymezení vůle v závitech pomocí tlačných pružin viz obr. 5.3) s ladící

osou, která navíc musí být opatřena tlumivkou (trubka dlouhá asi 30 mm), aby tudy výkon neunikal.



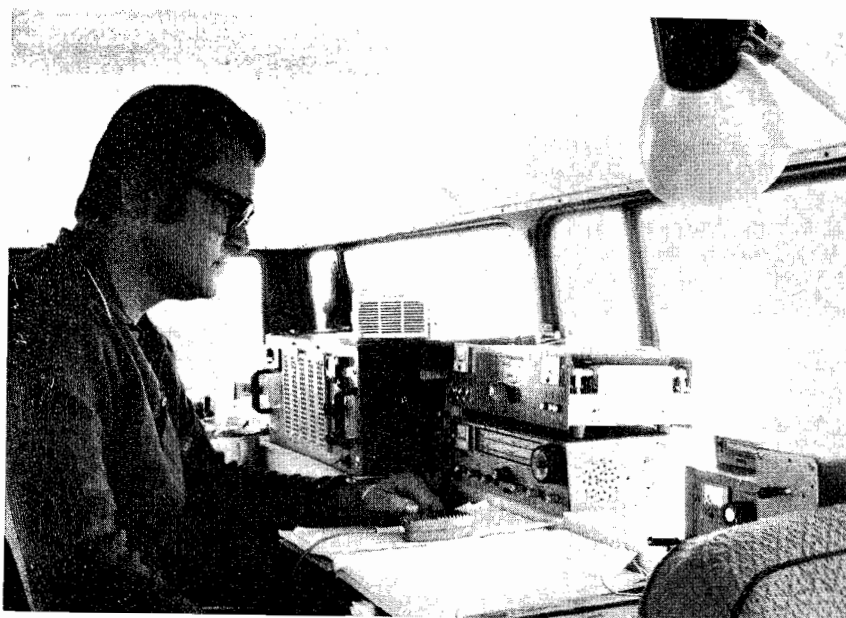
Obr. 5.3. Zesilovač výkonu

Mechanické práce na zesilovači je dost. Vyplatí se co největší přesnost. Jedna základní deska je narysována a provrtána, pro vrtání dalších dílů slouží jako šablona. Tloušťka základních desek může být od 2 do 4 mm (vyrovnaná se tloušťkou podložky pod anodovou pérovou objímkou). Sám jsem použil mosaznou vanu ze starého olejového kondenzátoru, který po několika desítkách let naposledy dobře posloužil... Desky je lépe nařezat pilkou a opilovat, protože při stříhání se takto tlustý materiál pokříví a těžko se rovná. Největší potíž bude asi s kruhovými částmi rezonátoru. Posloužilo vyrazené bronzové ložiskové pouzdro, které náhodou mělo skoro potřebné rozměry. V jednom případě jsem z nouze použil i dural. Jednotlivé díly jsou povyleštění a postříbření k sobě sešroubovány zapuštěnými mosaznými šroubkami M2. Styčné plochy musí být rovné a čisté. Pozor – dobře uta-

hovat! Naposledy se vrtají čtyři otvory o  $\varnothing$  2,4 mm pro závit M3 v základní desce katodové části. Rezonátory jsou již sešroubovány a elektronka je zasunuta, takže oba celky jsou vlastně na správných místech. Zmíněné otvory se závitem se dělají postupně, po vyvrtání prvního otvoru se ihned vyřízne závit a zašroubuje šroub, takže se už pak nemusíme obávat, že obě půlkdy budou usazeny křivě a elektronka bude mechanicky namáhána.

## ■ Literatura

- [1] AR č. 1 a 2/1977 a 7, 8/1979.
- [2] Konstrukční katalog Siemens.
- [3] UKW/Berichte č. 3/1977 a 4/1978.



Pavel Šír, OK1AIY

Ing. Josef Smítka, CSc., OK1WFE

## MIKROVLNY

### Experimentální zařízení pro pásmo 10 GHz

Toto zařízení je dnes již skoro historické. Před více než 10 lety jím uskutečnili OK1WFE a OK1VAM (Ing. Jan Franc) vstup československých radioamatérů na mikrovlnnou půdu. Jejich tehdejší československý rekord na vzdálenost 201 km mezi Sněžkou a Klínovcem (při slyšitelnosti 59++) se dlouho nepodařilo překonat.

Příprava takové akce začíná tím, že je nutné vyhledat vhodné vrcholy, mezi nimiž je přímá viditelnost. Útlum vln šířením zjistíme podle nomogramů. Z toho vyplýne potřebná citlivost přijímače, výkon vysílače a zisky antén. Dále zhodnotíme naše technické možnosti ve vztahu k stanoveným potřebám, a to rovněž podle nomogramů. Získáme tak představu, zda je či není možné spojení uskutečnit a zda je uskutečnění snadno nebo obtížně.

Není-li přímá viditelnost, je ještě možno udělat spojení difraccí, lomem, odrazem. Je však zapotřebí mnohonásobně vyššího výkonu, a to i o 40 dB na jednu překážku. Rádiový obzor nesouhlasí s obzorem optickým. Rádiové vlny nižších kmitočtů se ohýbají kolem terénu, mikrovlny však téměř nikoli.

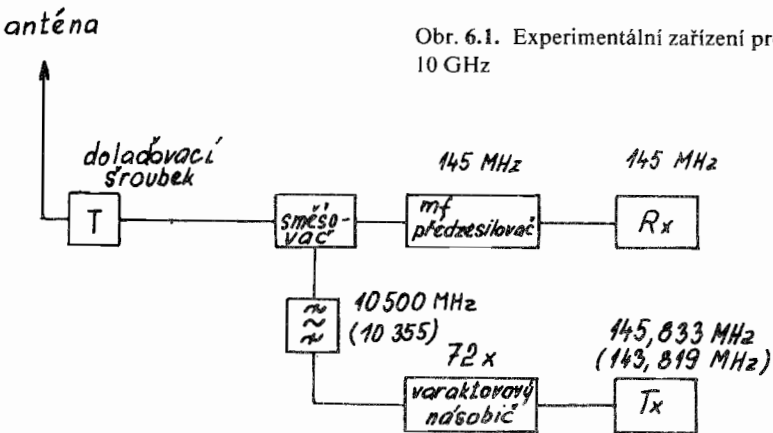
Při stavbě mikrovlnného zařízení je třeba věnovat pozornost každému dílu, a to hlavně šumu, kmitočtové stabilitě a správnému naladění. Přitom bývá k dispozici nejvýše sací měřič a kousek Lecherova vedení. Prvního překvapení jsme se dočkali, když jsme se neslyšeli ze sedmého do desátého patra téhož domu, ale až odrazem od protějšího paneláku. Spojení mezi Sněžkou a Klínovcem však bylo perfektní 59++. Při stavbě a závěrečném sestavení před odjezdem na „kót“ je nutno kontrolovat přijímače, vysílače i anténu. Kontrolu provádí-

me pokud možno neobjektivnějším způsobem – indikátorem výkonu, šumovým generátorem, měrnou anténkou apod. Stavba mikrovlnného zařízení se neobejde bez předchozího vybudování základní měřicí techniky.

Jako náhradní šumový generátor může posloužit držák mikrovlnné hrotové diody, do níž přivedeme inversním směrem stejnosměrný proud do 6 mA. Vhodná dioda je 36NQ52.

Mikrovlnné antény mohou mít značný zisk při správných rozměrech. Je to i potřeba, protože se na centimetrových vlnách obtížně dosahuje vyšších výkonů vysílače a vysokých citlivostí přijímače. Antény s vysokým ziskem jsou značně směrové, mají úzké vyzařovací úhly, třeba jen kolem 1 stupně. Proto nejen není lehké najít v terénu s touto přesností správný směr, ale ani vodorovnou rovinu. K tomu je třeba se rádně vybavit přesnou busolou (vodorovnou, olovnicí) a přípravky podle typu použité antény. Orientace podle slunce není vždy přesná, zvláště ráno a večer. Téměř všechna spojení se uskutečňují ve vodorovné rovině s odchylkou pod 1 stupeň. Základní výchozí poloha antény je proto vždy přesně vodorovná.

Zařízení OK1WFE a OK1VAM je téměř shodné klasické konstrukce (obr. 6.1). Vychází ze 144 MHz násobením 72 × až na 10 GHz. Výstupní výkon vysílače je asi 40 mW, šumové číslo přijímače kolem 7 dB.



Přijímač má klasickou konstrukci mikrovlnného směšovače s diodou ve vlnovodu pro mezifrekvenční přijímač v pásmu 144 MHz. Aby se zlepšilo šumové číslo použitého přijímače, je zařazen mezifrekvenční předzesilovač s kaskádou 2 × BF 256, jehož šumové číslo je asi 0,6 dB.

Zařízení umožňuje duplexní provoz. Přijímač je oddělen od vysílače filtry. Pracovali jsme telegraficky úzkopásmovou frekvenční modulací a duplexním provozem. Každý vysílač byl vždy současně injekcí pro směšovač přijímače. Dobré přizpůsobení antény je podmínkou k tomu, aby výkon vysílače nepřetížil směšovací diodu.

I když je přizpůsobení dobré, nemusí odražený výkon stačit pro využití směšovače diodou na potřebný proud asi 1 mA. Proto je ve výstupním vlnovodu šroubek, který způsobí dodatečný odraz a zvýší odražený výkon. Nastavuje se jím potřebné využití směšovače.

Souprava se skládá z jednotlivých dílů, které se sestavují až na místo.

Spojení mezi anténou a zařízením je provedeno vlnovodem  $R_{100}$ . Primární zářič je trychtýř s vhodným vyzařovacím úhlem (viz nomogramy). Ústí zářiče je umístěno v ohnisku parabolického zrcadla, ale pro spojení na kratší vzdálenosti jsme používali jen trychtýře.

Mikrovlnná technika umožňuje realizovat velmi úzké vyzařovací diagramy antén a komunikovat s velmi vysokou energetickou účinností a malým příkonem.

Typickým příkladem mikrovlnné komunikace jsou radioreléové spoje pro přenos mnohonásobné telefonie a televizního signálu, družicová rozhlasová služba – přímé šíření televizního a rozhlasového signálu z umělých družic Země.

Klíčem k práci na mikrovlnách je měřicí technika. Bez měření nedovedeme do provozu ani nejjednodušší mikrovlnné zařízení, i kdyby bylo vyrobeno podle sebelepšího návodu.

## Mikrovlnné vedení, vlnovody

Mikrovlny se šíří i koaxiálními vedeními, kably i dvouvodičovým ve-

dením. Nomogramy a vzorce pro výpočet charakteristické impedance různých struktur vedení jsou v kapitole 8.

S rostoucím kmitočtem však roste i útlum, a to přibližně se čtvercem kmitočtu. Navíc na vysokých kmitočtech se každá nespojitost na vedení uplatňuje pronikavěji a přispívá k vzniku odrazů na vedení, a tím k dalšímu útlumu. Proto se na mikrovlnách k přenosu signálu používají vlnovody.

Vlnovod je elektricky vodivá trubka. Může mít průřez nejrozmanitějších tvarů, ale používá se obdélník, čtverec, kruh, elipsa.

Vlnovody mají velmi malý útlum, jsou však neohebné, a proto se musí sestavovat z kratších úseků přírubami. Vyrábí se řada spojovacích členů, kolen, překrutů také opatřených přírubami, aby bylo možné vedení smontovat do potřebného tvaru. Ohýbání vlnovodů je možné, ale provádí se na speciálních strojích, které při ohýbání protahují vlnovodem trn nebo svazek ocelových pásků, aby zůstal zachován průřez vlnovodu.

Nízké kmitočty se vlnovodem nešíří. Vlnění ve vlnovodu je možné vybudit různými způsoby. Způsob rozložení elektromagnetického pole ve vlnovodu se posuzuje podle toho, jak je rozložena jeho elektrická magnetická složka a nazývá se vid vlnění. Elektromagnetické pole má vždy elektrickou a magnetickou složku a směr šíření ve třech na sebe kolmých směrech.

Vidy, které jsou uspořádány tak, že mají elektrickou složku vlnění ( $\vec{E}$ ) napříč vlnovodu, jsou vidy transverzálně elektrické –  $TE$ . Vidy transverzálně magnetické  $TM$  mají magnetickou složku ( $\vec{H}$ ) napříč vlnovodu.

Nejnižší kmitočet, který určitý vid ve vlnovodu vybudí, se nazývá mezním nebo kritickým kmitočtem ( $f_c$ ), odpovídající délce vlny mezní, kritická ( $\lambda_c$ ).

Ve vlnovodu se současně může vybudit i více vidů, je to však většinou nežádoucí. Jaký vid se vybudí z těch, které se danou strukturou mohou šířit, záleží na poloze a tvaru budicího elementu. Mezi všemi vidi, jež se mohou v daném vlnovodu šířit, jen jeden může přenášet úplně nejnižší kmitočet. Nazývá se vid dominantní. Obvykle právě tento vid se používá k přenosu.

Nejčastěji používaným vlnovodem je vlnovod obdélníkového průřezu.

Dominantním videm je transverzálně elektrický vid  $TE_{10}$ :

$$\text{kritická délka vlny} \quad \lambda_c = 2b,$$

$$\text{kritický kmitočet} \quad f_c = \frac{300}{2b}, \quad [\text{MHz, m}]$$

$$\text{délka vlny ve vlnovodu} \quad \lambda_s = \frac{\lambda}{\sqrt{1 - (\lambda/\lambda_c)^2}}.$$

Výsledek vyjde ve shodných jednotkách, v jakých byly dosazeny proměnné. Uvedené vzorce jsou pro dominantní vid. Pro vyšší vidi  $TE_{mn}$  i  $TM_{mn}$  platí:

$$\text{kritická délka vlny} \quad \lambda_c = \frac{2b}{\sqrt{m^2 [(b/a)n]^2}}.$$

Pro některé aplikace se používá vlnovodu s kruhovým průřezem trubky o vnitřním průměru  $2r$ . Výpočty jsou složitější.

Dominantním videm je  $TE_{11}$ :

$$\text{mezní délka vlny} \quad \lambda_c = 3,42 r,$$

$$\text{mezní kmitočet} \quad f_c = \frac{300}{3,42 r}, \quad [\text{MHz, m}]$$

$$\text{délka vlny ve vlnovodu} \quad \lambda_s = \frac{2\pi}{(2\pi/\lambda)^2 - 1,84^2/r}.$$

Často se však používá vidu  $TM_{10}$ , protože jím lze přenést vyšší výkon.

Pro tento vid platí:

$$\lambda_c = 2,61 r,$$

$$f_c = \frac{300}{2,61 r}, \quad [\text{MHz, m}]$$

$$\lambda_s = \frac{2\pi}{(2\pi/\lambda)^2 - (2,405/r)^2}.$$

Charakteristická impedance  $Z_0$  (vlnový odpor) vlnovodu nezávisí jen na geometrickém tvaru vedení jako u koaxiálního kabelu, ale i na kmitočtu a vidu.

Pro vidi  $TM$ :  $Z_0 = 377\sqrt{\epsilon_r} \cdot \sqrt{1 - (f/f_c)^2}$ .

Pro vidi  $TE$ :  $Z_0 = 377\sqrt{\epsilon_r} \cdot 1/\sqrt{1 - (f/f_c)^2}$ . (Ve vzduchu  $\epsilon_r = 1$ )

Obecně je možné říci, že oproti koaxiálnímu vedení je  $Z_0$  vlnovodů mnohem vyšší, což je nevýhodné, zvláště přizpůsobujeme-li takovému vedení polovodičové prvky.

Při práci s vlnovody se používá Smithova diagramu stejně jako při práci s koaxiálními nebo páskovými vedeními.

## Spojování vlnovodů

Vlnovody se spojují přesnými přírubami, aby spoj neodrážel procházející vlnění a záření nepronikalo z vlnovodů ven. Příruby jsou velmi silné, pevné, aby se při šroubování neohýbaly. Styčné plochy se zahušťují, lapují. Normalizované jsou i přesnosti ploch a otvorů vodicích šroubů.

Otvory při spojení způsobují rezonance, odsávají výkon, a to i štěrbiny široké méně než desetinu milimetru, jsou-li hluboké srovnatelně s  $\lambda/4$ , tedy několik mm. Na druhé straně vliv nepřesnosti navázání profilu vlnovodu nebyvá tak veliký.

V amatérské praxi není možné dodržet přísné tolerance spojení vlnovodu. A není to ani nutné, musíme však uvážit vliv nepřesnosti a každý díl mikrovlnného zařízení elektricky změřit. Dobré elektrické spojení musí být zajištěno na těch místech spoje, kde teče po povrchu proud – tj., kde protékající vysokofrekvenční proud je přerušen rozebíratelným spojem – například u obdélníkového vlnovodu s dominantním videm  $TE_{10}$  uprostřed širších stran průřezu spojení.

Pro zajištění dobrého spojení se někdy do příruby vkládají pérové vložky nebo vložky z měkkého kovu (poddajné) – cínové nebo olověné. Přesnost může pak být úměrně nižší.

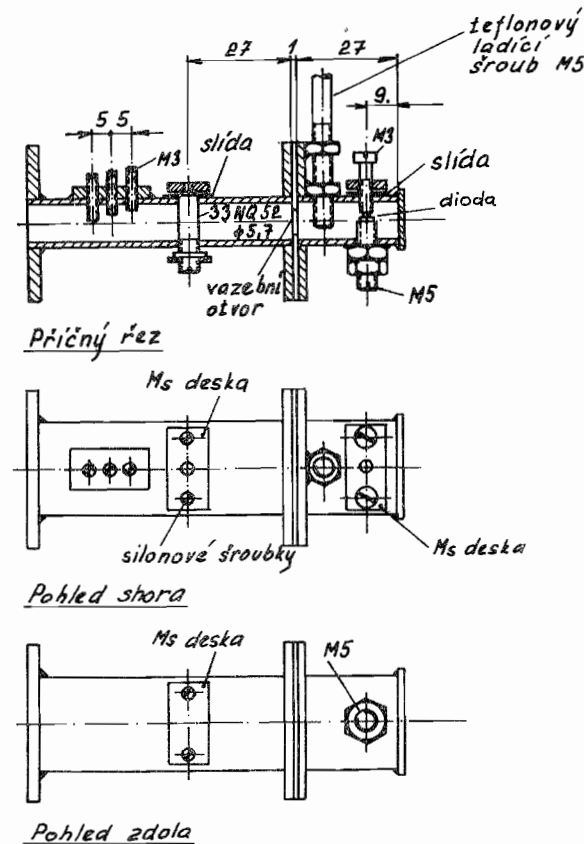
## Vlnovodový detektor — směšovač

Jde o držák mikrovlnné detekční nebo směšovací hrotové křemíkové diody (23NQ52, 1N21, 1N23 apod.). Diodu umístíme napříč obdélníkového vlnovodu. Uprostřed stěn zhotovíme kontaktní věnečky, jeden spojený přímo se stěnou vlnovodu, druhý s talířkem izolovaným od stěny tenkou slídou nebo fólií. Talířek tvoří filtrační kapacitu či spíše čtvrtvlnné radiální vedení a zabrání pronikání mikrovlnného signálu do výstupu držáku – mezifrekvenčního zesilovače, měřiče apod. Velikost talířku není kritická. Nejlepší filtraci při nejmenší nf kapacitě dosáhneme, bude-li šířka mezikruží (talířku) rovna čtvrtvlně

mikrovlnného signálu, ovšem se započtením činitele zkrácení podle materiálu izolační podložky ( $k = \sqrt{\epsilon_r}$ ).

Jeden konec vlnovodové trubky je opatřen přírubou a druhý je zkratován posuvným pístem s dobrými kontakty přes užší stranu vlnovodu. Polohu pístu nastavíme tak, aby bylo co nejlepší přizpůsobení držáku (největší citlivost). Přizpůsobení je možné ještě zlepšit nastavením polohy ladících šroubků ve vlnovodu, umístěných mezi diodou a přírubou. Pro menší nároky nemusíme ladící šroubky použít.

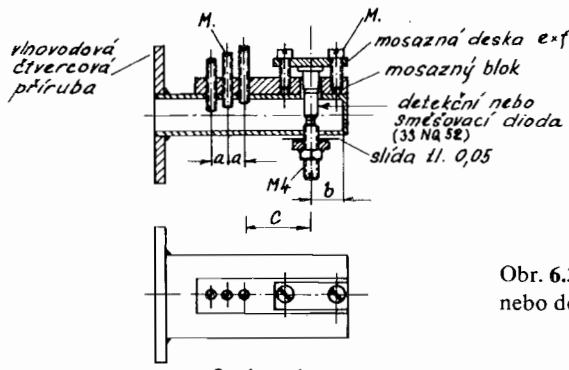
Držák je nakreslen na obr. 6.2. Na následujícím obrázku je ještě ně-



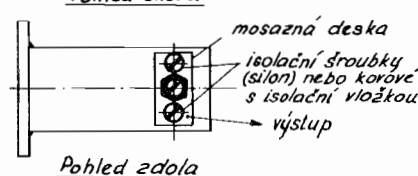
Obr. 6.2. Držák mikrovlnné diody  
33NQ52

kolik dalších provedení. Rozměry vlnovodů a přírub jsou uvedeny v tabulkách.

Takový držák diody je základní stavební jednotkou směšovačů mikrovlnných přijímačů nebo slouží jako detektor kontrolních a měřicích přístrojů a pomůcek. Připojení držáku k navazujícím obvodům ve funkci směšovače i detektoru ukazuje obr. 6.4. Kvalita detektoru se hodnotí podle detekční citlivosti – výstupního napětí detektoru při určitém vstupním mikrovlnném výkonu. Dobré hodnoty jsou okolo 1 500 mV/mW. Detektor při tomto měření pracuje bez zatížení, jen výjimečně se detekční citlivost uvádí pro zátěž 100 nebo 200 k $\Omega$ .

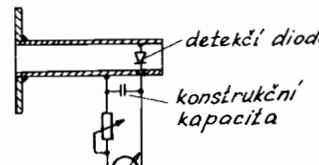


Obr. 6.3. Držák mikrovlnné směšovací nebo detekční diody

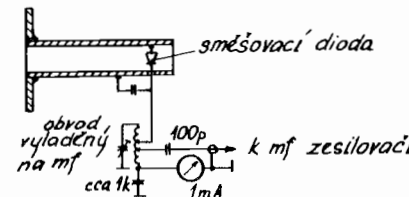


MHz	vlnovod	šroubky	a	b	c	e	f
5 650	R 70	M 4	10mm	20mm	~20mm	22	10
10 500	R 100	M 3	5mm	9mm	~20mm	22	10
24 500	R 220	M 1,6	2mm	3,7mm	~45mm	14	9

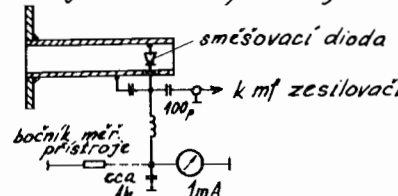
Ostatní rozměry nejsou kritické.  
Ladičí šroubky musí mít těsný závit nebo kontramarky



a) Mikrovlnný indikátor výkonu



b) Směšovač s transformací impedance mezi směšovací diodou a mf zesilovačem vhodný pro hrotové směšovací diody a jemné Schottkyho diody



c) Směšovací přímo vázaný na mf zesilovač vhodný pro hrubší Schottkyho diody

Obr. 6.4. Připojení držáku mikrovlnné diody

Lepší kritérium je tangenciální citlivost, definovaná jako mikrovlnný výkon potřebný k tomu, aby vytvořil na výstupu detektoru signál o rozmitu 2,5krát větším, než je rozmit šumu bez signálu. Tangenciální citlivost lépe charakterizuje detekční schopnost pro malé signály. Dobré hodnoty jsou kolem -45 dBm.

Kvalitu směšovače hodnotíme podle dosaženého šumového čísla přijímače. Dobré hodnoty jsou 6 až 10 dB, ale může se dosáhnout i 4,5 dB na 12 GHz. Při měření musíme zabezpečit, aby výkon šumového generátoru na zrcadlovém kmitočtu nepronikal do měřeného směšovače, jinak měříme nepravdivé, optimistické hodnoty.

Pomocným kritériem je směšovací ztráta. Uvádí, o kolik dB je menší výstupní mezifrekvenční výkon než vstupní mikrovlnný výkon. Dosahuje hodnoty od 3,5 do 8 dB.

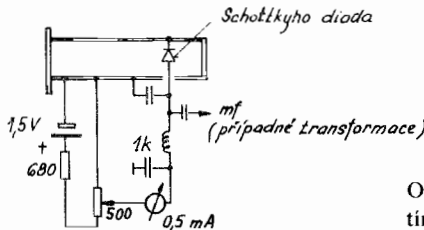
Vlastnosti směšovače závisí na nastavení, a to kromě doladění podle předchozího odstavce ještě na nastavení výkonu místního oscilátoru přijímače a zatěžovacího odporu směrem k mezifrekvenčnímu zesilovači, a na jeho šumovém čísle.

Výkon místního oscilátoru hodnotíme podle proudu detekovaného směšovací diodou – hodnotu ukazuje měřicí přístroj na obr. 6.2. Správná hodnota bývá mezi 0,5–2 mA. Směrem k vyšším proudům se obvykle šumové číslo příliš nezhoršuje.

Mezifrekvenční zatěžovací odpor u moderních hrotových diod bývá dost vysoký, je nutné jej transformovat okruhem.

Šumové číslo dobrého mf zesilovače může být dnes pod 1 dB prakticky na libovolném mf kmitočtu.

Hrotové diody jsou velmi citlivé na otřesy a statickou elektřinu! Modernější jsou Schottkyho LBS a ZBS diody (low a zero bias). Práce s nimi se však příliš nelíší od uvedených zásad. Impedance jsou u těchto diod nižší. Starší Schottkyho diody se ve směšovači přiotvíraly stejnosměrným proudem (obr. 6.5), aby bylo dosaženo vhodného vyuzavení diody při menším výkonu místního oscilátoru.



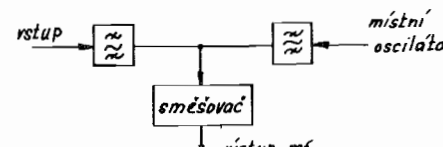
Obr. 6.5. Zapojení směšovače s předpětím Schottkyho diody

(Novější Schottkyho diody ZBS a LBS předpětí nepotřebují.)

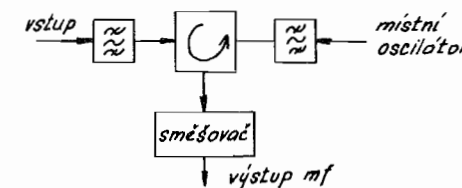
Vlastnosti směšovače může úplně zkazit nekvalitní signál místního oscilátoru, hlavně při nízkém mezifrekvenčním kmitočtu, a je-li míst-

ním generátorem varaktorový řetězec. Proto se zařazuje mezi místní generátor a směšovač co nejužší mikrovlnný filtr.

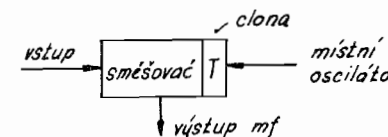
Spojení směšovače, vstupu a místního oscilátoru může být provedeno přes filtry (vhodné při vysokých mf kmitočtech), přes cirkulátor, nebo může být směšovač průchozí – vhodný zvláště, je-li k dispozici nadbytek výkonu místního generátoru (viz obr. 6.6).



a) Oddělení filtrov



b) Oddělení filtrov a cirkulátorem



c) Průchozí směšovač

Obr. 6.6. Různá zapojení mikrovlnného směšovače

Spojení mezi mf předzesilovačem a směšovačem má být co nejkratší, proto je vhodné oba bloky mechanicky spojit. Pokud to není možné a musí být propojení provedeno kabelem, je třeba mít na zřeteli, že to není propojení přizpůsobené, ale rezonanční. Je nutné vyzkoušet délku propojovacího kabelu.

## Mezifrekvenční předzesilovač

Mezifrekvenční předzesilovač je postaven se dvěma BF256, ale vyhoví i tranzistory MEM557 nebo KF557. Byly vybrány takové, které měly nejmenší šumové číslo. Zesilovač je kaskáda ze dvou tranzistorů, z nichž první je zapojen uzemněným sourcem, druhý s uzemněným gatem. Je napájen ze zdroje 18 V, takže tyto dva tranzistory nejsou zapojeny v sérii.

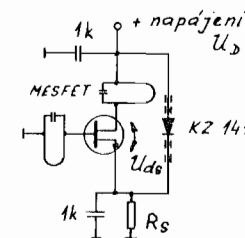
Při nižším napětí (pod 15 V) nedostaneme potřebné šumové číslo, které je do značné míry závislé na driftové rychlosti minoritních nositelů náboje, šum je nepřímo úměrný driftové rychlosti. (Nejméně šumí při téměř průravném napětí.)

Obvody jsou doladěny normálně a zpětná vazba díky kaskádnímu zapojení a neutralizaci prvního stupně nehraje žádnou roli. Zisk celého stupně je nastaven asi na 15 dB, takže není nebezpečí rozkmitání.

Vzhledem k tomu, že výstup z detektoru nebo směšovače není reálné povahy, záleží na délce přívodního koaxiálního kabelu od detekční diody na vstup zesilovače. Ten je asi 23 cm dlouhý a musí se vyzkoušet. Záleží i na kapacitě mikrovlnné tlumivky v oddělovacím členu výstupu detektoru od mikrovlnné části. Výstup není citlivý, může být použit i dost dlouhý kabel. Někdy je vhodné použít vyšší mezifrekvenční kmitočet. Potom jsou vhodnější předzesilovače s dvoubázovými FETy KF 907, KF 910 nebo galiumarsenidové 3SK97. Zapojují se všechny stejně (obr. 6.7), nekmitají i při vysokém zisku – až 20 dB.

Stabilizační člen v sourcu může odpadnout beze změny ostatních součástek, dáme-li přednost přímému připojení source na kostru před malým zhoršením stability a šumového čísla.

Blokovací kondenzátory musí být kvalitní, bezindukční, nejlépe terčové bezvývodové. Téměř všechny tyto zesilovače kmitají samovolně mezi 1 500 a 3 000 MHz. Konstruktér to obvykle neví, protože se to neprojeví na pracovním bodu. Šumové číslo se zhorší jen asi o 0,5 dB. Přijímač má ale pochopitelně řadu parazitních příjmů, avšak v kmitočtové oblasti, kde je většinou nikdo nezjišťuje. Tyto oscilace se dají snadno odstranit feritovou perlou navléknutou na 2. hradlo (průměr



Obr. 6.7. Stabilizační obvod

Požadovaný pracovní bod :  $I_d$ ,  $U_g$ ,  $U_{ds}$

Obvykle bývá  $I_d = 15 \text{ mA}$  - má to být 10-15%  $I_{d0}$

$$U_{ds} = 3 \text{ až } 3.5 \text{ V}$$

$-U_g$  se dost liší u jednotlivých kusů  
od 0,7 do 3,5 V

$$U_d = U_{ds} + I_d \times R_s$$

$$R_s = \frac{U_g}{I_d}$$

$2,5/1 \times 2,5 \text{ mm}$  z materiálu H6 nebo i H18 – může se vydložnout z dolaďovacích jader). Tato perla nevadí v zesilovači asi do 500 MHz. Kdyby poklesl zisk příliš, je nutné perlu jen zvenčí přiblížit k drainu. Pak se ale neobejdeme při oživování zesilovače bez přístroje schopného kmity objevit. Stačí na to i prostý detektor s mikrovlnnou diodou, zapojený na výstup. Je však třeba odlišit kmity na pracovním kmitočtu od mikrovlnných, které prakticky nezávisejí na nastavení ladících prvků zesilovače.

Šumové číslo předzesilovače odpovídá samozřejmě použitému tranzistoru a kmitočtu. Naše tranzistory KF 907 šumí na 400 MHz asi 3 dB, na 800 MHz asi 4,5 dB; 3SK97 jsou podstatně lepsi (1,5 a 2 dB), naopak různě po bazarech zakoupené BF 907, BF 905 bývají podstatně horší.

Potřebujeme-li skutečně extrémní šumové číslo, je možné použít

jednobázových galliumarsenidových tranzistorů, jako jsou japonské MGF 1400, naše VCM 701 nebo sovětské:

Typ	Šumové číslo [dB]	Kmitočet [GHz]	Zisk [dB]	Pracovní bod [V]	Pracovní bod [mA]
AP 320 A-2	4,5	8	3	3	10
AP 320 B-2	6	8	3	3	10
AP 324 A-2	3,5	12	5	3	5
AP 324 B-2	5	12	5	3	5
AP 325 A-2	2	8	4,5	1,5	5

S tímto druhem tranzistorů se dost obtížně pracuje. Jsou citlivé, kmitají. Vybití sebemenšího náboje, ať statického či z napájecích zdrojů, je zničí. Nemají ochranné diody. Nesmí se letovat pistolovou páječkou.

K stabilizaci pracovního bodu obvykle stačí odpor v sourcu, pochopitelně blokovaný vhodným bezvývodovým kondenzátorem. Pokud to umožní obvod, je vhodné co nejbližše k tranzistoru zapojit mezi drain a source Zenerovu diodu asi 5 V (KZ 141). Na její vývody je vhodné navléci perlu o průměru  $2,5/1 \times 2,5$  mm z H18 a v obvodu tuto diodu umístit tak, aby zbytečně nevyvazovala vf výkon. Na další tranzistory již není spolehlivý návod, ale může se s nimi dosáhnout nejlepšího šumového čísla a jsou dobré i intermodulační odolnosti. Zesilovač se napájí proudem 20 mA. Potřebné napětí je 7 až 9 V. Při napájení kabelem odpadá odpor  $R_3$  a odpor  $R_2$  se přepojí na kondenzátor  $C_2$ . Tranzistor  $T_1$  se musí změřit před montáží: nastavit proud  $I_{ds}$  15 mA při  $U_{ds}$  3,5 V, zjistit potřebné  $U_{gs\ 15}$ . Potom vypočteme vybírané hodnoty

$$R_1 = \frac{U_{gs\ 15}}{0,015} \quad [\Omega]; \quad U_{d\ 1} = U_{gs\ 15} + 3,5 \text{ V} \quad [V]$$

a vybereme potřebné součástky, odpor nejbližší v řadě E 12 a Zenerovu diodu s přesností 0,5 V.

Doladovací kondenzátory jsou WK 70109 nebo lepší AT 5702 Johnson. Všechny odpory jsou TR 191, C1 TK 754 27 pF, ostatní kondenzátory jsou bezvývodové. Přívody k součástkám volíme co nejkratší.

Na přívod diody  $D_2$  jsou navlečeny feritové perly o průměru  $2,5/1 \times 2$  mm z materiálu H18 nebo H22.

U přívodu řídicí elektrody tranzistoru  $T_1$  je umístěna tlumicí feritová tyčka o průměru  $2 \times 6$  mm z materiálu H22. Nesmí se přiblížit příliš (pak by zhoršovala šumové číslo), jen tak, aby zmizely parazitní kmity v mikrovlnné oblasti (4 až 6 GHz). Parazitní kmity zjišťujeme detekční sondou.

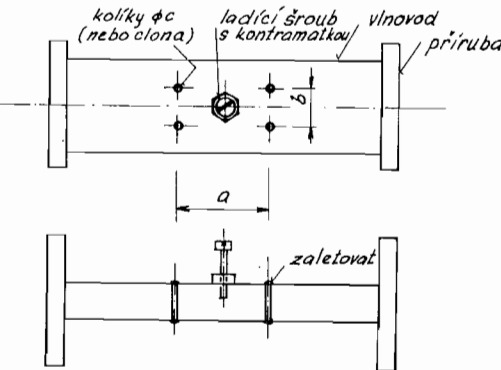
Vývody jsou z měděného drátu o průřezu 1 mm, protaženého otvůrky v kuprextitu. Vývod je zatočen a oletován těsně u desky, aby nepřidával zbytečně indukčnost. Také je možné instalovat drobnější konektory (BNC), a to alespoň na vstup.

## Vlnovodové filtry

Vlnovodové filtry jsou velmi rozmanité a technologicky náročné. Z vlnovodové trubky obdélníkového průřezu lze však filtr vyrobit poměrně jednoduše. Stačí do vlnovodu ve vzdálenosti  $\lambda_g/2$  od sebe zapojit dvě shodné nespojitosti – clonky, štěrbiny, dvojice kolíčků apod. Dávají se však o něco blíž, aby vzniklá dutina rezonovala výš než bude pracovní kmitočet a doladí se šroubkem uprostřed dutiny. Zkrátíme-li vzdálenost nespojitostí příliš proti  $\lambda_g/2$ , budeme muset ladící šroubek zašroubovat hluboko do dutiny a zvýší se ztráty. K výpočtu rozměrů dutiny a tvaru nespojitostí slouží nomogramy v příloze. Vlnovodovou trubku použijeme normalizovanou (rozměry rovněž v příloze), i když to není podmínkou funkce, a opatříme přírubami. Příruby mohou být montovány těsně za nespojitostmi. Nejsnáze se realizuje nespojitosť jako dvojice kolíčků zaletovaných do vlnovodu podle obr. 6.8. Šířka pásmá těchto filtrů je asi 150 MHz, průchozí útlum asi 0,2 dB. Liší se podle kvality povrchu dutiny a kolíčků.

Potřebujeme-li užší filtr, zvolíme větší poměr vlnového odporu vlnovodu a impedance clonky. Vzrosté však průchozí útlum.

Mimo propustné pásmo se filtr chová přibližně jako zkrat umístěný v místě nespojitosti. To je důležité, máme-li spojit dva nebo více filtrů do jednoho vlnovodu (obr. 6.9). Proto musí být vzdálenost od nespojitosť k fiktivní stěně vlnovodu 0 nebo celistvý násobek půlvln.

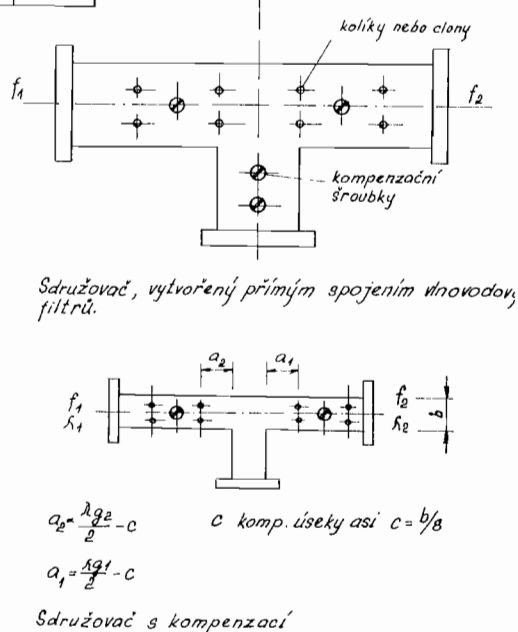


Obr. 6.8. Vlnovodový filtr

Příklad:

$f$	vlnovod	šroub	$a$	$b$	$\phi c$
5650 MHz	R 70	M 4	38 mm	9 mm	2,5 mm
10368 MHz	R 100	M 3	17 mm	7 mm	1,8 mm
24500 MHz	R 220	M 2	7 mm	3,5 mm	1 mm

Příruba a vlnovod normalizované.  
Ostatní rozměry nejsou kritické.



Obr. 6.9. Spojení vlnovodových filtrů

Vlnovodový filtr podle obr. 6.9 použil ve svém zařízení také OK 1AIY.

## Mikrovlnné generátory

### Reflexní klystrony

Reflexní klystrony jsou dobré zdroje mikrovlnného výkonu. Jsou hotové, stačí připojit napětí podle katalogu, případně přivést modulační napětí. Napájecí napětí jsou však vysoká, energetická účinnost malá, musí se stále žhavit. Nejsou proto vhodné pro přenosná zařízení a navíc se bohužel většinou vyrábějí pro kmitočtová pásma, která se vyhýbají amatérským kmitočtům.

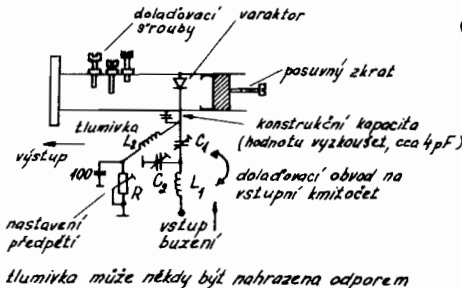
### Varaktorové násobiče

Umístíme-li varaktorovou diodu do držáku a přivedeme-li budící výkon na varaktor, vznikne jednostupňový varaktorový násobič. Výstupní kmitočet bude v pásmu propustnosti použitého vlnovodu, vstupní kmitočet nemůže být libovolně nízký, záleží na době života minoritních nositelů (uvádí se v katalogu varaktorů). Nejnižší možný kmitočet je převratnou hodnotou této doby.

Účinnosti je možné dosáhnout nejvíce takové, jaký je poměr vstupního a výstupního kmitočtu. Pro dosažení vyšší účinnosti je nutné používat mnohem složitějších obvodů s idlery – odlaďovači různých harmonických. Nejvyšší účinnosti se dosáhne, když doba vybití náboje varaktoru (snap-off time – najde se v katalogu) je převratnou hodnotou výstupního kmitočtu.

Držák je třeba upravit, aby použitá varaktorová dioda šla do držáku zasunout. Píst musí být posuvný a musí být namontovány ladící šroubky, protože impedance varaktoru bývá nízká, transformace vysoká, ladění kritické.

Vstupní výkon může být jen takový, aby se dioda nezničila (uvádí se v katalogu). Správnou hodnotu vstupního výkonu, předpěťového odporu a nastavovacích prvků seřídíme podle měřiče výkonu na výstupu násobiče, nejlépe ale až za mikrovlnným filtrem, abychom neNALADILI jinou harmonickou než potřebujeme.



Obr. 6.10. Varaktorový násobič

Drážka diody podle některého z předchozích obrázků doplnit posuvným zkratem a došloďovacími šroubkami.

vrstvení kmikocet	$C_1$	$C_2$	$L_1$	$L_2$
44 MHz	$1+10\text{ pF}$	$1+10\text{ pF}$	$4x$ na $\phi 6\text{ mm}$ drážce $\varnothing 8$	$30\text{ z}$ na $\phi 4$ drážce $0,15$
432 MHz	$0,9+5\text{ pF}$	$0,9+5\text{ pF}$	$3x$ na $\phi 6\text{ mm}$ drážce $\varnothing 8$	$15\text{ z}$ na $\phi 3$ drážce $0,1$
852 MHz	$0,9+3\text{ pF}$	$0,9+3\text{ pF}$	pasek $5\text{ - }5$ $\varepsilon = 35$	$10\text{ z}$ na $\phi 2$ drážce $0,1$

R nastavit na max. vrstvení výkon při dobré stabilitě (hodnota může být velmi různá od  $1\text{k}\Omega$  do  $250\text{k}\Omega$ )

V těchto násobičích fungují často i nepochopitelně dobře zcela nevhodné nízkofrekvenční diody jako KA 204, protože jejich dobu vybití a života nikdo nezná. Mají ovšem velmi nevhodná pouzdra, kde se ztratí mnoho výkonu. S každou takovou aplikací je nutné dlouho experimentovat.

Viděl jsem dokonce v profesionální praxi osminásobič s 33NQ52 jako místní oscilátor přijímače – celkově elektronkového, a 80tinásobič pro fázový závěs vysílače téhož zařízení také s 33NQ52.

Varaktorové řetězce násobičů však nelze doporučit pro radioamatérskou praxi, potíže s nimi mají i profesionálové. Šumí, relaxují, kmitají. Samozřejmě se dají nastavit, když to jinak nejde.

Tranzistorový zesilovač, který budí varaktorový násobič, musí být stabilní, bez ochran, jež by mohly způsobit relaxace, a s dostatečnou rezervou výkonu. Pokud možno takovou, aby bylo možné zařadit před násobič útlum k normalizaci impedance – 2 až 3 dB.

Vlastnosti některých varaktorových diod určených pro násobiče jsou uvedeny v tab. 6.1. Škoda jen, že mikrovlnné diody, vzhledem k jejich drobným rozměrům, většinou nemají žádné označení a navíc jsou si velmi podobné, protože se všude používá jen několik typů

pouzder. Proto typ diody zná obvykle jen ten, kdo ji vybalil, použil poprvé. Z těchto důvodů tab. 6.1 asi většinou poslouží spíše pro orientaci. Některé hodnoty je možné amatérsky měřit – kapacity, závěrné napětí, snad i zatahovací dobu (souvisí s dobou života minoritních nositelů), ale doby vybití (přepnutí) a odvod tepla (max. výkon nebo teplotní odpor) se obtížně měří i v profesionální praxi speciálními přístroji. Můžeme tedy neznámou diodu nejvýše porovnat s katalogem nebo tab. 6.1 podle několika parametrů. Nestačí to ale k určení typu, a proto nezbývá než experimentovat v obvodu násobiče.

Tabulka 6.1. V SSSR se vyrábí řada Gunnových diod:

		$P_{\min}$	$f$
AA 728	A	50 mW	25,86–29,3 GHz
	B	50 mW	29 –33, GHz
	V	50 mW	33 –37,5 GHz
		75 mW	37,5 –42 GHz
AA 727	A	50 mW	37,5 –42 GHz
	B	50 mW	42 –47 GHz
	V	25 mW	42 –53,57 GHz
	G	100 mW	12 –13,5 GHz
AA 726	A	100 mW	13,5 –15 GHz
	B	100 mW	15 –16,7 GHz
	V	200 mW	12 –13,5 GHz
	G	200 mW	13,5 –15 GHz
	D	200 mW	15 –16,7 GHz
	E	200 mW	5 – 6 GHz
AA 725	A	200 mW	6 – 7 GHz
	B	200 mW	7 – 8,24 GHz
	V	300 mW	5 – 6 GHz
	G	300 mW	6 – 7 GHz
	D	300 mW	7 – 8,24 GHz
	E	300 mW	10 mW 3,86 – 5,86 GHz
AA 721	A	10 mW	5,6 – 8,24 GHz
AA 722	A	10 mW	8,15–12,42 GHz
AA 723	A	10 mW	11,71–17,85 GHz
AA 724	A	10 mW	17,44–25,9 GHz
AA 719	A	10 mW	25,86–39,6 GHz
AA 720	A	150 mW	18 –20 GHz
	B	250 mW	18 –20 GHz

V	150 mW	20	-22 GHz
G	250 mW	20	-22 GHz
D	150 mW	22	-24 GHz
E	250 mW	22	-24 GHz
Ž	150 mW	24	-25,86 GHz
I	250 mW	24	-225,86 GHz
AA 715	A	100 mW	8 - 9,5 GHz
	B	200 mW	8 - 9,5 GHz
	V	100 mW	9 - 10,5 GHz
	G	200 mW	9 - 10,5 GHz
	D	300 mW	9 - 10,5 GHz
	E	100 mW	10,5 - 11,5 GHz
	Ž	200 mW	10,5 - 11,5 GHz
	I	300 mW	10,5 - 11,5 GHz
	K	100 mW	11 - 12,5 GHz
	L	200 mW	11 - 12,5 GHz
	M	300 mW	11 - 12,5

Není to tak složité. Musíme začít s nízkým budicím výkonem a doladit všemi prvky na nejvyšší výstupní výkon. Pak postupně budicí výkon zvyšujeme až do té míry, kdy již výstupní výkon nestoupá. Samozřejmě při každé změně buzení musíme znova doladit. Hodnotu předpěťového odporu je možné také vypočítat:

$$R = \frac{5T_L}{N^2 C},$$

kde je  $T_L$  – doba života [s],

$N$  – řád násobení,

$C$  – celková kapacita varaktoru při -6 V [F],

ale nastavená hodnota nakonec bývá obvykle značně odlišná od vypočtené. Dosažené účinnosti mohou být překvapivě vysoké (65 % u trojnásobiče), ale objevují se výkonové skoky, relaxace nebo vypadnutí z funkce jako reakce na změnu zátěže, teploty atd. Proto je potřeba raději nastavit nižší výstupní výkon, ale stabilní funkci, tj. zkoušime, aby se neprojevily relaxace při změně budicího výkonu, zátěže či okolní teploty. Stabilnější jsou násobiče, kde byla použita vhodná dioda (vhodné doby a výkon) nebo násobiče s nižším stupněm násobení. Proto jsou lepší řetězce násobičů – stupňů s koeficientem násobení 2, 3 nebo 4, i když jsou velmi složité. V každém případě je vhod-

né navrhovat tranzistorový budič tak, aby dodával co nejvyšší kmitočet, a omezit koeficient násobení varaktorového řetězce.

Obvykle bývá nutné doplnit nejvíše jeden stupeň varaktorového násobiče. Ten však nebývá mikrovlnný, ale spíše v decimetrovém pásmu (vyrobený klasickou koaxiální nebo planární technikou).

**Tabulka 6.2. Typické hodnoty násobících varaktorů**

Typ	$f_Q$	$C_j$	$U_r$	$T_L$	$T_s$	$P_{in}$	$R_{in}$	
	[GHz]	[pF]	[V]	[pS]	[pS]	[W]	[°C/W]	
VBV 160		0,3–1,0 <sup>1</sup>	25	10	200 <sup>2</sup>			ČSSR
VBV 161		0,3–0,6 <sup>1</sup>	25	15	150 <sup>2</sup>			
VBV 162		0,5–1,2 <sup>1</sup>	25	15	100 <sup>2</sup>			
VBV 163		0,5–1,2 <sup>1</sup>	25	15	120 <sup>3</sup>			
SAZ 54	20	4–8	90	12		6W		NDR
SAZ 61	100	0,5–1,0	60	3		1,5W		
SAZ 71	150	0,3–0,5	30			1W		
KA602A	10	4,7–8,7	60			2,5W		SSSR
KA602B	20	2,7–4,7	60			1,5W		
KA602V	30	1,7–2,7	45			1W		
KA602G	40	1,2–1,7	45			0,7W		
KA602D	50	1,0–1,3	30			0,5		
KA613A	10	4–8	80			10W		SSSR
KA613B	25	3–5	70			8W		
KA608	60	1,25–3,50	45			4W		
AA607A	100	0,8–1,9	30			1W		SSSR
AA603A	100	0,5–1,5	20			0,4W		
KA603B	150	0,5–1,2	20			0,4W		
AA603V	200	0,5–1,2	10			0,16W		
AA603G	250	0,5–1,2	15			0,25W		
							$f_{out}[\text{GHz}]$	
MA43543		0,2 – 0,55	20–50	10–25	60	125	1–20	
MA43592		0,2–0,3	25–40	9–27	90	70	1–12	
MA44100		16–30	150–250	1 000–3 000	3 000	5	0,1–1	
MA44110		8–16	100–150	750–1 050	750	10	0,5–1	
MA44120		3–8	75–100	150–450	500	15	0,5–2	
MA44130		1,5–3,5	45–75	60–200	200	25	2–6	
MA44140		0,5–1,5	25–45	10–30	100	70	4–12	
MA44150		0,2–0,6	15–40	8–30	90	100	8–16	
MA4B300		5–8	100–145	300–900	750	7	2	

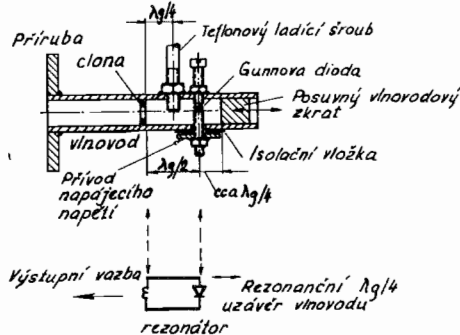
### Vysvětlivky:

- $f_Q$  – mezní kmitočet varaktoru,  
 $C_j$  – kapacita přenosu při  $-6$  V,  
 $U_r$  – závěrné napětí,  
 $T_L$  – doba života minoritních nositelů,  
 $T_s$  – doba přepnutí  
 $P_{in}$  – nejvyšší vstupní výkon,  
 $R_{in}$  – tepelný odpor mezi přechodem a pouzdrem,  
<sup>1</sup> při  $-10$  V  
<sup>2</sup> při  $10$  V,  $10$  mA  
<sup>3</sup> při  $10$  V,  $200$  mA

Varaktorové stupně se nedoporučuje propojovat koaxiálními spojkami, v žádném případě pak kably. Toto spojení není stabilní a řetězec se nedá udržet ve stabilní funkci.

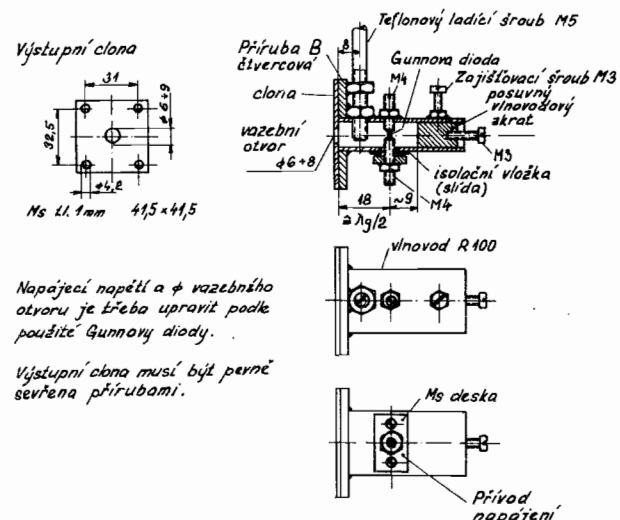
Jednostupňové násobiče jsou vhodné pro přijímače, a protože většinou odpadá požadavek na vysokou účinnost stupně, je možné navrhnut značně vysoký koeficient násobení a použít levné diody.

### Gunnovy oscilátory

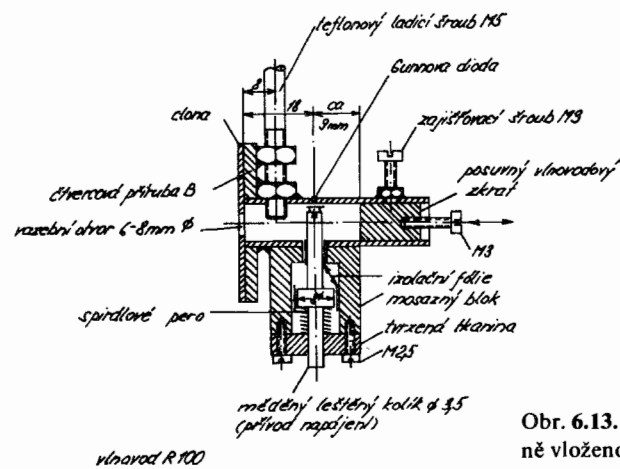


Obr. 6.11. Gunnův oscilátor

Oscilátory s Gunnovými diodami jsou určeny pro přenosná zařízení. Napájejí se nízkým napětím, mají přiměřenou spotřebu. Stabilita kmitočtu postačuje pro konstrukci jednoduchých FM transceivrů. Konstrukcí takových oscilátorů je mnoho. Nejčastěji se používá provedení podle obr. 6.11.



Obr. 6.12. Gunnův oscilátor pro  $10$  GHz



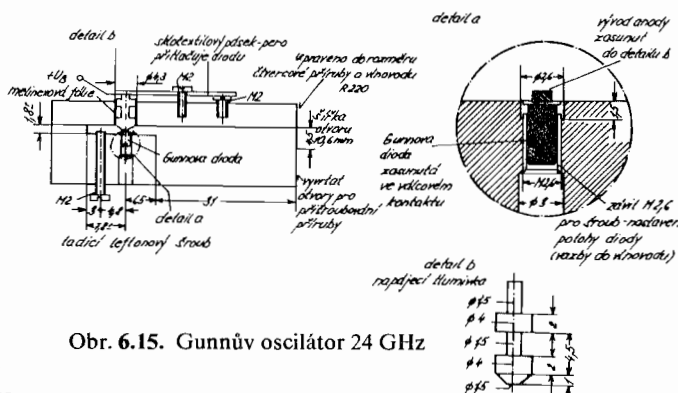
Obr. 6.13. Gunnův oscilátor s pružně vloženou diodou

Na generátor přivedeme správné napětí podle použité diody. Pozor na polaritu! Měřením na diodě se správná polarita nepozná, je nutné se spolehnout na katalog. Při opačné polaritě se dioda zničí, protože

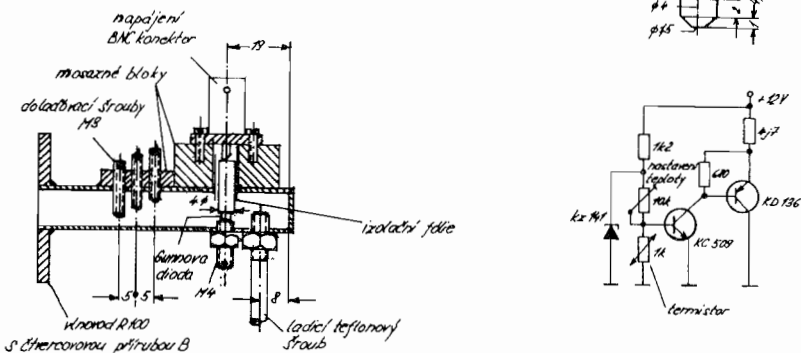
se neodvede z krystalu teplo. Prvky okolo diody musí být vyrobeny z dobré elektrolytické mědi, aby odvádely teplo. Kmitočet se ladí teflonovým kolíkem, výstupní výkon a správná funkce – aby oscilátor správně nasazoval, nešuměl, nerelaxoval – se ladí pístem a polohou diody (šrouby).

Praktická provedení pro pásmo 10 GHz jsou na obr. 6.12, 6.13, 6.14.

Provedení pro 24 GHz je na obr. 6.15.



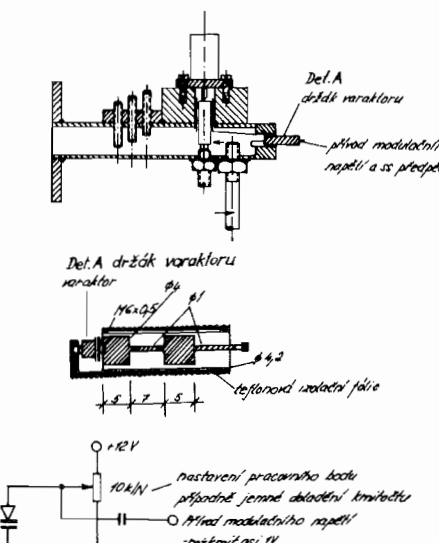
Obr. 6.15. Gunnův oscilátor 24 GHz



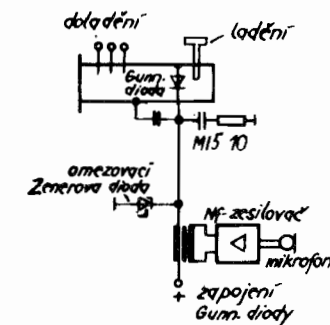
Obr. 6.14. Gunnův oscilátor 10 GHz

Napájecí napětí pro Gunnovu diodu je třeba stabilizovat. Přesnou hodnotu nastavíme v mezích dovolených katalogem podle funkce oscilátoru a výstupního výkonu. Studené Gunnovy oscilátory někdy špatně nasazují, pak pomůže mírné zvýšení napájecího napětí.

Modulaci (kmitočtovou) je možné zavést do ladicího varaktoru, zamontovaného do držáku podle obr. 6.16. Držák s varaktorem se našroubuje do ladicí dutiny oscilátoru a nastaví se do takové polohy, aby vhodně ladil. Přeladění, které má obsáhnout pro dosažení dobré FM, je tak malé, že bude varaktor zasahovat do dutiny jen nepatrně a prakticky nezáleží, kam ho přimontujeme. Může ale také vzniknout jednotka schopná synchronizace kmitočtu PLL smyčkou.



Obr. 6.16. Modulace Gunnova oscilátoru varaktorem



Obr. 6.17. Modulace Gunnova oscilátoru změnou napájecího napětí

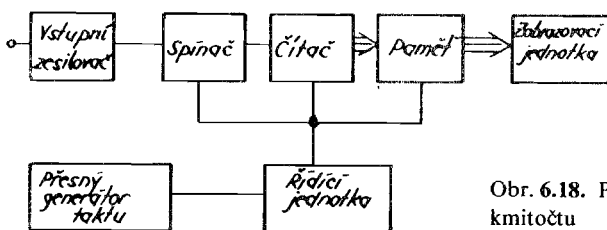
V praxi se však neuplatňuje, protože je složitá. Obvykle se zavádí modulační signál jako superpozice do napájecího napětí podle obr. 6.17.

Tento způsob nelze doporučit, protože modulační strmost je u jednotlivých generátorů a diod velmi rozdílná. Naopak, čím lepší generátor, čím je stabilnější jeho kmitočet, tím se také méně mění v závislosti na napájecím napětí. Některé generátory dokonce mají charakteristiku takovou, že existuje napájecí napětí, při kterém je modulační strmost nulová. Nezbývá než doporučit při nastavování modulovaného generátoru nastavit napájecí napětí takové, aby byl generátor přiměřeně modulovatelný. Vše ale závisí na mnoha faktorech, i ladění, zátěži atd.

## MĚŘENÍ NA MIKROVLNÁCH

### Měření kmitočtu

Měření kmitočtu mikrovlnného signálu se téměř výhradně provádí čítačem, tj. elektronickým zařízením, které je schopno spočítat počet cyklů přicházejícího střídavého signálu za určitý časový úsek a takto získaný údaj vyčíslet na displeji v jednotkách pro měření kmitočtu (Hz, kHz, MHz, GHz). Přímé čtení kmitočtu je dnes pomocí moderních integrovaných obvodů technologie ECL možné asi do 2 500 MHz.



Obr. 6.18. Princip elektrického čítače kmitočtu

Základem čítače je přesný krystalový oscilátor, který po potřebném vydelení kmitočtu je zdrojem impulsů přesných časových intervalů. Vždy znova v pravidelném taktu vynuluje čítač a na přesný časový interval k němu připojí vstupní signál. Konečné čtení čítače se ukládá v paměti, aby údaj na připojeném displeji byl klidný.

K zvýšení vstupní citlivosti čítače slouží vstupní zesilovač. Je-li časový interval čtení 1 sekunda, objeví se na posledním místě displeje připojeného na čítač údaj jednotek Hz.

Toto vše je dnes možné sestavit jako jediný integrovaný obvod obklopený displeji, přepínači a zdrojem. Takový čítač je snadno sestavitelný. Vzhledem ke značné vysoké integraci použitého obvodu není

možné využít jiné technologie než C-MOS s nízkou spotřebou, a proto takový vlastní čítač funguje nejvýše do 10 MHz (ICM 7216).

K rozšíření kmitočtového rozsahu čítačů je třeba použít předděličů, ovšem s tím, že je nutné vydělit stejným koeficientem i impulsy časové brány, aby zůstala zachována poloha desetinné čárky na displeji.

Doba čtení se úměrně prodlužuje. Například když použijeme předdělič deseti, tak k dosažení údaje jednotek Hz na posledním místě displeje je třeba 10 sekund.

Monolitických předděličů kmitočtu se vyrábí celá řada:

SSSR	Kmitočtové pásmo [MHz]	Dělicí poměr	Napájecí napětí [V]	Odběr [mA]
K 193 IE 1	– 500	2	5,2	18
KR 193 IE 1				
KM 193 IE 2	30 – 400	10/11	5,2	65
KR 193 IE 2				
KM 193 IE 3	30 – 200	10/11	5 ± 10 %	20
KR 193 IE 3				
KM 193 IE 4	40 – 200	32	5,2 ± 10 %	14
KR 193 IE 4				
K 193 IE 5A	150 – 1 500	4	6,3	100
K 193 IE 5B	150 – 1 300			
KR 193 IE 6	80 – 1 000	64,256	6,0 ± 10 %	max. 100
K 193 IE 7A	200 – 2 000	4	6,3 ± 10 %	max. 12
K 193 IE 7B	200 – 1 750			
KR 1507 IE 1	10 – 110	40/44/20/ 22/10/11	2,5 až 4,5	max. 9
KM 193 PC 1	70 – 1 000	640/704	5 ± 0,25	100

#### Fairchild

11 C 90	600	10
11 C 06	750	2
11 C 05	1 200	4
95 H 90	250	10/11

### Plessey

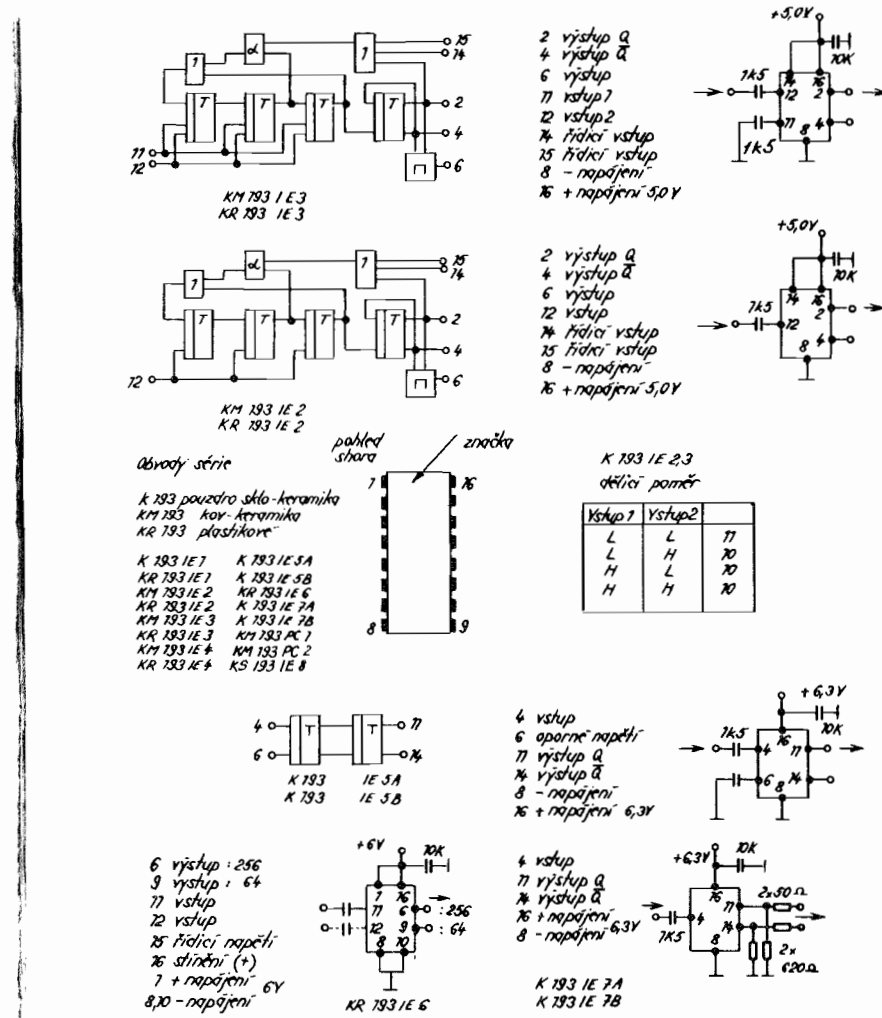
SP 8619	1 500	4
SP 8617	1 300	4
SP 8668	1 500	10

Rychlé děliče kmitočtu samovolně kmitají při absenci vstupního signálu. V rámci aplikací to nevadí. Tam, kde je nutné, aby dělič při absenci vstupního signálu neměl na výstupu také signál, připojuje se na vstup děliče odpor proti zemi. Jeho minimální hodnota je omezena většinou na 10 nebo 13 kΩ, nikoli méně. Má-li dělič dva vstupy, zapojuje se odpor na vstup nepoužitý. Jinak lze obvykle obvody použít podle údajů výrobců bez obtíží. Některé údaje o sovětských děličích jsou na obr. 6.19, 6.20. Moderní čítače, řízené mikroprocesory, dovedou mimo jiné vyčíslit další místo na displeji na základě odečtení času mezi skončením impulsu časové brány a periody vstupního signálu. Měření se tak pronikavě zrychlí, hlavně při měření nízkých kmitočtů.

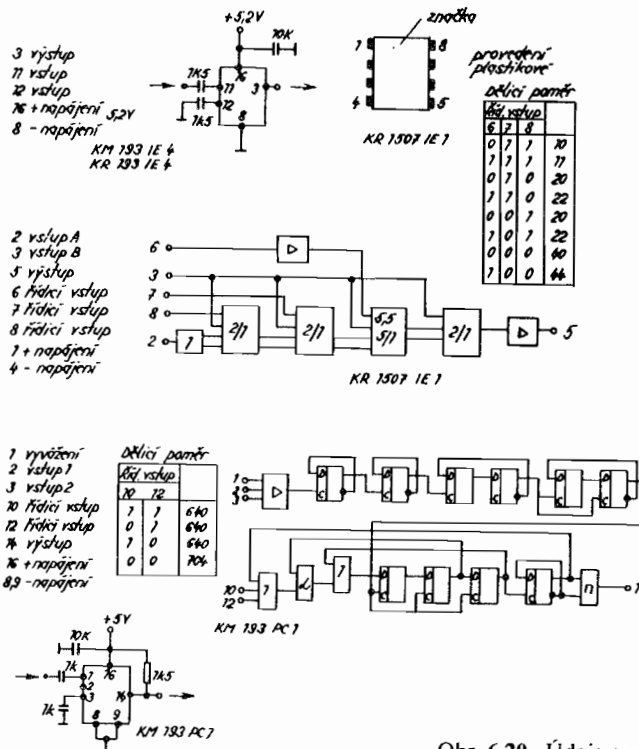
Čítače pro měření kmitočtů nad 1 GHz pracují na základě obvodu fázového závěsu (obr. 6.21).

Napěťově řízený oscilátor se pomocí fázového závěsu zasynchronizuje některou harmonickou na vstupní signál. Jeho pracovní rozsah je volen tak, aby vlastní čítač spolehlivě zpracoval jeho nejvyšší kmitočet. Protože může dojít k zachycení i dosti vysokého řádu harmonické, musí být signál oscilátoru značně zkreslen v „hřebíkovém násobiči“, dodávajícím do fázového komparátoru spektrum všech harmonických kmitočtů v přibližně stejně úrovni až do nejvyššího pracovního kmitočtu čítače, tj. 12,18 GHz nebo i výše.

Automaticky nebo ručně se na programovatelném děliči časové brány nastaví řád harmonické, za kterou se obvod fázového závěsu zachytí, a na displeji se objeví úplný údaj kmitočtu vstupního signálu. Automatické zjištění řádu harmonické se provádí tak, že se základní kmitočet oscilátoru v pomocné věti čítače směšuje SSB modulátorem s nízkým modulačním kmitočtem, například 1 kHz, a i takto získaný signál se vynásobí hřebíkovým násobičem a posléze smísí se vstupním signálem. Vznikne zázněj o kmitočtu tolikrát vyšším než je modulační kmitočet 1 kHz na kolikátou harmonickou oscilátoru se závěs zachytí:

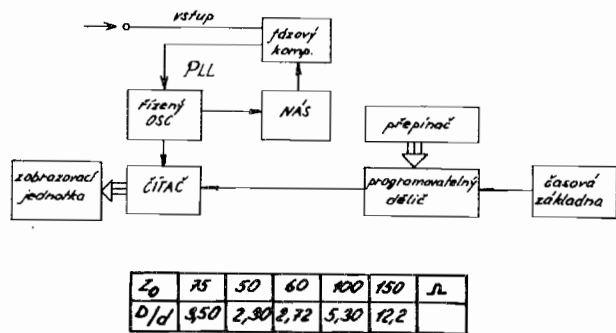


Obr. 6.19. Údaje o sovětských děličích kmitočtů



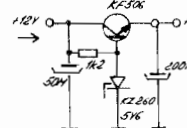
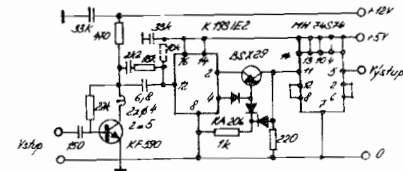
Obr. 6.20. Údaje o sovětských děličkách kmitočtu

Obr. 6.21. Systém mikrovlnného čítače

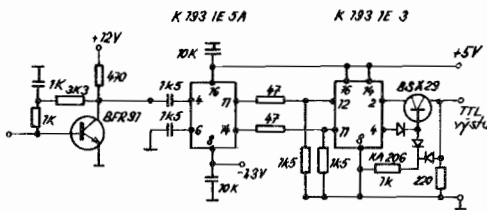


Takové systémy jsou značně složité, amatérsky obtížně napodobitelné. Snadno zhovitelné jsou však mikrovlnné předděliče kmitočtu, kterými lze doplnit přímo nebo případně s malou úpravou časové základny každý čítač. Čtyři příklady jsou na obrázcích 6.22 až 6.25.

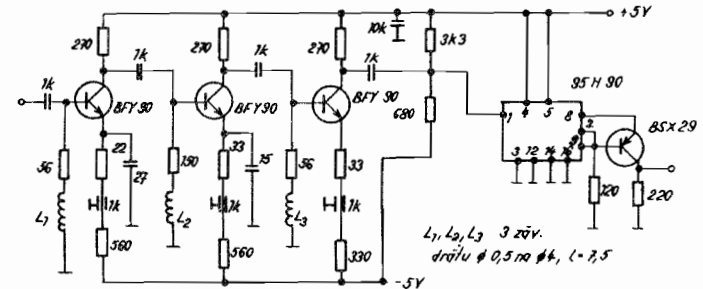
Obr. 6.22. Předdělič kmitočtu 40 od 10 do 570 MHz

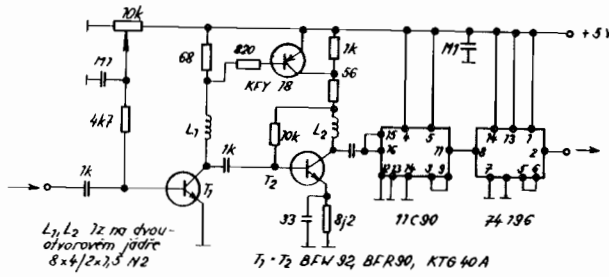


Obr. 6.23. Předdělič kmitočtu 40 od 10 do 1,5 GHz



Obr. 6.24. Předdělič kmitočtu 10 do 250 MHz





Obr. 6.25. Předdělič kmitočtu 100 od 10 do 600 MHz

## Měření kmitočtu na měřicím vedení

Starší metoda měření kmitočtu vychází z měření vlnové délky. Vlnovou délku lze změřit na měřicím vedení, tj. přesném koaxiálním vedení nebo vlnovodovém vedení se štěrbinou, ve které se pohybuje měřící sonda s indikátorem. Poloha sondy se odečítá na stupnici. Na měřeném vedení lze odečítat vlnovou délku jen vznikne-li na vedení vlnění stojaté, tj. naprázdno nebo ukončené nepřizpůsobenou zátěží. Vzdálenost mezi sousedními minimy výchylky měřiče sondy odpovídá polovině vlnové délky ve vedení. Kmitočet je nutné vypočítat:

a) na vzduchovém koaxiálním vedení je kmitočet

$$f = \frac{150}{l}, [\text{MHz, m}] \text{ nebo } [\text{GHz, mm}];$$

b) na vlnovodovém vedení je přepočet složitější, protože vlnová délka ve vlnovodu ( $kg$ ) je závislá na jeho rozměrech

$$f = \frac{f_m}{2} + \sqrt{\frac{f_m^2}{4} + \frac{225}{l^2}} [\text{GHz, cm}].$$

Konstanta  $f_m$  je pro různé vlnovody:

R 58	3,711 GHz	R 120	7,868 GHz
R 70	4,301 GHz	R 140	9,488 GHz
R 84	5,260 GHz	R 220	14,051 GHz
R 100	6,557 GHz		

Rozměry vlnovodů a hodnoty těchto konstant jsou uvedeny v připojených tabulkách v kapitole 8.

Při měření je nedostatkem vyšší obsah harmonických měřeného signálu. Proto se používají sondy rezonanční, vyladěné na požadované kmitočtové pásmo. Signálem k tomu, že se na vedení šíří i harmonické, je skutečnost, že údaj měřiče sondy na sousedních minimech není stejný. Tento jev však může být také způsoben nepřesnosti měrného vedení.

Takové měření lze celkem snadno nahradit pomocí „Lecherova vedení“ – dvoudráťové vedení s připojeným indikátorem, po němž pohybujeme zkratem a opět odečítáme vzdálenost sousedních minim – výpočet kmitočtu je stejný jako u koaxiálního vedení. Indikátor musí být navázán volně a samotné Lecherovo vedení musí být rovněž vázáno do obvodu měřeného signálu. Pro měření mikrovln musí být vodiče blízko u sebe a metoda je vhodná jen asi do 3 GHz. Nevýhodou této metody je malá citlivost a často nedostatečný výkon měřeného signálu, aby bylo možné dostatečně vybudit indikátor.

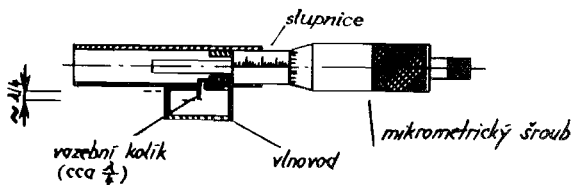
## Měření kmitočtu rezonanční metodou

Pro měření kmitočtu se vyrábějí speciální přesné rezonátory, opatřené stupnicí spřaženou s ladícím prvkem a indikátorem vyladění – vlnoměry. Bývají vyrobeny z Invaru, nebo jsou alespoň teplotně kompenzované, aby odečtení kmitočtu bylo co nejpřesnější. Přesnost měření závisí samozřejmě na provedení vlnoměru. Je však vždy vyšší, než je možné dosáhnout při měření na měrném vedení.

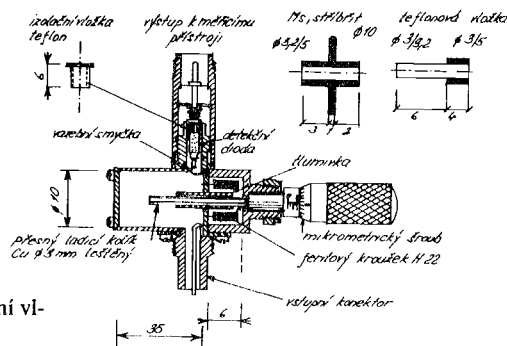
Přesnost je tím vyšší, čím je vyšší kvalita měřicího rezonátoru, čím je menší vazba na indikátor vyladění a na měřený signál.

I koaxiální vlnoměry fungují na mikrovlnných kmitočtech, ale průměr měrného vedení musí být malý, aby se nevybudovaly vyšší vidy, asi 8 mm do 12 GHz. Příklad navázání vlnoměru do vlnovodu je na obr. 6.26. Na obr. 6.27 je vlnoměr s detekční diodou zamontovanou do dutiny, tj. nikoli sací, ale indikační.

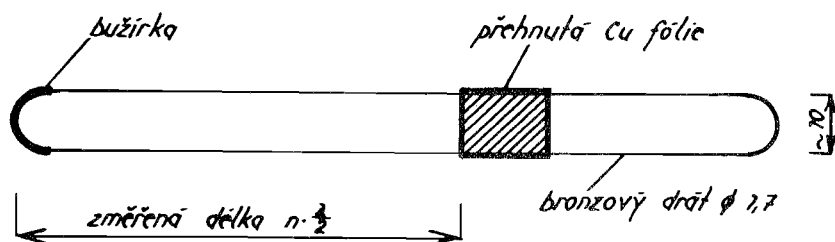
Pro kmitočty od 430 MHz do 2 300 MHz lze celkem snadno realizovat měřicí rezonátor ze dvou vodičů (průměr 1,7 mm, asi 10 mm od



Obr. 6.26. Navázání koaxiálního vlnoměru do vlnovodu



Obr. 6.27. Širokopásmový koaxiální vlnoměr



Obr. 6.28. Lecherovo vedení – ladící pomocka

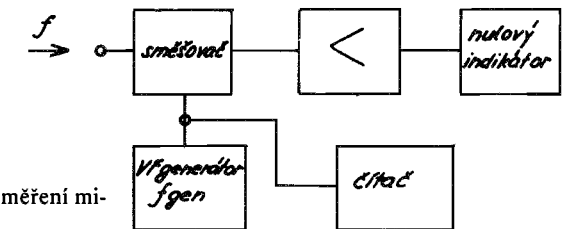
sebe, 40 cm dlouhých) spojených na obou koncích, po nichž lze posunovat zkrat z měděné fólie. Takový rezonátor z obvodu odsaje energii při správném vyladění i na dost velikou vzdálenost. Jako indikátoru je možné používat detekční diody se smyčkou volně vázanou do měřeného obvodu.

Je-li při vyladění prvního minima od zkratu ke konci (také zkratovaném) vzdálenost  $l$ , kmitá měřený obvod na kmitočtu

$$f = \frac{150}{l} \quad [\text{MHz, m}] \text{ nebo } [\text{GHz, mm}].$$

Mezi tyto metody patří také měření kmitočtu sacím měřičem (grid-dip-metrem). Měříme kmitočet rezonance laděného obvodu na základě chování elektronkového nebo tranzistorového oscilátoru. Při přiblížení rezonančního obvodu naladěného na shodný kmitočet, na kterém je měřicí oscilátor, poklesne mřížkový nebo bázový proud. Na stupni tohoto oscilátoru pak odečteme vyladěný kmitočet. Z řady důvodů není tato metoda vhodná pro měření na mikrovlnách.

### Záznějová metoda měření kmitočtu (obr. 6.29)



Obr. 6.29. Záznějová metoda měření mikrovlnného kmitočtu

Měřený signál přivedeme na směšovač spolu se signálem měrného generátoru. Kmitočet generátoru naladíme do nulového zázněje na výstupu a změříme přesně čítačem. Zjištěný kmitočet je celistvým násobkem odečteného kmitočtu, protože byl takto zjištěn nulový zázněj mezi některou harmonickou generátoru a vstupním signálem.

Měření však není jednoznačné – rád harmonické vstupního signálu  $m$  je nutné zjistit jinou metodou a kromě toho je možný i zázněj s harmonickými kmitočty generátoru  $n$ , a proto výsledný kmitočet může být

$$f = m \cdot f_{\text{gen}} \quad \text{nebo} \quad f = \frac{m}{n} f_{\text{gen}} \quad [\text{MHz}].$$

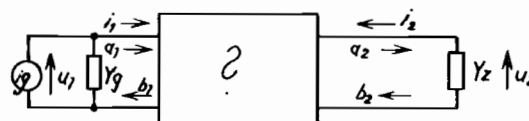
Metoda je však mimořádně citlivá, lze měřit i slabé signály poměrně jednoduchým vybavením. Měření lze snadno realizovat. Jako směšovač postačí mikrovlnná dioda vybuzená z libovolného generátoru na proud asi 1 až 2 mA. Měříme-li kvalitní signály, stačí jako indikátor nulového zázněje obyčejný nízkofrekvenční zesilovač se sluchátky, lepší je však použít osciloskopu.

Obtížné je určit řád harmonických, které se ve směšovači směšují. Proto je nejlépe nějakým, třeba i dost nepřesným vlnoměrem stanovit měřený kmitočet a přesnou hodnotu pak určit záZNĚJOVOU metodou.

## Měření impedance

Protože na mikrovlnných kmitočtech bývá rozměr měřeného objektu i rozhodujících členů měřicí soupravy srovnatelný s délkou vlny, je nutné při měření impedance vycházet z chování objektu jako elektrického vedení a zjištěnou impedanci udávat vždy společně s místem připojení – místem vstupních svorek měřeného objektu.

Z toho důvodu je vhodné popisovat mikrovlnný obvod na základě rozptylových parametrů „S“ (obr. 6.30).



Obr. 6.30. Měření „S“ parametrů

$$a_1 = \frac{1}{2VZ_0} (u_1 + Z_0 i_1)$$

$$b_1 = \frac{1}{2VZ_0} (u_1 - Z_0 i_1)$$

$$a_2 = \frac{1}{2VZ_0} (u_2 + Z_0 i_2)$$

$$b_2 = \frac{1}{2VZ_0} (u_2 - Z_0 i_2)$$

$Z_0$  je charakteristická impedance měřicího vedení a je vždy reálná. Obvykle bývá 50 nebo 75 ohmů na souosém vedení, ve vlnovodech je

podstatně vyšší a závisí na kmitočtu. „S“ parametry jsou definovány takto:

$$b_1 = S_{11} a_1 + S_{12} a_2,$$

$$b_2 = S_{21} a_1 + S_{22} a_2.$$

Koefficienty  $a$  reprezentují z hlediska měřeného objektu dopadající (postupnou) a koefficienty  $b$  odraženou vlnu:

$$S_{11} = \frac{b_1}{a_1} \quad a_2 = 0 \quad \text{je vstupní koefficient odrazu,}$$

$$S_{12} = \frac{b_1}{a_2} \quad a_1 = 0 \quad \text{je koefficient zpětného přenosu,}$$

$$S_{21} = \frac{b_2}{a_1} \quad a_2 = 0 \quad \text{je koefficient přenosu,}$$

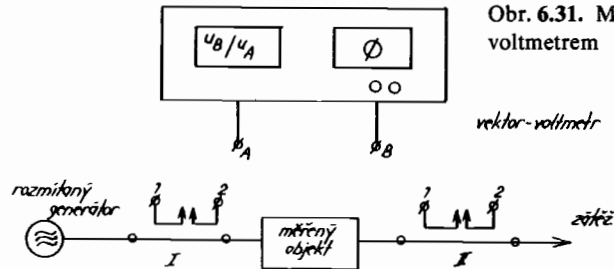
$$S_{22} = \frac{b_2}{a_2} \quad a_1 = 0 \quad \text{je výstupní koefficient odrazu.}$$

Zjištěné hodnoty parametrů jsou bezrozměrné a je zvykem je vynášet do polárních diagramů. Střed odpovídá nulové hodnotě parametru, vodorovná osa je osa reálných čísel; kladná vpravo, imaginární kladná nahoru.

Takto vnesený polární diagram, obsahující  $S_{11}$  a  $S_{22}$ , souhlasí geometricky se Smithovým diagramem a lze v něm přímo odečítat hodnoty vztažné impedance  $Z/Z_0$ , respektive vodivosti  $Y/Y_0$  obvyklým způsobem. Střed diagramu odpovídá dokonale přizpůsobenému vedení  $Z_k = Z_0$ ; vlevo je zkrat, vpravo volný konec, dolu kapacitní zátěže, nahoře induktivní zátěže.

Moderní měřicí aparatury vycházejí ze zjištění poměru napětí a rozdílu fáze na výstupech přesných odbočnic (směrových vazebních členů) zapojených na měrném vedení. Na vstupu i výstupu měřeného objektu je zapojena jedna dvojitá směrová odbočnice snímající postupnou i odraženou vlnu. Jádrem aparatury je pak přístroj schopný měřit poměr dvou vstupních napětí a jejich fázový rozdíl. Dva vstupy tohoto přístroje se připojují na jednotlivé výstupy odbočnic podle toho, který parametr měříme (obr. 6.31).

Směrové vazební členy I a II musí být shodné, a to pokud možno v celém kmitočtovém pásmu měření. Menší rozdíly je možné vyrovnat nastavením indikátoru – vektorvoltmetru při cejchování soupravy.



Obr. 6.31. Měření „S“ parametrů vektorvoltmetrem

Pro měření:

- $S_{11}$  se zapojí vstup A do 1 a B do 2, generátor na vstup, zátěž na výstup;
- $S_{12}$  se zapojí vstup A do 3 a B do 2, generátor na výstup, zátěž na vstup;
- $S_{21}$  se zapojí vstup A do 1 a B do 4, generátor na vstup, zátěž na výstup;
- $S_{22}$  se zapojí vstup A do 3 a B do 4, generátor na výstup, zátěž na vstup.

Cejchování se provádí takto:

$S_{11}$  a  $S_{22}$  – místo měřeného objektu zapojíme zkrat a nastavíme hodnotu  $U_b/U_a = 1$  a  $\Phi = 180^\circ$ . Možné je rovněž nastavení na volný konec (měřený objekt je pouze odpojen), pak nastavíme  $U_b/U_a = 1$  a  $\Phi = 0$ . Tato kalibrace bývá méně přesná, protože volný konec vedení vyzařuje.

$S_{12}$  a  $S_{21}$  – měřený objekt vyřadíme a propojíme navzájem svorky měřicího vedení, na které bude připojen vstup a výstup měřeného objektu, a to buď přímo, nebo pomocí přesného propojovacího vedení se správnou charakteristikou impedancí a délkou odpovídající délce měřeného objektu.

Nastavíme  $U_b/U_a = 1$  a  $\Phi = 0$ .

Při měření  $S_{11}$  a  $S_{22}$  odpovídá místo kalibračního zkratu místu, ke kterému je vztažena změřená hodnota  $S_{11}$  a  $S_{22}$ . Proto je potřeba již při měření uvažovat, jak zjištěný údaj použijeme. Při měření polovodičů nebo nestíněných struktur záleží na okolí měřené součástky, pro-

to je třeba měřit v takových případech v geometrické konfiguraci obvodu, odpovídající skutečnému použití.

Při měření  $S_{12}$  a  $S_{21}$  odpovídá fáze přenosu skutečnosti. Byl-li měřený objekt nahrazen při kalibraci vzduchovým vedením stejné délky, jako je tento objekt, nebo elektricky ekvivalentním vedením. Fázi přenosu lze ovšem snadno přepočítat přičtením úhlu odpovídajícímu délce objektu a tuto korekci je možné zanést přímo do cejchování vektorvoltmetru přepnutím přepínače (ovšem jen po určitých skocích, obvykle  $10^\circ$ ).

Měření na polovodičích je však spojeno s řadou dalších obtíží. Především je nutné mít měřicí držák, který zajistí bezodrazové pokračování měřicího vedení až k vývodům polovodiče, a to až k pouzdro. Dále je třeba mít ke kalibraci soupravy zkraty na vstup i výstup a bezodrazovou propojku vstupu s výstupem s vývody ve tvaru shodném s měřeným polovodičem.

V soupravě musí být zapojené napájení členy, které rovněž pro celý obor pracovních kmitočtů nesmějí vnášet do vedení podstatné diskontinuity. V takovém členu bývá střední vodič přerušen terčovým nebo válcovým kondenzátorem dostatečné kapacity, aby nevadil při měření na nejnižších kmitočtech, a tlumivka dostatečně proudově dimenzovaná.

Vše je třeba vhodně konstrukčně upravit tak, aby byl zachován profil středního vodiče a pro vložení tlumivky odlehčena kapacita pláště vedení.

Další kalibrace i měření zůstávají stejné. Některé diody a tranzistory kmitají v měřicím obvodu. Dostí často to bývá právě z důvodu nevhodných napájecích členů. Kmity měřeného objektu ohrožují měřicí soupravu, a to nejen přesnost naměřených hodnot. Proto je nezbytné zásadně kmity odstranit použitím vhodnější konfigurace měřicí soupravy. Napájecí napětí, případně proud měřené součástky musíme postupně zvyšovat od nuly a stále sledovat kontinuitu měřených hodnot – tj., zda součástka nemá sklon k oscilacím, až dosáhneme požadovaného pracovního bodu. Když se objeví kmity a požadovaného pracovního bodu ještě nebylo dosaženo, je třeba zjistit kmitočet kmitů – oscilací nebo relaxací – a stanovit mechaniku jejich vzniku. Kmitá-li součástka mimo oblast měření, a to je nejčastější případ, bývá

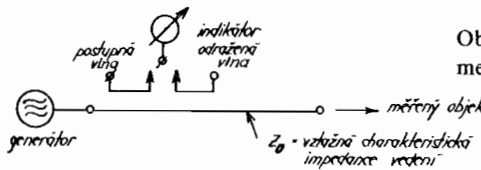
možné kmity odstranit použitím vhodnějších napájecích členů. Kmitá-li v oblasti měření, není to vždy možné. Někdy pomáhá zařazení útlumového článku mezi generátor a měřicí soupravu. Čím nižší je charakteristická impedance měřicího vedení a čím je přizpůsobení členů širokopásmovější, tím je souprava odolnější vůči těmto kmitům.

Moderní přístroje s využitím tohoto principu měří impedance automaticky – jde o analyzátorové obvody a jsou někdy řízeny počítačem, který je schopen při měření činnost organizovat, naměřené hodnoty zpracovat do požadovaného tvaru, uložit je k dalšímu použití a vyčíslet nebo vytisknout tiskem či graficky. Řídící počítač dovede i korigovat vlastní chyby měřicí soupravy.

### Měření přizpůsobení

Při měření na kabelech, anténách, antennních relé a přepínačích není nutné znát fázi odražené vlny. Potom stačí vyjádřit neznámou zátěž pouze hodnotou přizpůsobení – poměru stojatých vln a hodnotou charakteristické impedance vedení.

K vlastnímu měření se používá směrový vazební člen s indikátorem. Vztažná impedance je určena hlavním vedením směrového vazebního člena. Linka je buzena generátorem, místo něho je možné použít přímo vysílač. K snažšemu odpočtu poměru stojatých vln se používá dvojice stejných směrových vazebních členů opačně směrových, zamontovaných na společném hlavním vedení tak, že jeden snímá postupnou a druhý odraženou vlnu. Taková souprava se nazývá reflektometr a často se kombinuje s průchozím wattmetrem. V tomto případě je indikátor snímající postupnou vlnu ocejchován přímo v hodnotě procházejícího výkonu (obr. 6.32).

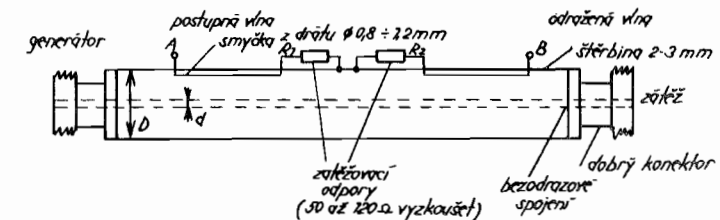


Obr. 6.32. Měření přizpůsobení reflektometrem

Indikátorem může být mikrovlnný detektor s křemíkovou diodou (21NQ52, 33NQ52, VBS100 atd.) a citlivý deprezský měřicí přístroj (asi  $50/\mu\text{A}$ ) nebo měrný přijímač s antenuátorem na vstupu a přesným měřičem síly signálu. Amatérský přijímač s přesným S-metrem je také použitelný. Měření s použitím přijímače jako indikátoru je přesnější a dovoluje měřit lépe přizpůsobené zátěže.

Metoda je poměrně snadno realizovatelná bez nároků na speciální součástky. Proto se dosti často reflektometry montují do vysílačů jako indikátory výkonu a čidla k ochraně výkonových stupňů vysílače při odpojení nebo poškození antény.

Hlavní součástí reflektometru je směrový vazební člen (obr. 6.33).



Obr. 6.33. Koaxiální směrový vazební člen

Poměr  $D/d$  určuje charakteristickou impedanci hlavního vedení vazebního člena – vztažnou  $Z_0$ . Je to poměr vnitřního průměru vnějšího vodiče (pláště) a vnějšího průměru vnitřního vodiče:

$$D/d = 2,3 \Rightarrow Z_0 = 50 \Omega,$$

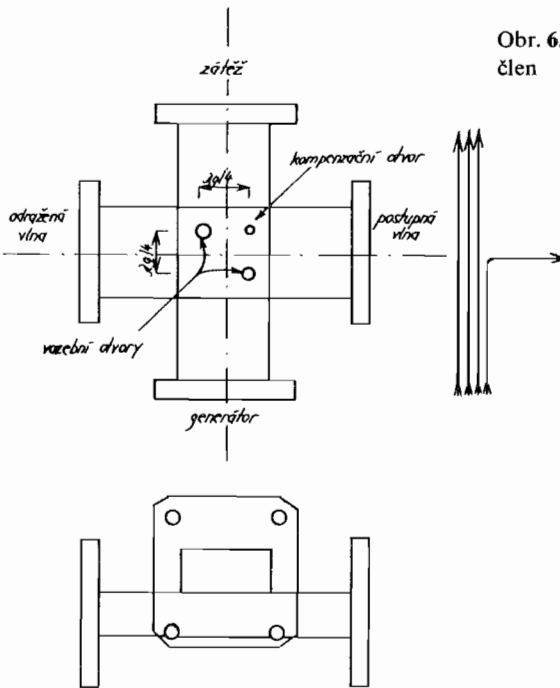
$$D/d = 3,5 \Rightarrow Z_0 = 75 \Omega.$$

Jiné hodnoty v případě potřeby stanovíme podle nomogramů v kapitole 8. Má-li sloužit člen k přesnému měření, musíme jej opatřit dobrými konektory (alespoň na výstupu, tj. směrem k zátěži). Pláštěm vedení může být trubka s proříznutou štěrbinou, ale stačí stočit plech do tvaru polorozevřené trubky. Smyčky z drátů, pokud možno rovné a rovnomořně ponořené do vedení, jsou zatíženy odpory svou charakteristickou impedancí, která nemusí souhlasit s  $Z_0$  hlavního vedení. Zatěžovací odpory musí být malé, bezindukční vrstvové nebo hmotové. Jejich hodnotu nastavíme (vyhledáme) tak, že reflektometr zatíží-

me přesnou zátěží, aby hlavní vedení bylo přizpůsobené. Pak nastavujeme smyčku snímající odraženou vlnu. Najdeme takovou hodnotu odporu, aby indikátor ukazoval hodnotu co nejmenší, celý člen obráťíme a provedeme totéž s druhou smyčkou.

Hloubka ponoření smyček určuje citlivost (vazební útlum). Bude-li dvojice vazebních členů používána jako reflektometr, nastavíme co nejpřesněji shodnou vazbu obou smyček tak, že indikátor na obou smyčkách ukazuje přesně stejnou výchylku při odpojení zátěže (úplný odraz), a to i při otočení člena.

Budou-li indikátorem diodové detektory, je vhodné je připojit ke smyčkám přímo, bez dalšího vedení. Bude-li člen používán s přijímačem, je vhodné na vývody smyček dobře upravit vhodné menší konektory.



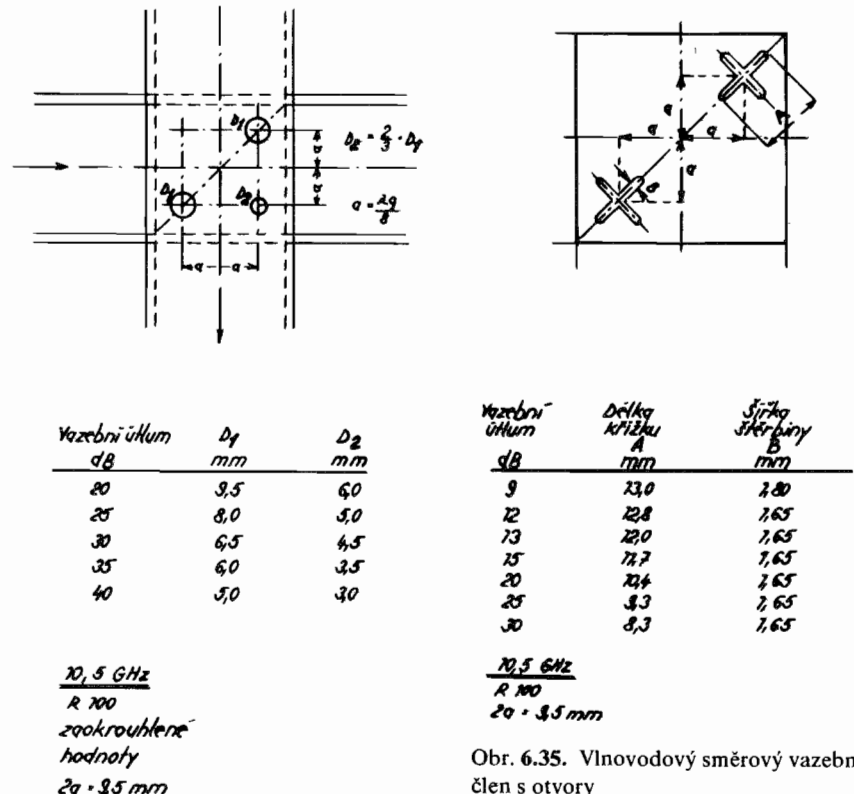
Obr. 6.34. Vlnovodový směrový vazební člen

Délka smyček může být různá. Delší smyčka lépe váže, ale je málo

pevná. Nemá být delší než čtvrtina vlnové délky. Obvykle stačí délka smyčky několik centimetrů.

Na vlnovodu je možné také snadno vyrobit směrový vazební člen. Zkřížené vlnovody mají jednu širší stěnu společnou, provrtanou vazebními otvory vzdálenými ve směru šíření od sebe čtvrtinu vlnové délky (ve vlnovodu je délka vlny delší než ve vzduchu, tj.  $\lambda/4$  (obr. 6.34.).

Velikost vazebních otvorů určuje citlivost – vazební útlum odbočnice. Na boční ramena odvětveného výkonu připojíme detektor s indikátorem. Vše ostatní je stejné u koaxiálního provedení. Vztažná impedance je dána rozměrem hlavního vlnovodu. Rozměry pro různé hodnoty útlumu jsou na obr. 6.35 (a,b).



Obr. 6.35. Vlnovodový směrový vazební člen s otvory

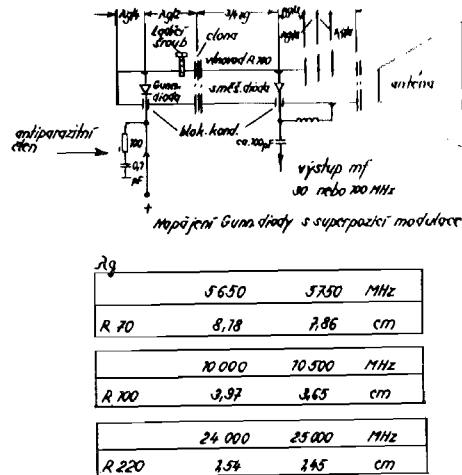
## Mikrovlnné systémy

Způsob navazování spojení může být na mikrovlnách stejný jako na nižších kmitočtech, ale je to nepraktické, protože používané výkony jsou malé a antennní laloky úzké. Proto se většina spojení navazuje po vzájemné domluvě na nižších pásmech, i když v poslední době je uskutečňováno čím dál tím více přímých spojení na 1 296 a 2 320 MHz, protože na domluvu na nižších pásmech při závodech nezbývá čas. Na centimetrových a milimetrových pásmech jsou však ještě menší výkony a užší laloky antén, a proto je těžší navázat spojení. To se však téměř vždy podaří s perfektní slyšitelností. Proto se dost propagují systémy, kde je jen jeden generátor – pro vysílač a zároveň i pro přijímač. Spojení se navazuje duplexní s kmitočty vysílačů rozdílnými o mezifrekvenční kmitočet. Aby se dvě stanice vzájemně slyšely, musí souhlasit mezifrekvenční kmitočty. Je zvykem nechat fungovat takové zařízení s plnou modulací tónem. V přijímači není slyšet žádný signál do té doby, než se protistanice naladí. Pak uslyšíme vlastní tón, případně modulaci protistanice. Vypnutí tónu je pro protistanici signálem, že i já jsem se dosměroval a může započít komunikace. Je to praktické. Mohou tak pracovat výkonné systémy, ale i malá přenosná zařízení s Gunnovými diodami, pro něž se vžil název Gunnplexery. Ušetří se totiž anténní přepínač, duplexer, jeden generátor a mnoho času při stavbě zařízení i při navazování spojení.

## Gunnplexery

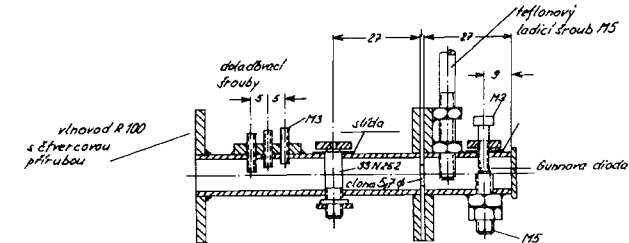
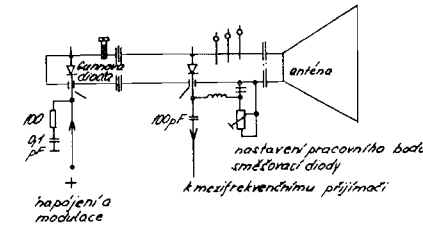
Princip Gunnplexeru je na obr. 6.36. Sestává z průchozího typu směsovače a Gunnova oscilátoru. Výkon oscilátoru prochází v dostatečné úrovni směsovačem do antény. Problémem všech Gunnplexerů je, že Gunnovy oscilátory dodávají příliš veliký výkon, který chceme, ale škodí směsovaci diodě. Do určité míry se může problém zmírnit zařazením vhodného odporu  $R$  do série s tlumivkou směsovací diody (obr. 6.36). Hodnotu nastavíme tak, aby bylo i při velkém buzení dobré šumové číslo.

Obr. 6.36. Princip Gunnplexeru

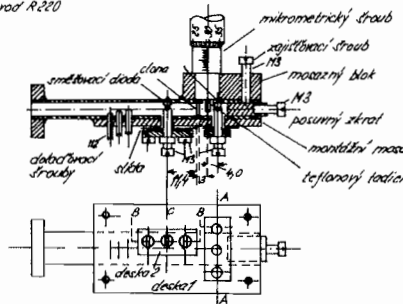


Rozměry mikrovlnné hlavice Gunnplexerů pro pásmo 10 GHz jsou na obr. 6.37, hlavice 24 GHz na obr. 6.38, zapojení do systému na obr. 6.39.

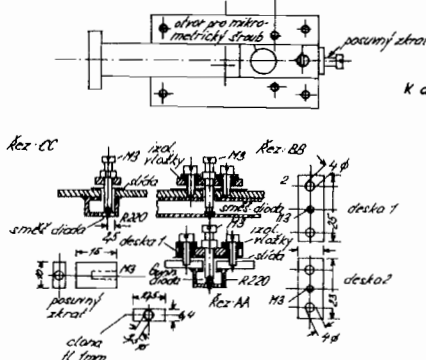
Obr. 6.37. Mikrovlnná hlavice Gunnplexeru 10 GHz



vlnovod R220



Obr. 6.38. Mikrovlnná hlavice Gunnplexeru 24 GHz

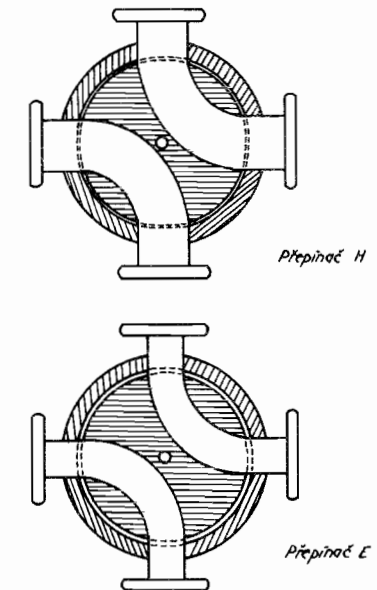


Obr. 6.39. Zapojení systému Gunnplexeru

technická extravagance, ukázka, že to jde. Při vlastním spojení vadí nestabilita i nejlepších generátorů.

Kromě toho je nutné zařízení ještě doplnit vlnovodovým přepínačem příjem-vysílání. Tyto přepínače jsou vždy mechanicky složité. Jejich princip spočívá v tom, že se uvnitř tělesa s vlnovodovými vývody otáčí válec, v němž je vytvořen vlnovodový průchod. Válec může tímto průchodem propojit různé výstupy tělesa (obr. 6.40).

Obr. 6.40. Vlnovodový přepínač

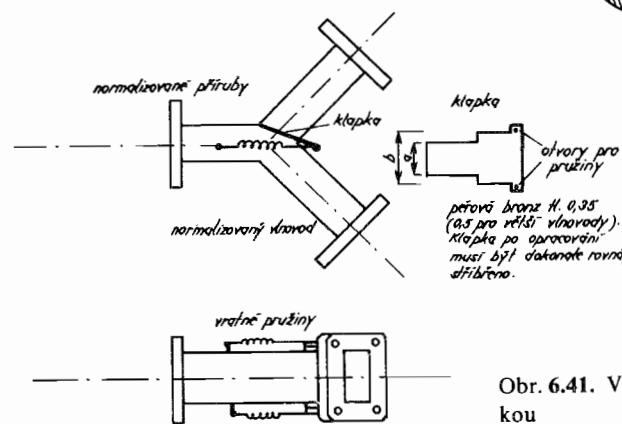


Toto zapojení je shodné u všech Gunnplexerů. Liší se samozřejmě napětím, někdy i polaritou napájecího napětí, které se musí volit podle použité diody (viz část Gunnovy oscilátory).

Gunnplexery však nejsou v žádném případě vhodné pro solidní práci na mikrovlnách.

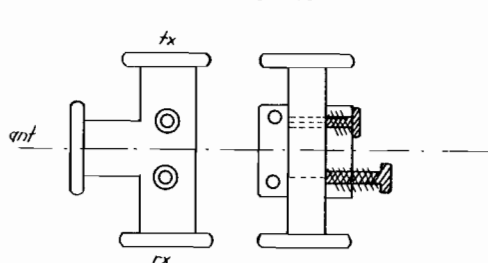
## Úzkopásmové QZF systémy

Mikrovlnné systémy, které pracují CW nebo SSB potřebují extrémně stabilní generátory, a to znamená, že systémem generátoru musí být varaktorový násobič nebo fázový závěs. Oba tyto systémy ale dost šumí, násobič daleko od nosné, fázový závěs u nosné. Možnost CW telegrafie však za to stojí. SSB na 10 nebo 24 GHz je pak více či méně

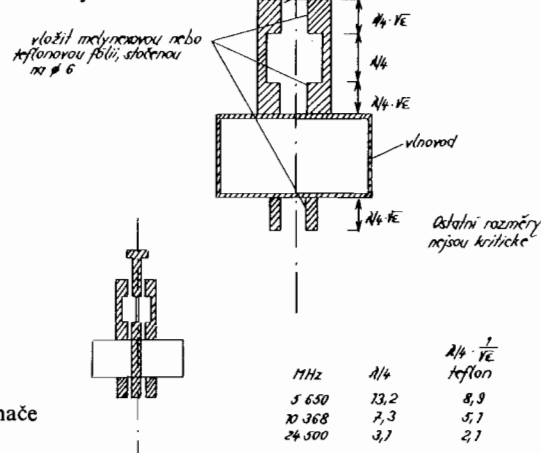


Obr. 6.41. Vlnovodový přepínač s klapkou

Štěrbina mezi válcem a tělesem je zatlumena tlumící hmotou, aby nerezonovala. Pro amatérskou potřebu však stačí jednodušší provedení s klapkou nebo kolíky. Vlnovod, rovětvený do tvaru Y, má uprostřed umontovanou klapku z pérového materiálu s kontakty tak, že lze uzavřít jeden nebo druhý výstup (obr. 6.41). Lepší je, když klapka přepíná přes užší rozměr vlnovodu. Kolíkový přepínač (obr. 6.42) přepíná tak, že se vodivý kolík zasunuje střídavě do jedné nebo druhé větve vlnovodového větvění.



Obr. 6.42. Vlnovodový přepínač s kolíky

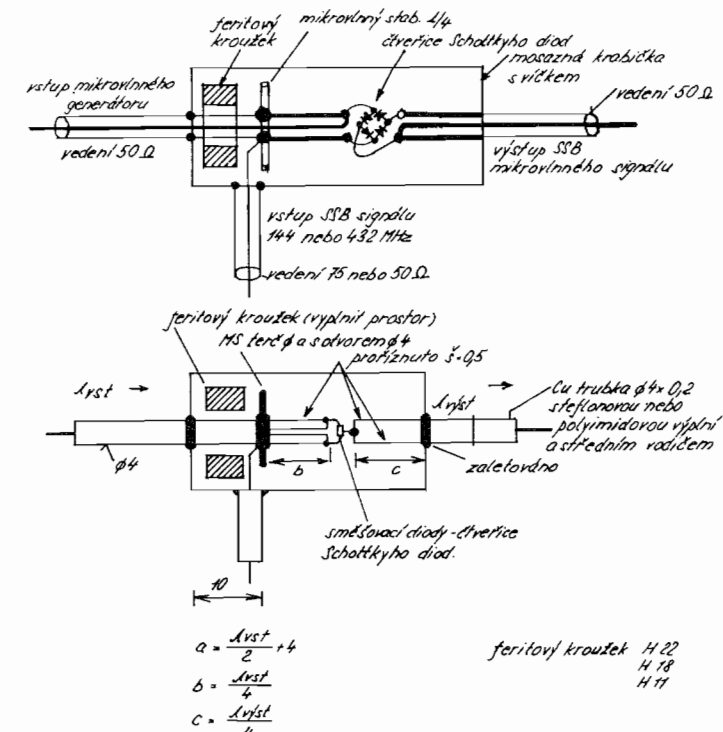


Obr. 6.43. Rezonanční kolík přepínače

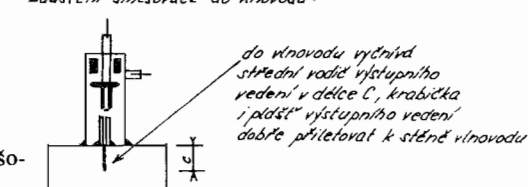
Průměr kolíků není kritický, bývá 5 až 6 mm. U obou těchto přepínačů po čase zlobí kontakty. U kolíkového přepínače je možné tento nedostatek odstranit rezonančním – tlumivkovým uspořádáním kolíků (obr. 6.43). Kolík klouže v tenkostenné teflonové trubičce a má vy-

tvořeny čtvrtvlnné úseky, které směrem do vlnovodu představují zkrat. Tyto přepínače jsou průhledné pro vyšší vidy, vznikají proto obtíže s harmonickými kmitočty.

Přepínač lze také vytvořit z cirkulátoru, připojíme-li k němu elektromagnet schopný přepílovat permanentní magnety cirkulátoru. Síla elektromagnetu musí být značná, hmotnost neúměrná. Snad by bylo

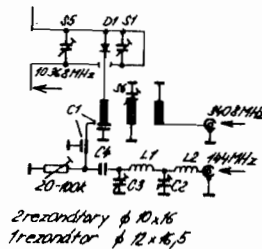


Obr. 6.44. Výkonový směšovač se čtevící diodou

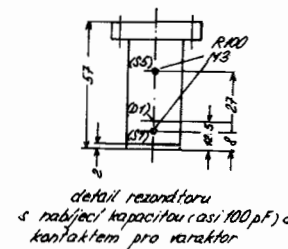


možno lépe otáčet magnety mechanicky. Takový přepínač můžeme použít tam, kde stačí izolace cirkulátoru (25 až 35 dB), která je ale závislá na rozvlnění v průchozí větví.

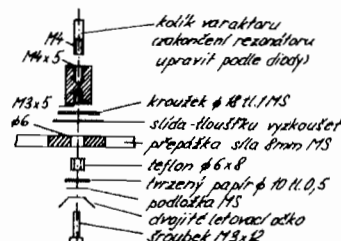
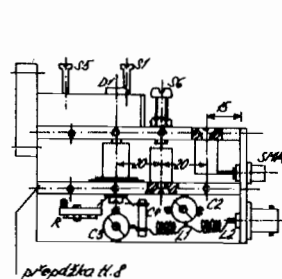
Kromě toho je třeba mít výkonový směšovač, nejlépe vyvážený se



varaktory  $\phi 10 \times 6$   
varaktor  $\phi 12 \times 6,5$



Obr. 6.45. Varaktorový násobič a směšovač 10 GHz



detail rezonátoru  
s nabíjecí kapacitou (asi 100 pF) a  
kontaktem pro varaktor

čtevící diod, aby signál generátoru vysílače nepronikal do antény. Může být i koaxiální (obr. 6.44), ale může to být kterýkoliv z držáků diod, a to průchozí nebo odrazný, podle předchozích kapitol. Výkon bude samozřejmě možné dosáhnout jen takový, jaký dovolí použitá dioda. Lepší jsou Schottkyho diody, protože snesou větší zatížení. S plnou linearitou směšovače ale zdaleka nemůžeme počítat do plného zatížení. Hrotové diody mohou za směšovačem dodat 100  $\mu$ W až 1 mW, Schottkyho diody o necelý řád více. Lze použít i varaktory. Dávají mnohem větší výkon, ale velmi obtížně se hledá lineární oblast nastavením úrovní a hodnoty předpřevodového odporu. Z tohoto hlediska je zajímavý námět DK3UC, který současně násobí a směšuje na jednom varaktoru, aby získal asi 8 mW výkonu SSB na 10 GHz (obr. 6.45). Dosažený výkon je neveliký, ale stačí.

Vyšší výkon lze získat zesilovači. Vynikající jsou zesilovače permaktronové. Mají vysoký zisk a jsou prakticky hotové, stačí připojit podle katalogu napětí ve správné posloupnosti, případně zavést nadproudové ochrany. Zesílení bývá značné, i 40 dB, takže není třeba mít složité mikrovlnné budicí systémy. Také výstupní výkon bývá velký – od 1 W do 300 W. Radioamatér se však asi k těmto elektronkám běžně nedostane.

Tranzistory pro výkonové zesílení na mikrovlnných kmitočtech existují, ale jsou drahé.

V SSSR se prodávají zajímavé výkonové tranzistory MESFET, zhotovené na bázi GaAs. Jsou vhodné pro výkonové mikrovlnné zesilovače. Na mezním kmitočtu však zesilují jen málo:

Typ	Výstupní výkon [mW]	Zisk [dB]	Kmitočet [GHz]
AP 602 A2	180	2,6	12
AP 602 B2	100	3	12
AP 602 V2	200	3	8
AP 602 G2	450	2,6	10
AP 602 D2	500	3	8

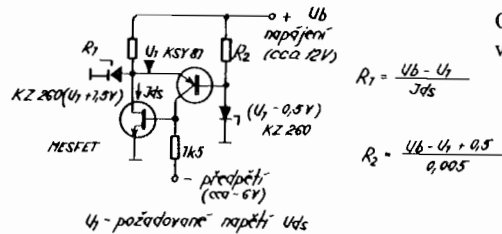
Na nižším kmitočtu je zisk pochopitelně podstatně větší. I u nás se podobné tranzistory vyrábějí. Jde o řadu VCM 708, 709, pro pásmo 3 GHz; zisky jsou vyšší. Nejvyšší povolené napájecí napětí je 7,5 nebo 10 V. Jako každý unipolární prvek jsou citlivé na statickou elektřinu.

Pracovní bod je nutné stabilizovat elektronicky tranzistorem, který nastaví správný úbytek na odporu v drainu MESFETu srovnáním s napětím na jeho bázi, stabilizovaným Zenerovou diodou. Další Zenerova dioda zabezpečuje, že napětí na drainu nemůže přestoupit povolenou mez ani v případě poruchy (obr. 6.46).

Vlastní přizpůsobení tranzistoru nebývá u úzkopásmových zařízení problémem. Předpokladem je zapojení mezi pásková vedení a dokořále uzemnění sourcu.

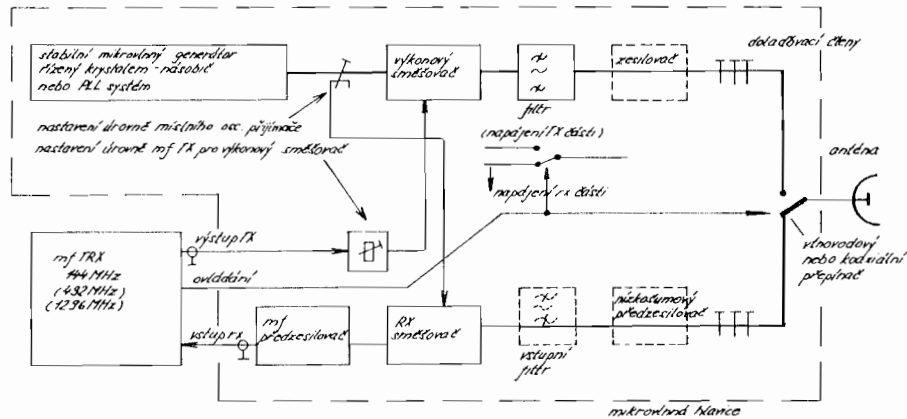
Z těchto dílů můžeme složit takovou mikrovlnnou hlavu, že je mož-

né pracovat stejným způsobem jako na metrových pásmech (obr. 6.47).



Obr. 6.46. Stabilizace pracovního bodu výkonového MESFETu

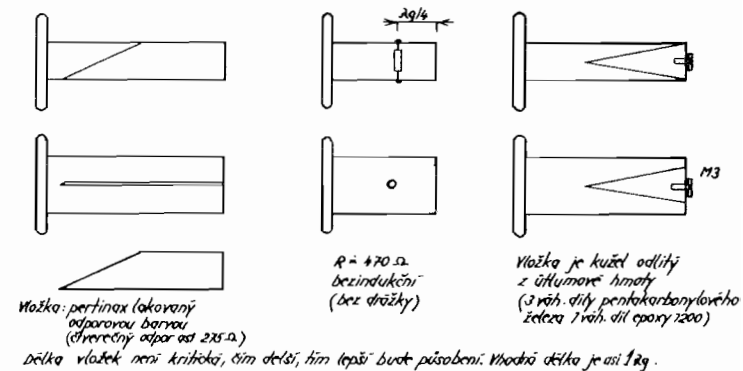
Obr. 6.47. Mikrovlnný systém QZF



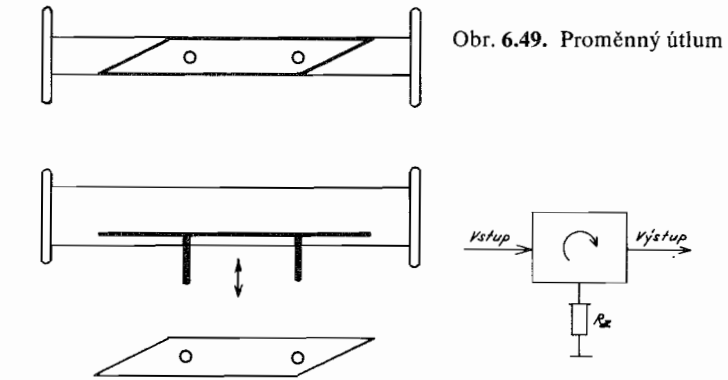
K vytvoření takového systému je dobré mít vedle zkusebních přípravků, jako je detektor s mikrovlnným filtrem a vlnoměr, také některé další součásti:

**Vlnovodový zatěžovací odpor.** Různá provedení jsou na obr. 6.48. Odpor tvoří tlumící vložka umístěná ve vlnovodu uzavřeném vodivou pokličkou, opatřeném přírubou. Nejmenší jsou zátěže s bezindukčním odporem. Nejsou ale příliš kvalitní, i při vyladění jsou úzkopásmové.

**Proměnný útlum.** Vložka z pertinaxu lakovaného odporovou barvou se zasouvá z boku do vlnovodu (obr. 6.49). Laková vrstva má čtvereč-



Obr. 6.48. Různá provedení vlnovodového zatěžovacího odporu



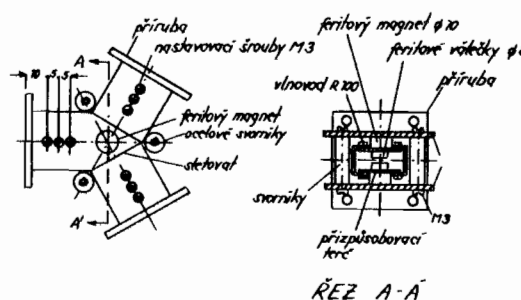
Obr. 6.49. Proměnný útlum

ný odpor asi 275 ohmů, ale je možné použít i jiné hodnoty. Vhodná délka je asi  $3\Lambda_g$  šikmé části  $1\Lambda_g$ . Nejmenší útlum je, když je vložka těsně u stěny vlnovodu; nejvyšší, když je uprostřed.

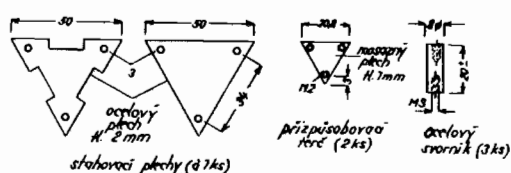
**Cirkulátor** se musí často zařadit do systému, když značné rozvlnění mikrovlnné trasy rozlaďuje některý obvod. Připojíme-li na cirkulátor zatěžovací odpor podle obr. 6.50, bude na rameni označeném „vstup“ vždy impedance rovná charakteristické impedance vlnovodu  $Z_0$ , tj.

přizpůsobené vedení, a to bez ohledu na to, jaká zátěž je připojena na rameno „výstup“. Používá se k oddělení generátorů, varaktorových násobičů a zesilovačů, aby změna zátěže nezpůsobila nestabilitu funkce, kmitočtu atd.

Cirkulátor lze také amatérsky zhотовit (obr. 6.51). Zobrazen je cirkulátor pro pásmo 10 GHz. Válečky z vysokofrekvenčního feritu jsou



Obr. 6.51. Cirkulátor pro pásmo 3 cm



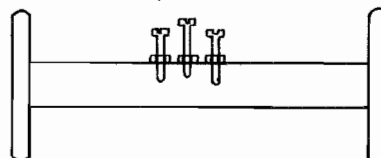
nalepeny uprostřed trojúhelníkových přizpůsobovacích terčů a přišroubovány šroubkami M2 do vlnovodu. Terče zakryjí otvory o průměru 10 mm pro permanentní magnety. Magnety mohou mít i větší rozdíl, ale nesmí přesahovat přizpůsobovací terč, aby nevznikla štěrbina do vlnovodu. Magnety přiléhají těsně k terči, aby vzduchová mezera v magnetickém obvodu nebyla příliš veliká. Jsou půlovány souhlasně, ocelové svorníky a stahovací plechy jsou součástí magnetického obvodu. Výšku feritových válečků ve vlnovodu je nutno vyzkoušet. Na všech ramenech cirkulátoru jsou trojice dolaďovacích šroubek. Pořadí ramen (smysl otáčení) cirkulátoru určuje smysl půlování magnetů.

Na jiná kmitočtová pásmá je možné rozměry zhruba přepočítat

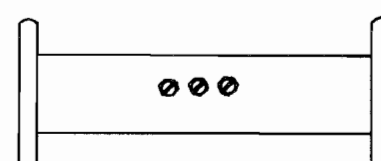
v poměru rozměrů vlnovodu, případně  $\Lambda_s$ . Hlavní práce spočívá v naštavení. Zapojíme vyrobený cirkulátor podle obr. 6.50 a postupně všechna ramena dolaďujeme na nejlepší přizpůsobení. Dosažené vlastnosti do značné míry závisí na použití feritu. Lze dosáhnout průchozího útlumu asi 0,3 dB a izolace 25 dB.

**Přizpůsobovací člen** (obr. 6.52). Skládá se ze tří, pěti, sedmi šroubků uprostřed vlnovodu ve vzájemných rozestupech  $\Lambda_s/4$  nebo  $\Lambda_s/8$ . Tam, kde z konstrukčních důvodů není možné použít rozestup  $\Lambda_s/4$ , je možné použít  $3/4 \Lambda_s$ . Vzhledem k tomu, že amatérská pásmá jsou dost úzká, je takový přizpůsobovací člen velmi užitečný.

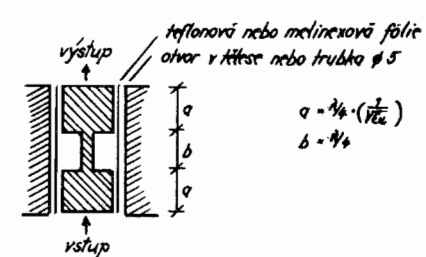
Obr. 6.52. Přizpůsobovací člen



Obr. 6.52. Přizpůsobovací člen



Obr. 6.53. Napájecí tlumivka



$f$	$\Lambda_s/4$	vlnovod	šrouby
5 650 MHz	20,5 mm	R 70	M4
10 368 MHz	9,3 mm	R 100	M3
24 500 MHz	3,75 mm (7 mm)	R 220	M2

$\rho$	$a$ teflonové malinové	$b$
5650	10 mm	8 mm
10 368	5 mm	4 mm
24 500	2 mm	2,7 mm

**Napájecí člen – tlumivka** (obr. 6.53) se jeví na obou koncích pro provozní kmitočet jako dobrý zkrat a nepropouští mikrovlnný signál z mikrovlnného obvodu ven. Slouží k napájení Gunnových diod, směšovacích diod, varaktorů, tranzistorů. Tloušťka izolační fólie bývá asi 0,1 mm. Jen je-li z různých důvodů zapotřebí snížit stejnosměrnou ka-

pacitu, je možné použít fólie tlustší a průměru menšího, ovšem za cenu menšího odhrazení mikrovlnného signálu. Střední část tlumivky má být co nejtenčí, ale díl musí být současně dostatečně pevný.

## Koaxiální technika

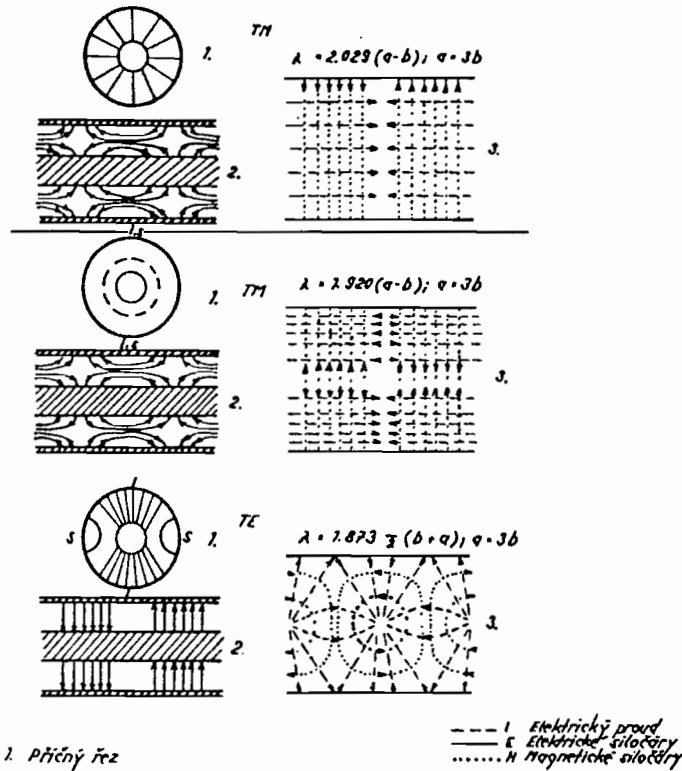
Vlnovodová technika patří do klasické radiotechniky. Je sice dnes, se svou padesáti letou tradicí, dosti zastaralou technikou, ale má své pevné místo, přes všechny moderní, méně pracné a levné technologie, hlavně na vysokých kmitočtech, milimetrových vlnách, v přenosech vysokých výkonů na mikrovlnách a jinde. Proto jsme se také věnovali dost podrobně vlnovodové technice. Snad i radioamatérů budou v blízké době aktivní na milimetrových pásmech a potom v začátcích práce na centimetrech najdou analogii.

Všechny popisované vlnovodové členy mohou mít koaxiální verzi, často snadněji zhodnotitelnou (viz směšovač obr. 6.44), většinou mnohem širokopásmovější a stabilnější vzhledem k nižším impedancím koaxiálního vedení ve srovnání s vlnovodem. Práce s koaxiálními vedeními se na mikrovlnách příliš neliší od práce na metrových a decimetrových vlnách, jen je třeba mít na paměti, že i v koaxiálním vedení – vlnovodu – se mohou vybudit různé vidy šíření.

Základním videm je vid TEM – transverzálně elektrický – magnetický, mezní kmitočet 0, tj. i vede stejnosměrný proud a  $Z_0$  nezávisí na kmitočtu, ale jen na geometrii vedení. Jde o vid, který se nejčastěji využívá. Nejbližše vyšší vidy jsou nakresleny na obr. 6.54. Pokud se vzniku těchto vidů vynemůžeme tím, že navrhneme koaxiální vedení dostatečně malého průměru, můžeme pracovat stejně jako na nižších kmitočtech.

## Plošné struktury – pásková vedení

Moderní mikrovlnné obvody se navrhují ve struktuře plošné, kde vedení signálu, transformace impedance a cirkulátory jsou provedeny vodivými pásky ve vzduchu, mezi teflonovými deskami nebo napaře-



Obr. 6.54. Vidy šíření v souosém vlnovodu

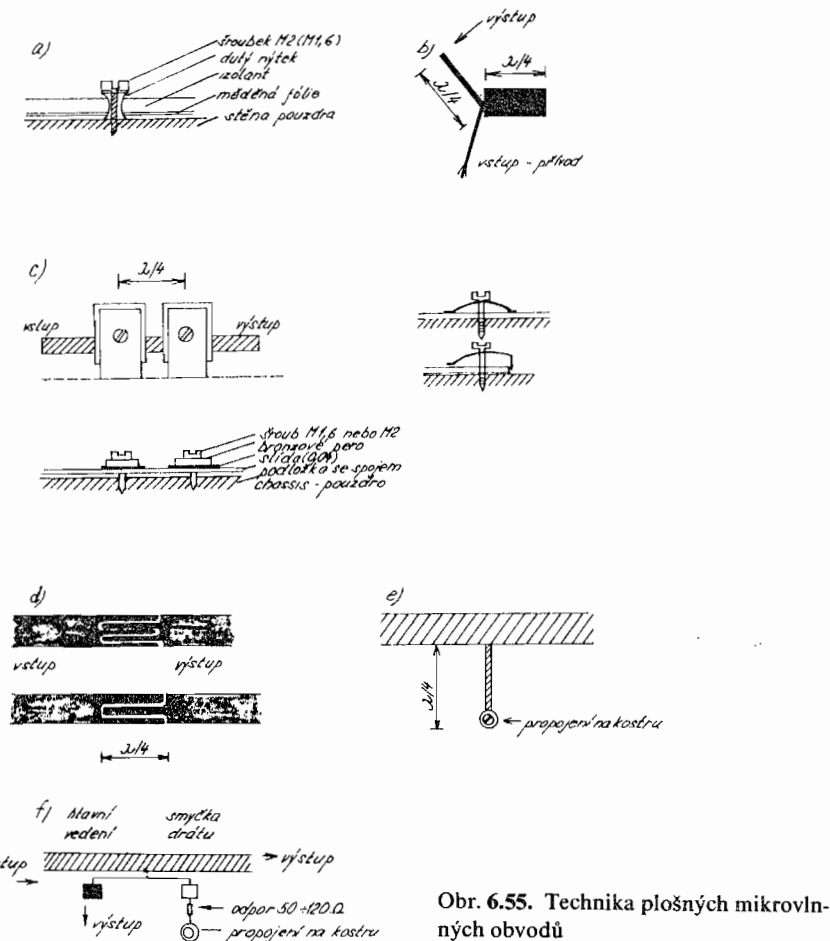
1. Příčný řez
2. Podélný řez
3. Obtížení povrchu sklo - rozbíjený trac

$a$  - vnější poloměr rotačního rodiče  
 $b$  - vnitřní poloměr rotačního rodiče

— Elektrický proud  
 - - - Elektrické silové liny  
 ..... Magnetické silové liny

nými na korundu, křemeni, pro nižší kmitočty vyleptanými na cu-prexititu, skloteflonu a jiném plátovaném materiálu. Vedení je zásadně uskutečněno videm TEM, výpočet vedení běžným způsobem podle uvedených nomogramů. Některým těmto strukturám se říká mikrovlnné integrované obvody proto, že tato technologie dovoluje sdružit do jednoho celku celý obvod včetně napájecích členů, oddělovacích členů a ostatních součástek. Tyto obvody jsou velmi efektní, ale pro radioamatérskou praxi se příliš nehodí, protože jejich návrh je dosti pracný a úpravy při uvádění do chodu poněkud obtížné. Přesto uvedeme několik zásad. Stabilnější jsou obvody na oboustranném spoji.

Spodní strana je celistvá měď, kterou je ale nezbytné spojit s pouzdem jednak u vstupu, jednak u výstupu, ale také v dalších místech obvodu, která mají mít nulový potenciál (vf zem). Tyto propojky provedeme nejlépe tak, že do spoje vmontujeme dutý nýtek, proletovaný s celistvou zemnicí fólií, a provlékнемe jím šroubek M2 nebo M1,6, kterým fólii (deskou) přitáhneme k pouzdu (obr. 6.55a). Šroubový spoj musí být čistý. Nebezpečí nejistoty zemního spoje odpadá, je-li



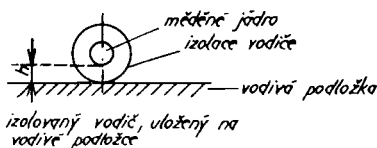
Obr. 6.55. Technika plošných mikrovlnných obvodů

spoje jednostranný. Vlastnosti obvodu však závisí také na dokonalém přitlačení desky se spojem k pouzdu. Zemnit vf je možné čtvrtvlnním úsekem vedení o nízké  $Z_0$ . Je to vhodné do napájecích členů, ale zásadně nevhodné pro vytvoření rozhodujících zemí – emitorů a sourců tranzistorů a podobně. Několik užitečných rad je na obr. 6.55. Obr. 6.55 b zobrazuje napájecí člen. Skládá se ze dvou čtvrtvlnních úseků vedení délky  $\lambda/4 \cdot (\sqrt{\epsilon_r})^{-1}$ , kde  $\epsilon_r$  je relativní permitivita podložky. Na vzájemné poloze obou úseků skoro nezáleží, rozhodující je, aby sériový úsek byl co nejtenčí (nejvyšší  $Z_0$ ) a paralelní naopak co nejtlustší (nízká  $Z_0$ ). Člen na výstupu, který se připojuje k napájecímu objektu, vykazuje na pracovním kmitočtu vysokou impedanci.

Základem návrhu vlastního obvodu je transformace impedance. K tomu je potřeba dokonale ovládat impedanční rovinu Smithova diagramu (viz další kapitola). Transformaci provedeme pomocí úseků páskových vedení vhodné  $Z_0$  a vhodné délky, sériově či paralelně zapojených k signálové cestě. Někdy je výpočet obtížný nebo není dostatek údajů o použité součástce. Potom trpělivému radioamatérovi pomůže „všeck“ v podobě ladicího členu (obr. 6.55c). Prohnutá bronzová pera, přitlačovaná šroubkou přes slídovou desku k páskovému vedení na desce, tvoří proměnné kapacity, umístěné ve vzdálenosti  $\lambda/4 \cdot (\sqrt{\epsilon_r})^{-1}$ , kde  $\epsilon_r$  je relativní permitivita desky. Uzemnění přes šroubky je nespolehlivé, proto je lepší umístit přizpůsobovací člen ke kraji desky a jeden konec pera opřít přímo na kostru. Je samozřejmé, že pera uděláme co nejmenší, aby nerezonovala. Zapojíme-li takový přizpůsobovací člen na vstup a druhý na výstup předchozího tranzistoru (průchozí vedení  $Z_0 = 50 \Omega$ ), dokážeme přizpůsobit prakticky každý tranzistor – vznikne zesilovač. Zesilovač je ale trochu nestálý a šroubky svádějí ke stálému dodaňování. Proto je lepší po nastavení zesilovače šroubky alespoň některé proměnné kapacity odmontovat a nahradit kondenzátory. Šroubek pak poslouží jako blízký přívod země. Stejnosměrné oddělení je možné provést kondenzátory ze stabilitu (označené J) pro vyšší kmitočty bez přívodů (sloupneme zalévací pryskyřici a opatrně odletujeme přívody). Do obvodu letujeme tyto kondenzátory kadmiovou pájkou, aby se stříbro přívodů nerozplustilo. K zaletování obvykle stačí pájka, která na kondenzátoru byla, ale smyčku páječky je nutné očistit a mnoho nehrát. Rozměr

kondenzátorů se dá upravit broušením karborundovým brouska. Pohyby provádime ve směru polepů, aby se stříbro a pájka při broušení nevšíraly do dielektrika.

Na plošném spoji lze vytvořit stejnosměrné oddělení jako čtvrtvlnný úsek vázaných vedení (obr. 6.55 d). Průchozí vedení, které má být pro stejnosměrný proud rozděleno, je přerušeno úsekem vázaných vedení délky  $\lambda/4 \cdot (\sqrt{\epsilon_r})^{-1}$ . Rozdělovací štěrbina má být co nejužší (asi



Výška jádra nad vodivou deskou pro $Z_0 = 50 \Omega$						
$h$						
$\phi$ jádro rodice	Poměrná permittivita izolace rodice $\epsilon_r$	1	2	3	4	5
2,7 mm	0,117	0,68	1,24	1,77	2,46	mm
1,7 mm	0,152	0,56	0,99	1,45	1,86	mm
1,1 mm	0,1	0,36	0,67	0,91	1,22	mm
0,6 mm	0,05	0,23	0,38	0,56	0,76	mm
0,25 mm	0,025	0,075	0,15	0,23	0,30	mm

Závislost charakteristické impedance  $Z_0$  o výšce jádra  
rodice nad deskou pro drát  $\phi 1,7$  a běžnou izolaci  $\epsilon_r = 3$

$Z_0$ [ $\Omega$ ]	$h$ [mm]
30	0,15
40	0,5
50	0,99
70	2,25
100	6,5
200	12,2

Obr. 6.56. Mikrovlnné drátované spoje

0,1 mm), aby spojení bylo dostatečně širokopásmové. Pro větší nároky se může vytvořit více „prstů“.

Propojení na kostru, takové, aby co nejméně ovlivňovalo výprenos, provedeme úsekem vedení délky  $\lambda/4 \cdot (\sqrt{\epsilon_r})^{-1}$  s vysokou  $Z_0$  (co nejuzší). Obr. 6.55 e.

Směrový vazební člen pro kontrolní obvody nejsnáze realizujeme tak, že k vyleptanému páskovému vedení přiblížíme smyčku drátu (asi 0,5 mm). Smyčka je upevněna na letovacích bodech, rovněž vyleptaných na desce, a na jednom konci zatížena odporem. Hodnotu odporu vybereme tak, aby směrovost vazby byla co nejlepší. Polohou smyčky pak nastavíme požadovaný vazební útlum. Vazba nakreslená na obr. 6.55 f snímá postupnou vlnu. Na výstup lze přiletovat přímo detekční diodu.

Je však nutné upozornit, že plošné obvody na vysokých kmitočtech dost vyzařují, a proto je značné nebezpečí přeslechů a vybuzení nezádoucích kmitů – rezonancí pouzder. Prostory je možné v případě potřeby tlumit feritovými vložkami nebo vložkami z útlumové hmoty pro konstrukci zatěžovacích odporů (viz obr. 6.48).

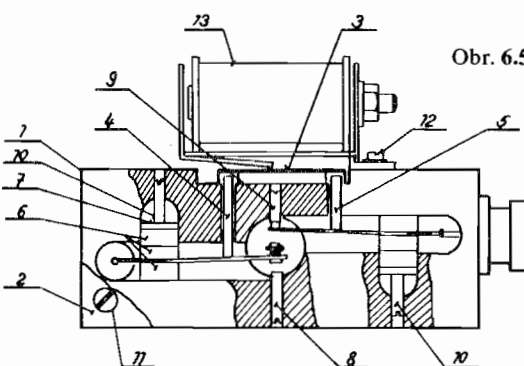
### Drátovaná plošná konstrukce

Drátovaná plošná konstrukce je velmi vhodná pro konstrukci výkonových zesilovačů hlavně na nižší kmitočtová pásmá. Na plošné desce jsou vyleptány pouze nosné body pro upevnění součástek – odporů a kondenzátorů včetně proměnných. Indukčnosti jsou provedeny jako smyčky nebo cívky nad deskou. Všechny součástky jsou montovány pouze z jedné strany desky, a to ze strany spojů, jen chladicí šrouby tranzistorů a zemnicí spoje jsou protaženy otvory v desce se spojem. Použije-li se tato technika pro velmi vysoké kmitočty, pak přizpůsobovací obvody složené z kondenzátorů a smyček (cívek) nahrazují desky vedení, vytvořené z kousků izolovaných vodičů. Pro základní orientaci poslouží obr. 6.56 s tabulkou  $Z_0$ . Návrh není nutné vypracovat příliš přesně. Obvody realizované touto technikou se snadno dodařují.

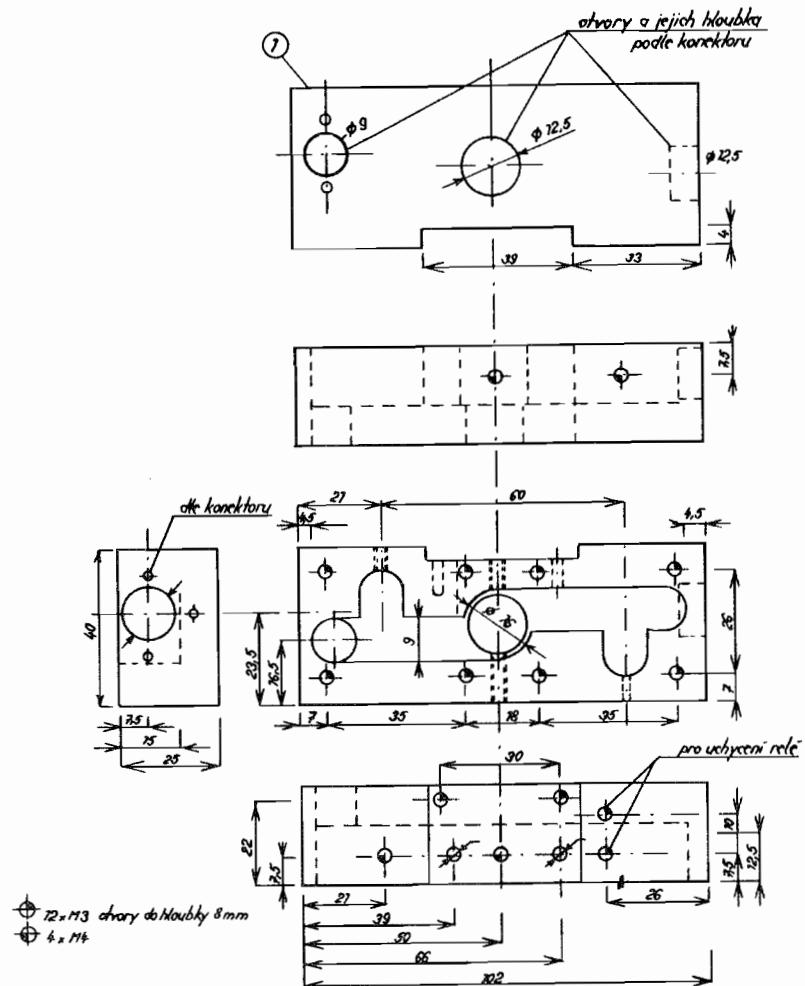
## Anténní relé pro větší výkony

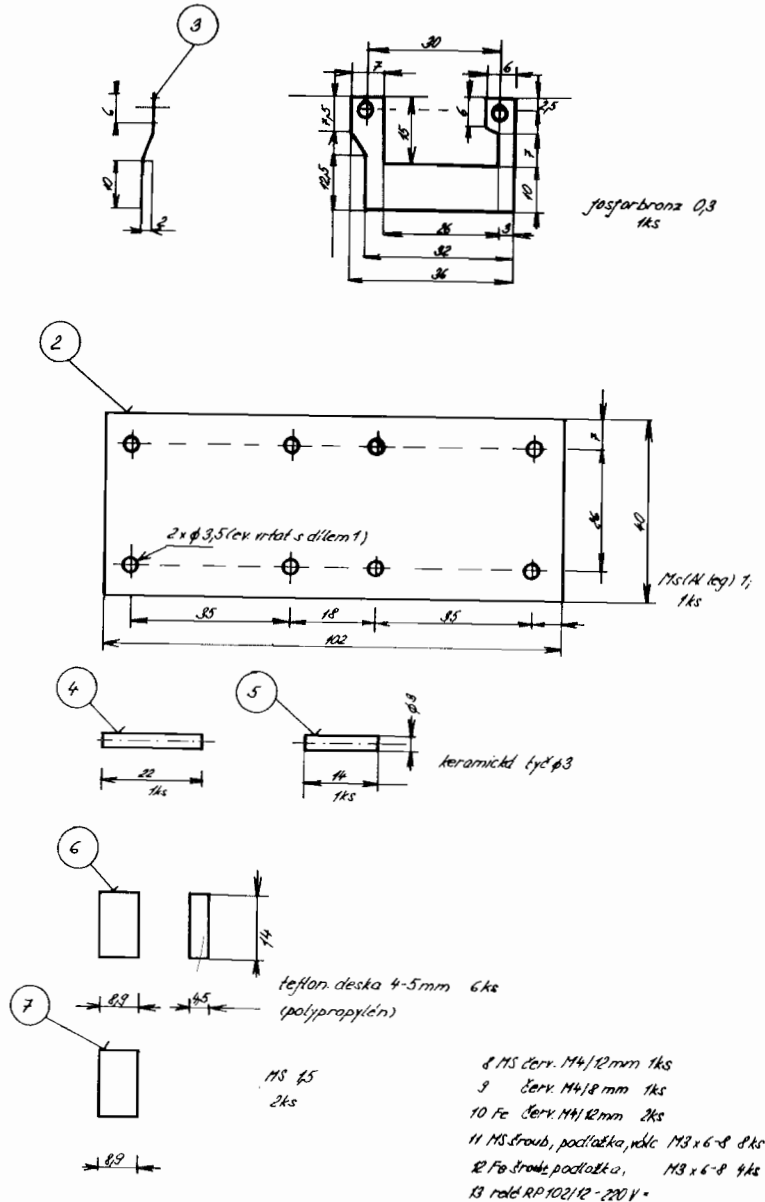
Anténní relé v našich podmírkách není věci jednoduchou, protože co radioamatér, to jiný soubor koaxiálních konektorů. Návrh je nutno brát jako ideový. Důležité je, aby byly zachovány impedance v celé přepínací cestě. Podle použitých konektorů musí být upraveny otvory i střední vodiče až k přechodům na pera. Impedance přepínací cesty je 75 ohmů.

Jako magnet je použita část relé RP 102, kterému byla zkrácena kotva, aby nepřesahovala rozměr základní části. Přepínací pera RP 102 jsou postříbřena a použita v relé. Jsou přiletována ke středním vodičům konektorů a zafixována mezi teflonovými (polypropylenovými) destičkami (díl 6), 3 ks v každé cestě. Izolační prvky jsou staženy pomocí šroubů M4 (díl 10) přes kovovou destičku (díl 7). Střední přepínací kontakt je zkrácen asi na 7 mm a naletován do středního vodiče výstupního konektoru. Pera jsou překlápěna pomocí izolačních tyček z keramiky nebo jiné izolační hmoty. Pohyb kotvy se přenáší na tyčky přes speciálně tvarované fosforbronzové pero, a to tak, že přepíná kontakty postupně. Nejdříve se uzemní konektor do přijímače a až pak se připne pero z konektoru vysílače na výstup. Základní deska (díl 1) musí být mosazná a postříbřená, pokud budou pouzdra konektorů letována. Při šroubovaném spojení mohou být díly 1, 2 z hliníkové slitiny.



Obr. 6.57. Anténní relé pro větší výkony





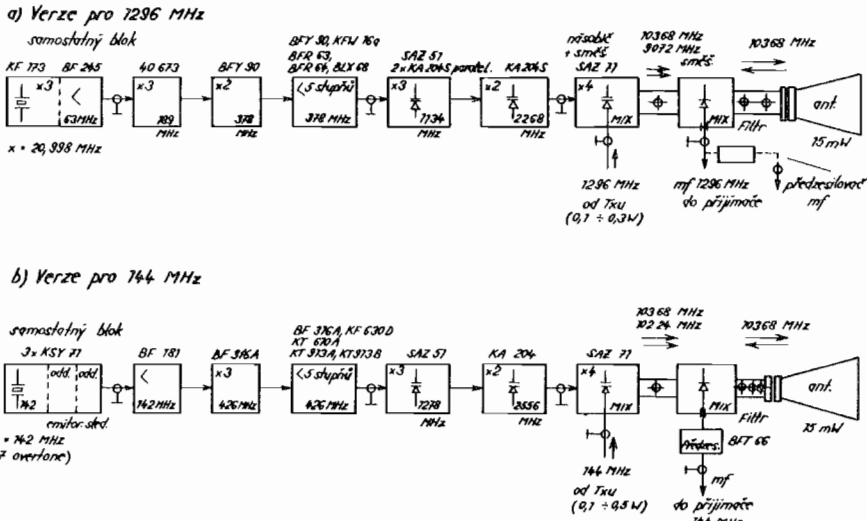
## Literatura

- [1] Bohumil Kvasil: Teoretické základy techniky centimetrových vln. SNTL 1956.
- [2] Ginzfon, E.L.: Miernictwo mikrofalove, PWT 1961.
- [3] Waveguide Handbook. McGraw Hill 1951.
- [4] Handbook and Buyers Guide. McGraw Hill 1958.
- [5] Wire Line A New Easy Method of Microwave Circuit Construction. QST, July 1981.
- [6] Reithofer: Amateurfunkgeräte für das 10 GHz-band. Franzis 1982.
- [7] Heidemann, R.: Gunn-Oscillator für das 24 GHz-band. UKW-Berichte 3, 1981.
- [8] Mallwitz, U.: Versuche mit einem 10 GHz vervielfacher mit Finger-filter Ankopplung. UKW Berichte 3, 1981.
- [9] Reihofser, S.: 24 GHz Durchblasenmischer. UKW Berichte 4, 1981.
- [10] Schäfer, E.: Gunn-Oscillator (Detektor) mischer für 24 GHz. UKW Berichte 4, 1981.
- [11] Smirenin, B.A.: Radiotechnická příručka. SNTL 1954.
- [12] Meinke, H. H.: Kurven, Formeln und Daten aus der Dezimeterwellentechnik. Skriptum technischer Hochschule. München, skriptum 1964.
- [13] Punčochář, J.: Technika velmi krátkých vln. SNTL, skriptum 1964.
- [14] Dokument č. 6. SNTL 1954.
- [15] Dokument č. 7. SNTL 1954.
- [16] Ajzenberg, G.Z.: Anteny dlja magistralnyh radiosvjazej. Svjazizdat 1948.
- [17] Kovalev, I. S.: Těoriya i raščot poloskovych volnovodov.
- [18] Ajzenberg, G. Z.: Korotkovoľnyje anteny. GILC Moskva 1962.
- [19] -itk-: Rychlé programovatelné děliče kmitočtu pro fázové závěsy a čítače. Sdělovací technika č. 6 1983.
- [20] Sborník ze semináře instruktorů Svazarmu v Holicích 1986.
- [21] Zajcev, A. A., Saveljev, Ju. N.: Generatornyje SVČ tranzistory. Radio i svjaz 1985.

**SSB NA 10 368 MHz**

(S tímto zařízením bylo 30. 9. 1986 dosaženo spojení mezi stanicemi OK1AIY/P a PAQEZ na vzdálosť 738 km.)

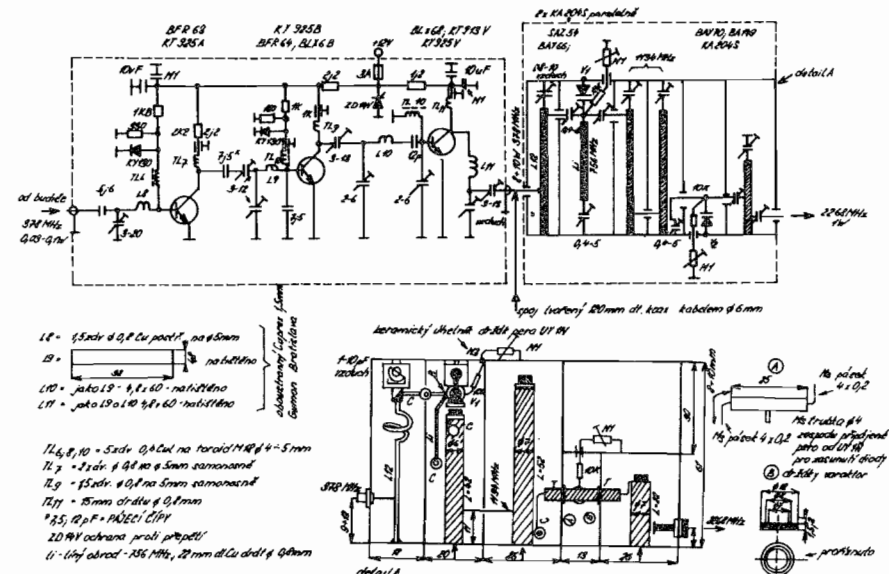
Představy o tom, jak by moderně řešený transvertor pro 3 cm měl vypadat, byly však od počátku redukovány praktickými materiálovými možnostmi. Výsledkem pokusů je jednoduchá konstrukce umožňující všechny druhy provozu v pásmu 10 368 MHz s výkonem řádu mW. Blokové schéma na obr. 7.1 ukazuje vyzkoušené verze, lišící se v podstatě jen mezifrekvenčním kmitočtem. Jedna je pro 23 cm, druhá přímo k dvoumetrovému zařízení.



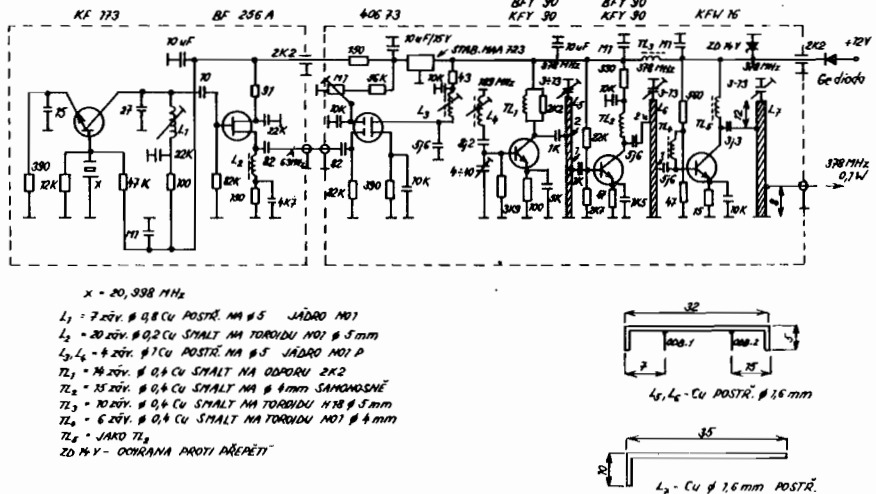
Obr. 7.1. Skupinové schéma transvertoru

## Popis jednotlivých stupňů

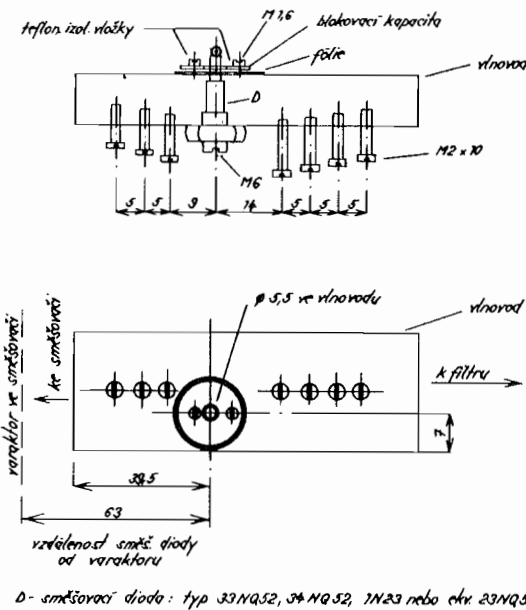
Oscilátor musí mít dobrou krátkodobou i dlouhodobou stabilitu a malý šum. Správně by měl být osazen výkonovým bezšumovým řešením, opatřen několika oddělovacími stupni a napájen dobrým stabilizátorem. Celkem by měl být umístěn v termostatu. Tento oscilátor je zhotoven klasickým způsobem na tištěnou destičku a zabudován do hliníkového bloku, získaného z demontovaného malého duálu z RM31 a přišroubován do skříně transvertoru v místech, kde se teplo mění co nejméně – to znamená, co nejdál od všech výkonových prvků. Podmínkou je dobrý krystal – to znamená ve skleněném pouzdře. Důležitá je pak přesnost kmitočtu. Byly použity upravené KA204 a zhotoven několikastupňový násobič. První je trojnásobič na 1 133,9 MHz, druhý násobič na 2 267,875 MHz. Velmi exponovaný je další



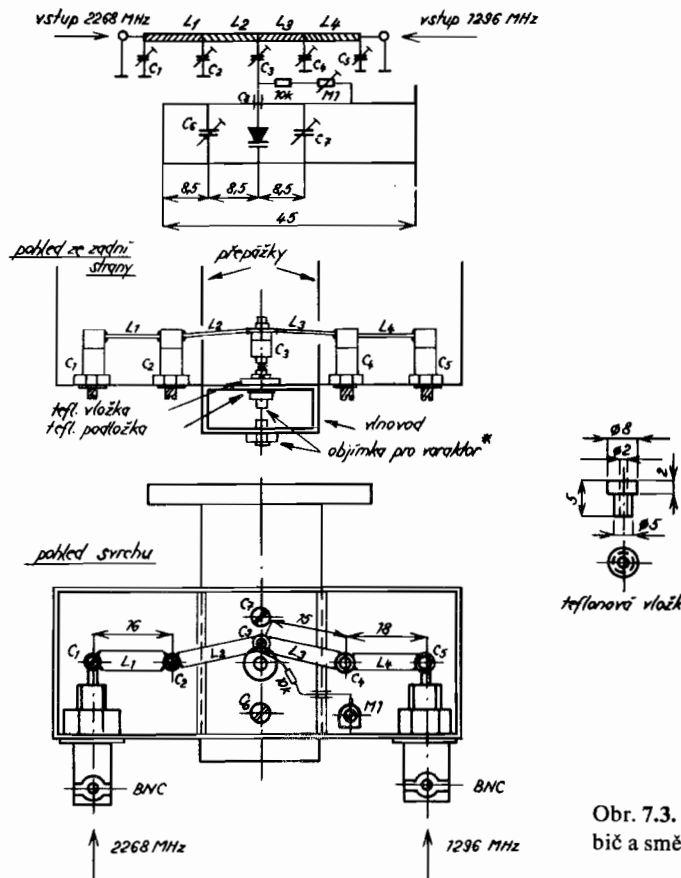
Obr. 7.2. Schéma násobiče



Obr. 7.4. Průchozí směšovač



D - směšovací dioda: typ 3N1052, 3N1053, 3N223 nebo akv. 20NQ5



Obr. 7.3. Varaktorový násobič a směšovač

díl (obr. 7.3), který násobí  $4 \times$  a zároveň se na něm přímichává signál SSB (v popisovaném případě 1 296 MHz). Ve výstupním obvodu, který je tvořen kouskem vlnovodu, se objeví jednak čtyřnásobek kmitočtu 2 267,875 MHz – to je 9 071,5 MHz, a zároveň v daleko menší míře i 10 368 MHz. Oba signály postupují vlnovodem dál a procházejí tzv. „průchozím směšovačem“ (obr. 7.4). I když to není nejlepší, je to určitě nejjednodušší řešení, protože není třeba antenní přepínač. Na směšovací diodu přichází z jedné strany injekce z oscilátoru, z druhé strany

ny pak z antény přijímaný signál. Mezi směšovačem a anténou je zařazen filtr, který zamezuje pronikání oscilátorového signálu do antény, brání parazitním příjmům i „sbírání šumu“ ze zrcadlového kmitočtu. V případě provedení pro mf kmitočet 1 296 MHz stačí jednoduchý filtr, protože oscilátorový kmitočet 9 071,5 MHz je vlastně dost daleko. V případě, že je použit mf kmitočet 144 MHz, používá se filtr víceobvodový a je třeba počítat s poněkud větším útlumem i pro kmitočet 10 368 MHz. Oba tyto typy filtrů jsou i s naměřenými hodnotami uvedeny na obr. 7.6.

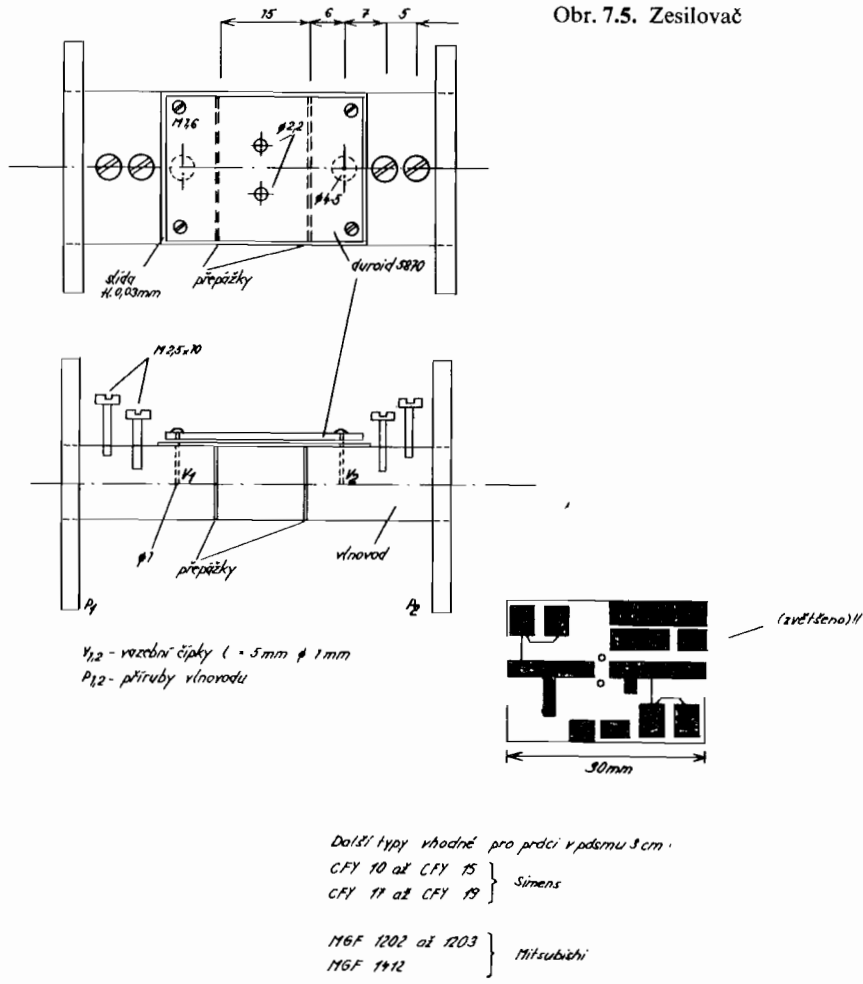
## Výkonové úrovni

Schéma na obr. 7.2 ukazuje zapojení celého transvertoru. Abychom získali alespoň jeden nebo několik miliwattů kvalitního SSB signálu na kmitočtu 10 368 MHz z posledního čtyrnásobiče – směšovače, musí být buzen několika stovkami mW (až 1 W) na kmitočtu 2 267 MHz. To vyžaduje, aby na polovičním kmitočtu, tj. 1 134 MHz, byly už nejméně 2 W výkonu. Uvážíme-li ztráty, bude předchozí ztrojovač vyžadovat alespoň 5 W výkonu na kmitočtu 378 MHz. Není na škodu rezerva vf výkonu na kmitočtu 378 MHz. Výkon rádu deseti wattů není na tomto kmitočtu již v dnešní době problémem. Poněkud horší je to už při praktické realizaci. Pak nezbývá, než experimentovat a doslova si hrát s každým obvodem. Velmi vhodné jsou tranzistory typu KT925 A, B a V. Třístupňový zesilovač v tomto uspořádání dodá potřebný výkon i při napájení napětím 11 V. Na posledním nejvýkonnějším stupni byl odzkoušen i typ KT913 V. Každý tranzistor je opatřen odpovídajícím chladičem. Pracovní třída u jednotlivých stupňů je nastavena zkusmo na největší výkon. První stupeň ve střídě B a poslední (je už dost vybuzený) ve třídě C. Pozor na kvalitu obvodových prvků (indukčnost a ladící kapacity). Konkrétně jsou tím myšleny kruhové keramické trimry z NDR, s kterými se velmi pohodlně pracuje, ale neměly by se používat nad 2 W výkonu (při kmitočtu 400 MHz). Nejsou přece jen pro tento účel konstruovány a dielektrickými ztrátami se zahřívají. Pro tento účel jsou vhodné trimry vzduchové. Zmíněný třístupňový zesilovač vyžaduje několik desítek mW budicího výkonu,

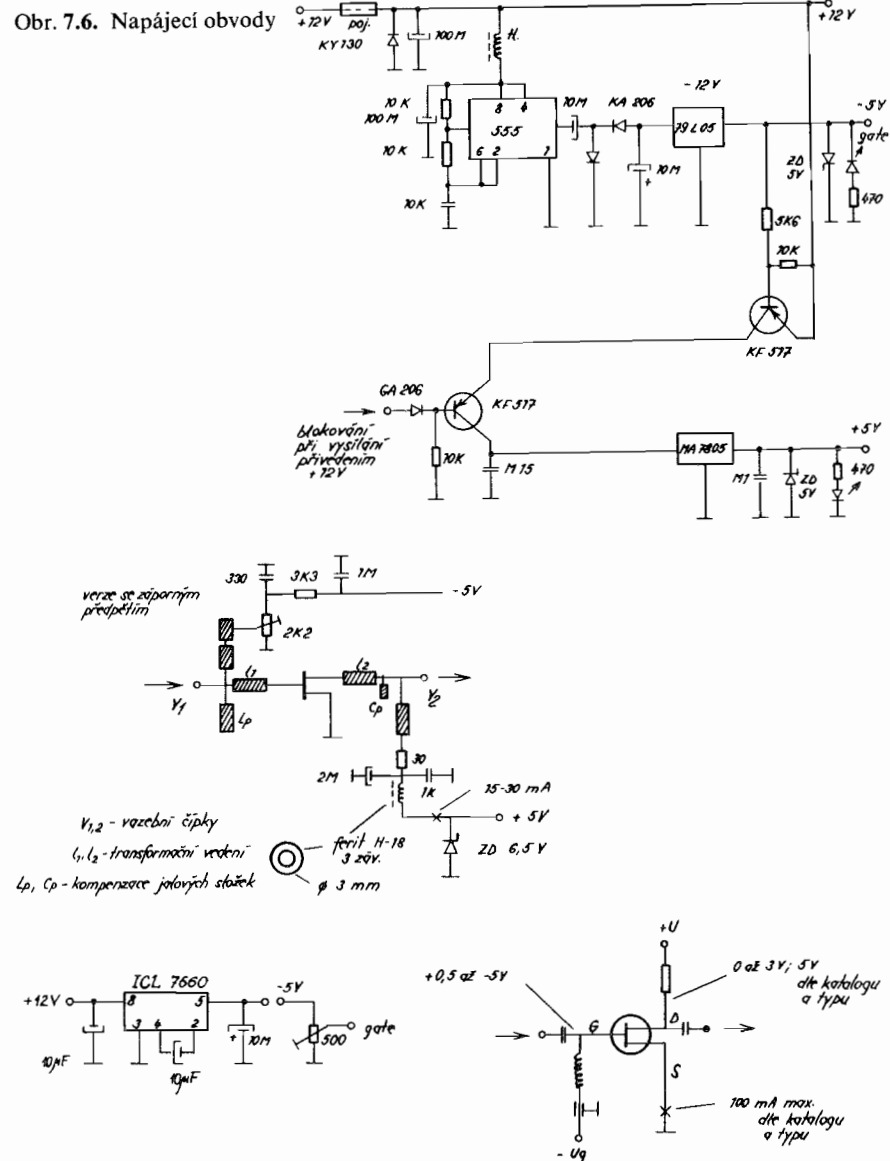
který dodává tranzistor KFW16. Ten je buzen prvním zesilovacím tranzistorem BFY90 nebo SF245. Před ním je zdvojovač osazen rovněž tímto typem. Vůbec prvním tranzistorem v celém řetězci za odděleným oscilátorem je Fet typu 40673 (KF907) nebo podobný, který slouží jako ztrojovač kmitočtu a omezuje vliv dalších stupňů na oscilátor. V obvodu  $G_2$  je regulovatelný dělič, kterým lze na této elektrodě měnit napětí. Měřením proudu směšovací diody a plynulou změnou tohoto napětí v rozsahu 0+6 V se musí i sledovaný proud plynule měnit od nuly do plné hodnoty. Je to vlastně zkouška, zda celý oscilátorový řetězec správně pracuje a není-li náchylný k oscilacím. Zároveň se jím v koncové fázi nastaví velikost oscilátorové injekce. Miliamper je zařazen trvale do obvodu směšovací diody a má bočníkem upravený rozsah na 3 až 5 mA. Je důležitou kontrolní pomůckou v praktickém provozu. Na jeho maximální výchylku se nastavují všechny obvody v oscilátorovém řetězci, včetně přizpůsobovacích šroubků před vlastní směšovací diodou. Lze použít jakýkoli typ směšovací diody, vhodné jsou 33–34NQ52, 1N23. Je-li k dispozici Schottkyho dioda, dosáhne se samozřejmě lepších přijímacích vlastností. Těsně za směšovací diodou by měl být zesilovač s bezšumovým tranzistorem, který mf signál zesílí a vykryje ztráty kabelu, jímž je transvertor připojen na vstup mezifrekvenčního přijímače.

## Praktické provedení zesilovače pro 10 368 MHz

Vzhledem k tomu, že signál je veden vlnovody, je i zesilovač v tomto uspořádání. Vlastní zapojení je vyleptáno na materiuu Duroid 5870, což je PTFE oboustranně plátovaný materiál, a vstup i výstup je do vlnovodu navázán malými vazebními anténkami. Destička Duroidu s vyleptaným přesným motivem je na vlnovod přišroubována, takže zesilovač tvoří kompaktní celek (obr. 7.5). Velmi důležité je vlastní provedení zesilovače a jeho napájení. Komplikace je v tomto případě s předpětím pro elektrodu  $G$  (Gate = hradlo). U podobných zesilovačů pro nižší kmitočty se to řeší odporem v elektrodě  $S$  (Source), což je vlastně předpětí získané na vysokofrekvenčně zablokovaném emitó-



Obr. 7.5. Zesilovač



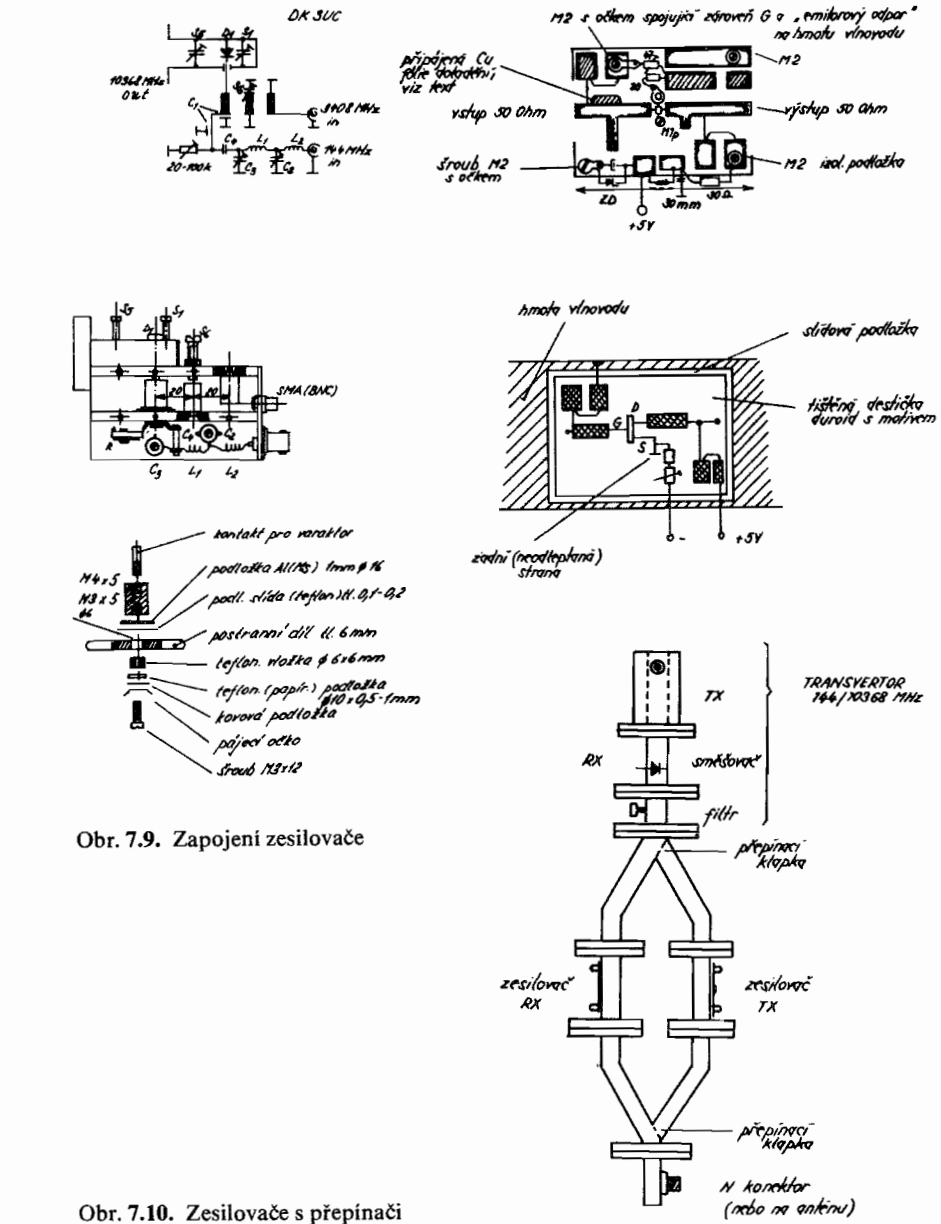
rovém odporu. V tomto případě je totiž dost obtížné realizovat dokonale zablokování zmíněného odporu nějakým klasickým kondenzátorem. Vznikají problémy se ziskem a stabilitou zesilovače, navíc takový nedokonale zablokovaný emitorový odpor představuje přímo zdroj šumu. Proto se elektroda  $S$  uzemňuje přímo a záporné předpětí se řeší samostatným zdrojem. Praktické provedení je na obr. 7.6 a 7.7, kde

je ještě zajištěno, aby se záporné předpětí na „gejtu“ objevilo dřív, než vlastní napájecí na elektrodě *D* (Drajn). Je třeba si uvědomit, že většina špičkových GaAs fetů nemá z důvodu dosažení nejlepších šumových hodnot elektrodu *G* chráněnou a hrozí nebezpečí zničení. Na obr. 7.8 je pro ilustraci uvedeno, co je pro GaAs Fet nebezpečné, jaká napětí a polarity jsou přípustné. Nikdy „neměřte“ gallium arsenidové součástky obyčejným ohmmetrem. I napětí 1,5 V je dost velké a součástky umí „odejít“ velmi rychle – vždyť jejich mezní kmitočet je až 90 000 MHz.

Přes všechny tyto problémy byl experimentálně zhotoven zesilovač, který je proveden velmi podobně jako typy se samostatným předpětím, to znamená, že mechanicky je prakticky stejný. Jen tištěná destička není na ploše vlnovodu přišroubována přímo, ale přes slabou sli-dovou podložku, takže je galvanicky odizolovaná, ale z hlediska 10 368 MHz vysokofrekvenčně spojena (obr. 7.9). Emitorový odpór (v elektrodě *S*) je zapojen mezi spodní neodleptanou plochu tištěné destičky a minusem. Materiál Duroid 5870 na obr. 7.5 tloušťky 0,79 mm je po vyleptání motivu natolik slabý, že nedrží rovný tvar a křiví se. Proto je připájen na stejně velký kus pocínovaného plechu tloušťky 0,4–0,6 mm, který jej mechanicky zpevní. Otvory pro připevňovací šrouby je třeba do plechu provrtat ještě před připájením poněkud větším vrtákem, aby nedošlo k jejich zkratu se spodní neodleptanou plochou. Zpevněná tištěná destička je namontována na širší straně vlnovodu, který je dvěma přepážkami z mosazného plechu zaslepen. Tyto přepážky jsou prostrčeny průřezy provedenými lupenkovou pilkou do užších stran vlnovodu a na vařiči se pak zapájí cíinem. Možná, že se zapájení nepovede v požadované kvalitě, ale je potřeba dokonale propájení, aby výstup „neviděl“ na vstup.

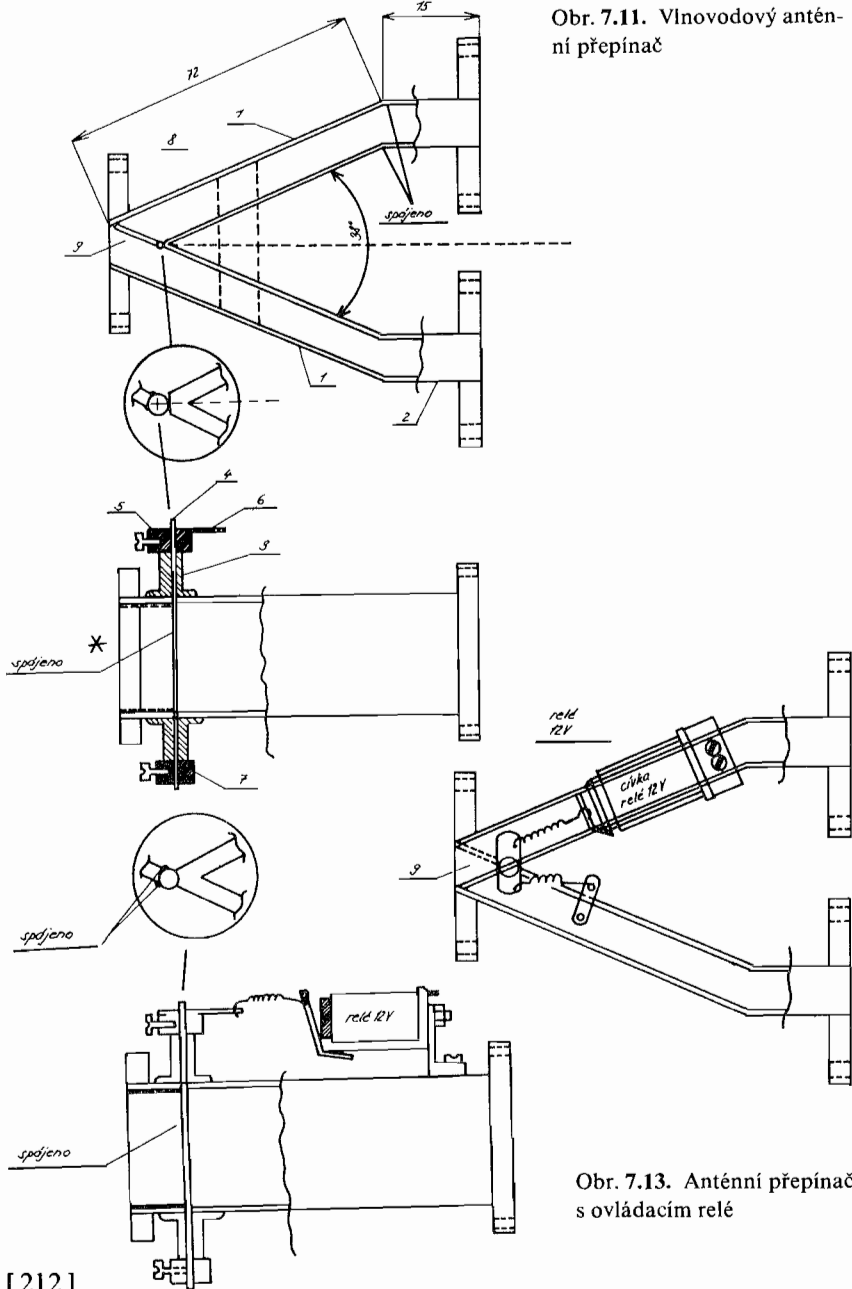
Popsané zesilovače byly zhotoveny dva, jeden pro vysílání, druhý pro přijímací stranu. Přepínají se pomocí dvou mechanických přepínačů. Celková sestava je na obr. 7.10.

Je třeba zajistit, aby při vysílání nebyl stejnosměrně napájen stupeň pro příjem a naopak při příjmu odpojené napětí ze zesilovače pro TX. Čím pečlivěji je relé provedeno, tím lepších naměřených hodnot se dosáhne. Důležité je, aby přepínací klapka dobře dosedla v obou krajních polohách. Rozměry přepínače jsou na obr. 7.11, 7.12, 7.13.

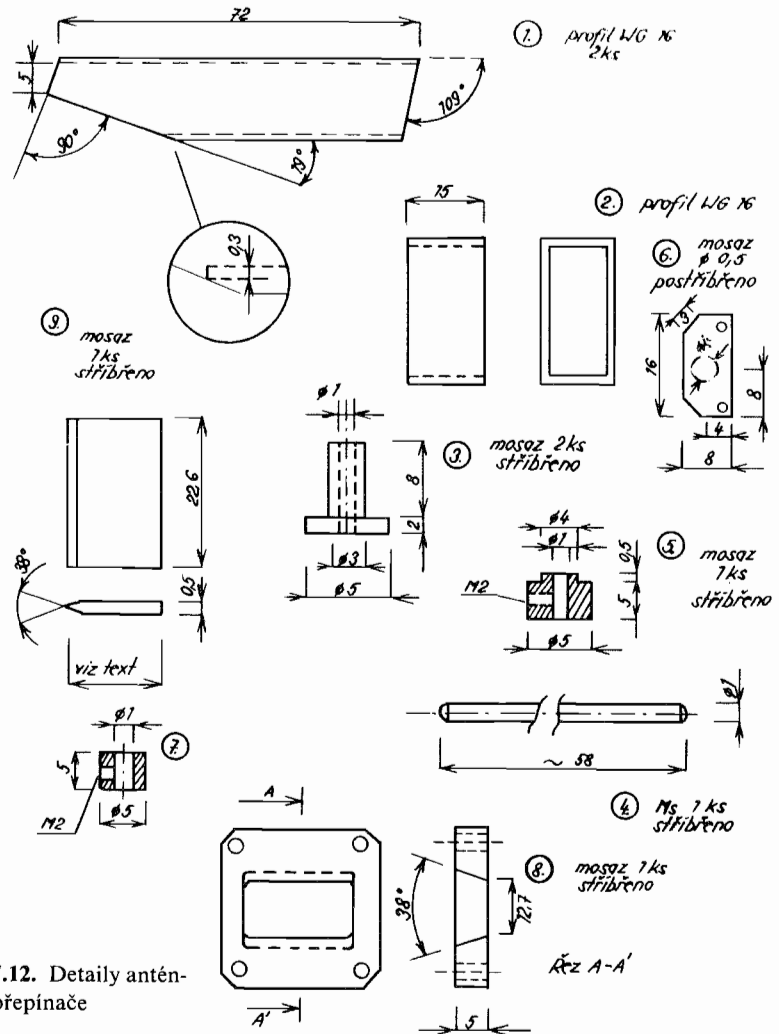


Obr. 7.9. Zapojení zesilovače

Obr. 7.10. Zesilovače s přepínači



Obr. 7.11. Vlnovodový anténní přepínač

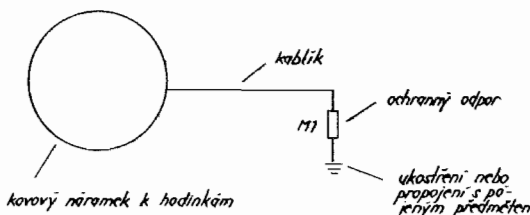


Obr. 7.12. Detaily anténního přepínače

### Konečná montáž a seřízení zesilovače

Připájení GaAs fetu na tištěné destičce kompletne zapojenou a stejnosměrně proměřenou je poslední operací. Je třeba ji provádět

mikropáječkou na malé napětí, která je vodivěji spojená (kablikem) s tištěnou destičkou přišroubovanou na vlnovodu a v okamžiku pájení mikropáječkou odpojit od sítě. Pracovník provádějící tuto operaci musí být spojen s pájeným předmětem (nejlépe kovovým náramkem dle obr. 7.14), nesmí mít na sobě silikonový oblek, ani jeho části a náradí, židle i podlaha nesmí být opatřena umělými hmotami nebo lakenem, který způsobuje vznik elektrostatického napětí. Požadavků není

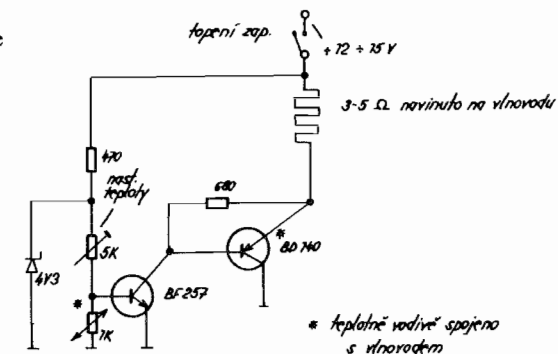


Obr. 7.14. Ochranná pomůcka

málo, ale jsou to všeobecné předpisy pro práci s MOS prvky a jedině jejich dodržením se vyvarujeme zničení součástky. Je-li už GaAs fet zapájen v zapojení s obvodovými prvky, nebezpečí zničení není tak veliké. Je vhodné použít nízkotavitelné pásky, v popsaném vzorku však bylo použito normálního cínu. Poté je možné připojit zesilovač na napájecí napětí a změnou předpětí nebo emitorového odporu se přesvědčit, zda se mění proud. Následuje připojení vstupu zesilovače na signál z generátoru nebo přímo z TXu (nejlépe přes malý útlum 3–6 dB) a miliwattmetru na jeho výstup. Následuje mravenčí práce s nastavováním všech prvků na maximální výchylku přístroje na výstupu. Přizpůsobení je nastavováno zmíněnými šrouby na vlnovodu, malé nepřesnosti v mechanických rozměrech motivu lze vysledovat přípravkem ( $1,5 \times 1,5$  mm kousek Cu fólie nalepený na zápalku), kterým opatrně osaháváme vstupní i výstupní stranu natištěného motivu. Na výstupním miliwattmetru sledujeme, zda stupeň zesiluje víc, nebo jestli už neosciluje. Nastavení je třeba dovést do takového stavu, aby co nejlépe zesiloval a neměl sklon k oscilacím – to znamená, že po vypnutí buzení musí ručka indikačního výstupního přístroje spadnout ihned na nulu. Jestliže se ukáže potřeba doladění – příslušně velký kousek Cu fólie se v patřičném místě připájí (na obrázku je naznače-

no místo, kde byl připájen kousek fólie  $2 \times 3$  mm u popisovaného vzorku). Po „natrénování“ nastavení je třeba jej ještě zopakovat v celkové sestavě s oběma relé a se zářičem. Jestliže zůstane stejně – je vše dobré přizpůsobené a je předpoklad, že zesilovače budou stabilní i v provozu.

Obr. 7.15. Teplotní stabilizace vlnovodu



Jisté problémy se stabilitou může způsobit i provoz v prostředí s kolísající teplotou, např. na horách a v noci, kde rozhodně stabilní pokojovou teplotu  $20^{\circ}\text{C}$  nemůžeme očekávat. Je možné použít zapojení na obr. 7.15, kde jednoduchý obvod část vlnovodu zahřívá. Izolovaný odporový drát  $3-5\Omega$  je navinut na vlnovod, např. poblíž přírub nebo jinde, kde je alespoň kousek místa, a zajištěn např. uponem. Rovněž napájecí tranzistor a regulační termistor jsou s vytápeným vlnovodem vodivě spojeny. Jde o opatření energeticky náročné, protože hmota vlnovodu teplo dobře odvádí, ale tepelné poměry alespoň na krátkém úseku se zlepší.

Mechanické rozměry motivu jsou různé podle vstupních a výstupních impedancí použitych tranzistorů. Použije-li se jiný motiv, který pro něj není určen, zesilovač většinou vůbec nezesiluje, ale popsaným způsobem lze vysledovat, do kterého místa bude třeba připájet kousek fólie (případně ostrým nožem kousek odříznout). Prakticky se řeší tyto zesilovače s pomocí Schmidtova diagramu a hodnot, které jsou uvedeny v katalogu.

## Konečné seřízení transvertoru

Nejdůležitějším přístrojem je detekční sonda pro pásmo 3 cm, která má podobu několik cm dlouhého vlnovodu s přírubou, na jehož uzavřené a správně impedančně přizpůsobené straně je detekční dioda. Indikační měřicí přístroj musí být citlivý, ale nesmí mít velký vnitřní odpor. Vyhovují přístroje, jejichž systém je navinut poněkud silnějším drátem a jejich odpor je jen několik desítek ohmů. Je-li sonda pečlivě provedena, je možné ji pro jeden kmitočet i ocejchovat a použít jako miliwattmetr. Indikovat je možné výkony již od 10 až 20  $\mu$ W. Při seřizování vysílací části transvertoru se sonda připojí na výstup (za filtr) místo antény. Není-li směšovač buzen signálem 1 296 MHz a je-li filtr v pořádku, nesmí sonda indikovat žádný výkon. Zvětšovat buzení je možné jen pokud stoupá úměrně i výstupní výkon. Pak by nebyl již SSB signál kvalitní. Dosáhne-li se alespoň nepatrného výkonu, pak stačí jen všemi nastavovacími prvky dotáhnout signál na maximum.

## Hrubá kontrola kmitočtu vysílače (je-li v pásmu)

Není-li k dispozici vlnoměr, je možné provést měření kmitočtu jednoduchým způsobem:

Zmíněnou detekční sondou se postupuje proti otevřenému vlnovodu (tedy v elektromagnetickém poli) a protínají se kmitny napětí. Znamená to, že po každém úseku vzdáleném  $\lambda/2$  přístroj indikuje maximální výchylku. Stačí jen tuto vzdálenost přesně změřit, znásobit dvěma a přepočítat na kmitočet. Pro větší přesnost je vhodné změřit několik maxim. Jestliže by se ukázalo, že některá maxima nesouhlasí a nebo od sebe nejsou stejně daleko, znamená to, že ve vlnoměru je přítomen ještě další kmitočet. Tím je zkонтrolováno, že vysílaný kmitočet je opravdu v pásmu. Přesně se kmitočet zjistí tak, že se co nejpresněji změří základní oscilátor, vynásobí a přičte mf kmitočet.

## Kontrola činnosti přijímače

Není-li k dispozici signální generátor, nabízí se jeho improvizace pomocí vysílače pro 144 MHz a varaktorového násobiče. Sedmdesátá druhá harmonická ze 144,0 MHz je 10 368 MHz, takže stačí pustit přesně naladěný signál z vysílače do jednoduchého násobiče a nasměrovat proti anténě. Po zachycení na přijímači je možné se přesvědčit, zda jsou přizpůsobovací šroubky na směšovači správně nastaveny a že to, co bylo nejlépe nastaveno na vysílání, vychází i pro příjem. Dále je možno experimentovat s proudem diody, zkoušet nějakou lepší diodu, prověrovat funkci antény atd.

## ■ Literatura

- [1] Amatérské rádio, č. 1, 2/1977: „Ze 144 MHz na 2 304 MHz“.
- [2] Amatérské rádio, č. 7, 8/1979: „SSB na 2 304 MHz“.
- [3] Amatérské rádio, č. 3, 4/1981: „Tranzistorový transvertor na 2 304 MHz“.

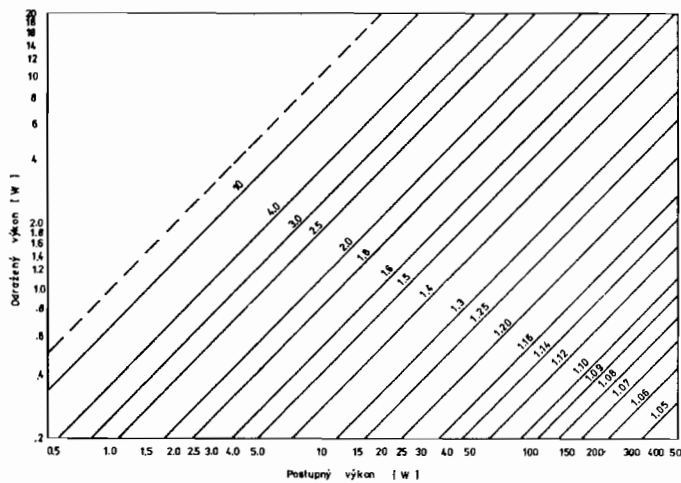
## GRAFY PRO MIKROVLNY

Graf na obr. 8.1 zobrazuje závislost činitele stojatých vln ČSV u vedení na výkonu postupné vlny (vyjadřujeme na vodorovné ose ve wattech). Hodnota ČSV se vyčíslí pomocí vztahu:

$$\text{ČSV} = \frac{1+s}{1-s},$$

kde  $s$  je činitel odrazu a platí pro něho  $s = \frac{U_{\text{odraž}}}{U_{\text{postup}}}$ , přičemž  $U_{\text{odraž}}$  je velikost napětí odražené vlny a  $U_{\text{postup}}$  obdobná veličina u postupné vlny.

Přitom platí  $(\frac{U_{\text{odraž}}}{U_{\text{postup}}})^2 = \frac{P_{\text{odraž}}}{P_{\text{postup}}}$ .



Obr. 8.1. Závislost činitele stojatých vln u vedení na výkonu postupné vlny

**Příklad:** Určete velikost ČSV pro výkon postupné vlny 20 W, jestliže výkon odražené vlny  $P_{\text{odraž}}$  je 4 W.

**Řešení:** Nejprve určíme velikost činitele odrazu

$$s = \sqrt{\frac{P_{\text{odraž}}}{P_{\text{postup}}}} = \sqrt{\frac{4}{20}} = 0,4472.$$

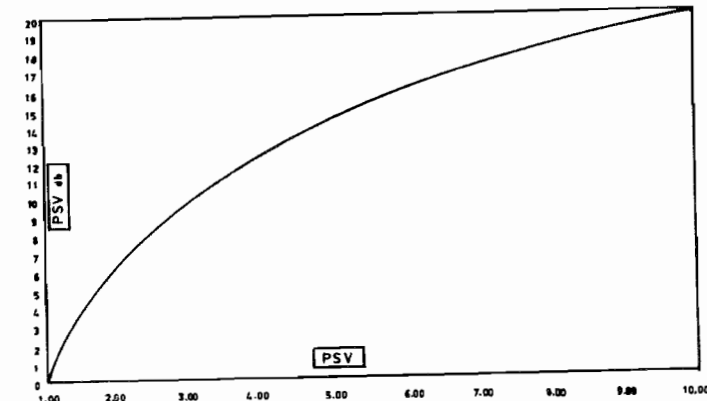
$$\text{Pak platí } \text{ČSV} = \frac{1+0,4472}{1-0,4472} = 2,618.$$

Obdobnou velikost ČSV určíme pomocí grafů. Na vodorovné ose vyhledáme hodnotu  $P_{\text{postup}} = 20$  W, na svislé ose  $P_{\text{odraž}} = 4$  W. Průsečík obou kolmých čar v těchto bodech náleží přímce, která přísluší hodnotě ČSV  $\approx 2,6$ .

Graf na obr. 8.2 vyjadřuje závislost hodnoty činitele stojatých vln ČSV vyjádřené v dB na původní hodnotě.

Přepočet se uskuteční podle vztahu

$$\text{ČSV}_{[\text{dB}]} = 20 \log (\text{ČSV}) = 20 \log \left( 1 + \frac{U_{\text{odraž}}}{U_{\text{postup}}} \right) \cdot \left( 1 - \frac{U_{\text{odraž}}}{U_{\text{postup}}} \right)^{-1}$$



Obr. 8.2. Vyjádření hodnoty ČSV v dB

**Příklad:** Vyjádřete v dB hodnotu ČSV = 1,25.

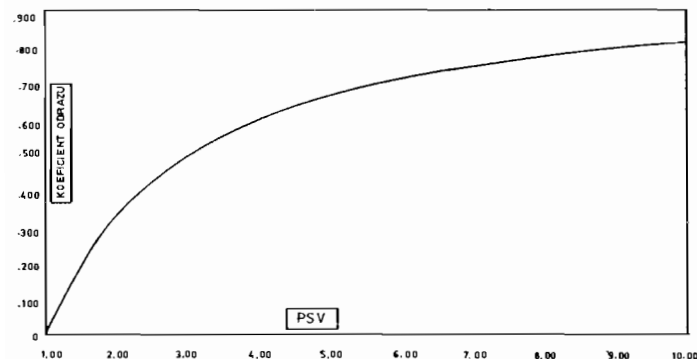
**Řešení:**  $\text{ČSV}_{[\text{dB}]} = 20 \log 1,25 = 1,9382$ .

Podobné řešení nalezneme pomocí grafů. Na vodorovné ose vyhledáme hodnotu ČSV = 1,25. Průsečík kolmice v tomto bodě s výslednou křivkou přísluší, jak je možno odcítit pomocí kolmice na svislou osu, hodnotě  $\text{ČSV}_{[\text{dB}]} = 2$  dB.

Graf na obr. 8.3 představuje **průběh koeficientu odrazu v závislosti na velikosti ČSV**.

Platí zde vztah:

$$s = \frac{U_{\text{odraž}}}{U_{\text{postup}}} ; \text{ČSV} = \frac{1+s}{1-s} ; \text{tedy } s = \frac{\text{ČSV}-1}{\text{ČSV}+1}.$$



Obr. 8.3. Vztah mezi ČSV a koeficientem odrazu

**Příklad:** Vyčíslte velikost koeficientu odrazu pro ČSV = 1,25.

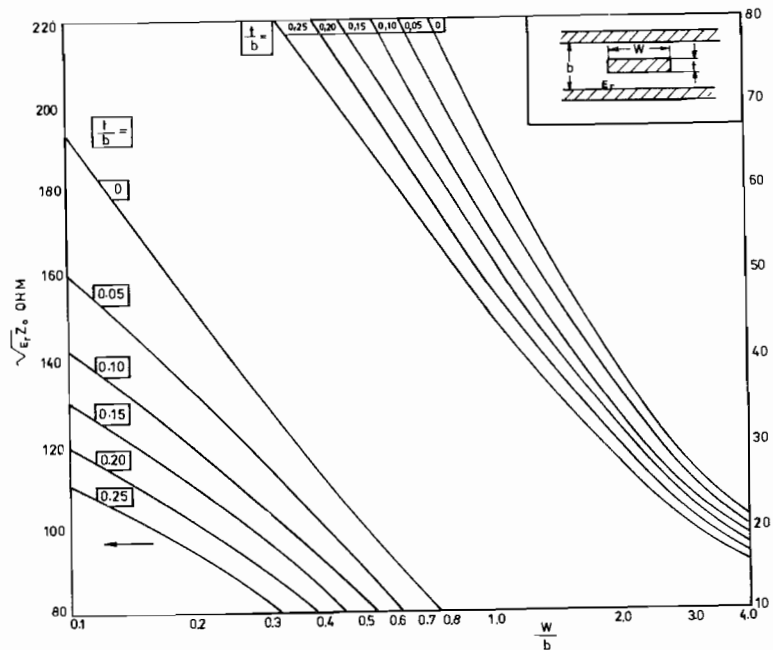
$$\text{Řešení: } s = \frac{1,25-1}{1,25+1} = \frac{0,25}{2,25} = 0,111.$$

Obdobné řešení najdeme pomocí grafů. Na vodorovné ose nalezneme hodnotu ČSV = 1,25, vztyčíme kolmici a z takto vzniklého průsečíku s výslednou křivkou vztyčíme kolmici na svislou osu. Timto způsobem určíme hodnotu činitele odrazu  $s \approx 0,1$ .

Graf na obr. 8.4 ukazuje **závislost velikosti vlnového odporu  $Z_0$  vedení o uvedeném tvaru**. Jde o páskové vedení tloušťky  $t$  a šířky  $w$ , umístěné mezi deskami vzdálenými od sebe velikostí  $b$ . Na vodorovné ose jsou vyznačeny hodnoty  $w/b$ , na svislé ose hodnoty  $Z_0$ , jež je nutné vynásobit hodnotou  $\sqrt{\epsilon_r}$ , kde  $\epsilon_r$  je relativní permitivita prostředí uvnitř vedení; na jednotlivých křivkách, vyjadřujících další parametry vedení, jsou vyznačeny hodnoty  $t/b$ .

Velikost  $Z_0$  určíme podle vztahu:

$$Z_0 [\Omega] = \frac{30\pi(b-t)\cdot\sqrt{\epsilon_r}}{w + 0,44(b-t) + \frac{t}{\pi}\left\{1 + l_n\left[1 + \frac{2(b-t)}{t}\right]\right\}}.$$



Obr. 8.4. Charakteristická impedance páskového vedení

**Příklad:** Určete vlnový odpor vedení  $U_0$  uvedeného tvaru o rozměrech:  $b = 10 \text{ cm}$ ,  $w = 2 \text{ cm}$ ,  $t = 0,5 \text{ cm}$ , hodnota  $\epsilon_r$  prostředí uvnitř vedení  $\approx 2$  (jde o teflon).

**Řešení:** Zadané hodnoty dosadíme do uvedeného vzorce. Platí tedy

$$Z_0 [\Omega] = \frac{30\pi(0,10-0,005)\sqrt{2}}{0,02 + 0,44(0,10-0,005) + \frac{0,005}{\pi}\left\{1 + l_n\left[1 + \frac{2(0,1-0,005)}{0,005}\right]\right\}} \\ = 186,676 \Omega \text{ (dosazujeme-li všechny jednotky v soustavě MKSA, tj. všechny hodnoty délky v m).}$$

Podobnou hodnotu získáme pomocí grafu. Na vodorovné ose vyhledáme hodnotu  $\frac{w}{b} = \frac{2}{10} = 0,2$  a na výsledných křivkách hodnotu  $\frac{t}{b} = \frac{0,5}{10} = 0,05$ . Na svislé ose najdeme tímto způsobem hodnotu  $Z_0 = 132$ . Uvážíme-li hodnotu  $\epsilon_r = 2$ , pak výsledná hodnota  $Z_0$  bude  $Z_0 = 132 \cdot \sqrt{2} = 186,676 \Omega$ .

Graf na obr. 8.5 znázorňuje **druhy vidů  $TM_{mnp}$  a  $TE_{mnp}$  pro válcový rezonátor**. Na vodorovné ose jsou vyznačeny hodnoty  $(D/L)^2$ , kde  $D$  je průřez a  $L$  délka rezonátoru. Na svislé ose vidíme hodnoty  $(f \cdot D)^2 \cdot 10^{20}$ , kde  $f$  je kmitočet v Hz a  $D$  je opět průřez v cm.

Graf používáme při návrhu dutinových rezonátorů, kdy musíme dbát toho, aby při daných rozměrech nerezonoval dutinový rezonátor současně při několika videch. Uvedenou závislost lze vyjádřit rovnicí

$$(f \cdot D)^2 = \left( \frac{\alpha_{nm} \cdot c}{\pi} \right)^2 + \left( \frac{c \cdot b}{2} \right)^2 \cdot \left( \frac{D}{L} \right)^2,$$

kde  $c$  je rychlosť šíření elektromagnetické vlny

$$(c = 3 \cdot 10^{10} \text{ cm/s}),$$

$\alpha_{nm}$  je pro vid  $TM$ , m-tý kořen rovnice  $J_n(\Gamma \cdot a) = 0$  a pro vid  $TE$ , m-tý kořen rovnice  $J_n(\Gamma \cdot a) = 0$ , přičemž  $J_n(\Gamma \cdot a)$  je Besselova funkce n-tého řádu 1. druhu,  $\Gamma$  je příčná konstanta, pro niž platí  $\Gamma = \omega_m \cdot \sqrt{\mu \epsilon}$ , ( $\omega_m$  je mezní vlnové číslo,  $\epsilon$  je permitivita a  $\mu$  je permeabilita prostředí uvnitř rezonátoru).

**Příklad:** Určete, při kterém vidu rezonuje kruhový rezonátor o rozměrech  $D = 14,3$  cm a  $L = 10$  cm, a jde-li o hodnotu  $f = 3,42$  GHz.

**Řešení:** Dosazením uvedených hodnot do uvedeného vztahu obdržíme rovnici:

$$(3,42 \cdot 10^9 \cdot 14,3)^2 = \left( \frac{\alpha_{nm} 3 \cdot 10^{10}}{\pi} \right)^2 + \left( \frac{3 \cdot 10^{10} \cdot b}{2} \right)^2 \cdot \left( \frac{14,3}{10} \right)^2$$

Tedy platí:

$$24 \cdot 10^{20} = \alpha_{nm}^2 \cdot 0,9119 \cdot 10^{20} + 2,25 \cdot 10^{20} \cdot p^2 \cdot 2,045$$

$$24 = \alpha_{nm}^2 \cdot 0,9119 + 4,698 \cdot p^2$$

Proto dostaneme pro  $p = 0$ :

$$24 = \alpha_{nm}^2 \cdot 0,9119$$

$$\alpha_{nm}^2 = 26,32$$

Obdobně pro  $p = 1$ :

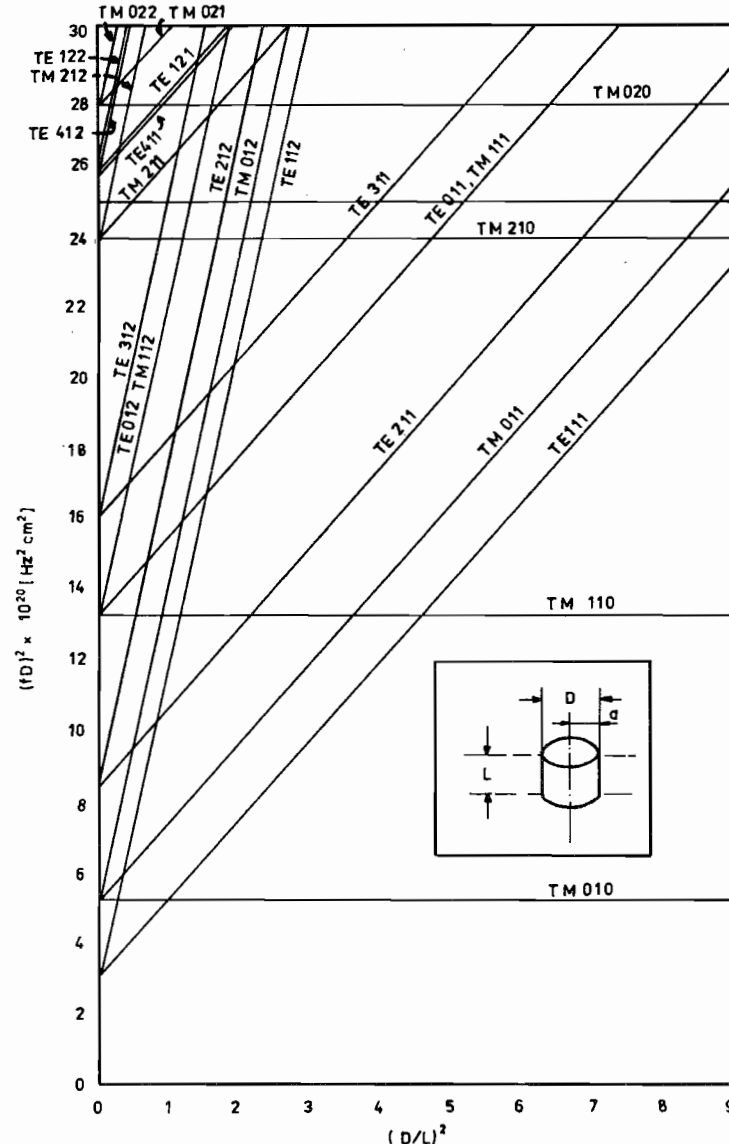
$$24 = \alpha_{nm}^2 \cdot 0,9119 + 4,725$$

$$\alpha_{nm}^2 = 21,137$$

Pro  $p = 2$ :

$$24 = \alpha_{nm}^2 \cdot 0,9119 + 18,9$$

$$\alpha_{nm}^2 = 2,4 (\alpha_{nm}^2 + 4,96).$$



Obr. 8.5. Rezonanční body válcového rezonátoru

Z tabulek a grafů Besselových funkcí 1. druhu zjistíme, že argument  $\alpha_{nm} = 2,4$  odpovídá vztahu  $J_0(\alpha_{nm}) = 0$ . Pro ostatní argumenty (26,32 a 21,137) již nelze najít hodnotu jejich příslušné funkce v běžných tabulkách či grafech.

Pro uvedený rezonátor tedy platí, že bude rezonovat při vidu  $TM_{012}$ .

Obdobnou hodnotu najdeme pomocí grafu. Na vodorovné ose nalezneme hodnotu  $(\frac{D}{L})^2 = (\frac{14,3}{10})^2 = 2,045$ . Na svislé ose najdeme hodnotu  $(f \cdot D)^2 \cdot 10^{20}$  [Hz<sup>2</sup>, cm<sup>2</sup>] =  $(3,42 \cdot 10^9 \cdot 14,3)^2 = 24 \cdot 10^{20}$ . Vidíme, že kolmice v těchto bodech se protínají na přímce označující vid  $TM_{012}$ .

Nomogram na obr. 8.6 vyjadřuje **závislost útlumu trasy N na kmitočtu f a vzdálenosti obou antén R**.

Pro hodnotu  $N$  platí  $N = 20 \log(4\pi \frac{R}{\lambda})$ ,

( $\lambda$  je vlnová délka).

Jestliže nestačí stupnice na monogramu, je možné násobit kmitočet nebo vzdálenost činitelem  $10^N$  a přidat  $20N$  (v dB) na stupni útlumu trasy.  $N$  může být kladné i záporné. Pro hodnotu  $N$  dále platí:

$$L_r = L_t + G_t + G_r - N,$$

kde  $L_r$  je úroveň přijímaného signálu v dBm,

$L_t$  úroveň vysílaného signálu v dBm,

$G_t$  zisk vysílací antény v dB,

$G_r$  zisk přijímací antény v dB,

$N$  útlum trasy v dB.

Kmitočet  $f$  je udáván v GHz, na druhé straně osy je jeho přepočet na příslušnou vlnovou délku. Vzdálenost  $R$  je udávána v km.

**Příklad:** Dvě stanice vzdálené 100 km, o výkonu vysílače 1 W, chtějí uskutečnit spojení na  $f = 2300$  MHz. Určete útlum trasy.

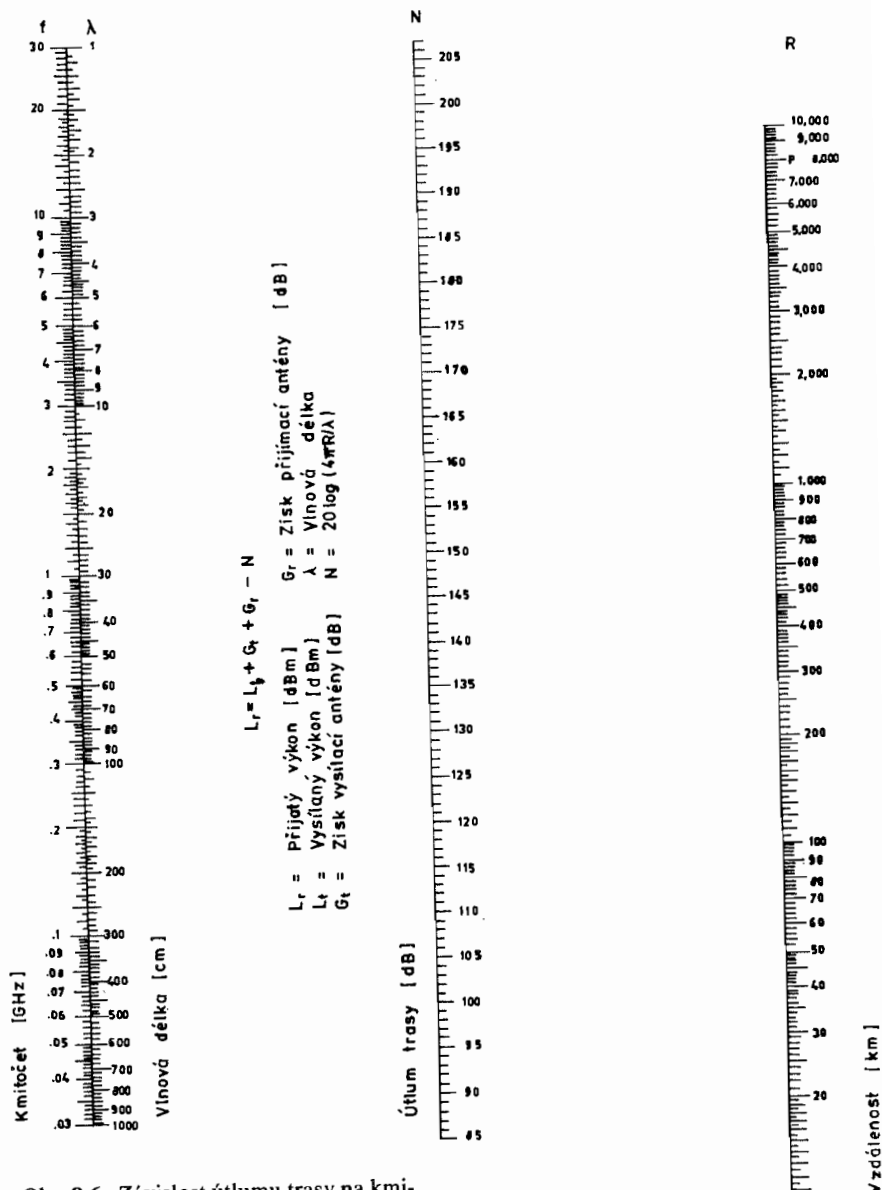
**Řešení:** Na levé stupni spojme bod 2,3 GHz s hodnotou 100 km na pravé stupni a odečítáme 139 dB jako útlum trasy.

Podobně lze hodnotu vyjádřit i početně:

$$N = 20 \log(4\pi \cdot \frac{R}{\lambda})$$

$$N = 139 \text{ dB}$$

Tzn., jestliže obě stanice mají antény se ziskem 15 dB, pak výkon vysílače dojde na přijímací stranu utlumený o  $139 - 15 - 15 = 109$  dB. Jestliže vysílaný výkon je 1 W, tj. 30 dBm (je méně výkon vztažený proti úrovni 1 mW, tedy  $10 \log 1 \cdot 0,001^{-1} =$



Obr. 8.6. Závislost útlumu trasy na kmitočtu a vzdálenosti

= 30 dBm), pak na přijímací stranu přichází výkon  $(30 - 109)\text{dBm} = -79\text{ dBm}$ . Tento signál musí zpracovat přijímač (viz nomogram 14.10). Tedy podle zmíněného vztahu:

$$L_r = 30 + 15 + 15 - 139$$

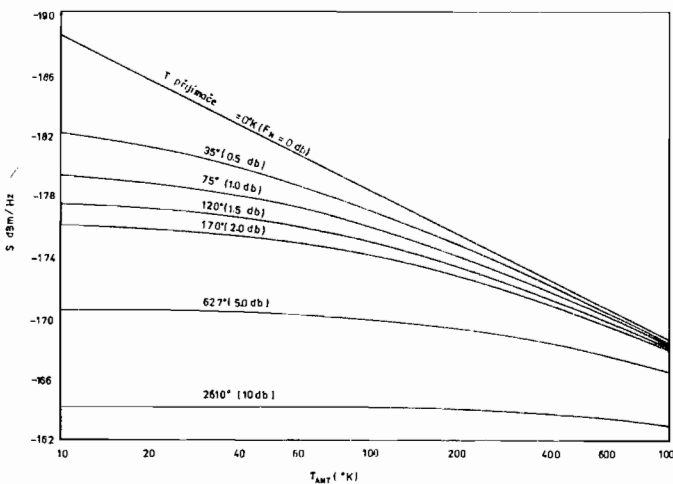
$$L_r = 79\text{ dBm}.$$

Graf na obr. 8.7 zobrazuje **závislost absolutní citlivosti antény na teplotě v okolí přijímací antény**. Absolutní citlivost počítáme podle vztahu

$$S = K(T_{\text{ANT}} + T_{\text{REC}}),$$

přičemž  $K$  je Boltzmanova konstanta  $K = -198,6\text{ dB/mg/K}$  nebo  $K = 1,374 \cdot 10^{-23}\text{ J/K}$  (uvažujeme-li jednotky v soustavě MKSA),  $T_{\text{ANT}}$  je teplota povrchu antény udávaná v K,  $T_{\text{REC}}$  je teplota okolí antény v K ( $1\text{ K} = -273^\circ\text{ C}$ ).

Na jednotlivých křivkách je parametrem  $T_{\text{REC}}$  (v závorce je přepočet hodnoty  $t = T_{\text{REC}} + 273,16$  na dB vzhledem k  $t = -273^\circ\text{ C}$ ).  $S$  je udávána v soustavě cgs.



Obr. 8.7. Závislost prahové citlivosti na šumové teplotě antény a přijímače (šumovém čísle)

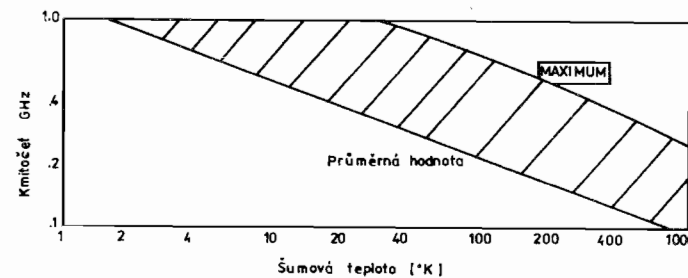
**Příklad:** Určete absolutní citlivost antény při teplotě okolí  $T_{\text{REC}} = 170^\circ\text{ C}$  a teplotě antény  $T_{\text{ANT}} = 400\text{ K} (= 126,84^\circ\text{ C})$ .

**Řešení:** Podle uvedeného vztahu vypočteme hodnotu

$$S = -198,6 + 10 \log (170 + 400) = -171,04\text{ dB/m . g/K}.$$

Podobnou hodnotu můžeme odečíst z grafu: Na vodorovné ose najdeme hodnotu  $T = 400\text{ K}$  a na výsledných křivkách  $T_{\text{REC}} = 170\text{ K}$ . Na svislé ose odečteme  $S = -170,8\text{ dB/m . g/K}$ .

Graf na obr. 8.8 představuje **velikost galaktického šumu v K v závislosti na frekvenci** (v GHz). Autory naměřených hodnot jsou Ko, Brown, Harard a hodnoty jsou udávány v mezích mezi průměrem a maximem.



Obr. 8.8. Hodnota galaktického šumu v závislosti na frekvenci

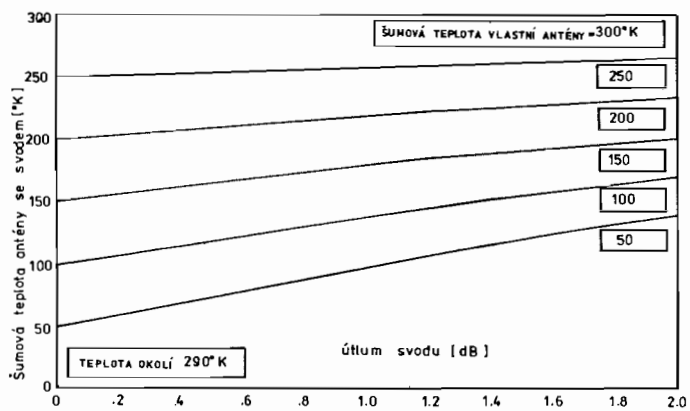
**Příklad:** Určete teplotu galaktického šumu pro kmitočet  $0,4\text{ GHz}$ .

**Řešení:** Na svislé ose najdeme teplotu  $f = 0,4\text{ GHz}$ . Podle uvedených grafů zjistíme, že teplota galaktického šumu se pohybuje v mezích  $20\text{ K}$  až  $400\text{ K}$ .

Graf na obr. 8.9 znázorňuje **šumovou teplotu antény se svodem v závislosti na ztrátách ve vedení vysílače a výstupní teplotě**. Na vodorovné ose jsou hodnoty ztrát v dB, na svislé ose výstupní teplota v K. Na jednotlivých křivkách je parametrem teplota antény v K. Vztah lze vyjádřit analyticky pomocí rovnice:

$$T_{\text{výst}[K]} = \frac{290(L-1) + T_{\text{ANT}}}{L}, \text{ kde } L \text{ jsou ztráty v dB,}$$

$T_{\text{výst}}, T_{\text{ANT}}$  teploty v K,  
 $T_{\text{okolí}} = 290\text{ K}$ .



Obr. 8.9. Závislost šumové teploty antény na útlumu svodu

**Příklad:** Určete šumovou teplotu antény se svodem, jestliže ztráty na vedení jsou 1,5 dB a výstupní teplota  $T_{výst} = 225$  K.

**Řešení:** Zadané hodnoty dosadíme do uvedeného vztahu.

$$225 = \frac{290(1,5 - 1) + T_{ANT}}{1,5}, \\ T_{ANT} = 192,5 \text{ K.}$$

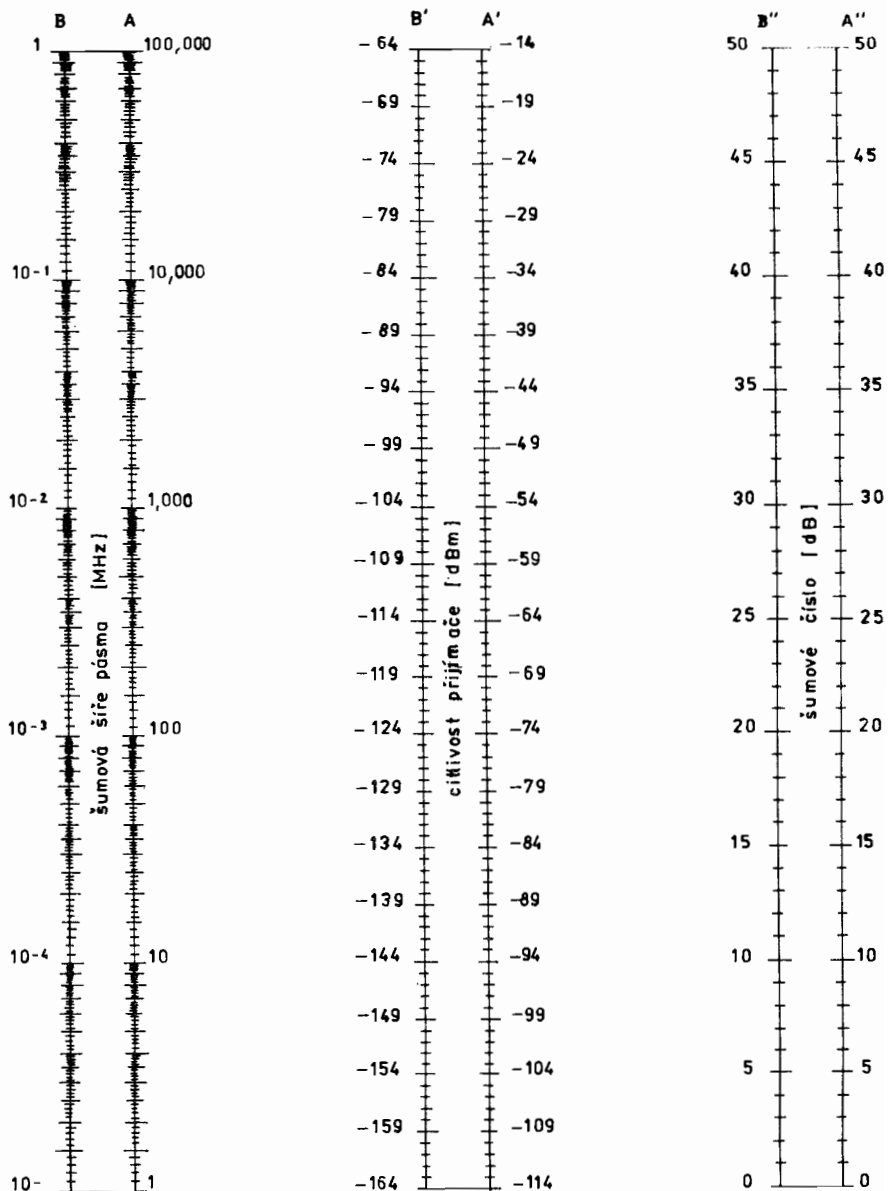
Obdobnou hodnotu můžeme odečíst z grafu. Na vodorovné ose najdeme hodnotu  $L = 1,5$ , na svislé ose hodnotu  $T_{výst} = 225$  K. Kolmice v příslušných bodech se přibližně protínají na křivce  $T_{ANT} \approx 200$  K.

Nomogram na obr. 8.10 udává závislost citlivosti přijímače v dBm (při teplotě okolí 290 K) na hladině šumu (v dB) a šířce pásma šumu (v MHz).

**Příklad:** Určete hladinu šumu při citlivosti přijímače  $-114$  dBm a šířce pásma šumu  $10^{-3}$  MHz.

**Řešení:** Zadané hodnoty vyhledáme v osách nomogramu, spojíme přímkou a na průsečíku se třetí osou přečteme hodnotu hladiny šumu 30 dB.

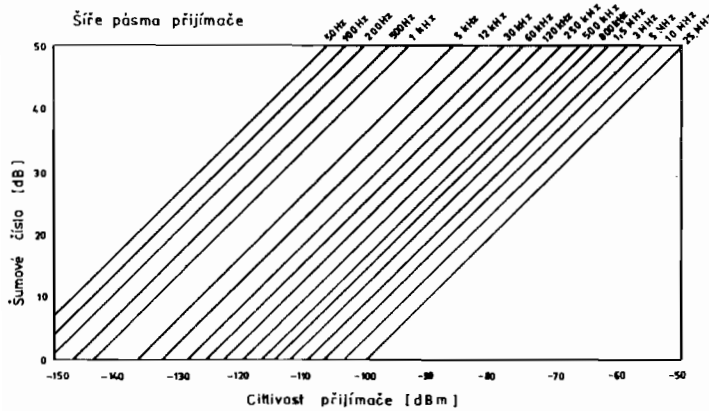
Graf na obr. 8.11 ukazuje **závislost šumu v dB na citlivosti přijímače v dBm**, přičemž parametrem je šířka pásma v Hz, kHz a MHz.



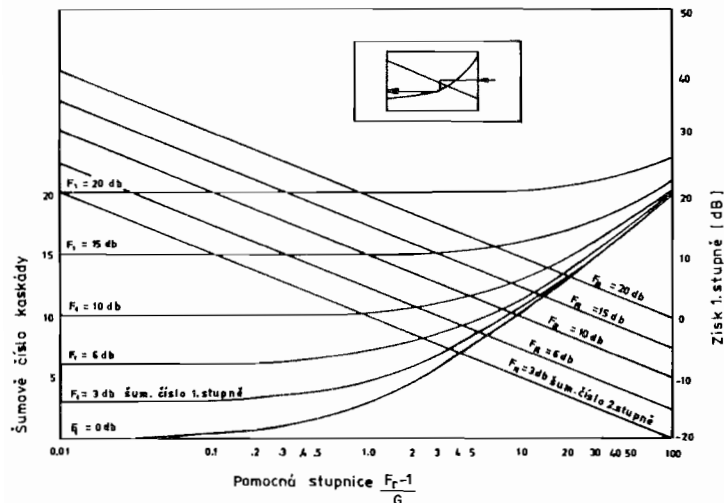
Obr. 8.10. Závislost citlivosti přijímače na jeho šumovém čísle a šířce pásma

**Příklad:** Určete hladinu přijímaného šumu pro citlivost přijímače  $-90$  dBm a šířku pásma  $3$  MHz.

**Řešení:** Na vodorovné ose najdeme hodnotu  $-90$  dBm. Vztyčíme kolmici a označíme její průsečík s přímkou, která přísluší hodnotě  $3$  MHz. Z tohoto bodu vztyčíme kolmici na svislou osu. Tímto způsobem nalezneme velikost  $20$  dB, což je hledaná hodnota hladiny šumu.

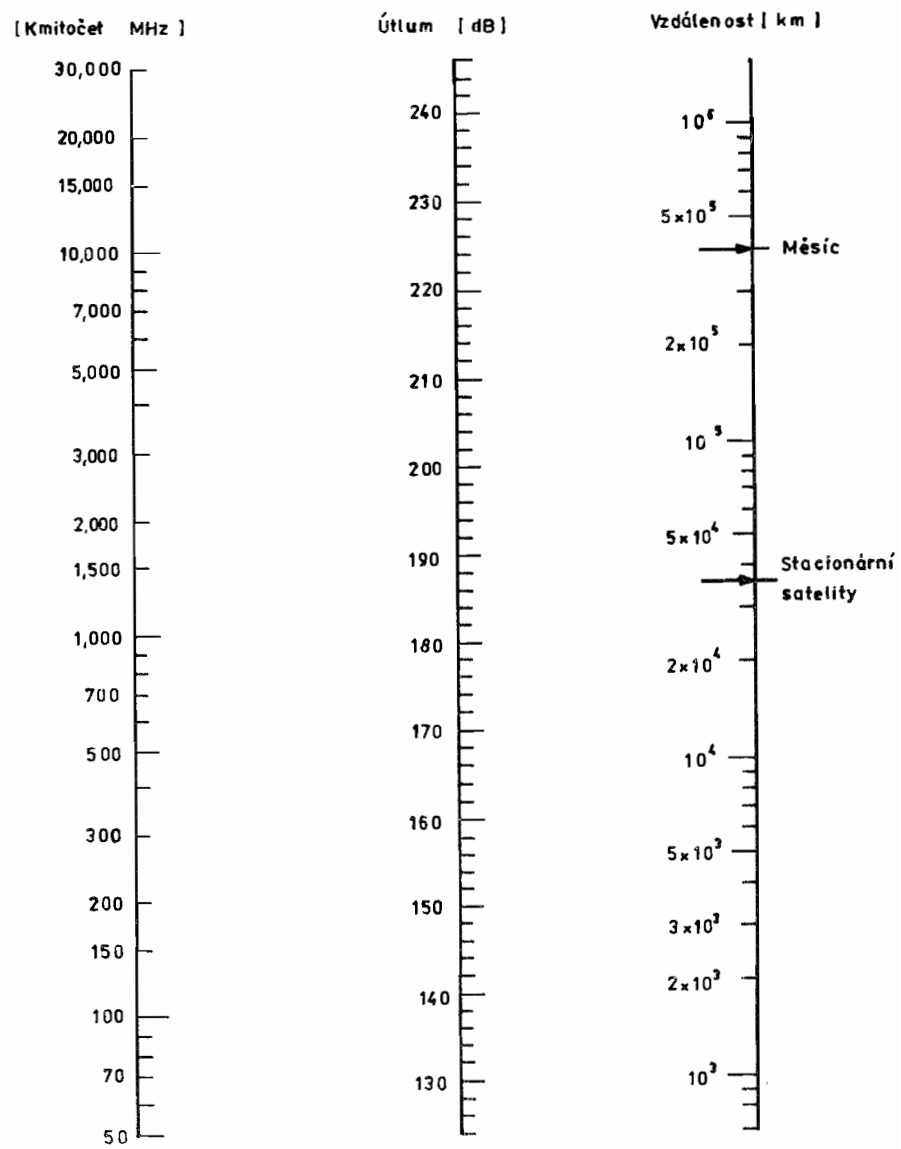


Obr. 8.11. Závislost šumu v dB na citlivosti přijímače



Obr. 8.12. Šumové číslo kaskády zesilovačů

Graf na obr. 8.12 vyjadřuje **závislost velikosti hladiny šumu u kaskádního zapojení zesilovačů na hladině šumu a zisku jednoho ze zesilovačů.**



Pro uvedené veličiny platí vztah:

$$F_0 = F_1 + \frac{F_R - 1}{G},$$

kde  $F_0$  je výsledná hladina šumu v dB,

$F_1$  hladina šumu 1. zesilovače,

$G$  zisk 1. zesilovače,

$F_R$  hladina šumu dalšího zesilovače.

**Příklad:** Určete výslednou hladinu šumu u kaskádního zapojení zesilovačů o parametrech:

$$F_R = 10 \text{ dB}, G = 10 \text{ dB}, F_1 = 15 \text{ dB}.$$

**Řešení:** Uvedené hodnoty dosadíme do uvedeného vztahu:

$$F_0 = 15 + \frac{9}{10} = 15,9 \text{ dB}.$$

Podobně můžeme uvedenou hodnotu odečíst z grafu. Na vodorovné ose vyhledáme hodnotu  $\frac{F_R - 1}{G} = \frac{9}{10}$  (nebo najdeme průsečík přímek

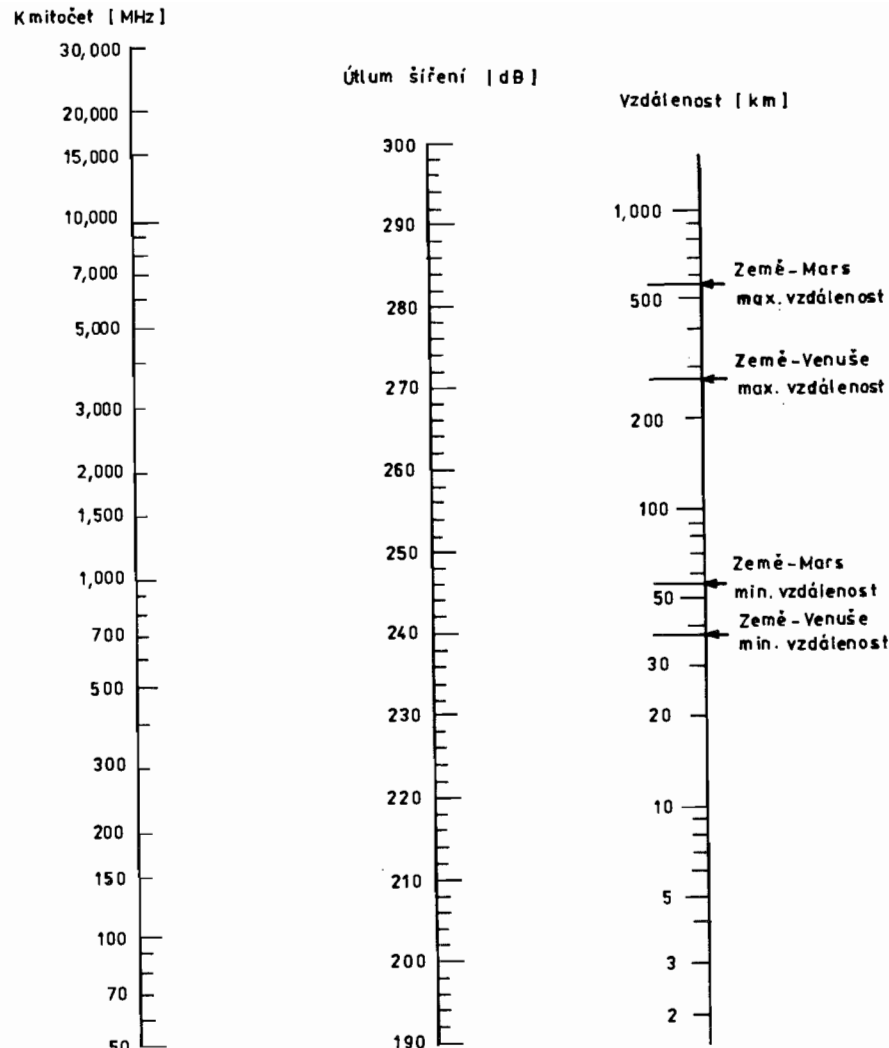
$F_R = 10 \text{ dB}$  a  $G = 10 \text{ dB}$ ) a tím zjistíme hodnotu  $\frac{F_R - 1}{G}$ . Pro parametr  $F_1 = 15 \text{ dB}$  a pro danou hodnotu  $\left(\frac{F_R - 1}{G}\right)$  přečteme na svislé ose velenost  $F_0 = 15 \text{ dB}$ .

V nomogramu na obr. 8.13 je možno odečíst ztráty vysílaného signálu (v dB) dané frekvence (v MHz) ve volném prostoru pro různé vzdálenosti (v km), mj. i pro vzdálenost Země–Měsíc nebo vzdálenosti Země–stacionární družice. Na obr. 8.14 můžeme odečíst tyto hodnoty pro vzdálenost Země–Mars a Země–Venuše.

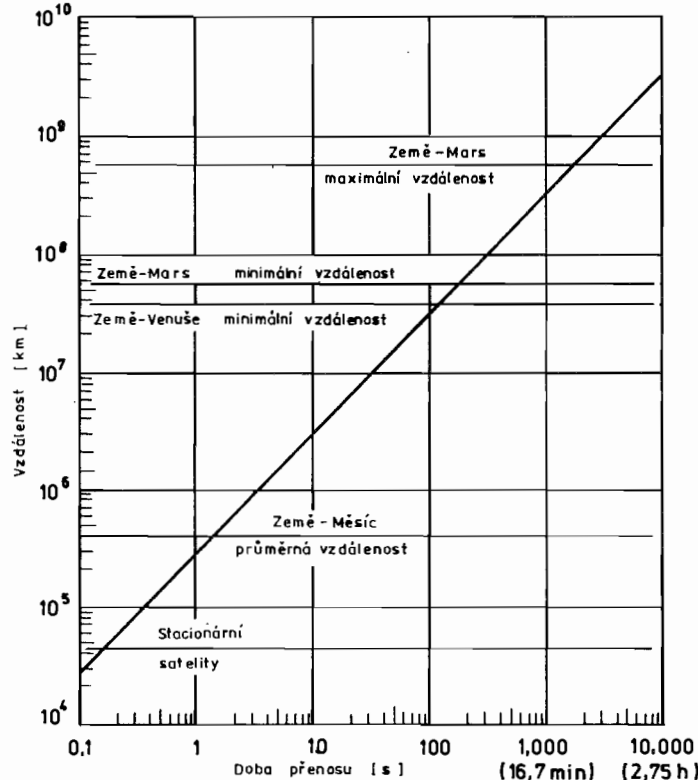
**Příklad:** Odečtěte ztráty signálu o  $f = 3000 \text{ MHz}$  ve vzdálenosti  $5 \cdot 10^5 \text{ km}$ .

**Řešení:** Vyhledáme v příslušných osách hodnoty  $f = 3000 \text{ MHz}$  a vzdálenost  $5 \cdot 10^5 \text{ km}$ . Uvedené body spojíme a průsečík takto vzniklé přímky se třetí osou vyznačující ztráty nám uvede hodnotu ztrát přibližně 215,5 dB.

Graf na obr. 8.15 představuje průběh časového zpoždění při šíření vln na vzdálenosti  $10^4$  až  $10^{10} \text{ km}$ . Ve vodorovné ose je vyznačeno časové zpoždění (doba přenosu) v sekundách, na svislé ose vzdálenost v km.



Obr. 8.14. Útlum šíření elektromagnetických vln ve volném prostoru



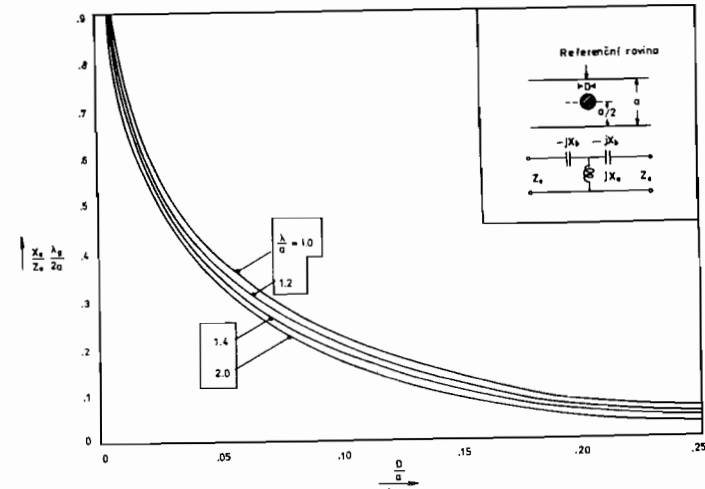
Obr. 8.15. Doba přenosu informace elektromagnetickými vlnami v závislosti na překlenuté vzdálenosti

Jsou zde vyznačeny vzdálenosti Země–Měsíc, Země–Mars, Země–Venuše, Země–stacionární družice.

*Příklad:* Určete časové zpoždění signálu, který urazí dráhu Země–Venuše.

*Řešení:* Odečteme na svislé ose minimální vzdálenost, tj.  $3,75 \cdot 10^7$  km, vztyčíme kolmici a z jejího průsečíku s výsledným grafem sestrojíme kolmici na vodorovnou osu. Zjistíme tak požadovanou hodnotu: 102,5 sekund ( $= 1,7$  min.).

Graf na obr. 8.16 ukazuje velikost reaktance překážky – kolíku – ve vlnovodu v závislosti na frekvenci, rozměrech a umístění překážky.



Obr. 8.16. Reaktance kolíku ve vlnovodu (paralelní složka)

*Příklad:* Najděte velikost reaktace překážky ve vlnovodu v uvedeném tvaru o rozměrech  $D = 3$  mm,  $a = 30$  mm, jde-li o frekvenci  $f = 10$  GHz.

*Řešení:* Kmitočtu  $f = 10$  GHz přísluší  $\lambda = 0,03$  m. Dále vypočteme, že

$$\frac{D}{a} = \frac{0,003}{0,030} = 0,1 ; \frac{\lambda}{a} = \frac{0,03}{0,03} = 1.$$

Najdeme tedy na vodorovné ose hodnoty  $\frac{D}{\lambda} = 0,1$ , vztyčíme kolmici a z jejího průsečíku s křivkou  $\frac{\lambda}{a} = 1$  sestrojíme kolmici na svislou osu, čímž obdržíme hodnoty

$$\frac{X_a \cdot \lambda_g}{X_0 \cdot 2a} = 0,24.$$

Uvažujeme-li hodnotu charakteristické impedančce  $Z_0 = 50 \Omega$  a vlnovou délku ve vlnovodu  $\lambda_g = 0,031$  m, pak bude platit

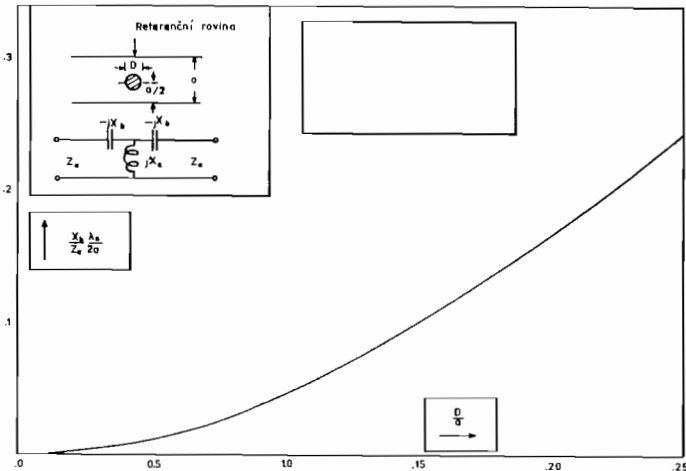
$$\frac{X_a \cdot 0,031}{50 \cdot 2 \cdot 0,03} = 0,24$$

$$0,0206 X_a = 0,24 ; X_a = 11,613 \Omega.$$

Hodnoty  $X_b$  určíme pomocí následujícího grafu.

Graf na obr. 8.17 navazuje na předešlý text a uvedené zapojení, ve kterém je ještě nutno určit, jaká je **velikost  $X_b$** .

Na vodorovné ose jsou hodnoty  $\frac{D}{a}$  a na svislé ose hodnoty  $\frac{X_b}{Z_0} \cdot \frac{\lambda_g}{2a}$ .



Obr. 8.17. Reaktance kolíku ve vlnovodu  
(sériová složka)

**Příklad:** Pro uvedené hodnoty  $\lambda$ ,  $D$ ,  $a$  ( $\lambda = 0,03 \text{ m}$ ,  $\frac{D}{a} = 0,1$ ,  $\frac{\lambda}{a} = 1$ ) najdeme na vodorovné ose hodnoty  $\frac{D}{a} = 0,1$  a z průsečíku s výslednou křivkou odečteme na svislé ose hodnotu

$$\frac{X_b}{Z_0} \cdot \frac{\lambda_g}{2a} = 0,048.$$

Pro hodnoty  $Z_0 = 50 \Omega$  a  $\lambda_g = 0,031 \text{ m}$  bude platit

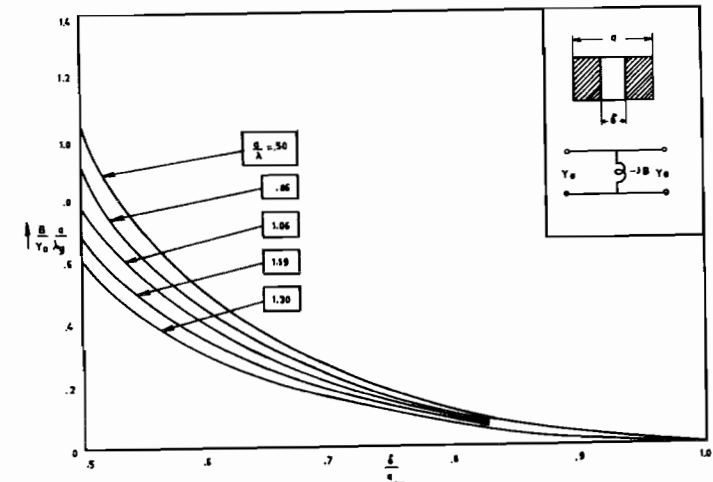
$$\frac{X_b}{50} \cdot \frac{0,031}{2 \cdot 0,03} = 0,048,$$

$$X_b = 2,32 \Omega.$$

Graf na obr. 8.18 znázorňuje **velikost susceptance dvou symetrických vedení – štěrbiny – ve vlnovodu v závislosti na frekvenci, rozměrech a charakteristické admitanci**. Na vodorovné ose jsou hodnoty  $\frac{\delta}{a}$ , na

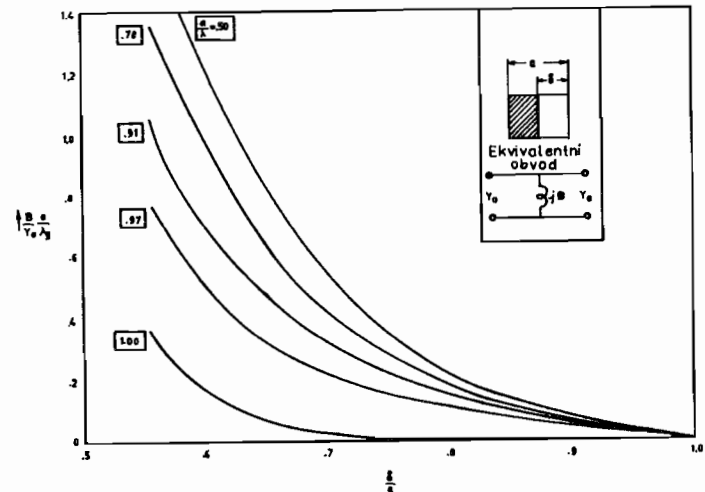
svislé ose hodnoty  $\frac{B}{Y_0} \cdot \frac{a}{\lambda_g}$ , výsledné křivky jsou sestrojeny pro různé hodnoty  $\frac{a}{\lambda}$ .

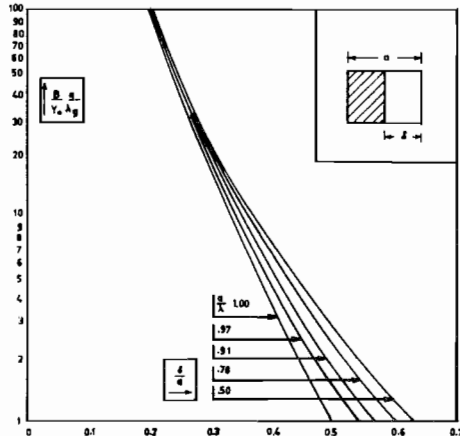
Podobný graf pro asymetrickou clonku ve vlnovodu najdeme na obr. 8.19 a 8.20.



Obr. 8.18. Susceptance symetrické štěrbiny uprostřed vlnovodu

Obr. 8.19. Susceptance asymetrické clonky ve vlnovodu





Obr. 8.20. Susceptance asymetrické clonky ve vlnovodu

**Příklad:** Najděte velikost susceptance uvedeného vedení, jehož rozměry jsou:

$$\delta = 0,007 \text{ m},$$

$$a = 0,01 \text{ m},$$

$$\lambda = 0,02 \text{ m} (f = 15 \text{ FHz}),$$

$$Y_0 = 0,02 \Omega^{-1} (Z_0 = 50 \Omega),$$

$$\lambda_g = 0,021 \text{ m}.$$

**Řešení:** Na vodorovné ose najdeme hodnotu  $\frac{\delta}{a} = \frac{0,007}{0,010} = 0,7$ .

Na výsledných křivkách najdeme parametr  $\frac{a}{\lambda} = \frac{0,01}{0,02} = 0,5$  a z průsečíku příslušné křivky a kolmice na vodorovnou osu v bodě  $\frac{\delta}{a} = 0,7$  vztyčíme kolmici na svislou osu.

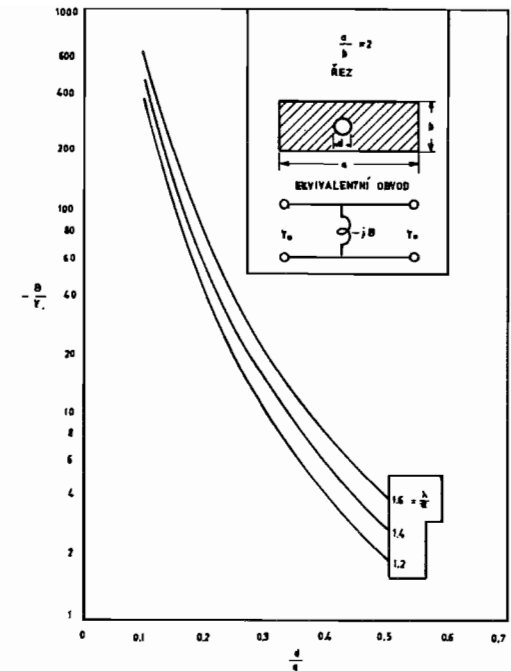
Obdržíme tak hodnotu  $\frac{B}{Y_0} \cdot \frac{a}{\lambda_g} = 0,26$ ; proto pro hledanou susceptanci platí

$$B = \frac{0,26 \cdot 0,02 \cdot 0,21}{0,01} = 0,01092 [\Omega^{-1}]$$

Grafy na obr. 8.20 a 8.21 představují **průběh susceptance otvoru v průřezu vlnovodu**. V druhém grafu jde o **nesymetrický otvor**. Na prvním grafu je na vodorovné ose vynesena velikost  $\frac{d}{a}$ , na svislé ose velikost

$-\frac{B}{Y_0}$ . Parametrem výsledných křivek je hodnota  $\frac{\lambda}{a}$ .

Obr. 8.21. Susceptance vazebního otvoru ve vlnovodu



**Příklad:** Určete susceptanci otvoru ve vlnovodu o parametrech:

$$a = 0,010 \text{ [m]}, 0,016 \text{ [m]}; d = 0,004 \text{ m}; Y_0 = 0,02$$

**Řešení:** Na vodorovné ose prvního grafu vyhledáme hodnotu  $\frac{d}{a} = \frac{0,004}{0,01} = 0,4$ . Na výsledných křivkách najdeme parametr  $\frac{a}{\lambda} = \frac{0,016}{0,01} = 1,6$ . Na svislé ose najdeme příslušnou hodnotu  $-\frac{B}{Y_0} = 8$ . Tedy  $B = (-8) \cdot 0,02 = -0,16 \Omega^{-1}$ .

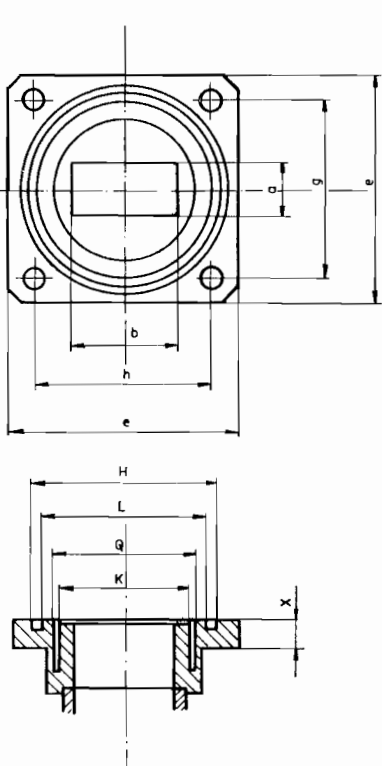
Ve druhém grafu je na vodorovné ose vynesena velikost  $\frac{\delta}{a}$ , na svislé ose velikost  $\frac{B}{Y_0} \cdot \frac{a}{\lambda_g}$ . Parametrem výsledných křivek je hodnota  $\frac{a}{\lambda}$ .

**Příklad:** Určete susceptanci otvoru ve vlnovodu o parametrech:

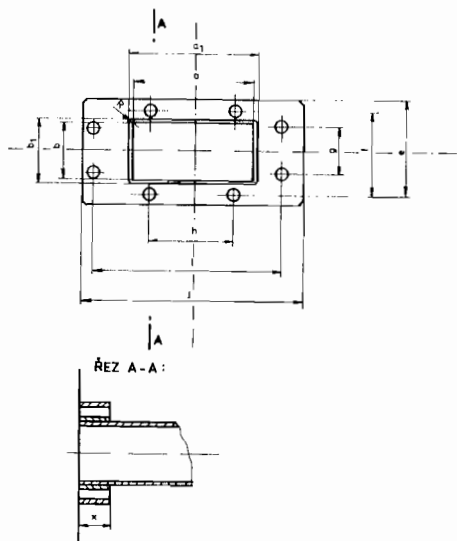
$$\delta = 0,004 \text{ m}, a = 0,010 \text{ m}, \lambda = 0,01, \lambda_g = 0,11, Y_0 = 0,02$$

**Řešení:** Na vodorovné ose druhého grafu vyhledáme hodnotu  $\frac{\delta}{a} = \frac{0,004}{0,01} = 0,4$ . Na výsledných křívkách najdeme parametr  $\frac{a}{\lambda} = \frac{0,01}{0,01} = 1$ . Na svislé ose najdeme příslušnou hodnotu  $\frac{B}{Y_0} \cdot \frac{a}{\lambda_g} = 3,6$ . Proto platí  
 $B = \frac{3,6 \cdot 0,02 \cdot 0,011}{0,01} = 0,0792 \Omega^{-1}$ .

Na obr. 8.22 a 8.23 vidíme tvar přírub používaných pro obdélníkové vlnovody. Rozměry pro jednotlivé typy vlnovodů udávají tabulky 8.1 až 8.3, dále můžeme vyhledat pro daný typ vlnovodu a pro určený kmitočet příslušnou délku vlny ve vlnovodu. Jde o vlnovody typu  $R_{70}$ ,  $R_{84}$ ,  $R_{100}$ ,  $R_{220}$  a  $R_{320}$ .



Obr. 8.22. Příruba používaná pro obdélníkový vlnovod – typ B



Obr. 8.23. Příruba používaná pro obdélníkový vlnovod – typ E

**Příklad:** Určete délku vlny v obdélníkovém vlnovodu typu  $R_{84}$  (tj. o rozměrech  $a = 28 \text{ mm}$ ,  $b = 12 \text{ mm}$ ). Zároveň určete rozměry použité příruby, jestliže jde o přírubu typu B. Použitý kmitočet  $f = 6000 \text{ MHz}$ .

**Řešení:** V tab. 8.3 vyhledáme ve sloupci  $f = 6000 \text{ MHz}$ , příslušná vlnová délka je  $\lambda = 4,9963 \text{ cm}$ , pro délku vlny ve vlnovodu  $\lambda_g$  pak platí  $\frac{\lambda_g}{\lambda} = 2,0778$  nebo  $\frac{\lambda}{\lambda_g} = 0,48128$ . Tedy  $\lambda_g = 2,0779 \cdot 4,9963 = 10,3813 \text{ cm}$ . Pro rozměry příruby typu B podle tab. 8.1 platí (rozměry jsou v mm):

$$\begin{aligned} e &= 47,8, \\ g &= 37,44, \\ h &= 34,34, \\ H &= 45,73, \\ L &= 39,73, \\ Q &= 37,95, \\ K &= 32,26, \\ S &= 2,13, \\ X &= 6,4. \end{aligned}$$

Tabulka 8.1. Rozměry příruby typu B pro jednotlivé typy vlnovodů

Typ vlnovodu	$e$	$g$	$h$	$H$	$L$	$Q$	$K$	$S$	$X$
$R_{84}$	47,8	37,44	34,34	45,73	39,73	37,95	32,26	2,13	6,4
$R_{100}$	41,4	32,51	30,99	39,39	32,89	31,12	25,78	2,03	4,8
$R_{140}$	33,3	24,28	25,25	29,26	22,66	21,03	18,34	2,03	4,8
$R_{220}$	22,4	17,02	16,26	19,33	14,91	13,61	12,19	1,37	4,1
$R_{320}$	19,1	13,46	12,7	14,7	10,26			1,37	2,8

(rozměry – v mm)

*Tabulka 8.2. Rozměry přírub typu E pro jednotlivé typy vlnovodu*

Typ vlnovodu	e	g	f	h	i	j	a <sub>1</sub>	b <sub>1</sub>	X	R <sub>max</sub>
R <sub>84</sub>	34,9	14,22	26,26	14,08	42,16	51,2	31,75	15,88	6,4	0,5
R <sub>100</sub>	32,2	11,42	23,12	11,94	35,82	44,9	25,4	12,7	6,4	0,4

(rozměry v mm)

*Tabulka 8.3. Délka vlny ve vlnovodu*

*Vlnovod: R<sub>70</sub>*

Vnější rozměry: 38,1 × 19,05 mm,

vnitřní rozměry: 34,85 × 15,799 mm,

$\frac{a}{b} = 2,2058$ .

Mezní vlnová délka  $\lambda_m = 6,97$  cm ( $f_m = 4\ 301,184$  MHz)

f [MHz]	$\lambda$ [cm]	$\lambda_g$ [cm]	$\frac{\lambda_g}{\lambda}$	$\frac{\lambda}{\lambda_g}$
4 900	6,117 9	12,770 0	2,087 3	0,479 08
5 000	5,995 5	11,757 5	1,961 0	0,509 93
5 100	5,878 0	10,938 4	1,860 9	0,537 37
5 200	5,764 9	10,257 6	1,779 3	0,562 01
5 300	5,656 2	9,679 9	1,711 4	0,584 32
5 400	5,551 4	9,181 3	1,653 9	0,604 65
5 500	5,450 5	8,745 1	1,604 5	0,623 26
5 600	5,353 1	8,359 2	1,561 5	0,640 39
5 650	5,305 8	8,182 1	1,542 1	0,648 46
5 700	5,259 2	8,014 5	1,523 9	0,656 22
5 750	5,213 5	7,855 4	1,506 7	0,663 68
5 800	5,168 6	7,704 1	1,49 06	0,670 88
5 850	5,124 4	7,560 1	1,475 3	0,677 82
5 900	5,080 9	7,422 7	1,460 9	0,684 52
5 950	5,038 3	7,291 4	1,447 2	0,6909 99
6 000	4,996 3	7,165 9	1,434 2	0,697 23

6 050	4,955 0	7,046 5	1,421 9	0,703 27
6 100	4,914 4	6,930 3	1,410 2	0,709 11
6 150	4,874 4	6,819 6	1,399 1	0,714 77
6 200	4,835 1	6,713 1	1,388 4	0,720 24
6 250	4,796 4	6,610 7	1,378 3	0,725 55
6 300	4,758 3	6,512 1	1,368 6	0,730 69
6 350	4,720 9	6,417 1	1,359 3	0,735 68
6 400	4,684 0	6,325 3	1,350 4	0,740 51
6 450	4,647 7	6,236 8	1,341 9	0,745 21
6 500	4,611 9	6,151 2	1,333 8	0,749 77
6 550	4,576 7	6,068 4	1,325 0	0,754 19
6 600	4,542 1	5,988 2	1,318 4	0,758 50
6 650	4,507 9	5,910 6	1,311 2	0,762 68
6 700	4,474 3	5,835 4	1,304 2	0,766 75
6 750	4,441 1	5,762 4	1,297 5	0,770 70
6 800	4,408 5	5,691 6	1,291 1	0,774 55
6 850	4,376 3	5,622 9	1,284 9	0,778 30
6 900	4,344 6	5,556 1	1,278 9	0,781 95
6 950	4,313 3	5,491 2	1,273 1	0,785 50
7 000	4,282 5	5,428 0	1,267 5	0,788 96
7 050	4,252 1	5,366 6	1,262 1	0,792 34
7 100	4,222 2	5,306 7	1,256 9	0,795 63
7 150	4,192 7	5,248 5	1,251 8	0,798 84
7 200	4,163 6	5,191 7	1,246 9	0,801 97
7 250	4,134 8	5,136 3	1,242 2	0,805 02
7 300	4,106 5	5,082 4	1,237 6	0,808 00
7 350	4,078 6	5,029 7	1,233 2	0,810 90
7 400	4,051 0	4,978 3	1,228 9	0,813 74
7 450	4,023 8	4,928 1	1,224 7	0,816 51
7 500	3,997 0	4,879 0	1,220 7	0,819 22
7 550	3,970 5	4,831 1	1,216 7	0,821 87
7 600	3,944 4	4,784 3	1,212 9	0,824 45
7 700	3,893 2	4,693 7	1,205 6	0,829 45
7 800	3,843 3	4,607 0	1,198 7	0,834 23

7 900	3,794 6	4,523 9	1,192 2	0,838 80
8 000	3,747 2	4,444 1	1,186 0	0,843 18
8 100	3,700 9	4,367 5	1,180 1	0,847 37
8 200	3,655 8	4,293 9	1,174 5	0,851 40
8 300	3,611 8	4,223 0	1,169 2	0,855 26
8 400	3,568 8	4,154 7	1,164 2	0,358 97
8 500	3,526 8	4,038 9	1,159 4	0,862 53
8 600	3,485 8	4,025 4	1,154 8	0,865 95

7 300	4,106 5	5,921 5	1,442 0	0,693 49
7 350	4,078 6	5,838 7	1,431 6	0,698 54
7 400	4,051 0	5,758 7	1,421 5	0,703 46
7 450	4,023 8	5,681 4	1,411 9	0,708 25
7 500	3,997 0	5,606 6	1,402 7	0,712 91
7 550	3,907 5	5,534 3	1,393 8	0,717 45
7 600	3,944 4	5,464 2	1,385 3	0,721 87
7 650	3,918 6	5,396 2	1,377 1	0,726 18

**Tabulka 8.3. Délka vlny ve vlnovodu**

Vlnovod:  $R_{84}$

Vnější rozměry:  $31,75 \times 15,88$  mm,

vnitřní rozměry:  $28,499 \times 12,624$  mm,

$\frac{a}{b} = 2,4547$ .

Mezní vlnová délka  $\lambda_m = 5,70$  cm ( $f_m = 5\ 259,702$  MHz)

$f$ [MHz]	$\lambda$ [cm]	$\lambda_g$ [cm]	$\frac{\lambda_g}{\lambda}$	$\frac{\lambda}{\lambda_p}$
6 000	4,996 3	10,381 3	2,077 8	0,481 28
6 100	4,914 4	9,701 2	1,974 1	0,506 57
6 200	4,835 1	9,131 0	1,888 5	0,529 53
6 300	4,758 3	8,643 5	1,816 5	0,550 51
6 400	4,684 0	8,220 4	1,755 0	0,569 80
6 500	4,611 9	7,848 6	1,701 8	0,587 62
6 600	4,542 1	7,518 3	1,655 3	0,604 14
6 700	4,474 3	7,222 2	1,614 2	0,619 51
6 800	4,408 5	6,954 9	1,577 6	0,633 87
8 900	4,344 6	6,711 8	1,544 9	0,647 30
7 000	4,282 5	6,489 5	1,515 4	0,659 91
7 050	4,252 1	6,385 3	1,501 7	0,665 93
7 100	4,222 2	6,285 2	1,488 6	0,671 77
7 150	4,192 7	6,189 0	1,476 2	0,677 44
7 200	4,163 6	6,096 5	1,464 3	0,682 94
7 250	4,134 8	6,007 4	1,452 9	0,688 29

7 700	3,893 2	5,330 4	1,369 2	0,730 38
7 750	3,868 1	5,266 4	1,361 5	0,734 48
7 800	3,843 3	5,204 4	1,354 2	0,738 47
7 850	3,818 8	5,144 1	1,347 0	0,742 37
7 900	3,794 6	5,085 4	1,340 2	0,746 18
7 950	3,770 8	5,028 4	1,333 5	0,749 89
8 000	3,747 2	4,972 9	1,327 1	0,753 52
8 050	3,723 9	4,918 9	1,320 9	0,757 06
8 100	3,700 9	4,866 3	1,214 9	0,760 52
8 150	3,678 2	4,815 0	1,309 1	0,763 91
8 200	3,655 8	4,765 0	1,303 4	0,767 21
8 250	3,633 6	4,716 3	1,298 0	0,770 45
8 300	3,611 8	4,668 7	1,292 6	0,773 61
8 350	3,590 1	4,622 3	1,287 5	0,776 70
8 400	3,568 8	4,576 9	1,282 5	0,779 73
8 450	3,547 6	4,532 7	1,277 7	0,782 69
8 500	3,526 8	4,489 4	1,272 9	0,785 58
8 550	3,506 2	4,447 1	1,268 4	0,788 42
8 600	3,485 8	4,405 7	1,263 9	0,791 20
8 700	3,445 7	4,325 6	1,255 4	0,796 58
8 800	3,406 5	4,248 9	1,247 3	0,801 75
8 900	3,368 3	4,175 3	1,239 6	0,806 71
9 000	3,330 8	4,104 6	1,232 3	0,811 48
9 100	3,294 2	4,036 7	1,225 4	0,816 07
9 200	3,258 4	3,971 4	1,218 8	0,820 48
9 300	3,223 4	3,908 4	1,212 5	0,824 73

9 400	3,189 1	3,847 8	1,206 5	0,828 82
9 500	3,155 5	3,789 2	1,200 8	0,832 77
9 600	3,122 7	3,732 7	1,195 4	0,836 57
9 700	3,090 5	3,678 1	1,190 1	0,840 24
9 800	3,058 9	3,625 2	1,185 1	0,843 79
9 900	3,028 0	3,574 1	1,180 3	0,847 21
10 000	2,997 8	3,524 6	1,175 8	0,850 52
10 100	2,968 1	3,476 6	1,171 4	0,853 72
10 200	2,939 0	3,430 1	1,167 1	0,856 81

Tabulka 8.3. Délka vlny ve vlnovodu

Vlnovod:  $R_{100}$

Vnější rozměry:  $25,4 \times 12,7$  mm,

vnitřní rozměry:  $22,86 \times 10,16$  mm,

$$\frac{a}{b} = 2,25.$$

Mezní vlnová délka  $\lambda_m = 4,572$  cm ( $f_m = 6\,557,141$  MHz)

$f$ [MHz]	$\lambda$ [cm]	$\lambda_g$ [cm]	$\frac{\lambda_g}{\lambda}$	$\frac{\lambda}{\lambda_g}$
8 100	3,700 9	6,303 2	1,703 1	0,587 15
8 200	3,655 8	6,087 8	1,665 2	0,600 52
8 300	3,611 8	5,890 6	1,630 9	0,613 14
8 350	3,590 1	5,798 1	1,615 0	0,619 19
8 400	3,568 8	5,709 4	1,599 8	0,625 07
8 450	3,547 6	5,624 1	1,585 3	0,630 79
8 500	3,526 8	5,542 0	1,571 4	0,636 37
8 550	3,506 2	5,463 0	1,558 1	0,641 80
8 600	3,485 8	5,386 9	1,545 4	0,647 09
8 650	3,465 6	5,313 4	1,533 2	0,652 24
8 700	3,445 7	5,242 5	1,521 4	0,657 27
8 750	3,426 0	5,173 8	1,510 2	0,662 18
8 800	3,406 5	5,107 5	1,499 3	0,666 96
8 850	3,387 3	5,043 3	1,488 9	0,671 64
8 900	3,368 3	4,981 2	1,478 9	0,676 20
8 950	3,349 5	4,920 9	1,469 2	0,680 66
9 000	3,330 8	4,862 5	1,459 8	0,685 01

9 050	3,312 4	4,805 7	1,450 8	0,689 27
9 100	3,294 2	4,750 7	1,442 1	0,693 43
9 150	3,276 2	4,697 1	1,433 7	0,697 50
9 200	3,258 4	4,645 1	1,425 6	0,701 48
9 250	3,240 8	4,594 5	1,417 7	0,705 37
9 300	3,223 4	4,545 3	1,410 1	0,709 18
9 350	3,206 2	4,497 3	1,402 7	0,712 91
9 400	3,189 1	4,450 6	1,395 6	0,716 56
9 450	3,172 2	4,405 1	1,388 6	0,720 13
9 500	3,155 5	4,360 7	1,381 9	0,723 63
9 550	3,139 0	4,317 4	1,375 4	0,727 06
9 600	3,122 7	4,275 2	1,369 1	0,730 42
9 650	3,106 5	4,233 9	1,362 9	0,733 71
9 700	3,090 5	4,193 7	1,357 0	0,736 94
9 750	3,074 6	4,154 3	1,351 2	0,740 11
9 800	3,058 9	4,115 9	1,345 5	0,743 21
9 900	3,028 0	4,041 5	1,334 7	0,749 24
10 000	2,997 8	3,970 3	1,324 4	0,755 04
10 100	2,968 1	3,902 1	1,314 7	0,760 63
10 200	2,939 0	3,836 7	1,305 5	0,766 02
10 300	2,910 4	3,773 9	1,296 7	0,771 21
10 400	2,882 5	3,713 5	1,288 3	0,776 22
10 500	2,855 0	3,655 3	1,280 3	0,781 06
10 600	2,828 1	3,599 3	1,272 7	0,785 73
10 700	2,801 6	3,545 3	1,265 4	0,790 25
10 800	2,775 7	3,493 1	1,258 5	0,794 62
10 900	2,750 2	3,442 8	1,251 8	0,798 84
11 000	2,725 2	3,394 1	1,245 4	0,802 93
11 100	2,700 7	3,347 0	1,239 3	0,806 89
11 200	2,676 6	3,301 5	1,233 5	0,810 73
11 300	2,652 9	3,257 3	1,227 8	0,814 44
11 400	2,629 6	3,214 5	1,222 4	0,818 04
11 500	2,606 7	3,173 0	1,217 2	0,821 54
11 600	2,584 3	3,132 7	1,212 2	0,824 93
11 700	2,562 2	3,093 6	1,207 4	0,828 22
11 800	2,540 5	3,055 6	1,202 8	0,831 41

11 900	2,519 1	3,018 7	1,198 3	0,834 51
12 000	2,498 1	2,982 8	1,194 0	0,837 53
12 100	2,477 5	2,947 8	1,189 8	0,840 45
12 200	2,457 2	2,913 8	1,185 8	0,843 30
12 300	2,437 2	2,880 6	1,181 9	0,846 07
12 400	2,417 5	2,848 3	1,178 2	0,848 76

Tabulka 8.3. Délka vlny ve vlnovodu

Vlnovod:  $R_{140}$

Vnější rozměry:  $17,83 \times 9,93$  mm,

vnitřní rozměry:  $15,799 \times 7,996$  mm,

$$\frac{a}{b} = 2,0.$$

Mezní vlnová délka  $\lambda_m = 3,16$  cm ( $f_m = 9\,847,705$  MHz)

$f$ [MHz]	$\lambda$ [cm]	$\lambda_g$ [cm]	$\frac{\lambda_g}{\lambda}$	$\frac{\lambda}{\lambda_g}$
11 500	2,606 7	4,612 3	1,769 4	0,565 17
12 000	2,498 1	4,079 7	1,633 1	0,612 34
12 100	2,477 5	3,991 6	1,611 1	0,620 68
12 200	2,457 2	3,908 3	1,590 6	0,628 71
12 300	2,437 2	3,829 4	1,571 2	0,636 45
12 400	2,417 5	3,754 4	1,553 0	0,643 92
12 500	2,398 2	3,683 2	1,535 8	0,651 12
12 600	2,379 2	3,615 3	1,519 6	0,658 08
12 700	2,360 4	3,550 6	1,504 2	0,664 80
12 800	2,342 0	3,488 8	1,489 7	0,671 30
12 900	2,323 8	3,429 6	1,475 8	0,677 59
13 000	2,306 0	3,372 9	1,462 7	0,683 68
13 100	2,288 4	3,318 5	1,450 2	0,689 58
13 200	2,271 0	3,266 3	1,438 2	0,695 29
13 300	2,254 0	3,216 1	1,426 9	0,700 84
13 400	2,237 1	3,167 8	1,416 0	0,706 21
13 500	2,220 6	3,121 3	1,405 6	0,711 43
13 600	2,204 2	3,076 4	1,395 7	0,716 50
13 700	2,188 1	3,033 1	1,386 2	0,721 42
13 800	2,172 3	2,991 3	1,377 0	0,726 21

13 900	2,156 7	2,950 9	1,368 3	0,730 86
14 000	2,141 3	2,911 8	1,359 8	0,735 38
14 100	2,126 1	2,873 9	1,351 8	0,739 78
14 200	2,111 1	2,837 3	1,344 0	0,744 06
14 300	2,096 3	2,801 7	1,336 5	0,748 23
14 400	2,081 8	2,767 3	1,329 3	0,752 29
14 500	2,067 4	2,733 8	1,322 3	0,756 24
14 600	2,053 3	2,701 3	1,315 6	0,760 10
14 700	2,039 3	2,669 7	1,309 1	0,763 86
14 800	2,025 5	2,639 0	1,302 9	0,767 52
14 900	2,011 9	2,609 2	1,296 9	0,771 09
15 000	1,998 5	2,580 1	1,291 0	0,774 58
15 100	1,985 3	2,551 8	1,285 4	0,777 98
15 200	1,972 2	2,524 3	1,279 9	0,781 30
15 300	1,959 3	2,497 4	1,274 6	0,784 54
15 400	1,946 6	2,471 2	1,269 5	0,787 71
15 500	1,934 0	2,445 7	1,264 5	0,790 80
15 600	1,921 6	2,420 8	1,259 7	0,793 82
15 700	1,909 4	2,396 4	1,255 1	0,796 77
15 800	1,897 3	2,372 7	1,250 5	0,799 66
15 900	1,885 4	2,349 4	1,246 1	0,802 48
16 000	1,873 6	2,326 8	1,241 9	0,805 24
16 200	1,850 5	2,282 9	1,233 7	0,810 58
16 400	1,827 9	2,240 9	1,226 0	0,815 69
16 600	1,805 9	2,200 7	1,218 6	0,820 59
16 800	1,784 4	2,162 1	1,211 7	0,825 29
17 000	1,763 4	2,125 1	1,205 1	0,829 79
17 200	1,742 9	2,089 5	1,198 9	0,834 12
17 400	1,722 9	2,055 2	1,192 9	0,838 28
17 600	1,703 3	2,022 2	1,187 3	0,842 28
17 800	1,684 1	1,990 4	1,181 9	0,846 12
18 000	1,665 4	1,959 7	1,176 7	0,849 82
18 200	1,647 1	1,930 1	1,171 8	0,853 39
18 400	1,629 2	1,901 5	1,167 1	0,856 82
18 600	1,611 7	1,873 8	1,162 6	0,860 14

18 800	1,594 6	1,847 0	1,158 3	0,863 33
19 000	1,577 8	1,821 0	1,154 2	0,866 41

20 400	1,469 5	2,026 9	1,379 3	0,725 01
20 600	1,455 2	1,989 9	1,367 4	0,731 31
20 800	1,441 2	1,954 6	1,356 2	0,737 37
21 000	1,427 5	1,920 7	1,345 5	0,743 21
21 200	1,414 0	1,888 3	1,335 4	0,748 84
21 400	1,400 8	1,857 2	1,325 8	0,754 28
21 600	1,387 9	1,827 3	1,316 6	0,759 53
21 800	1,375 1	1,798 5	1,307 9	0,764 60
22 000	1,362 6	1,770 8	1,299 6	0,769 50
22 200	1,350 3	1,744 1	1,291 6	0,774 24
22 400	1,338 3	1,718 3	1,284 0	0,778 82
22 600	1,326 4	1,693 5	1,276 7	0,783 26
22 800	1,314 8	1,669 5	1,269 8	0,787 56
23 000	1,303 4	1,646 3	1,263 1	0,791 72
23 200	1,292 1	1,623 8	1,256 7	0,795 76
23 400	1,281 1	1,602 0	1,250 5	0,799 67
23 600	1,270 2	1,580 9	1,244 6	0,803 47
23 800	1,259 6	1,560 5	1,238 9	0,807 15
24 000	1,249 1	1,540 7	1,233 5	0,810 73
24 200	1,238 7	1,521 4	1,228 2	0,814 20
24 400	1,228 6	1,502 7	1,223 1	0,817 57
24 600	1,218 6	1,484 6	1,218 3	0,820 85
24 800	1,208 8	1,466 9	1,213 5	0,824 03
25 000	1,199 1	1,449 7	1,209 0	0,827 13
25 200	1,189 6	1,433 0	1,204 6	0,830 14
25 400	1,180 2	1,416 7	1,200 4	0,833 08
25 600	1,171 0	1,400 8	1,196 3	0,835 93
25 800	1,161 9	1,385 4	1,192 3	0,838 71
26 000	1,153 0	1,370 3	1,188 5	0,841 41
26 200	1,144 2	1,355 6	1,184 8	0,844 05
26 400	1,135 5	1,341 2	1,181 2	0,846 61
26 600	1,127 0	1,327 2	1,177 7	0,849 12
26 800	1,118 6	1,313 6	1,174 3	0,851 56
27 000	1,110 3	1,300 2	1,171 1	0,853 94
28 000	1,070 6	1,237 7	1,156 1	0,864 99

**Tabulka 8.3. Délka vlny ve vlnovodu**

Vlnovod:  $R_{220}$

Vnější rozměry:  $12,70 \times 6,35$  mm,

vnitřní rozměry:  $16,668 \times 4,318$  mm,

$$\frac{a}{b} = 2,470\ 6.$$

Mezní vlnová délka  $\lambda_m = 2,134$  cm ( $f_m = 14\ 051,02$  MHz)

$f$ [MHz]	$\lambda$ [cm]	$\lambda_g$ [cm]	$\frac{\lambda_g}{\lambda}$	$\frac{\lambda}{\lambda_g}$
16 000	1,873 6	3,916 4	2,090 3	0,478 40
16 200	1,850 5	3,717 4	2,008 9	0,497 79
16 400	1,827 9	3,544 0	1,938 8	0,515 78
16 600	1,805 9	3,391 0	1,877 8	0,532 55
16 800	1,784 4	3,254 8	1,824 0	0,548 24
17 000	1,763 4	3,132 4	1,776 3	0,562 96
17 200	1,742 9	3,021 6	1,733 7	0,576 82
17 400	1,722 9	2,920 6	1,695 2	0,589 89
17 600	1,703 3	2,828 2	1,660 5	0,602 25
17 800	1,684 1	2,743 1	1,628 8	0,613 96
18 000	1,665 4	2,664 4	1,599 8	0,625 06
18 200	1,647 1	2,591 3	1,573 2	0,635 63
18 400	1,629 2	2,523 2	1,548 7	0,645 69
18 600	1,611 7	2,459 6	1,526 1	0,655 28
18 800	1,594 6	2,399 9	1,505 1	0,664 43
19 000	1,577 8	2,343 8	1,485 5	0,673 17
19 200	1,561 3	2,290 9	1,467 3	0,681 54
19 400	1,545 2	2,240 9	1,450 2	0,689 55
19 600	1,529 5	2,193 6	1,434 3	0,697 23
19 800	1,514 0	2,148 8	1,419 3	0,704 60
20 000	1,498 9	2,106 1	1,405 1	0,711 67
20 200	1,484 0	2,065 6	1,391 8	0,718 47

**Tabulka 8.3. Délka vlny ve vlnovodu**

Vlnovod:  $R_{320}$

Vnější rozměry:  $9,14 \times 5,59$  mm,

vnitřní rozměry:  $7,112 \times 3,556$  mm,

$$\frac{a}{b} = 2,0.$$

Mezní vlnová délka  $\lambda_m = 14,224$  cm ( $f_m = 21\,076,53$  MHz)

$f$ [MHz]	$\lambda$ [cm]	$\lambda_g$ [cm]	$\frac{\lambda_g}{\lambda}$	$\frac{\lambda}{\lambda_g}$
25 000	1,199 1	2,229 3	1,859 1	0,537 89
25 500	1,175 6	2,088 2	1,776 3	0,562 96
26 000	1,153 0	1,968 9	1,707 6	0,585 61
26 500	1,131 2	1,866 0	1,649 6	0,606 22
27 000	1,110 3	1,776 3	1,599 8	0,625 07
27 250	1,100 1	1,735 4	1,577 5	0,633 91
27 500	1,090 1	1,696 9	1,556 7	0,642 39
27 750	1,080 3	1,660 6	1,537 2	0,650 54
28 000	1,070 6	1,626 2	1,518 9	0,658 37
28 250	1,061 2	1,593 5	1,501 7	0,665 91
28 500	1,051 8	1,562 5	1,485 5	0,673 17
28 750	1,042 7	1,533 0	1,470 2	0,680 17
29 000	1,033 7	1,504 9	1,455 8	0,686 92
29 250	1,024 9	1,478 0	1,442 1	0,693 43
29 500	1,016 2	1,452 3	1,429 2	0,699 72
29 750	1,007 7	1,427 7	1,416 8	0,705 80
30 000	0,999 3	1,404 1	1,405 1	0,711 67
30 250	0,991 0	1,381 5	1,394 0	0,717 36
30 500	0,982 9	1,359 7	1,383 4	0,722 86
30 750	0,974 9	1,338 8	1,373 3	0,728 19
31 000	0,967 0	1,318 6	1,363 6	0,733 35
31 250	0,959 3	1,299 2	1,354 4	0,738 36
31 500	0,951 7	1,280 5	1,345 5	0,743 21
31 750	0,944 2	1,262 4	1,337 0	0,747 92
32 000	0,936 8	1,244 9	1,328 9	0,752 49
32 250	0,929 5	1,228 0	1,321 1	0,756 93

32 500	0,922 4	1,211 7	1,313 7	0,761 24
32 750	0,915 3	1,195 9	1,306 5	0,765 43
33 000	0,908 4	1,180 5	1,299 6	0,769 50
33 250	0,901 6	1,165 6	1,299 2	0,773 46
33 500	0,894 9	1,151 2	1,286 5	0,777 31
33 750	0,888 2	1,137 2	1,280 3	0,781 06
34 000	0,881 7	1,123 6	1,274 4	0,785 71
34 250	0,875 3	1,110 4	1,268 6	0,788 26
34 500	0,868 9	1,097 5	1,263 1	0,791 72
34 750	0,862 7	1,085 0	1,257 7	0,795 09
35 000	0,865 5	1,072 8	1,252 5	0,798 38
35 250	0,850 4	1,060 9	1,247 5	0,801 58
35 500	0,844 4	1,049 4	1,242 7	0,804 71
35 750	0,838 5	1,038 1	1,239 0	0,807 75
36 000	0,832 7	1,027 1	1,233 5	0,810 73
36 250	0,827 0	1,016 4	1,229 1	0,813 63
36 500	0,821 3	1,005 9	1,224 8	0,816 46
36 750	0,813 7	0,995 7	1,220 7	0,819 22
37 000	0,810 2	0,985 7	1,216 7	0,821 92
37 250	0,801 8	0,976 0	1,212 8	0,824 56
37 500	0,799 4	0,966 5	1,209 0	0,827 13
37 750	0,794 1	0,957 2	1,205 3	0,829 65
38 000	0,788 9	0,948 1	1,201 8	0,832 11
38 500	0,778 6	0,930 4	1,194 9	0,836 86
39 000	0,768 7	0,913 5	1,188 5	0,841 81
39 500	0,758 9	0,897 3	1,182 4	0,845 77
40 000	0,749 4	0,881 8	1,176 6	0,849 94
40 500	0,740 2	0,866 8	1,171 1	0,853 94
41 000	0,731 2	0,852 4	1,165 8	0,857 77
41 500	0,722 4	0,838 5	1,160 8	0,861 45
42 000	0,713 8	0,825 2	1,156 1	0,864 99

## ■ Literatura

- [1] Bohumil Kvasil: Theoretické základy techniky centimetrových vln, SNTL 1956.
- [2] Ginzfon, E. L.: Miernictvo mikrofalove. PWT 1961.
- [3] WaveGUIDE Handbook. McGraw Hill 1951.
- [4] Handbook and buyers guide. McGraw Hill 1958.
- [5] Wire line A New Easy Method of Microwave Circuit Construction. QST, July 1981.
- [6] Reithofer: Amateurfunkgeräte für das 10 GHz-band. Franzis 1982.
- [7] Heidemann, R.: Gunn-Oscillator für das 24 GHz-band. UKW – Berichte č. 3/1981.
- [8] Mallwitz, U.: Versuche mit einem 10 GHz vervielfacher mit Fingerfilter Ankupplung. UKW Beichte č. 3/1981.
- [9] Reihoffer, S.: 24 GHz Durchblasenmischer. UKW Beichte č. 4/1981.
- [10] Schäfer, E.: Gunnoscilator (Detektor) Mischer für 24 GHz. UKW Beichte č. 4/1981.
- [11] Smirenin, B. A.: Radiotechnická příručka. SNTL 1954.
- [12] Meinke, H. H.: Kurven, Formeln und Daten aus der Dezimeterwellen – technik. Skriptum technische hochschule München 1951.
- [13] Punčochář, J.: Technika velmi krátkých vln. SNTL, skriptum 1964.
- [14] Dokument č. 6 SNTL 1954.
- [15] Dokument č. 7. SNTL 1954.
- [16] Ajzenberg, G. Z.: Anteny dlja magistrálnych radiosvjazzej. Svjazjizdat 1948.
- [17] Kovalev, I. S.: Těoriya i rasčot poloskovych volnovodov.
- [18] Ajzenberg, G. Z.: Korotkopolnyje anteny, GILC Moskva 1962.
- [19] -itk-: Rychlé programovatelné děliče kmitočtu pro fázové závěsy a čítače. Sdělovací technika č. 6/1983.
- [20] Sborník ze semináře instruktorů v Holicích, 1986.

JUDr. Josef Petránek

## PRÁVO NA ANTÉNU

### I.

Potřeba antény je spojena již s vynálezem rádia. První problémy s anténami se však začaly vyskytovat teprve po vzniku rozhlasu. Již první konflikty při zřizování tehdy nezbytných antén pro rozhlasový příjem byly nejen poměrně časté, ale také značně úporné, takže se jimi musela občas zabývat i nejvyšší soudní instance.

Odpor vlastníků domů a jiných nemovitostí proti zřizování rozhlasových přijímacích antén a antén amatérských stanic byl posilován zejména tehdejším pojetím vlastnického práva jako neomezeného panství nad věcí, které mělo být zřízením antény do určité míry narušeno. Přispělo k tomu ovšem i počáteční nedocenění společenského významu rozhlasu, který byl tehdy chápán jako něco téměř zbytečného, sloužícího snad jen k ukrácení dlouhé chvíle. Také amatérská služba se tehdy setkávala spíše s nedůvěrou než se společenským uznáním a podporou.

Právo na anténu je jedním z klasických případů, na nichž je možno sledovat vývoj právního myšlení, právního cítění společnosti i vývoj příslušných právních předpisů a jejich výkladu. Společnost a její orgány byly nuteny uznat již koncem první republiky a zejména po skončení druhé světové války mimořádný společenský význam nejen rozhlasu, ale později i televize v životě dnešního člověka. Dávno nelze tvrdit, že příjem rozhlasu a televize je jen záležitostí občanů, která si nezaslouží veřejné ochrany. Naopak, naše socialistická společnost prohlásila rozhlas a televizi za národní majetek<sup>1</sup> a využívá těchto sdělovacích prostředků k šíření informací a zajišťování politické i kulturní výchovy obyvatelstva. To vytvořilo pochopitelně i příznivé předpoklady pro posuzování práva občana na zřízení rozhlasové a televizní antény.

[1] Ústava ČSSR, zejména čl. 8

Změnil se i názor na amatérskou službu, která dnes plní mj. i důležité branněvýchovné úkoly, takže nemůže být pochyb o veřejném zájmu na zřizování a provozování amatérských stanic včetně jejich antén.

## II.

Protože uplatňování práva na anténu se dnes nejcitlivěji projevuje u přijímacích antén rozhlasových a hlavně televizních, je těžiště tohoto pojednání právě na tomto úseku. Zmiňujeme se však též o problematice jiných druhů antén, zejména vysílacích a přijímacích antén amatérských stanic.

Anténa je součástí telekomunikačního zařízení pracujícího na principu vyzařování nebo příjmu elektromagnetických vln. Někdy se anténa nesprávně považuje za samostatné telekomunikační zařízení. Podle funkce rozlišujeme antény vysílací a přijímací, podle druhu služby, s níž pracují, například antény rozhlasové, televizní a antény amatérských stanic, podle umístění antény venkovní, vnitřní, vestavěné aj. Rozhlasové, popřípadě televizní přijímací antény určené jen pro jeden přijímač (jednoho účastníka) nazýváme individuální, naproti tomu tzv. společné antény, připojené zpravidla na společný antenní rozvod, musí být schopny zásobit vysokofrekvenčním signálem v dostatečné úrovni větší počet přijímačů.

Anténa, protože není samostatným telekomunikačním zařízením ve smyslu zákona o telekomunikacích,<sup>2</sup> nevyžaduje podle tohoto zákona ani samostatné povolení (jde-li např. o anténu amatérské stanice), ani samostatné přihlášení k evidenci (jde-li o anténu rozhlasovou nebo televizní). To znamená, že z hlediska zákona o telekomunikacích, zřízení samotné antény (bez vlastního telekomunikačního zařízení) není dnes nikak omezeno. Z občanskoprávního hlediska však může právo na zřízení antény na cizí nemovitosti uplatňovat jen ten, kdo má platné oprávnění na telekomunikační zařízení, pro které anténu potřebuje (např. povolení ke zřízení a provozování vysílací rádiové stanice, popřípadě potvrzení o evidenci televizního přijímače). Naproti tomu vlastník rodinného domku, který si chce na střeše svého domu zřídit televizní anténu, může tak učinit, i když třeba televizní přijímač ještě

nemá. To je možné proto, že jako vlastník uvedené nemovitosti ne-použije sám proti sobě námitku, že anténu nepotřebuje pro žádné telekomunikační zařízení, které je oprávněn používat.

Výslovné a zásadní ustanovení o stavbě venkovních přijímacích rozhlasových a televizních antén najdeme především v zákoně o telekomunikacích<sup>3</sup>.

Podle tohoto ustanovení se ke stavbě uvedených antén nevyžaduje stavební povolení, s výjimkou případů, kdy antény křižují pozemní komunikace a vedení. V takových případech vydá potřebné povolení stavební úřad<sup>4</sup> na základě předloženého náčrtku a písemného souhlasu provozovatelů křižovaných vedení, popřípadě správy pozemní komunikace<sup>5</sup>. V jiných případech není stavební povolení třeba, antény však musí vždy vyhovovat technickým normám, popřípadě jiným obecným technickým předpisům. To zdůrazňuje i platný Rozhlasový a televizní řád<sup>6</sup>.

Zatímco naše právní předpisy se zmiňují o anténách jen poměrně stručně, technické normy o nich pojednávají mnohem podrobněji. Ta-ké většina běžných pojmu z oboru antén je definována právě v těchto normách.

Naší základní technickou normou je ČSN 34 2820 – Předpisy pro antény. Tyto předpisy platí pro stavbu individuálních i společných antén zřízených pro příjem rozhlasu (všech druhů) a televize a pro příjem speciálními přijímači. Platí i pro vysílací antény, pokud celková výška anténní nosné konstrukce včetně anténní soustavy nepřesahuje 10 m, jsou-li tyto antény umístěny na budovách nebo jiných stavbách, popřípadě 15 m, jsou-li postaveny na zemi. Neplatí však pro antény mobilní (vozidlové, přenosné), radiolokační a majákové ani pro antény pro radioreléové spoje v pásmu centimetrových a decimetrových vln.

3] § 17 odst. 5 zákona č. 110/1964 Sb.

4] Stavebním úřadem je zpravidla okresní národní výbor, který však může stanovit stavebním úřadem městský nebo místní národní výbor. V Praze a v Bratislavě jsou stavebními úřady obvodní národní výbory, popřípadě místní národní výbory, určené národním výborem příslušného hlavního města – § 117 zákona č. 50/1976 Sb., o územním plánování a stavebním řádu (stavební zákon).

5] Vyhláška č. 111/1964 Sb., kterou se provádí zákon o telekomunikacích, ve znění vyhlášek č. 92/1974 Sb. a č. 148/1984 Sb. – § 12 odst. 1.

6] Vyhláška č. 51/1985 Sb., kterou se vydává Rozhlasový a televizní řád – § 2 odst. 1 a 3

**Anténa** je anténní zařízení sestávající z vlastní anténní soustavy, z napáječů, z nosných částí a ochranných zařízení.

**Anténní soustava** je část anténního zařízení, které vysílá elektromagnetické vlny (dále jen **vysílací anténa**), nebo které elektromagnetické vlny přijímá (dále jen **přijímací anténa**).

Další důležitou anténní normou je ČSN 36 7210 – Televizní a VKV přijímací antény, s účinností od 1. 1. 1986. Stanoví jejich základní elektrické a mechanické vlastnosti, určuje způsoby jejich měření a kontroly. Stanoví také hlavní konstrukční zásady. Neplatí však pro antény vnitřní a náhražkové, ani pro přijímací antény, jejichž nedilnou součástí jsou elektronické obvody.

Další norma – ČSN 36 7211 – Společný příjem a rozvod televizních a rozhlasových signálů, s účinností od 1. 7. 1985, nahradila dřívější normu z 21. 2. 1974 (ČSN 34 2830 – Předpisy pro společné přijímací televizní a rozhlasové antény a jejich rozvody). První část této rozsáhlé normy, nadepsaná Systémy, upravuje projektování, montáž, kontrolu a provoz systémů zajišťujících příjem a rozvod vysokofrekvenčních signálů v normalizovaných kmitočtových pásmech. Stanoví všeobecné povinnosti týkající se výstavby a provozu systémů, provozní podmínky, technické požadavky a metody měření jejich přenosových vlastností. Norma nestanoví vlastnosti jednotlivých dílů nebo částí systémů, ale určuje závazné parametry pro systém jako funkční celek. Druhá část normy, označená Aktivní a pasivní prvky systémů, platí pro vývoj, výrobu a dodávání aktivních a pasivních prvků přijímacích a rozvodních systémů pro televizní a rozhlasové signály a určuje technické požadavky, způsoby měření a zkoušení, jakož i způsob dodávání a přejímání aktivních a pasivních prvků.

Uvedená norma vychází z vyhlášky federálního ministerstva spojů č. 73/1974 Sb., o společných rozvodech rozhlasových a televizních signálů po kabelech. **Společná televizní anténa (STA)** je normou definována jako „systém, u něhož je na výstup hlavní stanice napojen pouze účastnický rozvod bez aktivních dílů“. Jde o nejjednodušší typ společného rozvodu rozhlasových a televizních signálů po kabelech.

**Anténní sestava (AS)** je soubor přijímacích antén, symetrikačních členů a antenních napáječů nutných k příjmu požadovaných televizních a rozhlasových signálů. Podle přijímaných signálů se antény dělí na:

a) AM antény – přijímací antény pro rozhlasová pásma dlouhých a středních vln;

b) FM antény – přijímací antény pro rozhlasová pásma VKV;

c) TV antény – přijímací antény pro televizní pásma (dělí se na kanálové, vícekanálové, pásmové a širokopásmové).

### III.

Průkopníci rozhlasového vysílání to u nás ve dvacátých letech rozhodně neměli snadné. Povzbuzovaly je však sympatie a nezíštná pomoc mnoha dobrovolných nadšenců, mezi nimiž bylo i hodně radioamatérů, často ještě tajných. Lehčí to neměli ale ani první rozhlasoví posluchači. Pokud jimi byli radioamatéři, mohli si alespoň levněji opatřit, to znamená sami postavit, své první přijímače. K tomu ovšem potřebovali od ministerstva pošt a telegrafů nejdříve tzv. koncesi na rozhlasovou přijímací stanici. Povolovací řízení bylo důkladné a značně zdlouhavé. Když měl takový rozhlasový nadšenec nejen koncesi, ale dokonce i vhodný přijímač, čekalo ho často ještě jedno nepříjemné překvapení, zejména, když nebyl majitelem domu nebo jiné nemovitosti, na níž by si mohl postavit tehdy nezbytnou rozhlasovou přijímací anténu.

Přestože se první rozhlasové koncese získávaly obtížně, získat souhlas vlastníka domu k postavení antény bylo často ještě obtížnější a někdy se ho nepodařilo získat vůbec. Pokud se to nepodařilo „po dobrém“, tj. dohodou s vlastníkem domu, nedomohli se žadatelé práva na anténu často ani „po zlém“, tj. soudní cestou. Tehdejší soudy totiž nebraly rozhlas příliš vážně, a proto se shodovaly v názoru, že není ve veřejném zájmu, aby se kvůli němu dost pronikavě zasahovalo do vlastnického práva.

Svědčí o tom prvá rozhodnutí československých soudů, které se již ve druhé polovině dvacátých let otázkou antén dosti často zabývaly. S vymáháním práva na anténu se u nás setkáváme i v judikatuře Nejvyššího soudu z roku 1930<sup>7</sup>, kdy byla zamítnuta žaloba venkovského hodináře, který si ve svém bydlišti jako první koupil rozhlasový přijímač a instaloval jej ve svém bytě. Když si však chtěl postavit potřeb-

7] Boh. adm. č. 10120/30.

nou venkovní anténu, setkal se se záprutilým odporem majitele domu. Potřebu rozhlasového příjmu a k tomu nezbytné antény odůvodňoval tento nájemník<sup>8</sup> tím, že má závazek seřídit každý večer hodiny na kostelní věži, k čemuž prý potřebuje přesný čas z rozhlasu. Časový signál vysílala tenkrát v 19 hodin vídeňská rozhlasová stanice. Nejvyšší soud tehdy rozhodl, že bez souhlasu majitele domu si nájemník nemůže postavit venkovní anténu. Své rozhodnutí odůvodnil tím, že poslech rozhlasu není hospodářsky tak významným faktorem, aby mu mohla být přiznána zvýšená podpora z důvodu veřejného zájmu. Podle tehdejšího názoru Nejvyššího soudu, jak je v rozhodnutí uvedeno, slouží prý poslech rozhlasu většinou jen ke zpříjemnění života. Protože šlo o zásadní rozhodnutí Nejvyššího soudu, bylo toto rozhodnutí za první republiky dlouho závazným vodítkem pro rozhodování ostatních soudů, které v tomto duchu vydaly řadu dalších rozhodnutí upírajících nájemníkovi právo na zřízení venkovní rozhlasové antény bez souhlasu vlastníka domu.

O tehdejším nepochopení společenského významu rozhlasu svědčí ještě jedno rozhodnutí Nejvyššího soudu, pocházející již z roku 1927<sup>9</sup>. Nešlo sice o anténu, ale o problém uzemnění rozhlasového přijímače. I v tomto případě zaujal Nejvyšší soud negativní stanovisko k požadavku nájemníka, aby si mohl uzemnit svůj rozhlasový přístroj na společně používanou vodovodní výlevku na chodbě činžovního domu. Podobná rozhodnutí přispívala k tomu, že v prvních letech pronikal rozhlas do širších lidových vrstev jen pomalu a obtížně.

Právo na anténu bylo nutno prosazovat ve většině případů ve střetu s vlastnickým právem k nemovitosti, na níž měla být anténa zřízena. Někdy byly příčinou odporu i důvody stavebně technického nebo památkového rázu, jindy zase obavy z rušení jiných telekomunikačních zařízení. Přestože spory vznikaly nejdříve o rozhlasové antény, je zajímavé, že jich nepřibývalo úměrně ke vzniku rozhlasových přijímačů, z nichž i ty nejjednodušší mohou dnes přijímat alespoň nejbližší nebo nejsilnější rozhlasové vysílače bez venkovní přijímací antény, i když často na úkor kvality příjmu. Se vznikem kmitoč-

[8] Dřívější označení nájemce nebo nájemník již platný občanský zákoník z roku 1964 nepoužívá a nahradil jej pojmem uživatel bytu.

[9] Vážný, civ. 7637/27.

tově modulovaného rozhlasu na velmi krátkých vlnách se však pro tento účel znova prosazuje potřeba dobré VKV přijímací antény.

Naproti tomu u televize byla a je dobrá venkovní anténa vždy nezbytnou podmínkou kvalitního příjmu. Přitom její konstrukce, stejně jako VKV přijímací anténa, by mohla mnohem více než drátová přijímací anténa pro klasický rozhlas poškodit nemovitost nebo způsobit jinou škodu, zejména jde-li o složitější anténní soustavy.

Nový přístup ke zřizování antén najdeme v plenárním usnesení Nejvyššího soudu z 26. května 1956 Pls 4/56<sup>10</sup>, který se touto otázkou zabýval z podnětu ministerstva spravedlnosti s vysvětlením, že „rychlý rozvoj televize vyvolal nutnost řešit aktuální otázku, zda, popřípadě kdy je majitel domu oprávněn odepřít nájemníku souhlas ke zřízení venkovní antény pro příjem televize“. Tuto otázkou vyřešil Nejvyšší soud vydáním závazných směrnic pro soudy, které ovšem platily jen v případech, kdy mezi nájemcem a pronajimatelem nebylo v tomto směru ujednáno něco jiného. V naprosté většině nájemních smluv skutečně jakékoli ustanovení o anténách chybělo, nehledě k tomu, že tyto smlouvy se uzavíraly často jen ústně.

Nejvyšší soud se ve svém rozhodnutí zabývá právem **nájemce** na zřízení **televizní** antény, přitom připouští, že jím stanovených zásad lze použít „... i pro jiné případy užívání nějakého objektu k účelům bydlení, tedy i tehdy, když jde o užívání na základě jiného právního poměru než nájemního a rovněž pro zřízení venkovní antény pro příjem rozhlasu“. Pod pojmem „venkovní anténa“ se rozumí anténa umístěná mimo prostory, které má nájemce od vlastníka domu pronajaty k výhradnímu užívání, tj. v prostorách, které jsou většinou užívány společně více nájemci, nebo v prostorách, jež nejsou pronajaty žádnému nájemci, jako například střechy apod.

V době, kdy začínala vysílat televize, docházelo však při zřizování rozhlasových antén k neshodám mezi nájemníkem a vlastníkem domu již jen poměrně zřídka, a to díky dokonalejším rozhlasovým přijímačům, které již často vnější anténu nepotřebovaly. Zato mnohem robustnější televizní antény, kterých stále přibývalo, se staly předmětem diskusí i sporů, zejména vzhledem k možnosti poškození domovního majetku, zvláště střech. Nejvyšší soud musel proto řešit tyto otázky:

[10] Sbírka rozhodnutí československých soudů, č. 89/1956.

1. Zda má nájemce vůbec právo na zřizování venkovní antény, a zda je vlastník domu povinen mu to dovolit, či zda může svůj souhlas odepřít a z jakých důvodů.

2. Zda je vlastník domu povinen uvést svůj dům do takového stavu, aby nájemce mohl venkovní anténu na domě umístit, a zda je povinen svůj dům v takovém stavu udržovat.

3. Kdo nese náklady na zřízení antény.

4. Zda za používání antény náleží vlastníku domu zvláštní náhrada. Na uvedené otázky odpověděl Nejvyšší soud takto:

1. Rozsah nájemcova oprávnění užívat najaté věci přiměřeně povaze a určení věci nutno vykládat tak, že zásadně je v něm zahrnut i nárok na to, aby si nájemce zřítil venkovní anténu nejen pro rozhlas, ale i pro televizi.

2. Pronajimatel není povinen uvést dům do takového stavu, aby si nájemce mohl anténu na domě umístit, ani není povinen jej v takovém stavu udržovat.

3. Zřízení a udržování antény se děje na náklady nájemce.

4. Pronajimateli nenáleží zvláštní náhrada za to, že nájemce používá venkovní anténu.

V odůvodnění Nejvyššího soudu uvádí, že zřízením antény není omezen obsah vlastnického práva nad míru zákonem dovolenou. Naopak, bezdůvodné odmítnutí souhlasu by bylo nutno považovat za zneužití práva ke škodě celku, což je v rozporu s naším právním řádem. Rozhodnutí však připouští, že by se vlastník domu mohl účinně bránit postavení antény například s odvoláním na špatný stav střechy nebo konstrukce krovu, jež v daném případě z vážných technických důvodů stavbu antény nepřipouští. Směrnice Nejvyššího soudu ponechaly soudům, aby samy posoudily (popřípadě na podkladě znaleckých posudků), zda jde o vážné technické důvody, které by soud mohl uznat a přiklonit se tak k odmítavému stanovisku pronajimatele.

Není-li objekt, na kterém má být anténa zřízena, ve vyhovujícím stavu pro menší závady, je podle směrnic vlastník objektu povinen dovolit, aby nájemce provedl potřebné drobné úpravy, jež tyto vady odstraní. Nezbytným předpokladem pro nutný souhlas vlastníka domu však byla podmínka, že anténa musí být provedena „odborně, se zachováním všech příslušných předpisů, a bez poškození pronajimateleho majetku.“

Ve směrnicích je výslově zdůrazněno právo nájemce, aby si zřídil venkovní anténu nejen pro rozhlas, ale i pro televizi, a odůvodňuje se to úsilím o neustálé zvyšování kulturní úrovně našeho lidu.

Dále směrnice stanoví, že náklady na zřízení a udržování antény hradí nájemce, což však nebývalo zpravidla přičinou sporů. Vyskytovaly se případy, že například některé domovní správy požadovaly za souhlas ke zřízení antény zvláštní poplatek. Směrnice proto stanovily, že pronajimateli nenáleží žádná zvláštní náhrada za to, že nájemce používá venkovní antény.

Pro úplnost je však nutno dodat, že uvedené zásady se měly uplatnit jen v případě, že mezi nájemcem a pronajimatelem nebylo již při uzavření nájemní smlouvy nebo dodatečně ujednáno ohledně antény něco jiného. Obvykle se však nájemní smlouvy dříve uzavíraly jen ústně, ale ani písemné nájemní smlouvy na otázku přijímacích antén ne pamatovaly. Směrnice Nejvyššího soudu proto byly vítaným vyplněním nepříjemné mezery v našem telekomunikačním právu a jejich zásady platí v podstatě i dnes.

Platný zákon o telekomunikacích č. 110/1964 Sb., který nabyl účinnosti dnem 1. července 1964, přispěl k dalšímu vyjasnění právní problematiky kolem antén. Jako první náš právní předpis ve svém § 17 odst. 5 totiž výslově stanoví:

„Pro stavbu venkovních přijímacích rozhlasových a televizních antén, pokud jsou dodržovány technické normy, popřípadě jiné obecné technické předpisy, a anténa nekřížuje pozemní komunikace nebo vedení, není třeba stavebního povolení ani souhlasu vlastníka (uživatele) nemovitosti, umístí-li se anténa na téže nemovitosti, kde je rozhlasový nebo televizní přijímač. Vlastníka (správce) nemovitosti je třeba o zamýšlené stavbě antény včas vyrozumět.“

Z toho je patrné, že při odborném provedení odpovídajícím příslušným technickým normám, popřípadě jiným závazným technickým předpisům, si může dnes uživatel bytu zřídit na domě, v němž bydlí, popřípadě na pozemku, na němž dům stojí, přijímací anténu nejen bez stavebního povolení, ale i bez souhlasu vlastníka nemovitosti. Zákon mu ukládá jen povinnost, aby vlastníka (správce) nemovitosti o zamýšlené stavbě včas, tj. včas před zahájením stavby, vyrozuměl. Z logické úvahy, „že vyrozumění“ samo o sobě by nemělo význam,

kdyby z něj vlastník nebo správce nemohl vyvodit důsledky, vyplývá, že podobně jako v jiných případech, může podat vlastník nebo uživatel nemovitosti proti stavbě antény nejpozději do 15 dnů ode dne vyrozumění písemně odůvodněné námitky podle odst. 4 téhož paragrafu. Tyto námitky mají odkladný účinek. To znamená, že kdyby nevzal vlastník nemovitosti nebo jeho zástupce vyrozumění o stavbě antény na vědomí a námitky ve stanovené lhůtě uplatnil, nemohl by nájemník antény svémocně zřídit. Pokud by při jednání, které by z toho pravděpodobně vyplynulo, nedošlo mezi nimi k dohodě, musel by o odůvodněnosti námitk rozhodnout stavební úřad, popřípadě soud. Vlastník by mohl své námitky opírat v konkrétním případě například o špatný stavební stav nemovitosti, ale i o jiné důvody, které se mohou v praxi vyskytnout. Zde je nutno upozornit, že jde sice především o jednotlivé, individuální antény, že se však se stejným problémem můžeme setkat i při stavbě společné antény, zejména kdyby šlo o anténu dodatečně zřizovanou na rodinném domku nebo na některé soukromé nemovitosti.

Citované ustanovení zákona o telekomunikacích mluví výslovňě jen o přijímacích anténách rozhlasových a televizních. Proto je třeba zmínit se i o jiných přijímacích anténách a také o některých anténách vysílacích. Jde především o antény amatérských stanic, pokusných stanic a všech ostatních vysílačů a přijímacích stanic, které jsou zřízeny a provozovány v souladu se zákonem o telekomunikacích, tj. zpravidla na základě povolení uděleného Správou radiokomunikací Praha nebo Bratislava. Zákon se o nich sice nezmíňuje, ale přesto je nutno vycházet z toho, že uvedenou úpravu lze analogicky plně aplikovat i na tyto druhy speciálních antén. Jestliže totiž udělil stát prostřednictvím povolujícího orgánu povolení na příslušné vysílači nebo přijímací zařízení, je možno jistě plným právem předpokládat, že společenský zájem na provozu takovýchto zařízení není o nic menší než u rozhlasových a televizních přijímačů.

Podle těchto zásad rozhodl např. již 28. 11. 1974 Okresní soud v Karlových Varech o žalobě Stavebního bytového družstva v N. proti odpůrce P. K., který si v r. 1968 jako člen SBD zřídil na střeše družstevního domu, v němž bydlel, anténu pro svou amatérskou vysílači rádiovou stanici. Žalobce navrhoval, aby soud rozhodl, že odpůrce je

povinen uvedenou anténu na vlastní náklady odstranit do tří dnů od právní moci rozsudku. V žalobě uvedl, že odůrce hrubým způsobem porušil své povinnosti, když si bez svolení SBD postavil na družstevním domě vysílač antény, což prý vyvolalo řadu stížností družstevníků na rušení rozhlasu a televize.

Žalovaný uvedl, že má platné povolení ke zřízení a provozování amatérské stanice, vydané 15. 2. 1968 ministerstvem vnitra<sup>11</sup>, anténu vybudoval již v roce 1968, po předchozím projednání s předsedou družstva, který neměl námitek.

Na základě zjištěných skutečností soud žalobu zamítl s odůvodněním, že navrhovatel, jako vlastník domu, nemůže společnou anténu zajistit odpůrci možnost provozování jeho stanice v amatérských pásmech. Ve smyslu § 17 odst. 5 zákona o telekomunikacích a vzhledem k povolení, které odpůrce bylo vydáno, nemusel mít k zabudování antény stavební povolení a nepotřeboval k tomu ani souhlas vlastníka nemovitosti. V závěru okresní soud ještě uvedl, že vlastníci nemovitostí by měli vycházet provozovatelům amatérských vysílačů rádiotelevizních stanic vstří, zvláště s přihlédnutím k zákonu č. 73/1973 Sb., o branné výchově, a k zákonu č. 40/1961 Sb., o obraně ČSSR.

Tímto případem se zabýval na základě podaného odvolání ještě Krajský soud v Plzni, který dne 4. 3. 1975 rozsudek soudu prvního stupně potvrdil. V odůvodnění mj. uvedl: „Odpůrce tvrdí, že anténu zabudoval již v roce 1968, když si před tím vyžádal souhlas předsedy družstva. Odvolací soud nemá důvod odpůrci nevěřit, neboť jeho tvrzení je podporováno aktivní radioamatérskou činností v jeho bydlišti od roku 1968 a dále okolnostmi, že totiž k prvemu rozporu mezi ním a navrhovatelem ohledně této činnosti dochází až v roce 1971 . . . Je nepochybné, že jednou z povinností odpůrce je náhrada škody v případě, že touto svojí činností poškodí majetek družstva nebo majetek jiného. Přitom odpůrce sám se této případné odpovědnosti nikterak nebrání a naopak je ochoten kdykoliv škodu způsobenou navrhovatelem odstranit. Dochází-li k rušení čs. rozhlasu nebo čs. televize, je k zjištění združeného rušení a k vydávání pokynů k jejich odstranění výlučně

[11] Podle vyhlášky federálního ministerstva spojů a federálního ministerstva vnitra č. 92/1974 Sb., o povolování amatérských vysílačů rádiotelevizních stanic, od 4. 10. 1974 uděluje povolení na amatérské stanice Správa radiokomunikací Praha (v ČSR) a Správa radiokomunikací Bratislava (ve SSR) – § 2 odst. 1, 2

určen příslušný orgán Ústřední správy spojů (§ 9 zákona č. 110/1964 Sb., § 8 vyhlášky č. 111/1964 Sb.) . . .“

Zákon o telekomunikacích v § 17 odst. 5, třetí věta dále stanoví, že „není dovoleno zřizovat individuální venkovní přijímací antény na objektech, kde již byla zřízena společná anténa vhodná pro požadovaný příjem.“ Toto opatření je mimořádně závažné a vyvolává v praxi hodně dohadů i sporů, zejména pokud jde o pojmem „požadovaný příjem“. Vzhledem k četným dotazům, zda lze vedle společné antény určené zpravidla pro příjem nejbližších, popřípadě nejsilnějších česko-slovenských rozhlasových a televizních vysílačů, zřídit na téma domě ještě individuální anténu pro příjem některých zahraničních vysílačů, vydalo federální ministerstvo spojů dne 10. ledna 1986 výklad pojmu „požadovaný příjem“. Uvádí, že ve smyslu zákona o telekomunikacích jde o příjem rozhlasových a televizních pořadů přejímaných od organizací pověřených jejich tvorbou (§ 3 odst. 8), jejichž signál je v místě přijimatelný v kvalitě K3 (tj. příjem velmi dobrý) nebo K2 (příjem dobrý) tříступňové stupnice definované v příloze k opatření č. 214/1974 VFMS.<sup>12)</sup>

Organizacemi pověřenými tvorbou programů jsou v ČSSR Československý rozhlas a Československá televize. Na základě usnesení předsednictva vlády ČSSR č. 5 ze dne 18. ledna 1984 je podle shodných zásad přejímán i ústřední program televize SSSR. Na tyto programy se tedy podle vysvětlení FMS vztahuje právo zřídit individuální venkovní anténu, pokud jejich příjem není zajištěn společnou anténou. Příjmu programů šířených vysílači umístěnými mimo území ČSSR se působnost zákona č. 110/1964 Sb. netýká.

Z uvedeného vyplývá, že pokud je na domě společná anténa, bylo by u nás možno zajistit příjem například polských televizních vysílačů nebo vysílačů z NDR jedině pomocí této antény (jejím rozšířením), nikoli zřízením antény individuální.

Hlavní zásady pro zřizování společných antén a jejich rozvody stanovilo již usnesení vlády č. 514/1962, o zajištění společných televizních a rozhlasových antén v bytových domech a ve veřejných budovách, a usnesení vlády č. 727/1963. Všem investorům bylo uloženo

12) Směrnice pro hodnocení a posuzování pokrytí území ČSSR a navazující zásady pro postup při dokrývání území elektromagnetickým polem televizního signálu – Čl. 9.

zajistit instalaci společných antén ve všech bytových domech s více než třemi byty. Pokud jde o starší objekty, měli ministři, vedoucí ústředních úřadů a rady KNV a NVP „zajistit v objektech jimi spravovaných nebo v objektech spravovaných organizacemi jim podřízenými, postupně výměnu individuálních televizních antén za společné rozhlasové a televizní antény všude tam, kde to je účelné z hlediska veřejného zájmu.“

Pokud jde o domy v soukromém vlastnictví a rodinné domky s více než dvěma bytovými jednotkami, nelze nutnost výměny individuálních antén opřít přímo o zmíněná vládní usnesení, neboť nejsou pro občany obecně závazná. Nahrazení individuálních antén společnou anténou by mohl v těchto případech nařídit jen příslušný národní výbor s funkcí stavebního úřadu, s odvoláním na poslední větu § 17 odst. 5 zákona č. 110/1964 Sb., která stanoví, že „stavební úřad při státním stavebním dohledu může nařídit přeložení nebo úpravu antén, které ohrožují stavební stav nemovitostí nebo bezpečnost okolí nebo ruší jeho vzhled.“

Význam dobré antény pro kvalitní rozhlasový a televizní příjem je stále nesporný<sup>13)</sup>. Technickému stavu všech antén a zvláště antén společných je proto nutno věnovat zvýšenou pozornost nejen při jejich výstavbě, ale pravidelnými kontrolami i během provozu. Pro výkon státní inspekce telekomunikací nad dodržováním technických norem a technických podmínek při výstavbě a provozu zařízení společných rozvodů rozhlasových a televizních signálů po kabelech vydalo federální ministerstvo spojů zvláštní směrnice<sup>14)</sup>, v nichž pověřilo výkonem státní inspekce při výstavbě a nad provozem těchto zařízení územně příslušné pobočky Inspektorátu radiokomunikací Praha a Inspektorátu radiokomunikací Bratislava.

13) Přijímače, jejich antény a přípojná vedení reprodukčních zařízení je nutno – s dodržením stavebních a jiných předpisů – zřizovat a užívat tak, aby škodlivě neruší jiná telekomunikační zařízení. Organizace spojů nejsou povinny zjišťovat a odstraňovat závady vzniklé tím, že přijímací zařízení stěžujícího si účastníka nevyhovují československým státním normám a jiným obecně závazným předpisům – § 2 odst. 1 a 3 vyhlášky č. 51/1985 Sb., kterou se vydává Rozhlasový a televizní řád.

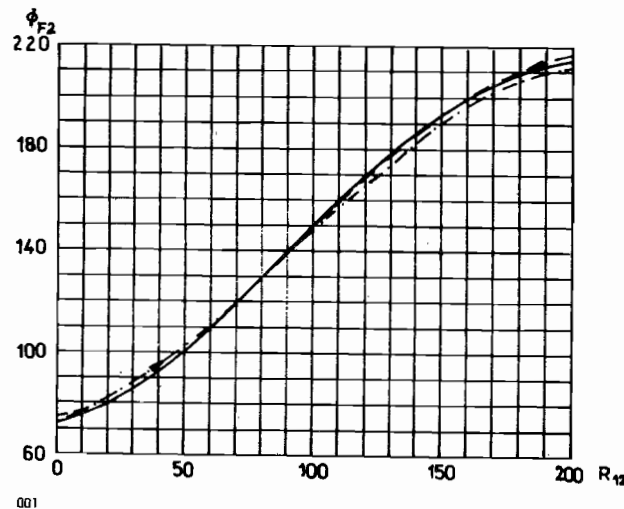
14) Směrnice FMS pro kontrolu společných rozvodů rozhlasových a televizních signálů po kabelech (příloha k opatření č. 27/1976 Věstníku FMS).

## POUŽITÍ „VĚČNÉ“ PŘEDPOVĚDI IONOSFÉRICKÉHO ŠÍŘENÍ (Z KOŠIC)

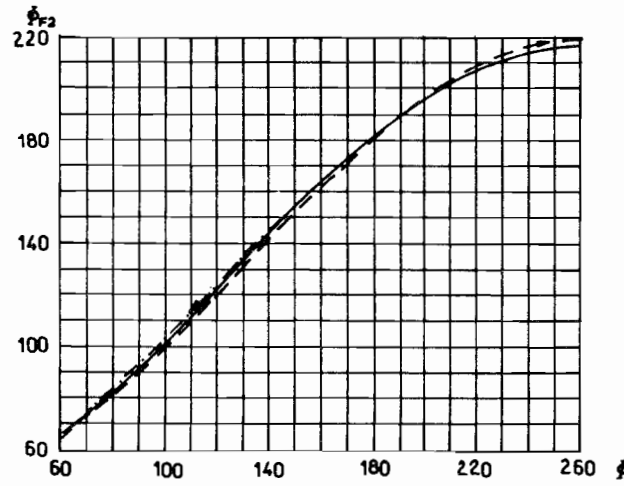
Předpovídání ionosférického šíření dekametrových vln má u nás dlouhodobou tradici, jak o tom svědčí práce [1, 2, 3, 4] vydané již před druhou světovou válkou. Velkým pokrokem byla v roce 1958 práce [5], které se dostalo ocenění na mezinárodním poli. Současný stav předpovědi ionosférického šíření a výhled do budoucnosti uvádí práce [6].

Připojených 24 diagramů pro 12 měsíců roku umožňuje vypracovat předpověď pro „klidnou“ ionosféru, pro kterýkoli den v roce, pro 28 tras vycházejících z Košic. Kdyby se objevil zájem o některou další trasu mezi kterýmkoli dvěma body na zeměkouli, je možné diagramy doplnit.

K vypracování předpovědi je především třeba znát předpokládaný ionosférický index  $\Phi_{F2}$ , uváděný v jednotkách myriajanský, tj.  $10^{-22} \text{ W} \cdot \text{m}^{-2} \text{ Hz}^{-1}$ , přičemž  $1 \text{ Jy} = 10^{-26} \text{ W} \cdot \text{m}^{-2} \cdot \text{Hz}^{-1}$ . Podrobná definice tohoto indexu je uvedena v práci (6). Stručně řečeno, je založen na nelineární korelacaci mezi kritickými kmitočty  $f_0F_2$  ve třinácti osvědčených ionosférických stanicích a tokem slunečního šumu  $\Phi$  na kmitočtu 2 800 MHz. Výhodou tohoto indexu proti dříve používanému dvanáctiměsíčnímu klouzavému průměru čísla slunečních skvrn  $R_{12}$  je lepší korelace s hodnotami  $f_0F_2$  a okolnost, že hodnota  $\Phi_{F2}$  je známa již v měsíci následujícím za pozorování hodnot  $\Phi$  a  $f_0F_2$ , zatímco hodnota  $R_{12}$  je známa až za 7 měsíců. Tím je přesnost předpovědi  $R_{12}$  značně snížena. Plně vytažené křivky platí pro  $\Phi_{F2} = 200$ , dlouze čárkované pro  $\Phi_{F2} = 160$  a tečkované pro  $\Phi_{F2} = 75$ . Mezi těmito hodnotami můžeme interpolovat, případně v malých mezích mimo uvedený rozsah extrapolovat. Potřebnou hodnotu předpovědi indexu  $\Phi_{F2}$  najdeme v literatuře.



Obr. 10.1. Korelace mezi indexy  $R_{12}$   
a  $\Phi_{F2}$ . Stoupající a klesající části slunečního cyklu a soubor obou částí



Obr. 10.2. Korelace hodnot slunečního indexu  $\Phi$  a ionosférického indexu  $\Phi_{F2}$ . Stoupající a klesající části slunečního cyklu a soubor obou částí

Pokud známe předpověď některého z dříve používaných indexů  $R_{12}$  nebo  $\Phi$ , můžeme předpověď indexu  $\Phi_{F2}$  určit z diagramů na obr. 10. 1 a 10. 2.

I když index  $R_{12}$  (dvanáctiměsíční klouzavý průměr  $R$ ) je nadále používán, například při stanovení úrovně sluneční činnosti při plánování rozhlasu na dekametrových vlnách, není jeho použití ničím odůvodněno, neboť hodnoty použitelných kmitočtů v určitém měsíci nemohou být ovlivněny úrovní sluneční činnosti v 6 měsících následujících po měsíci, pro který je předpověď stanovena. Jeho použití je přežitkem z doby, kdy nebylo možné číselně zpracovat, v přijatelném čase, korelace mezi hodnotami sluneční činnosti a hodnotami kmitočtů použitelných pro ionosférické šíření.

Každý z 28 diagramů uvádí křivku MUF, tj. křivku s pravděpodobností výskytu spojení 50 %, a to pro 15. den každého měsíce. Je-li hodnota předpokládaného ionosférického indexu jiná než 200, 160 nebo 75, musíme mezi křivkami interpolovat (případně mimo ně extrapolovat). Můžeme to provést graficky (od oka) nebo vynést hodnoty pro 200, 160 a 75 jednotek pro určitou hodinu UTC na milimetrový papír a takto nalezené body spojit plynulou čarou. U hodnoty předpovídánoho indexu najdeme MUF pro tuto hodnotu UTC. Postup pak opakujeme pro ostatní hodiny UTC a dostaneme křivku MUF pro předpovídáný index  $\Phi_{F2}$ . Interpolaci (nebo extrapolaci) můžeme také provést kapesním počítáčem.

Pokud hledáme předpověď pro jiný než 15. den každého měsíce, musíme provést interpolaci mezi křivkami předcházejícího a daného měsíce (od 1. do 15.) nebo následujícího a daného měsíce (od 16. do 31.). K tomu použijeme pauzovacího papíru, na který překreslíme křivky pro jednotlivé měsíce a mezi nimi „od oka“ interpolujeme.

Z křivek MUF můžeme ještě odvodit křivky nejvyššího pravděpodobného kmitočtu HPF (s pravděpodobností 10 %), když hodnoty MUF násobíme 1,15 a optimálního provozního kmitočtu FOT (s pravděpodobností 90 %), když hodnoty MUF násobíme 0,85. To můžeme provést kapesním počítáčem nebo graficky, s pomocí známých redukčních úhlů.

Na diagramech šíření pro menší vzdálenosti najdeme ještě dolní soustavu křivek, uvádějící nejnižší použitelný kmitočet (LUF) při vý-

konu vysílače 1 kW (to není navádění k překračování povolovacích podmínek – s dobrou směrovou anténou se tohoto vyzářeného výkonu dá dosáhnout i při jejich dodržování).

Na diagramech jsou vyznačena dosavadní kmitočtová pásmá. Doplňení „novými“ kmitočtovými pásmi, schválenými na SSRK-79, nečiní potíže.

S použitím diagramů můžeme řešit dva druhy úloh:

1) Známe pásmo, na kterém chceme pracovat a hledáme hodinu, kdy v daném směru můžeme navázat spojení. Tuto hodinu UTC najdeme v průsečíku vodorovné přímky vyznačující pásmo s křivkou MUF (nebo HPF či FOT) pro předpokládaný ionosférický index.

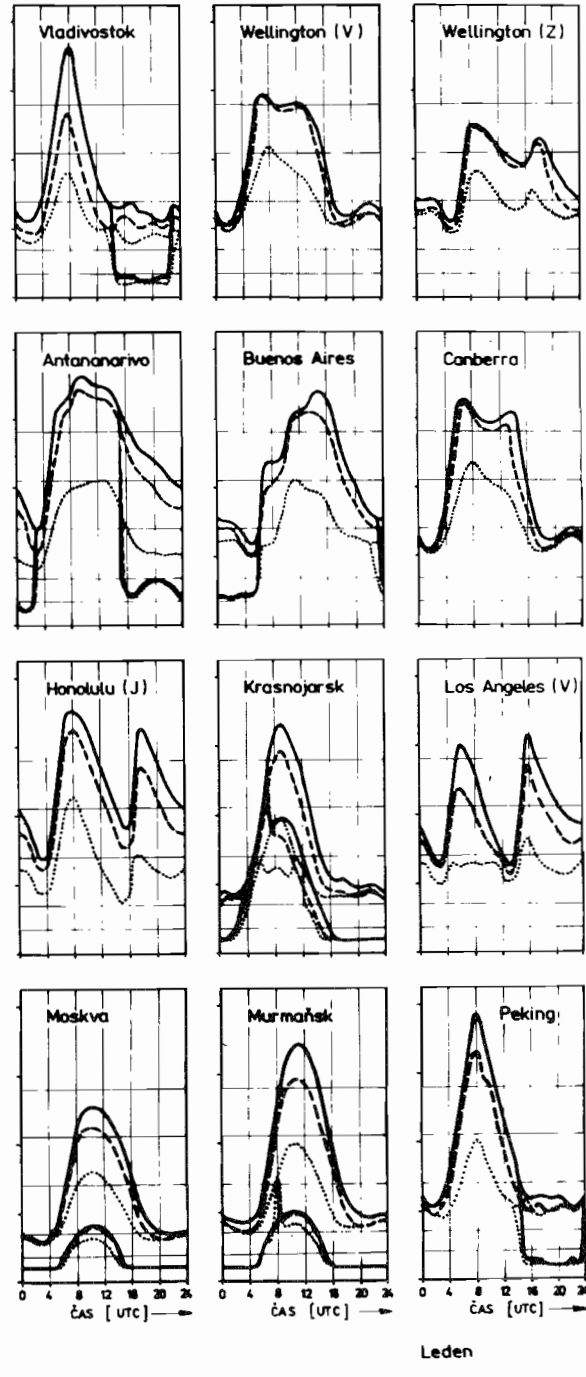
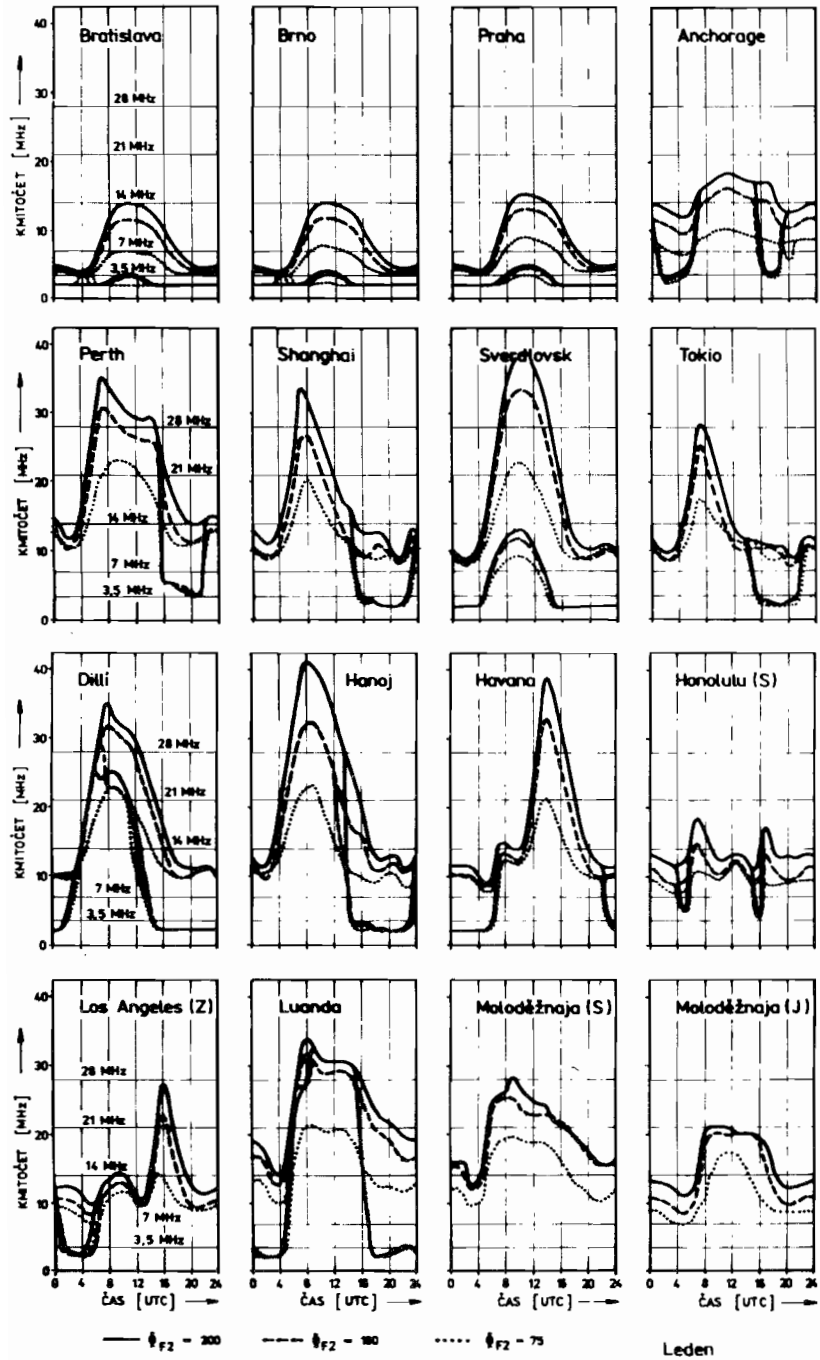
2) Známe hodinu a hledáme pásmo, na kterém můžeme spojení navázat. Kmitočet pásmá najdeme v průsečíku svislé přímky vyznačující UTC s křivkou MUF (nebo HPF či FOT) pro předpokládaný ionosférický index. Protože amatérská pásmá na sebe nenavazují, bude nutné skutečně použítou hodinu UTC upravit tak, aby průsečík byl v blízkosti některého z povolených kmitočtových pásem.

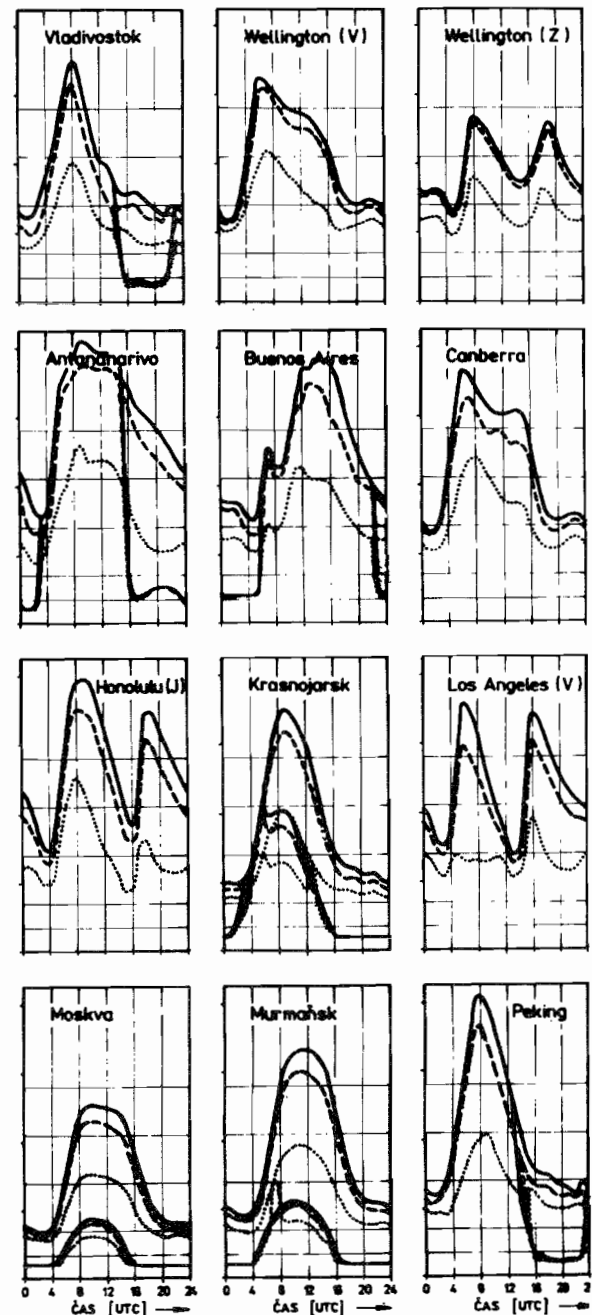
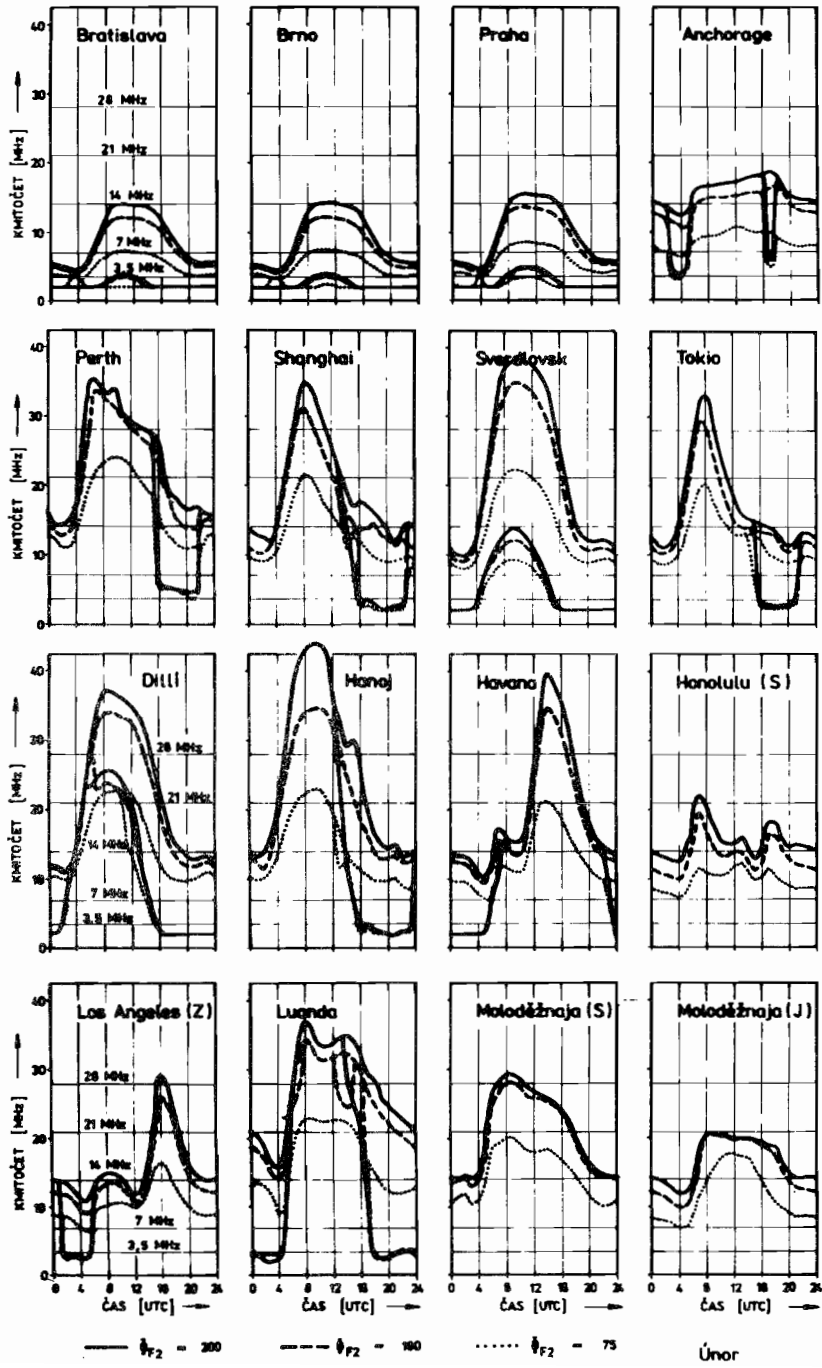
Okolnost, že v určitou hodinu je některý směr „otevřen“, ještě neznamená, že v něm za všech okolností můžeme navázat spojení. Dálková spojení mohou být narušena blízkými stanicemi (například evropských zemí).

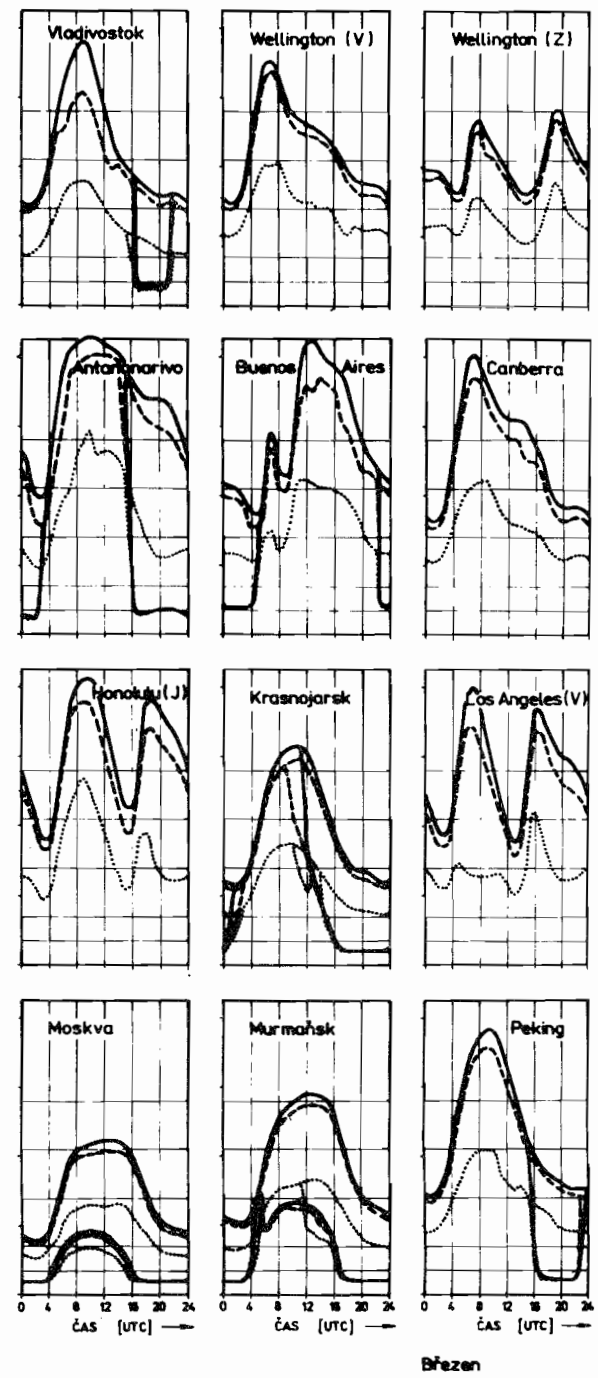
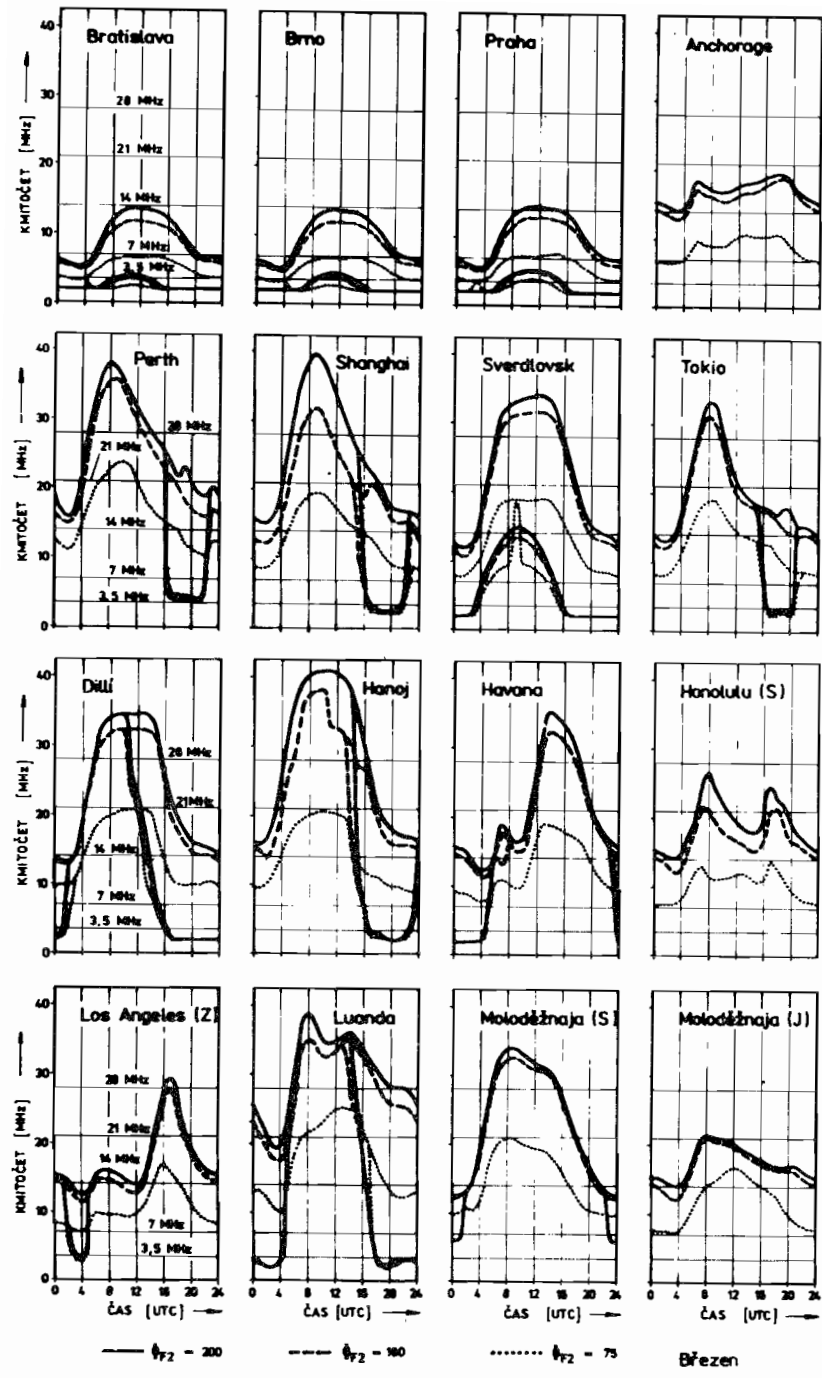
Kromě toho jsou diagramy založeny na pravděpodobných hodnotách pro „klidnou“, tj. nenarušenou ionosféru. Nemůžeme proto od nich očekávat takovou přesnost, s jakou se například určuje východ slunce.

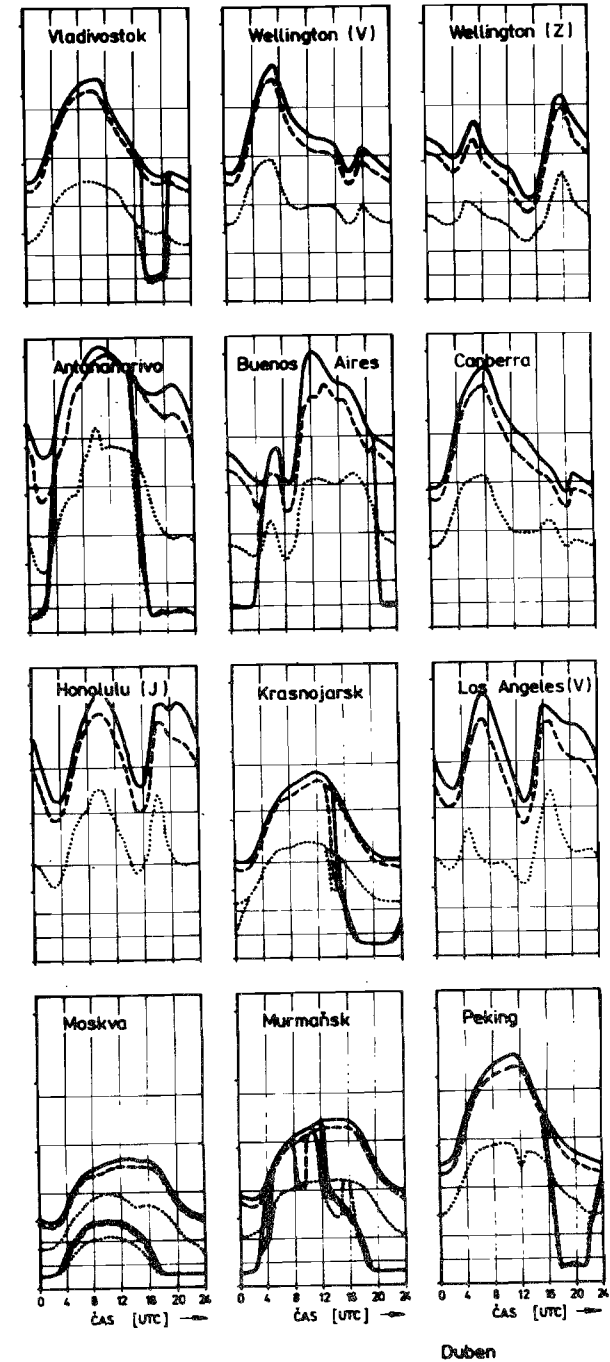
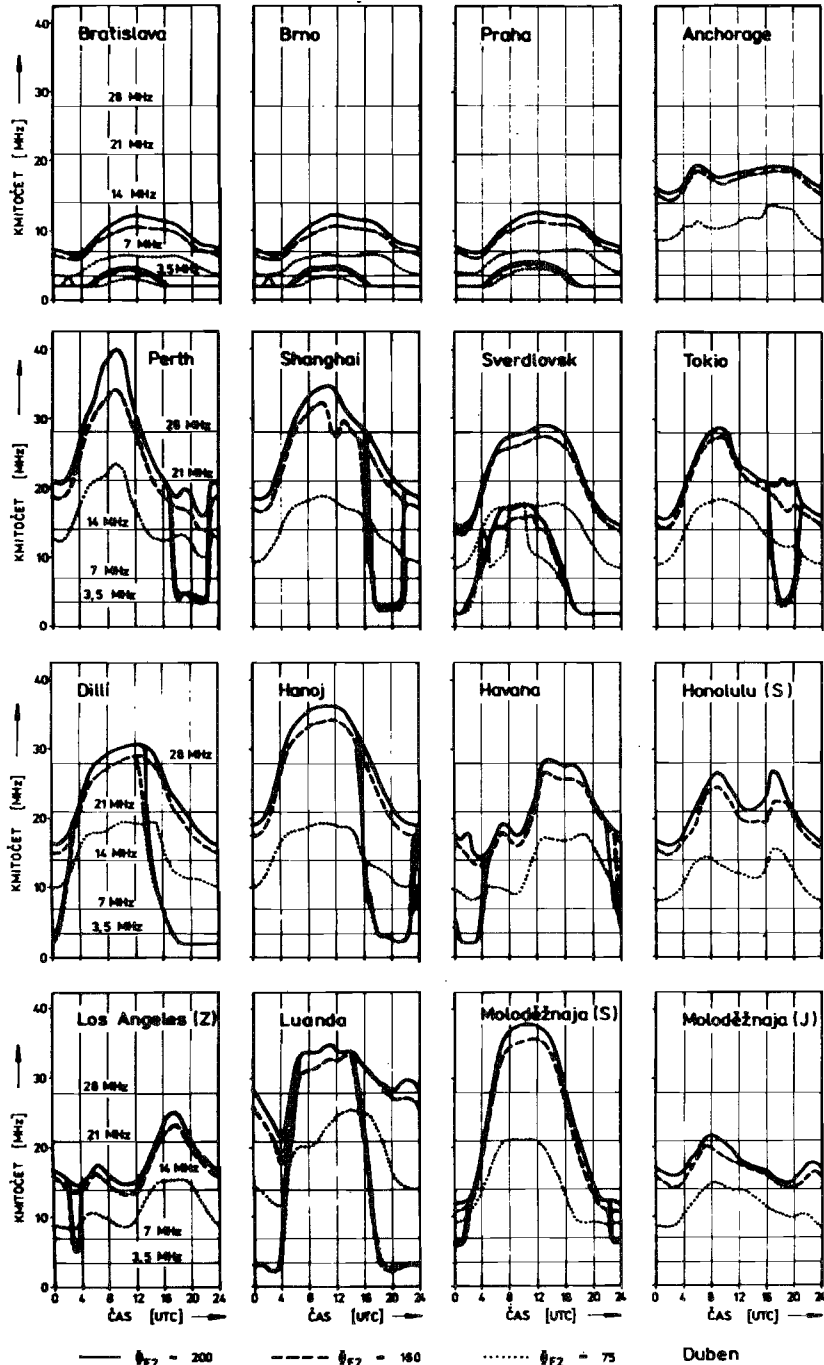
Při správném používání diagramů je však jejich přesnost na nejvyšší úrovni, dosažitelné v současné době.

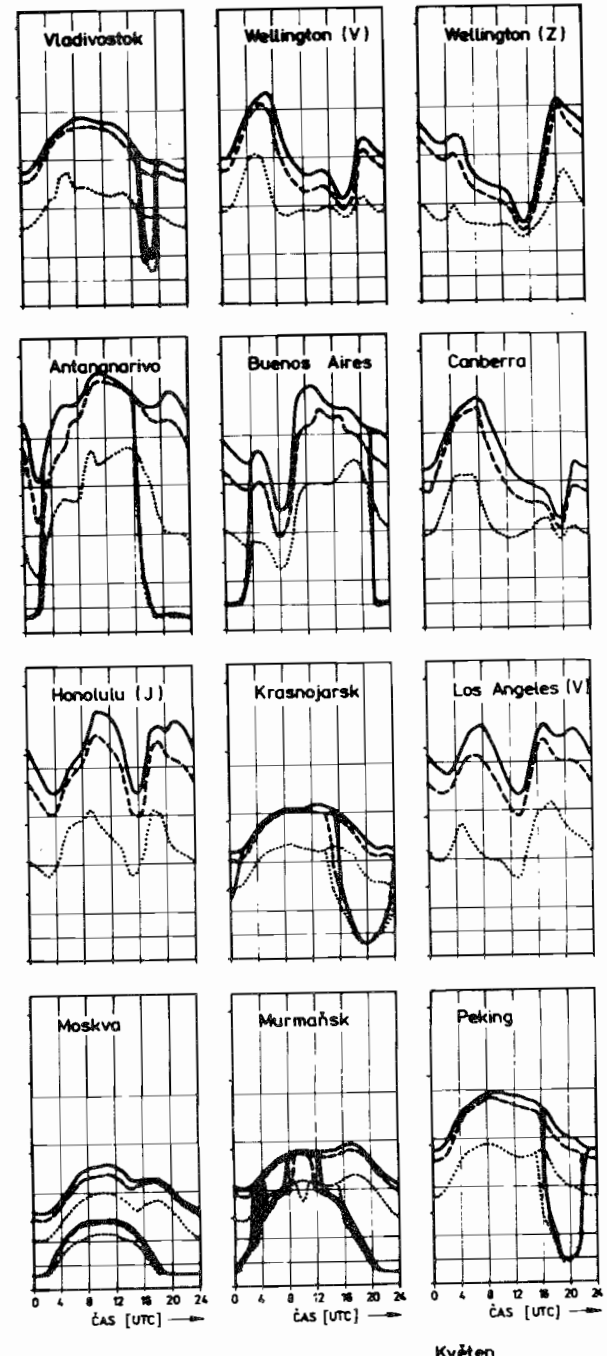
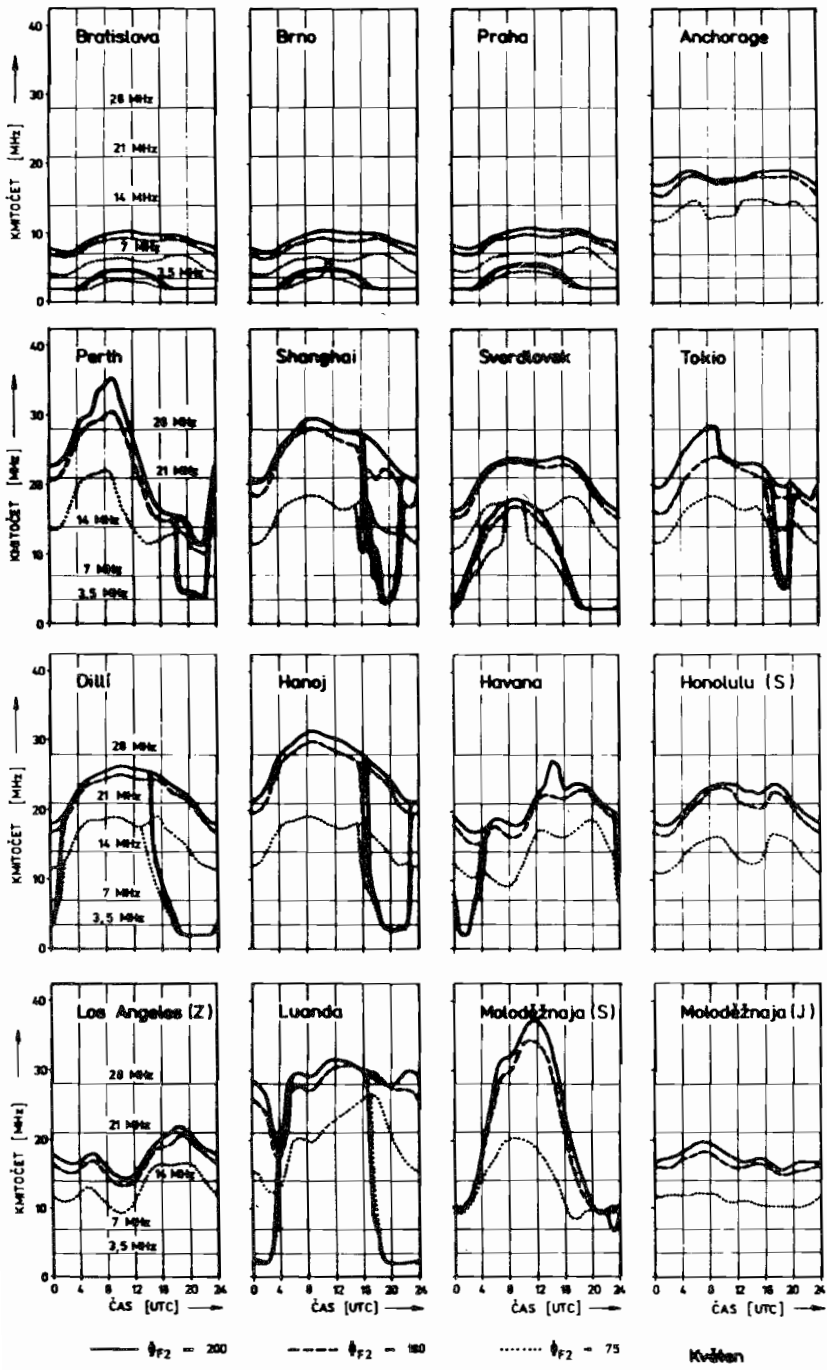
Pokud nemáte k dispozici předpověď hodnoty  $\Phi_{F2}$ , ale máte předpověď  $R_{12}$  nebo  $\Phi$ , můžete pro přepočet použít obr. 10. 1 nebo 10. 2, které jsou reproducovány ze str. 37 práce [6]. Viz též AR 9/81/VIII.





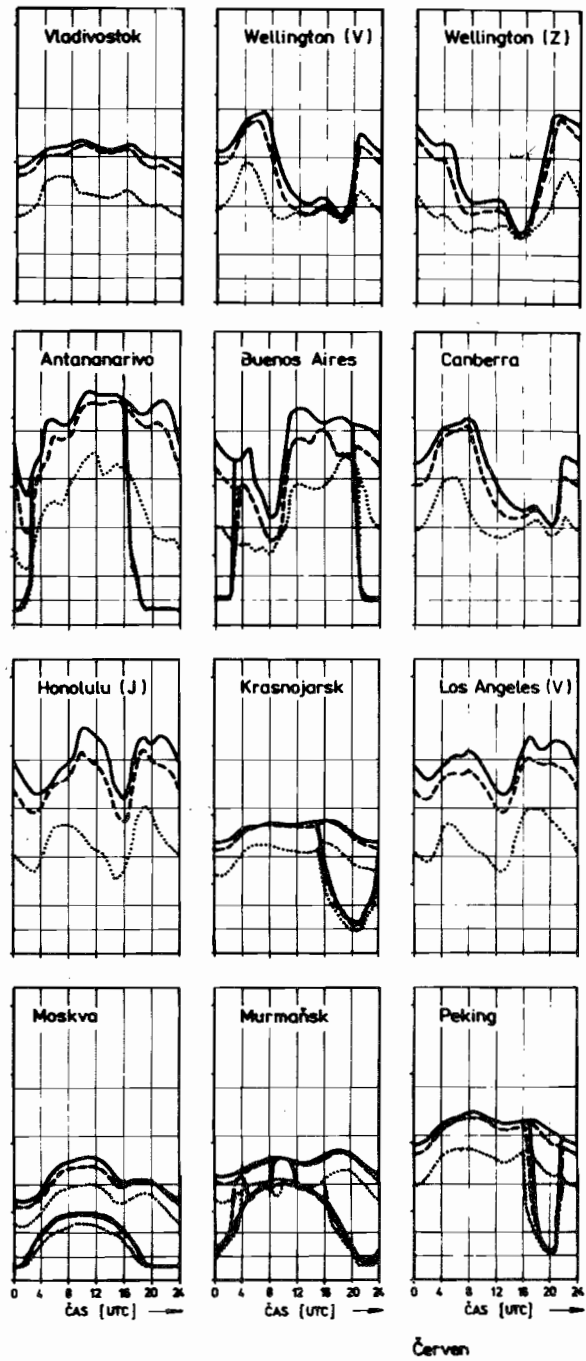
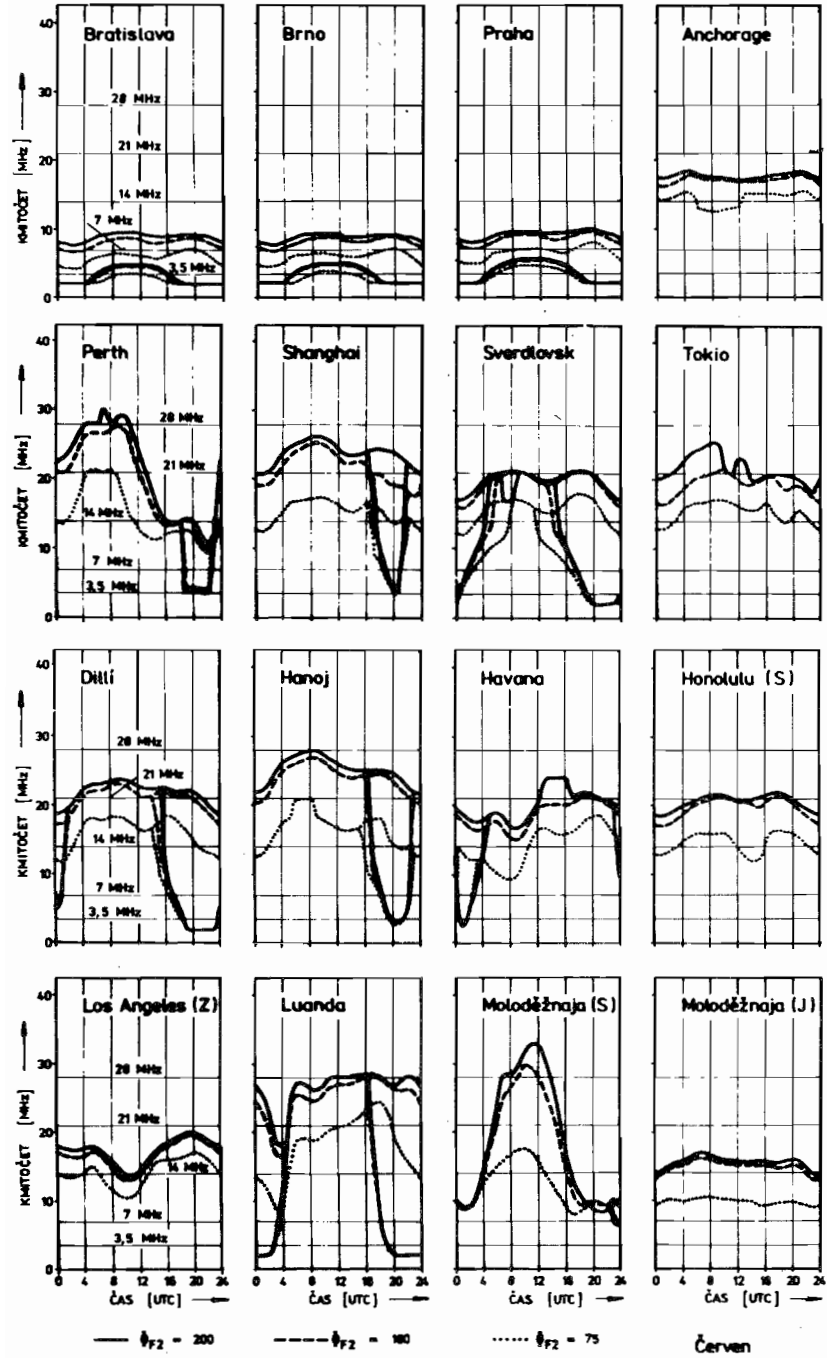






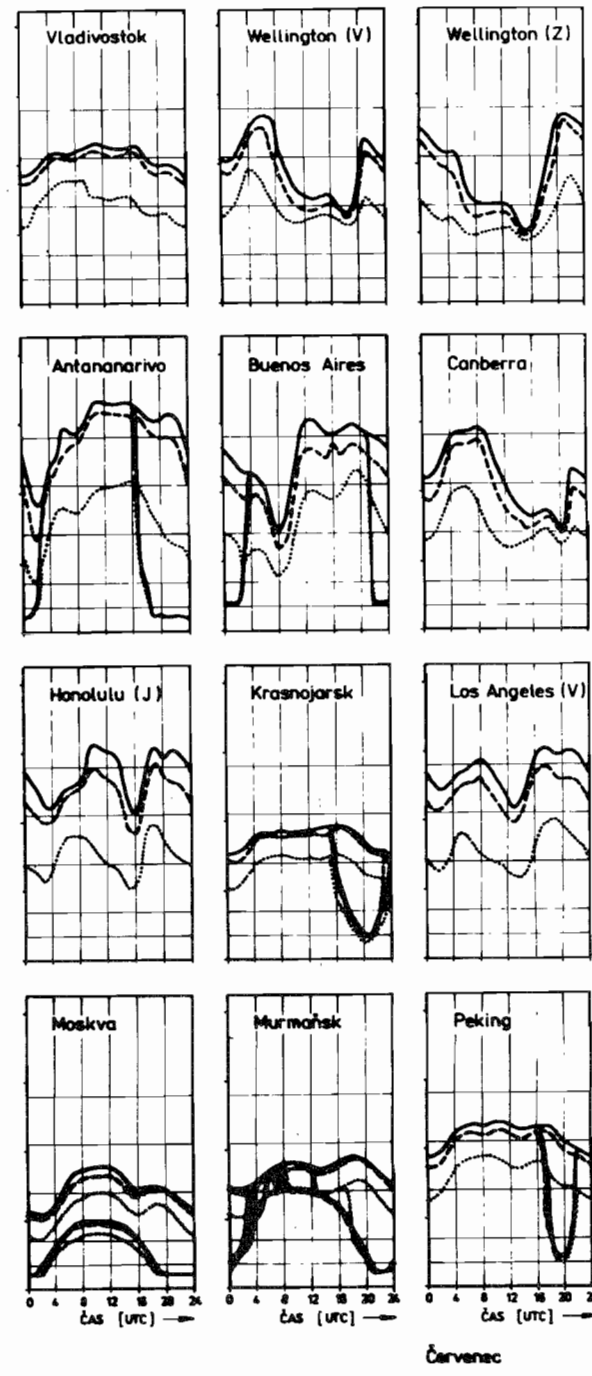
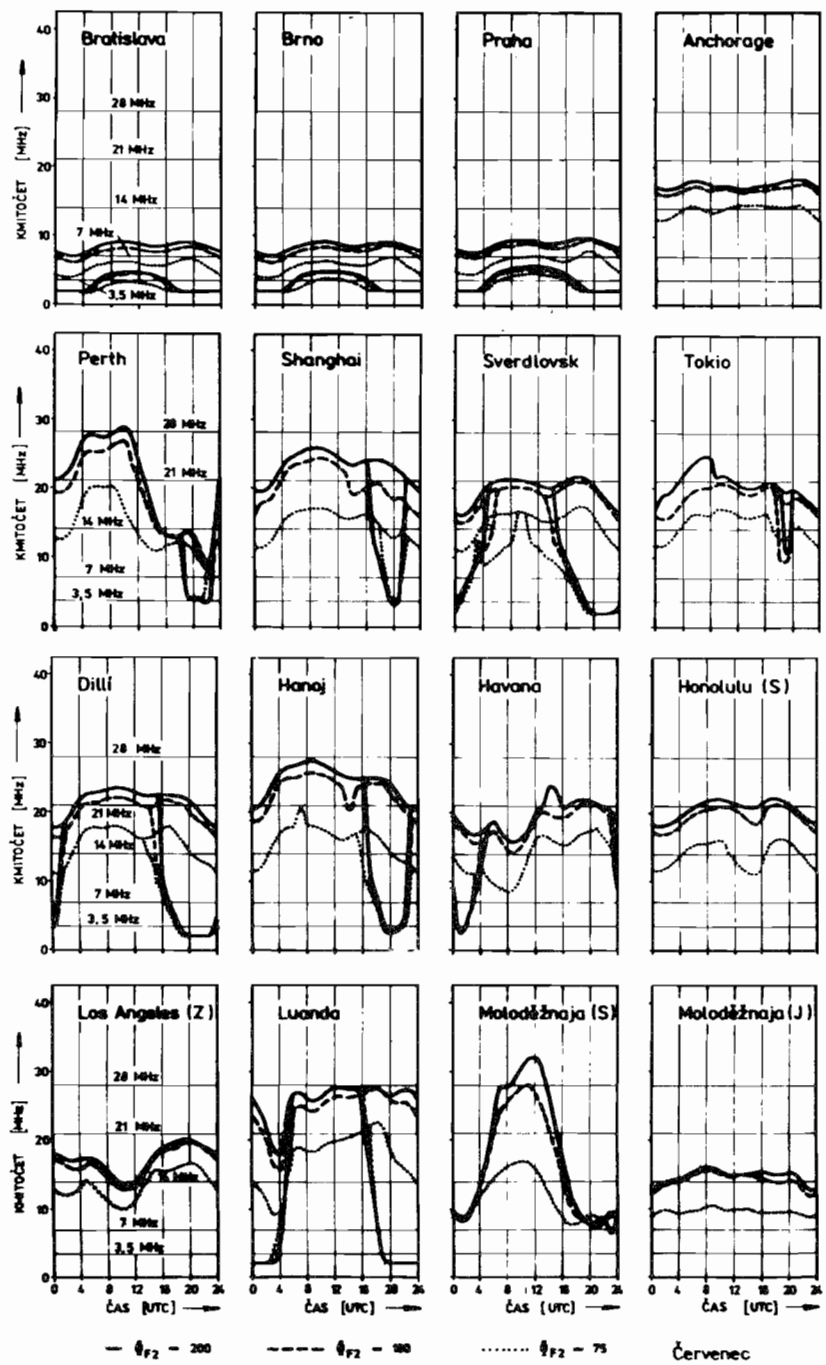
Květen

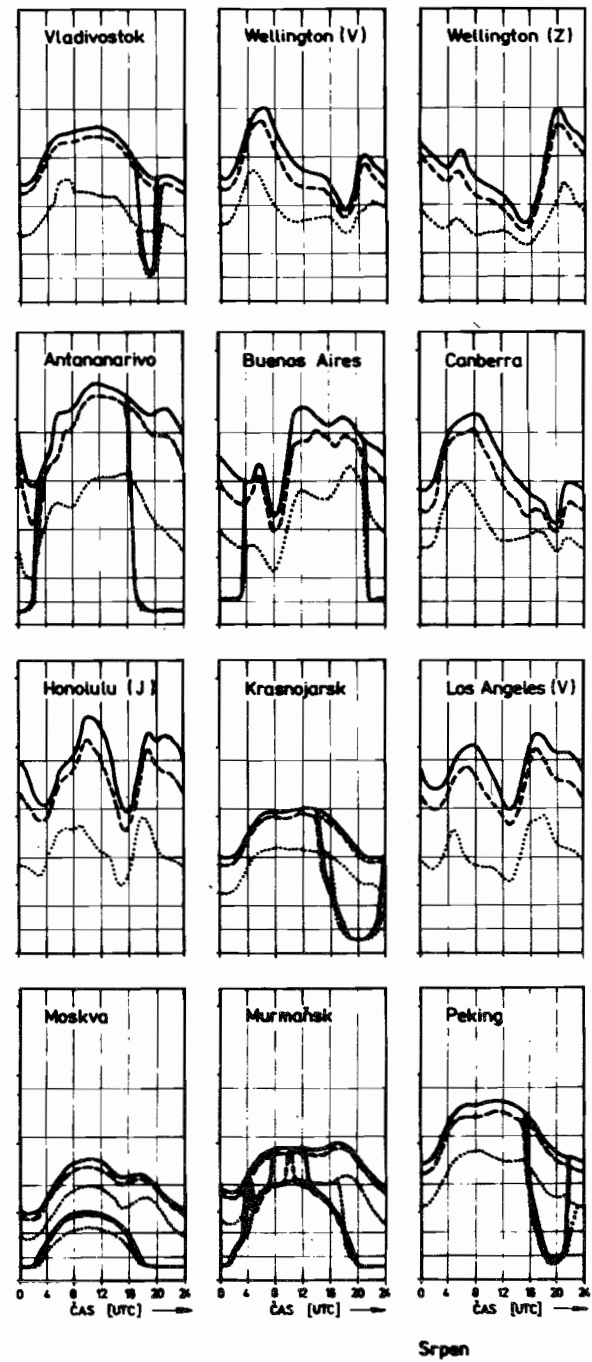
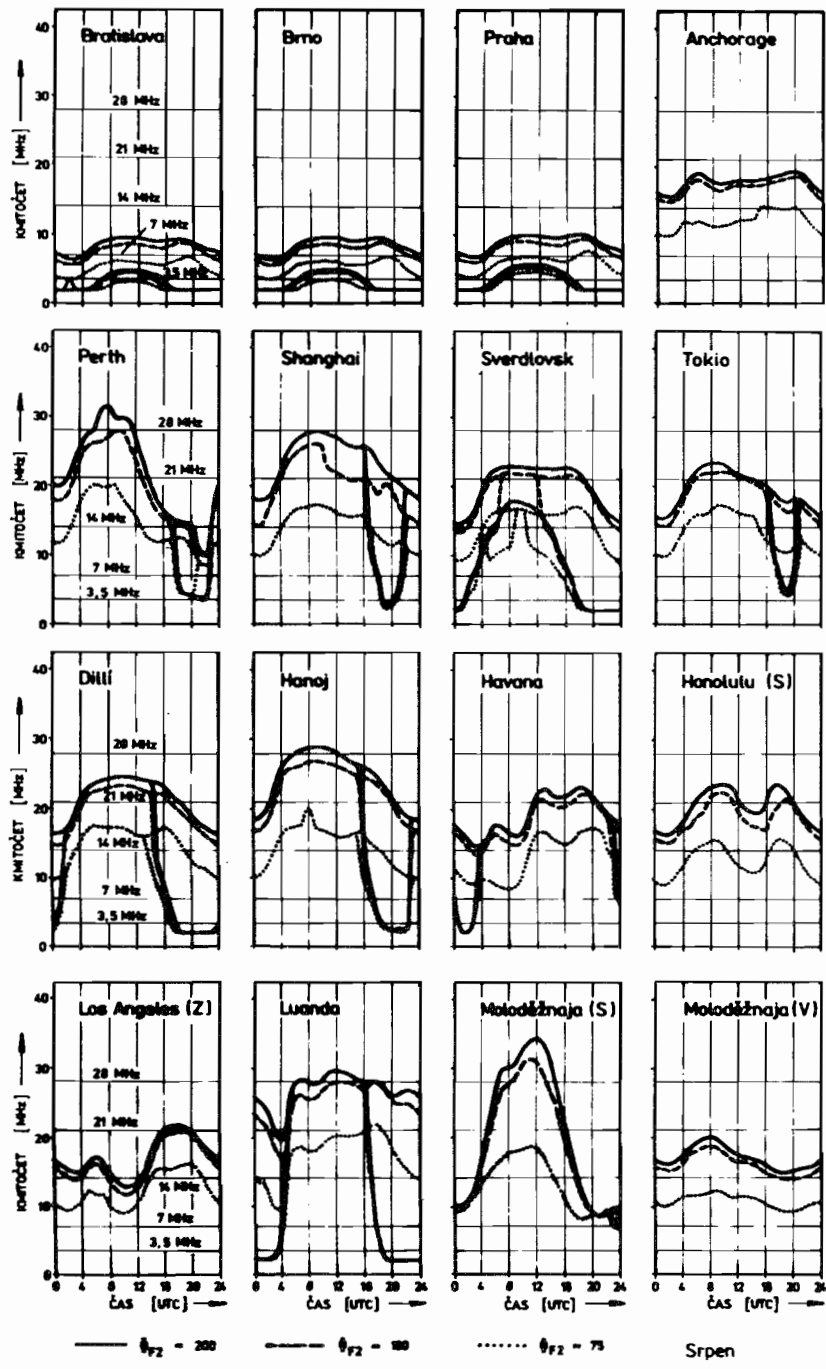
Květen

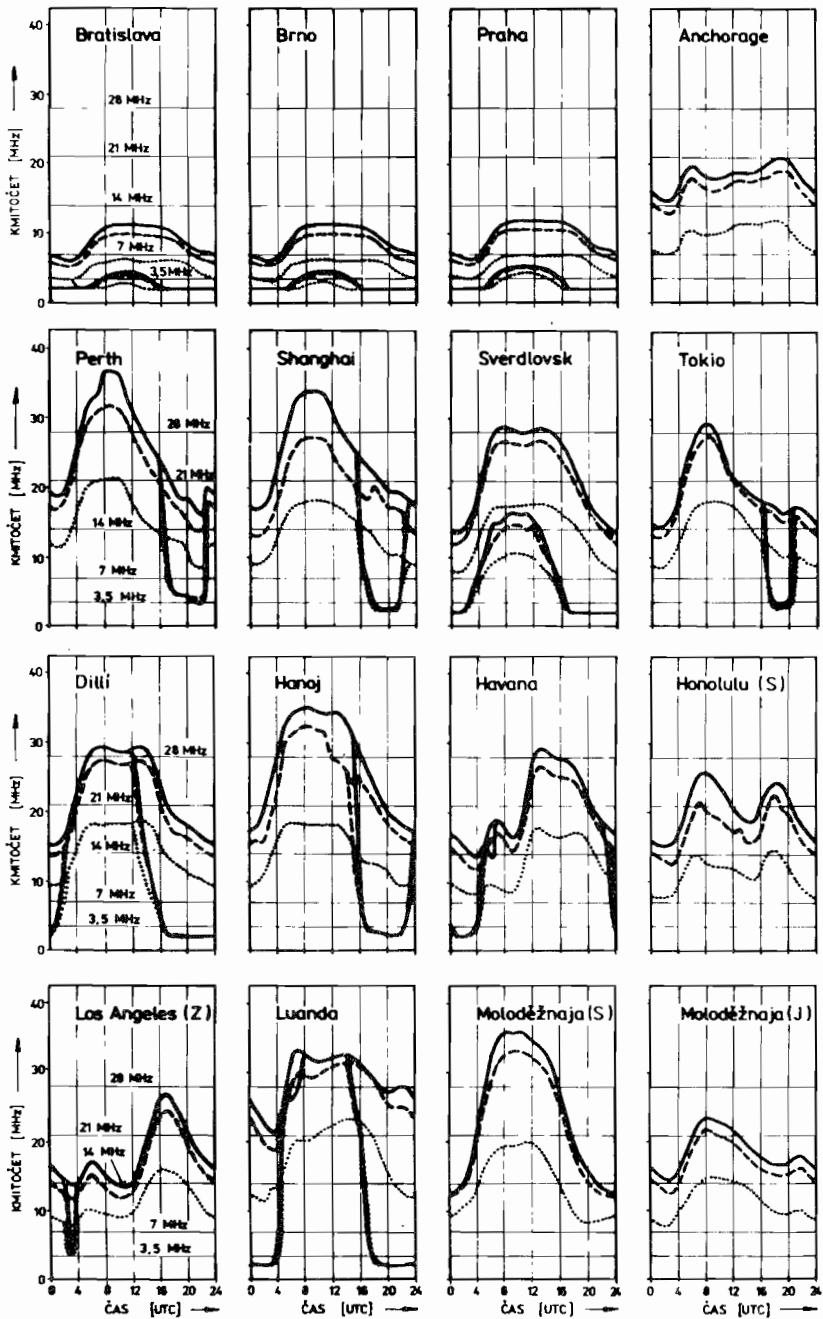


Červen

Červen





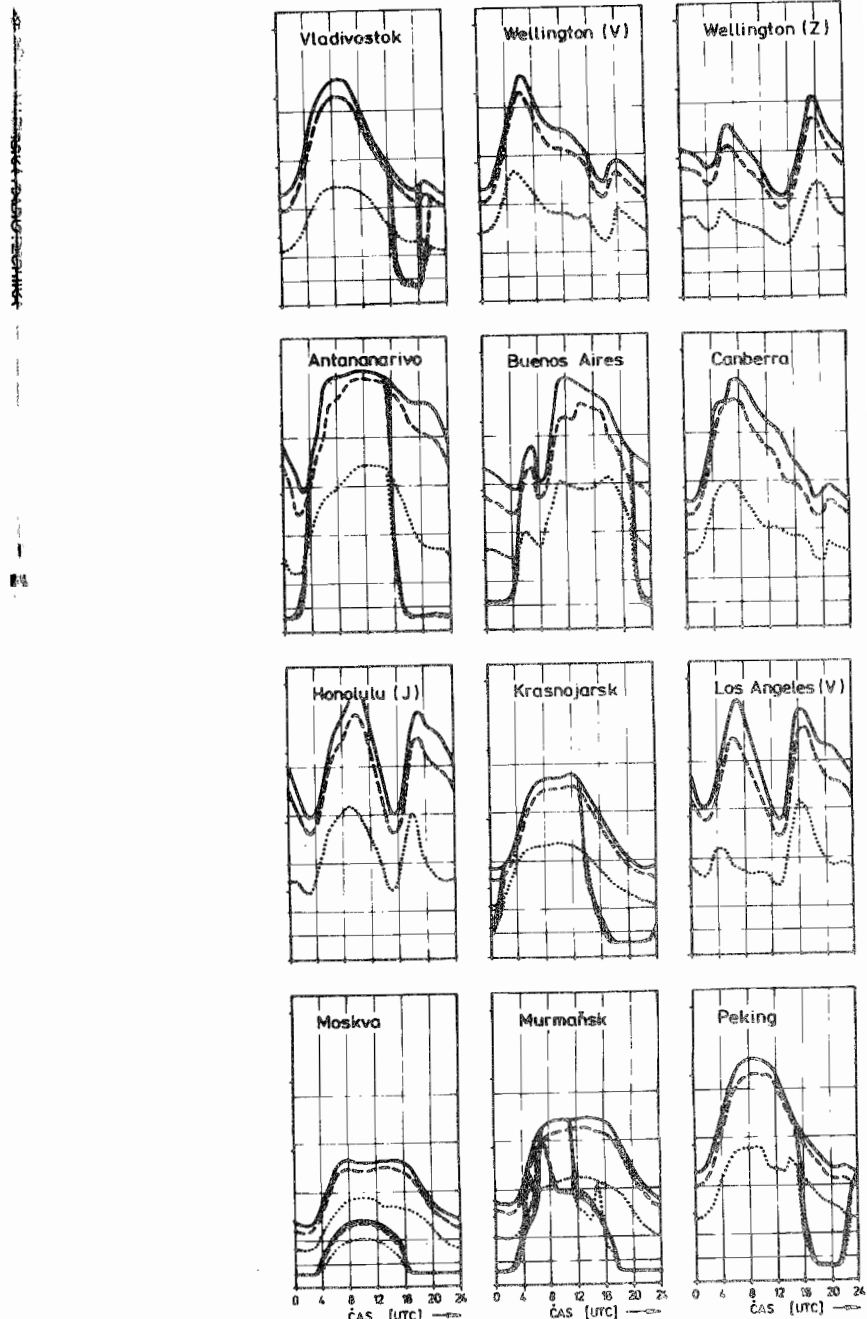


—  $\Phi_{F2} = 200$

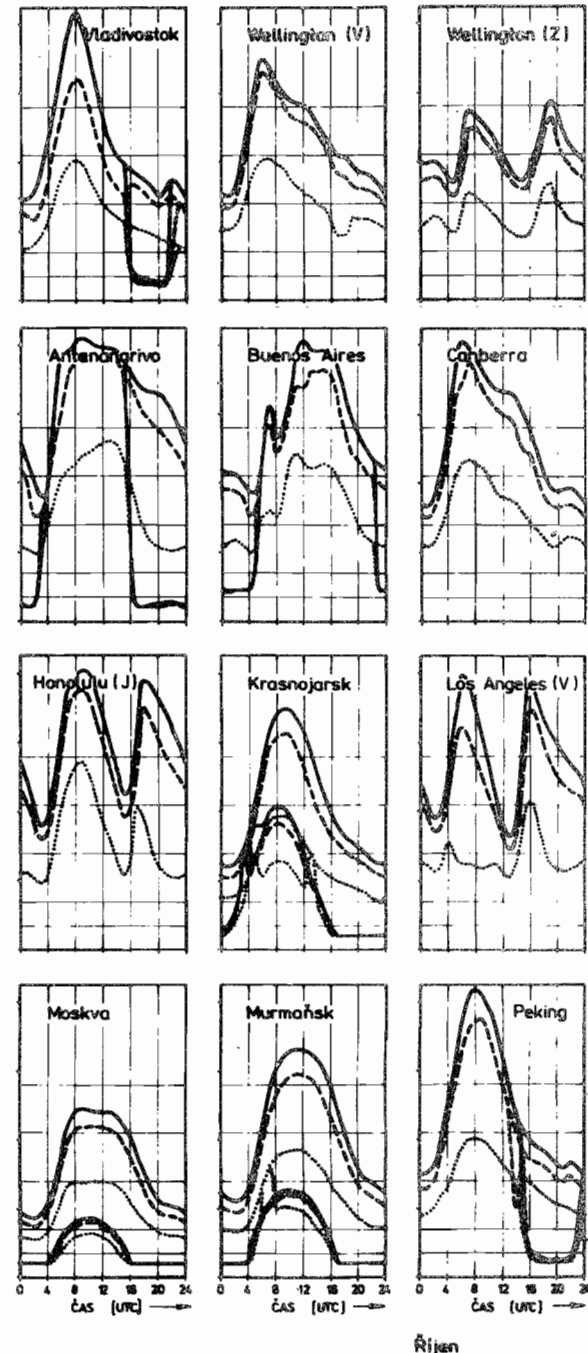
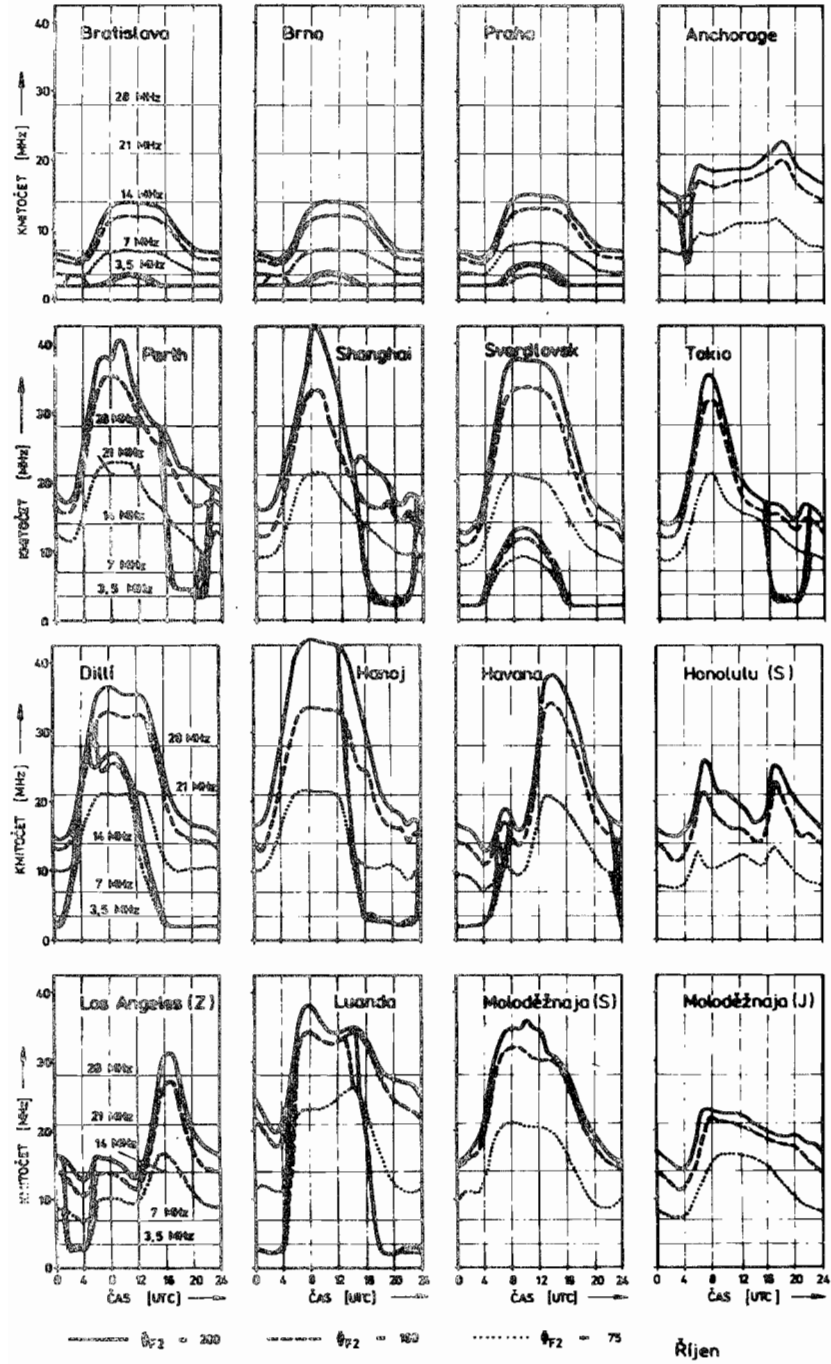
- - -  $\Phi_{F2} = 160$

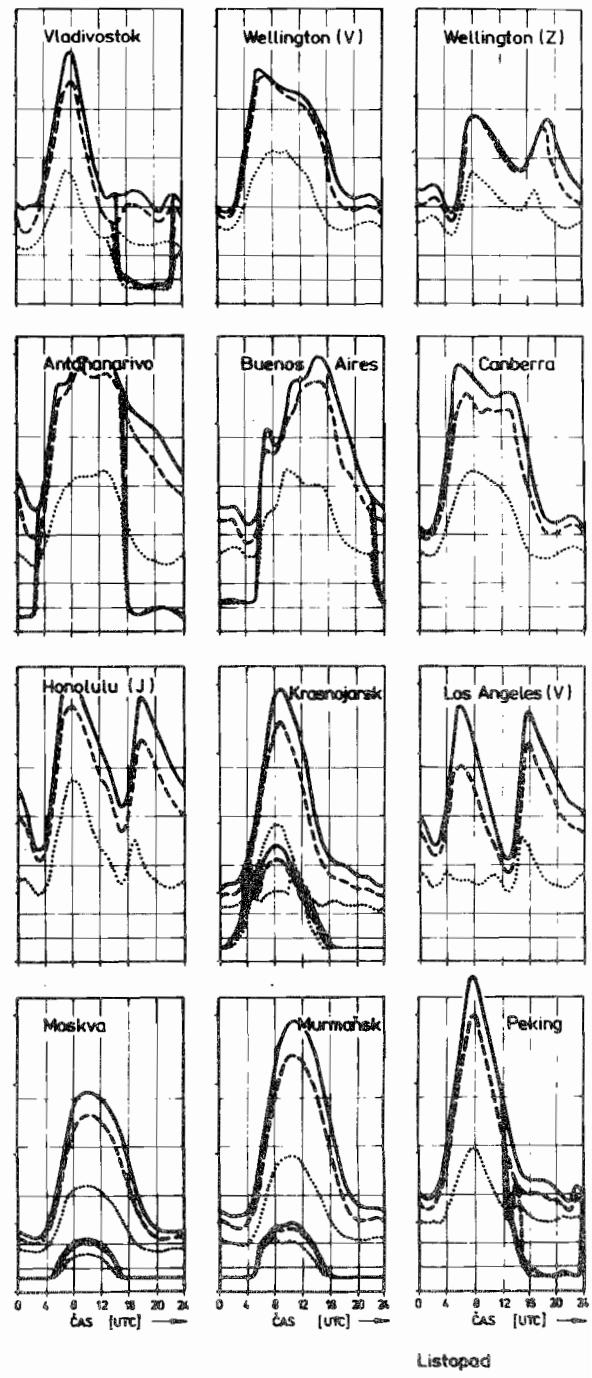
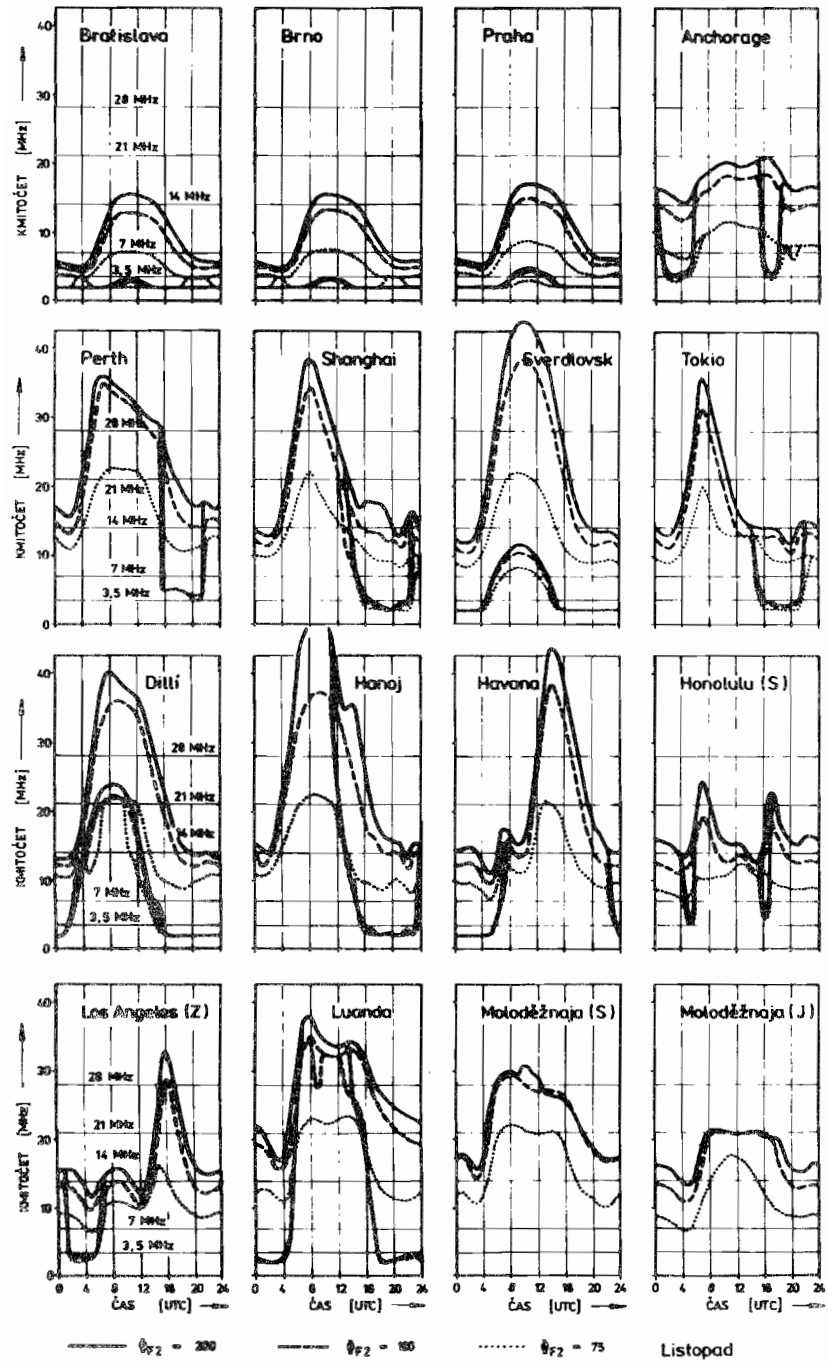
....  $\Phi_{F2} = 120$

Září



Září





—  $\theta_{F2} = 28$

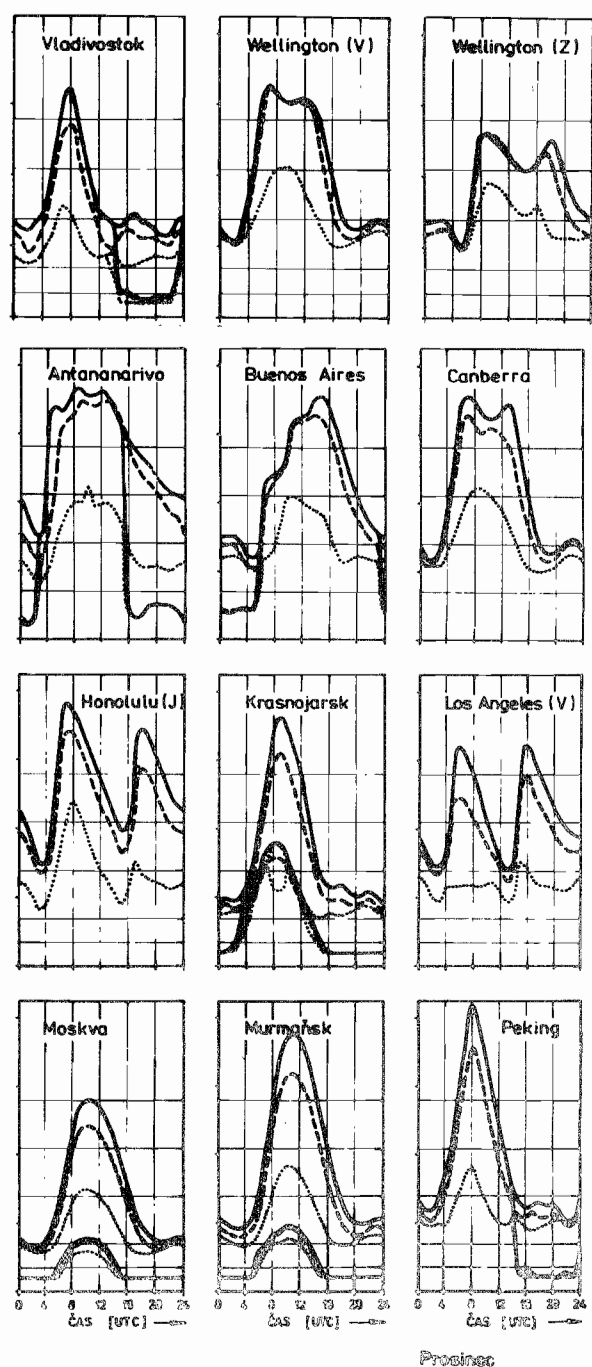
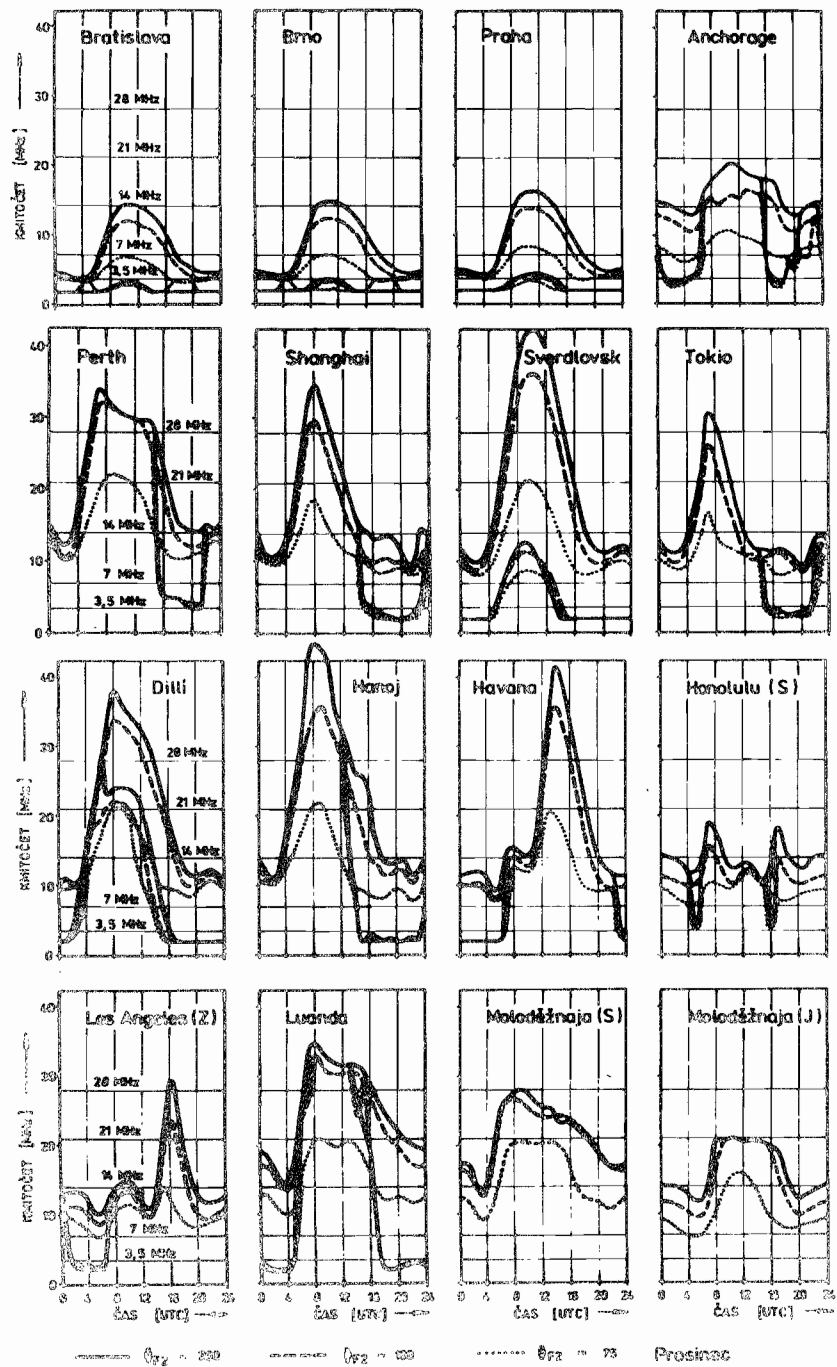
—  $\theta_{F2} = 21$

....  $\theta_{F2} = 14$

...  $\theta_{F2} = 7$

Listopad

Listopad



## Literatura

- [1] *Vopička, V.*: Praktické využití dosavadních poznatků o šíření vln. KVAČ, duben 1931, str. 116–117.
- [2] *Krakeš, V.*: Jak se šíří elektromagnetické vlny Hertzovy, zvláště krátké a ultrakrátké, ionosférou, stratosférou, troposférou. Plzeň 1935.
- [3] *Kostelecký, F.*: Kdy mám poslouchat DX. Krátké vlny 2 (1936), str. 56–57.
- [4] *Lhotský, V.*: Zvláštnosti šíření elektromagnetických vln. Krátké vlny 2 (1936), str. 60–61.
- [5] *Chvojková, E.*: Metoda ionosférických prognoz. Academia, Praha 1958.
- [6] *Joachim, M.*: Pokroky v oboru dlouhodobých předpovědí dálného šíření dekametrových vln. Academia, Praha 1978.
- [7] *Pavliuk, P.*: Předpovědi indexu ionosférického šíření sekretariátem C. C. I. R. Journal des télécommunications, leden 1984.

## Změny v seznamu prefixů a zemí

Opravit anebo doplnit následující prefixy:

BT, BY	China
CT, CQ, CR, CS	Portugal
CUL-0	Azores
F, FA-FE	France
FT8W	Crozet
FT8X	Kerguelen Isl.
FT8Z	Amsterdam and St. Paul Isl.
KH1	Baker, Howland
KH2	Guam
KH3	Johnston Isl.
KH4	Midway Isl.
KH5K	Kingman Reef
KH5	Palmyra, Jarvis
KH0	Mariana Isl.
KP5	Desecheo Isl.
TK	Corsica
T7	San Marino
V2	Antigua, Barbuda
V3	Belize
V4	St. Kitts, Nevis
V85	Brunei
XX9	Macao
ZL7	Chatham Isl.
ZL8	Kermadec Isl.
ZL9	Auckland and Campbell Isl.
ZK3	Tokelau Isl.

Doplnit novou zemi:

ZC4	S.B.A. Cyprus
-----	---------------

Vyškrtnout zrušené země:

HK0	Bajo Nuevo
HK0, KS4	Serrana Bank
8Z4	Saudi Arabia/Iraq N. Zone

Vyškrtnout zrušené prefixy:

M1, R, všechny UK prefixy, VP1, VP2A, VP2K, VP2S, VS5, ZE, ZM7, 8Z4.

Od poloviny roku 1984 došlo k podstatné změně prefixů v SSSR: do volačky je opět včleněno administrativní rozdělení SSSR na republiky a oblasti; v RSFSR jsou vydávány prefixy UA, RA, UV, RV, UW, RW, UZ, RZ a další prefixy jsou v záloze. Oblast zde určuje číslo v prefixu a první písmeno sufiksu volačky. V ostatních SSR určuje oblast první písmeno sufiksu a číslo v prefixu nemá s oblastí žádnou souvislost; čísla v prefixech vycházejí z tradičního číslování a v evropských SSR se budou objevovat nejprve čísla 1 až 6, v asijských SSR čísla 7 až 0. Po vyčerpání těchto kombinací se budou vydávat prefixy i se zbylými čísly – nyní jsou však v záloze spolu s řadou dalších prefixů (např. UN, UY atd.). Kolektivní stanice v RSFSR mají nyní prefixy UZ a RZ a později UW a RW, v ostatních republikách je obvykle v prefixu kolektivky jiné číslo než dříve obvyklé – např. UL8, UM9, UQ1 atd. V třípísmenném sufiku mají kolektivní stanice vždy poslední dvě písmena ze serie WA – ZZ. Prefixy začínající písmenem E, které má přiděleny SSSR, budou vydávány pouze pro speciální stanice při významných příležitostech.

---

## Závěr

---

Čtvrtý svazek Amatérské radiotechniky a elektroniky je poslední. Dílo zůstává nedokončeno. I kdyby bylo možné pokračovat ve vydávání, stěží by se podařilo zvládnout a vyčerpat celou tematiku.

Snažili jsme se věnovat pozornost základním poznatkům. Podobně jako osvědčené zahraniční příručky předkládáme ověřené amatérské konstrukce a přinášíme, i když jen částečné, informace o přístrojích, které pro amatéry-vysílače vyrábějí některé průmyslové podniky.

V rámci daných možností jsme věnovali pozornost novým technickým postupům, které do radiového sdělování přináší elektronika, protože amatér-vysílač se už neobejde bez integrovaných obvodů, mikroprocesorů a výpočetní techniky.

Celou čtyřsvazkovou publikaci zpracovali amatéři. Jedinou výjimkou v autorském kolektivu je dr. Petránek, který však jako jeden z vedoucích pracovníků Inspektorátu radiokomunikací a dlouholetý tajemník komise pro zkoušky radiooperátorů má k amatérům blízko a je jim přátelsky nakloněn.

Děkujeme nakladatelství Naše vojsko za to, že zařadilo Amatérskou radiotechniku a elektroniku do svého edičního programu a tiskárнě v Ústí nad Labem za vzorné provedení obtížné sazby.

Za kolektiv autorů  
Dr. Ing. Josef Daneš, OK1YG

## Doplňky a poznámky

K obr. 6.15 Gunnův oscilátor pro pásmo 24 GHz.

Oscilátor je sestaven ze dvou bloků přesně zabroušených a sešroubovaných deseti šrouby M2. Všechny kovové díly jsou vyrobeny z mědi, aby byl zajištěn dobrý odvod tepla. Je vhodné používat Gunnových diod o malém výkonu 10 mW. Ne dosti zřetelný údaj u který 4,5 zní: šířka otvoru 10,6. Odpor 4j7, tranzistor KD 136 a termistor 1 k musí být přimontovány k tělesu mikrovlnného generátoru tak, aby byl zajištěn dobrý odvod tepla.

K obr. 6.33 koaxiální směrový vazební člen:

Základním tělesem je trubka s drážkou nebo plech stočený do tvaru trubky se štěrbinou. Průměry  $D$  a  $d$  se volí podle konektorů, je však nutno zachovat poměr  $D/d$  podle požadované charakteristické impedance  $Z_0$ . Délka smyček je asi 10 až 35 mm, nejvýše čtvrtina délky vlny. Delší smyčka lépe váže, je přesnější a směrovější. Na připojení konektorů se nemají vyskytovat nespojitosti, zejména na straně zátěže. Ostatní rozměry nejsou kritické. Při vestavení do přístrojů pro účely reflektometrických ochran a měřicích, resp. kontrolních sond je možno namontovat germaniové detekční diody např. GA 206 přímo na výstupy smyček  $A$  a  $B$  a vyrobit vše z ocelového cínovaného plechu tl. 0,5 bez konektorů.

Při nastavování připojíme generátor a pokud možno přesnou zátěž. Hloubku zasunutí smyček do štěrbiny vedení a hodnoty odporů  $R_1$  a  $R_2$  upravíme tak, aby na výstupu  $B$  bylo minimální napětí a na výstupu  $A$  napětí požadované, stejně i při otočení celého reflektometru.

K obr. 6.45 Příklad současného využití varaktoru jako násobiče a výkonového směšovače do pásmu 10 368 MHz.

Přepážku tl.8 vytvoří dvě komůrky výšky 20 mm. Šířka obou komůrek je shodná s šírkou vlnovodu. Na výstup musí být zařazen filtr 10,368 GHz, aby nerušil signál 10,224 GHz.

Příklad výkonových úrovní, případně doladění podle použité diody:

Buzení 3 408 MHz	120 mW
Vstup SSB 144 MHz	150 mW
Výstup trojnásobku 10,224 GHz	27 mW
Výstup SSB 10,368 GHz	8 mW

Obr. 8.24 Průběh charakteristické impedance  $Z_0$  a výsledné relativní permitivity útvaru  $\epsilon_{ref}$  pro různé parametry mikropásmového vedení

Obr. 8.25 Průběh charakteristické impedance  $Z_0$  a výsledné relativní permitivity útvaru  $\epsilon_{ref}$  pro další parametry mikropásmového vedení

Grafy na obr. 8.24 a 8.25 představují závislost vlnového odporu vedení o daném tvaru. V tomto případě jde o mikropásky o šířce  $w$ , tloušťce  $t$ , jež se blíží 0, vzdálenosti od vodivé plochy  $h$  a permitivitě substrátu naneseného na vodivé ploše. Celkový útvar má výslednou relativní permitivitu  $\epsilon_{ref}$ , jejíž průběh je v grafu rovně znázorněn.

*Příklad:* Najděte velikost odporu  $Z_0$  a výsledné permitivity u mikropásku o rozměrech:  $h = 1$  mm,  $w = 4,7$  mm, umístěného na substrátu GaAs ( $\epsilon_r = 12,9$ ), který je nanesen na vodivou plochu.

*Řešení:* Na obr. 8.25 si v grafu vyhledáme hodnotu daného poměru  $\frac{w}{h}$ , tj. v našem případě 4,7. Pak vyhledáme křivku pro  $\epsilon_r = 12,9$  a přečteme odpovídající hodnotu  $Z_0 = 16$ . Efektivní hodnota relativní permitivity útvaru  $\epsilon_{ref}$  bude 12,4.

Legenda pod obr. 6.12b:

- 1 Těleso rezonátoru (hliník  $40 \times 40$ )
- 2 Střední vodič (mosaz  $\varnothing 2,5$ )
- 3 Clona s vazebním otvorem (hliníkový plech tl. 1)
- 4 Šroub s diodou M6 (měď  $l=20$ )
- 5 Útlumový kužel ze ztrátové hmoty

- 
- 6 Ladicí šroub s keramickou tyčkou
  - 7 Vlnovod R100
  - 8 Přitlačná pružina (ocelový drát  $\varnothing$  0,2)
  - 9 Chladič
  - 10 Matice M6
  - 11 Matice
  - 12 Gunnova dioda

Vysvětlení:

- a) Vlnovod se musí připevnit čtyřmi šrouby tak, aby pevně přitiskl clonu k dutině rezonátoru. Vazební otvor může být umístěn na vlnovodu celkem kdekoli, uprostřed zkratu, v boční nebo i širší stěně. Důležité je, aby směr osy diody a napájecího vodiče 2 souhlasil se směrem elektrické složky pole ve vlnovodu, tj. byl napříč užším profílem, nebo ve směru šíření podél vlnovodu, je-li otvor v širší stěně.
- b) Šroub 4 musí být měděný, aby byl zajištěn dobrý odvod tepla. Snad jen u nejslabších malovýkonových diod by mohl být mosazný, postříbřený nebo bronzový.
- c) Doladovací šroub 6 nesmí zasahovat do rezonanční dutiny, ladi jen vsunováním keramické tyčky. Tenké keramické tyčky jsou v některých elektronikách. Tyčku zlepíme Epoxidem.
- d) Útlumový kužel 5 má kuželovou část asi 10 mm dlouhou, nesmí zasahovat do otvoru  $\varnothing$  12, do otvoru  $\varnothing$  5 je těsný, střední vodič 2 prochází volně, lehce bez vůle. Kužel se odlévá nebo obrábi ze směsi karbonylového železa a epoxydové pryskyřice 4:1 (váhové díly, co nejhustší). Vznikne hmota podobná ferrocarty. V nejvyšší nouzi by mohl kužel být i z texgumoidu. Pokud kužel vyrobený nouzově z náhradní hmoty tlumí dostatečně, je možné vyzkoušet mikrovlnnou detekční diodou s měřidlem. Zkusíme, zda přívod napájení příliš nevyzařuje.
- e) Hloubkou zašroubování šroubu do diody se nastavuje přizpůsobení diody (na nejvyšší výkon). Závit šroubu musí být dokonale hladký, po nastavení do správné polohy se musí pevně zajistit kontramatkou.
- f) V tomto oscilátoru fungují dobře diody AA 723A, VCG 200, VCG 222, ale i jiné.
- g) Dioda 12 do šroubu 4 může být zasunutá, zašroubována, ale nejlépe je ji zaletovat, aby byl zajištěn dobrý odvod tepla. Neletujte transformátorovou páječkou, ta snadno diodu přehřeje a zničí. Pájka může být kadmová 140 °C, aby letování proběhlo při nižší teplotě. Chladicí šroub se nikdy neohřeje tak, aby dioda vyletovala.
- h) Chladič 9 je vyroben z jakéhokoli hliníkového nebo měděného žebrovánoho profilu. Použijeme-li Gunnovku malovýkonovou (AA 723A, VCG 200), může chladič odpadnout.
- i) Přitlačnou pružinu opřeme i ozolační pásek s letovacím očkem na přívod napájení, nebo spíše zajistíme na plošný spoj stabilizátoru napětí, je-li přimontován na těleso rezonátoru 1.
- j) Střední vodič 2 můžeme přiletovat na konci k přívodnímu kabelu a podle potřeby zkrátit. Druhý konec, kontakt na diodu ale musí být rovně, přesně opracovaný, tam připojuje mikrovlnný proud na nízké impedanci.

---

## Upozornění

V kapitole o měření kmitočtů záZNĚJOVOU metodou ve II. dílu příručky na str. 549. je jako jeden z referenčních kmitočtů uveden kmitočet 200 kHz stanice Droitwich. V době, kdy II. díl příručky vyšel, v roce 1986, tato informace odpovídala skutečnosti. O dva roky později, v roce 1988, stanice Droitwich se přeladila na kmitočet 198 kHz. S touto změnou je nutno počítat.

## Rejstřík

- absorpční kroužek II  
     509  
 absorpční vlnoměr II  
     549  
 A/m II 93  
 ampér II 83  
 AND II 413  
 anténa I 349  
 anténa kosočtverečná I 355  
 anténa log. per. I 432,  
     II 55  
 anténa  
     – měření rez. kmitočtu III 238  
 anténa  
     – měř. vstup. impedance III 238  
 anténa  
     – právo IV 255  
 anténa  
     – přepínání III 418  
 anténa smyčková I 391  
 antenaskop III 239  
 anténa šroubovicová II  
     63  
 anténa vertikální I 405  
 anténa VKV II 11  
 anténa vozidlová II 67  
 anténa – zisk II 15  
 antenní relé IV 198  
 anténní zmenšené I 419  
 attenuátor II 563  
 automat. řízení  
     zesílení III 165  
 bezpečnost života  
     na moři I 138  
 binární soustava II 409  
 bit II 396  
 blokování přijímače III  
     205  
 Boolova algebra II 413  
 budič SSB 144 MHz IV  
     13  
 cirkulátor IV 189  
 citlivost antény IV 226  
 citlivost – měření III  
     190  
 Clapp II 330  
 Colpitts III 121  
 Corina I 118  
 coulomb I 84  
 časovač II 429  
 čítač II 425  
 ČSV – měření III 243,  
     IV 218  
 Decca I 314  
 decibel II 152, III 248  
 dělič odporový II 134  
 demodulace III 45  
 demodulace FM III 59,  
     IV 62  
 demodulace FM  
     úzkopásmové IV 81  
 demodulace (PLL) IV  
     74  
 demodulace SSB III 50  
 detektor fázový IV 72  
 detektor koincidenční  
     IV 64, 73  
 detektor poměrový IV  
     66  
 diagonální zkouška III  
     221  
 digitální stupnice III  
     405  
 dioda II 170  
 dioda Gunnova IV 155  
 dioda vakuová II 205  
 dipol I 361, 378  
 diskriminátor  
     fázový IV 64  
 diskriminátor  
     krystalový IV 83  
 dlouhý drát I 383  
 doutnavka zkušební II  
     508  
 Dopplerův posuv I 459  
 citlivost přijímače II  
     286, III 5  
 citlivost  
     přijímače a šum IV  
     228  
 cívky II 215  
 číslicová technika II  
     408  
 DX I 10  
 dynamický rozsah III  
     11  
 dynamický rozsah  
     – měření III 202  
 elektronický klíč II 433  
 E vrstva I 245  
 EXCLUSIVE II 414  
 F9FT II 34, 37, 43  
 farad II 108  
 fázový detektor IV 78  
 fázový detektor  
     nesymetrický IV 72  
 fázový diskriminátor  
     IV 64  
 fázový závěs III 130  
 FET II 107  
 filtr bilitický IV 45  
 filtr Čebyševův III 248  
 filtr krystalový III 343,  
     IV 37  
 filtr pásmový III 416  
 filtr SSB III 325  
 filtr vlnovodový IV 151  
 fotoefekt II 178  
 frontální systémy I 259  
 GDO II 551  
 generátor CW  
     a SSB (měření) III  
     211  
 generátor dvoutónový  
     II 558  
 generátor mikrovlnný  
     IV 153  
 generátor nf II 557  
 generátor nosné III 339  
 generátor rozmítaný II  
     561  
 generátor SSB  
     – měření III 223  
 generátor šumu II 566  
 generátor vf II 559  
 družice – dráhy I 463  
 družice – přehled I 445  
 dvoutónová zkouška  
     III 219  
 dvoutónový generátor  
     IV 121  
 dynamický rozsah III  
     11  
 elektromechanický II 174  
 elektronický klíč II 433  
 E vrstva I 245  
 EXCLUSIVE II 414  
 F9FT II 34, 37, 43  
 farad II 108  
 fázový detektor IV 78  
 fázový detektor  
     nesymetrický IV 72  
 fázový diskriminátor  
     IV 64  
 fázový závěs III 130  
 FET II 107  
 filtr bilitický IV 45  
 filtr Čebyševův III 248  
 filtr krystalový III 343,  
     IV 37  
 filtr pásmový III 416  
 filtr SSB III 325  
 filtr vlnovodový IV 151  
 fotoefekt II 178  
 frontální systémy I 259  
 GDO II 551  
 generátor CW  
     a SSB (měření) III  
     211  
 generátor dvoutónový  
     II 558  
 generátor mikrovlnný  
     IV 153  
 generátor nf II 557  
 generátor nosné III 339  
 generátor rozmítaný II  
     561  
 generátor SSB  
     – měření III 223  
 generátor šumu II 566  
 generátor vf II 559  
 geostacionární  
     dráha I 476  
 GP I 398, II 25  
 gunnplexer IV 180  
 Hartley III 120  
 HB9CV I 430  
 helical III 154  
 henry II 95  
 hláškování I 174  
 hysterezní smyčka II 97  
 identifikace stanic I 75  
 impedance II 122  
 impedance antény II 15  
 impedance antény  
     – měření III 238  
 impedance  
     – mikrovlny IV 172  
 indukce II 92, 141  
 indukčnost – měření II  
     522  
 intercepční bod III 442  
 inverse I 277  
 INVERT II 413  
 inverted V I 382  
 inosféra I 206  
 kapacita II 107, 136,  
     222  
 kapacita – měření II  
     527  
 kľíč telegrafní II 391  
 kmitočet – měření II  
     545  
 kmitočet  
     zrcadlový – potlačení  
     III 208  
 kmitočty – přidělení  
     I 58  
 kmitočtová ústředna II  
     308  
 kód Q I 150  
 kód SIO I 128  
 kód SINPO I 128  
 kód Z I 170  
 koincidenční detektor  
     IV 64, 73  
 komprese III 286  
 krystaly  
     – úprava kmitočtu II  
     319  
 lichoběžníková  
     zkouška III 221  
 lodní kmitočty I 67  
 logické funkce II 413  
 loran I 312  
 magnetosféra I 197  
 magnetostrikční jev II  
     215  
 majáky amatérské I 240  
 MAYDAY I 108  
 Mazák IV 101  
 meziplanetární  
     prostor I 194  
 měření indukčnosti II  
     522  
 měření kapacit II 527  
 měření kmitočtů  
     na mikrovlnách IV  
     162  
 měření napětí a proudů  
     II 510  
 měření odporů II 519  
 mf kmitočet  
     – potlačení III 208  
 mf zesilovač IV 55  
 mf zesilovač VXX IV  
     51  
 mf zesilovač  
     10,7 MHz IV 60  
 mikrofon III 276  
 mikropočítací II 462  
 modelářství I 38  
 modulace III 263  
 modulace fázová III  
     451  
 modulace kmitočtová  
     II 273  
 modulátor III 278  
 modulátor FM IV 28  
 modulátor  
     FM 145 MHz IV 107  
 MOSFET II 198  
 MUF II 226  
 multivibrátor  
     astabilní II 435  
 můstek stejnosměrný II  
     517  
 můstek střídavý II 518  
 MVT I 30  
 NAND II 414, 419  
 napaječ I 358  
 násobič kmitočtu II 298  
 navigace I 298  
 navigace družicová  
     I 322  
 navigace hyperbolická  
     I 309  
 NOR II 414  
 obvody integrované II  
     200  
 obvody klopné II 422  
 obvody RC II 227  
 obvody RLC II 243  
 obvody soustředěné  
     selektivity IV 48  
 odolnost proti  
     silným signálům III  
     196  
 odporník II 83, 131  
 odporník – měření II 519  
 odporník vnitřní II 148  
 Omega I 318  
 omezovač poruch III  
     176  
 OR II 413  
 oscilátor III 107  
 oscilátor Gunnův  
     IV 158  
 oscilátor krystalový II  
     312, 361  
 oscilátor LC II 352  
 oscilátor  
     – měření stability III  
     208  
 oscilátor zaznějový III  
     176  
 osciloskop II 569  
 paketový provoz III  
     452  
 PAN I 117  
 parabola II 52  
 pásmová propust II 263  
 pásmový filtr II 268  
 PEP III 274  
 permeabilita II 95  
 piezoelektrický jev II  
     211  
 PLL III 130  
 plošná konstrukce  
     drátová IV 197  
 plošná konstrukce  
     pásková IV 192  
 polarizace antény II 28  
 polarizace kruhová II  
     60  
 polární záře I 197  
 polovodiče II 163  
 polovodiče  
     – měření II 530  
 poměrový detektor IV  
     66  
 povětrnostní informace  
     I 271

- povolovací podmínky I 40  
 predikce I 478  
 preemfáze, deemfáze II 289  
 prefixy amatérské I 182  
 prefixy zemí I 17  
 premixer III 24  
 proud střídavý II 115, 142  
 provoz amatérský I 125  
 provoz paketový III 452  
 provoz radiotelefonní I 94  
 provoz radiotelegrafní I 80  
 provoz tísňový I 98  
 předpony jednotek II 83  
 předpověď šíření I 280, II 576  
 přijímač 144 MHz CW/SSB IV 5  
 přijímač FM vstupní část IV 32, 102  
 přijímač KV III 378  
 přijímač 3, 6 MHz II 364  
 přijímač s přímým zesílením III 23  
 příkon, výkon II 151  
 přímé směšování III 38  
 příruby IV 240  
 přizpůsobovací člen IV 191  
 přizpůsobovací člen L II 270  
 quad I 393, 436, II 34  
 radioamatérů II 9  
 radiodálnopis I 539  
 radiodálnopis – zobrazovací jednotka I 589  
 reflektometr II 74, IV 176  
 relé tranzistorové II 362  
 rezonance – měření II 551  
 rezonátor helical IV 34  
 rezonátor váhový IV 222  
 RIT III 124, 439  
 ROB I 25  
 rušení II 291  
 rušení – omezovače III 176  
 Sedláček, OK1SE I 7  
 sekvenční logické obvody II 422  
 selektivita III 16  
 selektivita mezikálová IV 36  
 selektivita soustředěná II 261, IV 48  
 selektivita zrcadlová IV 36  
 slunce I 190  
 S-metr III 210  
 směšovač II 365, III 92  
 směrový vazební člen II 238, IV 177  
 SOS I 98  
 souprava pro 10 GHz IV 137  
 spojení analogové III 449  
 spojení digitální III 449  
 squeeze II 393, 398  
 SSB – fázová metoda III 344  
 SSB – filtrační metoda III 316  
 SSB na 10 GHz IV 202  
 SSB – PLL III 361  
 SSB – třetí metoda III 352  
 SSB – dynamický rozsah signálu III 353  
 SSB – zesilování a směšování III 366  
 susceptance otvoru IV 238  
 susceptance štěrbiny IV 236  
 superheterodyn III 26  
 Swan III 124  
 symetrisace I 370  
 symetrizátor štěrbinový II 45  
 šifrování zpráv URSI I 234  
 šíření vln I 210  
 šíření vln – časové zpoždění IV 232  
 šíření vln – prognóza I 280, II 576, IV 268  
 šíření vln v troposféře I 273  
 šum II 162  
 šum galaktický IV 227  
 šum oscilátoru III 205  
 šumové číslo III 195  
 šumová teplota antény IV 227  
 šumový můstek III 241  
 šum zesilovačů IV 233  
 T2FD I 402  
 telegrafie sportovní I 20  
 telegrafní signál III 255  
 telegrafní tajemství I 136  
 telegrafní značka – kvalita III 222  
 termistor II 232  
 tesla II 98  
 TPTG II 327  
 transceiver KV III 377  
 transceiver SSB/CW KV III 391  
 transceiver CW/SSB 144 MHz IV 5  
 transceiver VKV III 446  
 transceiver 3,6 MHz II 360  
 transformace čtvrtvlnná II 240  
 transformátor II 234  
 transvertor 145/1296 IV 113  
 transvertor 145/2320 IV 125  
 tranzistor II 181  
 tranzistor MESFET IV 187  
 trioda II 208  
 troposféra I 263  
 troposférický šum I 270  
 trychtýř II 50  
 TTL II 416  
 UIT – publikace I 69  
 umlčovací šumu IV 92  
 up konvertor III 30, 153  
 URSI I 233  
 útlum proměnný IV 189  
 útlum trasy IV 224  
 útlumový článek II 563  
 útlumový článek vstupní III 80  
 Vackář III 123, 137  
 varaktory násobící IV 157  
 varistor II 233  
 vazba autotransformátorová II 255  
 vazba kapacitní II 259  
 VCO III 67, 129, 134  
 VCXO III 338  
 vedení čtvrtvlnné II 240  
 vedení páskové IV 192  
 VFO II 361, 368, III 119, 127, 386, 401, 410  
 vid TEM IV 192  
 vlnovod IV 139  
 vlnovod – reaktance kolíku IV 234  
 vlnovodový detektor, směšovač IV 142  
 vlnovodový přepínač IV 183  
 vlnovodový zatěžovací odpor IV 188  
 vlnový odpor IV 220  
 vodivost II 86, 160  
 volací značky I 74  
 volt II 84  
 voltmetr elektronický II 534  
 VOX III 383  
 vstupní obvod III 68  
 VXO II 330, 335, III 157  
 výkon vysílače – měření III 229  
 vysílač SSB 3,5 MHz II 371  
 vysílač 145 MHz FM IV 104  
 watt II 85  
 Weaverova metoda SSB III 352  
 W3DZZ I 381, 431  
 Yagi VKV II 30, 43, 47  
 zákon Biot-Savartů II 93  
 zákon Ohmův II 85  
 zákony Kirchhoffovy II 133  
 zaměřovač I 337  
 zdvih – měření III 233  
 zesilovač lineární III 227  
 zesilovač mf III 142  
 zesilovač nf III 179  
 zesilovač oddělovací III 124  
 zesilovač permaktronový IV 187  
 zesilovač vf III 81  
 zesilovač vf širokopásmový III 404  
 zesilovač 2 GHz IV 134  
 zesilovač 10 GHz IV 207  
 zkratky amatérské I 176  
 zkratky všeobecné I 148  
 zkreslení intermodulační III 200  
 zkušební osnovy I 51  
 zpožďovací linka III 130  
 ztráty ve volném prostoru IV 232  
 žárovky zkušební II 508  
 A 202 D III 290  
 A 211 D III 180  
 A 220 D III 312, IV 55  
 A 223 D III 312, IV 56, 73, 77  
 A 225 D III 64, IV 56, 61  
 A 244 D III 334, IV 56, 58, 72  
 A 283 D IV 57, 59  
 AA 603-607 IV 157  
 AA 716-728 IV 155  
 AF 239 S IV 102  
 AP 320-325 A2 IV 150  
 AP 602 IV 187  
 B 222 D III 312  
 BC 157 II 569  
 BF 245, 246 II 555, III 88, 105, 309  
 BF 900, 905, 960 III 163  
 BFR 90 IV 123  
 BFR 91 IV 115  
 BFR 96 IV 115, 129  
 BFR 342 IV 127  
 BFT 66 III 85  
 BFY 90 IV 207  
 CA 3089 E III 64  
 CD 4027 II 311  
 CP 640 III 95, 105  
 CP 643 III 309  
 GA 206 III 305  
 GT 346 V IV 102  
 IE 500 III 94  
 K 193 IE IV 163  
 KA 136, 206, 207 III 116  
 KA 236 IV 9  
 KA 602, 608, 613 IV 157  
 KB 105 III 99  
 KB 113 III 314  
 KC 147 II 569  
 KC 507 I 562, II 374, IV 104, 109  
 KC 810 III 310  
 KF 124 IV 104, 106  
 KF 125, 167, 525 III 162, 173  
 KF 173 II 174  
 KF 525 III 111, IV 102, 106  
 KF 621 IV 106  
 KF 907, 910 III 163, 315, 350, IV 148, 207  
 KFW 16 IV 207  
 KFW 17 III 84, 86, 105  
 KM 193 IE IV 163  
 KP 303 II 555  
 KP 350 III 315, 350  
 KP 902, 903 III 309  
 KR 193 IE IV 163  
 KR 1507 IE IV 163  
 KSY 21 IV 18  
 KSY 71 II 374, III 111, IV 18

KT 907	IV 18
KT 913	IV 206
KT 925	IV 206
KU 611	II 374
KUY 12	II 374
K 2273	IV 106
M 6800	II 485
MA 741	III 165, 175, 185
MA 1458	III 185
MA 3006	III 105, 171, 173
MA 4 B 300	IV 157
MA 44100, 44110, 44120, 44130	IV 130, 150, 157
MAA 145	II 367, IV 98
MAA 325	II 371
MAA 501–504	I 567
MAA 504	III 359
MAA 661	III 55, 64, 71, 91, 311
MAA 741	I 573, II 521, III 557, IV 30
MAA 1458	IV 30
MBA 145	IV 16, 109
MBA 810	III 43
MBA 810 AS	III 381
MBA 810 DAS	III 181
MC 1350	III 161, 164
MC 1496	III 95
MC 1496 H	III 105
MC 3359	III 65
MC14414	III 184
MCA 770 A	IV 74
MD 108	III 94
MDA 2054	III 287
MH 3006	III 95
MH 7400	I 147, II 548,

III 116	
MH 7400–7490	I 608
MH 7403	IV 76
MH 7404	III 117
MH 7424	II 473
MH 7475	II 435, 439
MH 7490	II 549
MH 7490 A	II 434, 436
MH 74192	II 473, III 135
MHB 1012	I 578, 608, II 468, 492
MHB 4011	II 473
MHB 4046	IV 78
MHB 8080	II 462
MOTOROLA 6821	II 474
MPF 102	II 555, III 88
MPF 721	III 163
NE 555	II 429, 472, III 184
NE 565	II 573, III 68
OA 5, 7, 9	III 179
P 8000, 8002	III 95, 309
PIA 6821	II 474, 485
R 6500	II 486
RAY 3	III 94
SA 2, 54, 61, 71	IV 157
SBL 1	IV 9
SF 245	III 86, IV 207
SL 610, 611, 612, 621 C	III 173
SL 6440	III 95
SN 74 L 800	IV 11
SO 42	III 95
SP 8617, 8619, 8668	IV 164
SRA 1, 3	III 94, 309
TAA 661	IV 55

TBA 120 U	IV 56
TBA 1205	III 312
TCA 240	III 95
TCA 440	IV 56
TDA 1047	III 65, IV 56
TDA 1083	IV 57
TL 084 C	III 186
TMS 6011	II 492
U 309	III 95
UART	I 578, II 492, 470
UCY 742	II 472
UCY 7402, 7408, 7486	II 417
UCY 7473	I 580
UCY 7457N, 7465N, 7473N	I 608
UCY 74121	I 579
VBS 100	IV 177
VBV 160, 161, 162	IV 157
VCM 701	IV 150
Z 80	II 486
ZN 4416	III 88
1 N 21, 23	IV 142, 207
2 N 918	IV 18
2N 3819	II 555
2N 4857	III 309
2 N 5109	III 84
3 SK 97	IV 149
11 C 05, 06, 90	IV 163
21 NQ 52	IV 177
23 NQ 52	IV 142
33 NQ 52	IV 177, 207
34 NQ 52	IV 207
36 NQ 52	IV 138
95 H 90	IV 163
8080	II 486
40673	III 163, IV 207

## Obsah

CW-SSB transceiver pro 144 MHz . . . . .	[5]
Obvodová technika kmitočtové modulace . . . . .	[22]
Transceiver „Mazák“ pro 145 MHz FM . . . . .	[101]
Transvertor 145/1 296 MHz . . . . .	[113]
Tranzistorový transvertor na 2 320 MHz . . . . .	[125]
Mikrovlny . . . . .	[137]
Měření na mikrovlnách . . . . .	[162]
SSB na 10 368 MHz . . . . .	[202]
Grafy pro mikrovlny . . . . .	[218]
Právo na anténu . . . . .	[255]
Použití „věčné“ předpovědi ionosférického šíření (z Košic) .	[268]
Doplňky k předchozím dílům . . . . .	[273]
Věcný a jmenný rejstřík . . . . .	[304]

---

**Amatérská radiotechnika a elektronika [4. díl]**

---

Sestavil dr. Ing. Josef Daneš.

Autorský kolektiv: Jiří Bittner, Vratislav Hrdý, Miroslav Joachim, Jiří Koukol,  
Petr Novák, Miloslav Pavelka, JUDr. Josef Petránek, Ing. Josef Smítka, CSc.,  
Ing. Eva Smítková, CSc., Pavel Šír.

Přebal, vazbu navrhl a graficky upravil Pavel Rajský.

Vydání 1., Praha 1989.

Pro Svaz pro spolupráci s armádou vydalo Naše vojsko, nakladatelství a distribuce  
knih, n. p., v Praze jako svou 5913. publikaci, stran 320.

Odpovědní redaktori RNDr. Jan Boukal, mjr. Miroslav Žďárský.

Výtvarný redaktor Jan Parkman.

Technický redaktor Petr Husák.

Výtiskla tiskárna Naše vojsko, n. p., v Praze,  
vysadila Severografia, n. p., v Ústí nad Labem, digiset.

AA 20,82 (z toho obr. 7,48), VA 21,46.

Náklad 21 500 výtisků.

K tisku schváleno 14. 4. 1989.

28-059-89. 05/38. Váz. 29 Kčs. 505/21/856.